



Isfahan University of Technology
Department of Mechanical Engineering

Stability Control of Walking Biped Robots based on Total Momentum

A Thesis

Submitted in partial fulfillment of the requirements

For the degree of Master of Science

By

Mostafa Ghobadi Shahreza

Evaluated and Approved by the Thesis Committee, on April 18, 2012

1. M. Keshmiri, Associate Prof. (Supervisor)
2. M.J. Sadigh, Associate Prof. (Advisor)
3. M. Danesh, Assistant Prof. (Examiner)
4. S. Hadian Jazi, Assistant Prof. (Examiner)

M.R. Salimpour, Assistant Prof. (Department Graduate Coordinator)

Stability Control of Walking Biped Robots based on Total Momentum

Mostafa Ghobadi Shahreza

m.ghobadishahreza@me.iut.ac.ir

04/18/2012

Department of Mechanical Engineering

Isfahan University of Technology, Isfahan 84156-83111, Iran

Degree: M.Sc.

Language: Farsi

Dr. Mehdi Keshmiri, mehdik@cc.iut.ac.ir

Abstract

With the development of robotics science, lots of research has been conducted in the area of biped robots and many industries have been attracted to the application of these robots. Because of the non-continuous nature of legged robots and bipeds in particular, not facing problems that wheeled or snake-like robots do in moving on stairs and ditches, their industrial and practical applications has been considered seriously. That is why a great number of humanoid robots have been developed all over the world and in some countries such as Japan, development of Humanoid Robots is considered as a national project to the extent that it is considered as an index of the science and technology development in the country. As the humanoid robots have the same structure as humans, many efforts are put to reach their level of ability to handle many tasks which have been normally assigned to humankind. Among the subjects which have been studied on biped motion, naming motion stability analysis, motion pattern generation, optimization, and control, the stability and control of these systems can be considered as one of the most important issues. The concept of stability of the biped motions, its criteria and how such stability can be guaranteed is of the greatest importance for researchers and at the same time is the most complicated dilemma not completely resolved yet. Most of the researches on stability and control of these systems have been based on the Postural Stability which regards the control of walkers' stability as the motion tracking of their joints and support limbs on some desired trajectories having postural stability. However, recently some scholars developed the concept of the stability of walkers correctly and equate it with not going to the states which leads to fall down or tip over. The current research is based on this new intuition of stability and unlike the traditional analyses which follows stability and control of the walker in *joint space* as internal or detailed quantities, a walker is considered as a total system so that the problem is followed in *whole-body momentum space*. Such an approach gives an exhaustive solution which enables its implementation on any biped walkers considering the existence of a map between these two spaces. Firstly, Principle Equation of Motion (for walkers) is derived that later results in introducing two piecewise-continuous dynamical systems namely *Simplified Walking Model (SWM)* and *Complete Walking Model (CWM)* which both describe the behavior of walker with emphasis on the motion in horizontal plane. Furthermore, by making some realistic assumptions based on human natural walking, a simplified equation of motion named Step-to-Step Equation of Walking is formulated. To calculate the solution of steady walking motions, the repetition condition is exerted on this equation that yields a significant finding named *Simple and Compound Motion Cycles* as general solutions of steady walking. Among all possible motion cycles, *Simple Forward Motion Cycle* is representing the normal walking pattern. These cycles have marginal stability that in practice cause the motion to diverge exponentially even under slight disturbance. By defining the stabilization of walking as the guidance of the motion initiated from arbitrary initial states to a desired motion cycle and controlling the motion about it, two major strategies are presented for stability control of the walkers: 1) Continuous altering of Center of Pressure (CoP) within support polygon, and 2) Continual planning of the step length and duration. Using these two strategies and based on Simplified Walking Model (SWM), four methods of stability control named generally as *Motion Cycle Stabilizers* are proposed and their theoretical aspects are inspected. Then, to examine the capability and detect deficiencies of the proposed stabilizers on Complete Model of Walking (CWM), some simulations are performed on a physical model with realistic constraints. Finally, to overcome the deficiencies of the Stabilizers, method of *Optimal Stability Control* is proposed to complete the solution. The numerical simulations show that the proposed approach to the stability and control of biped walkers provides us with a more complete and accurate solution compared with traditional approaches and guarantee the stability of walkers in a maximum sense.

Keywords

Stability of Walkers, Walking Biped Robots, Walking Model in Momentum Space, Walking Motion Cycles, Stabilization of Walking, Step-to-Step Control of Walking



دانشگاه صنعتی اصفهان
دانشکده مهندسی مکانیک

کترل پایداری رباتهای راهروند دوپا بر اساس اندازه حرکت کلی

پایان نامه کارشناسی ارشد مهندسی مکانیک
گرایش طراحی کاربردی

مصطفی قبادی شهرضا

استاد راهنما

دکتر مهدی کشمیری

۱۳۹۱ فروردین ماه



دانشگاه صنعتی اصفهان
دانشکده مهندسی مکانیک

پایان نامه کارشناسی ارشد رشته طراحی کاربردی آقای مصطفی قبادی شهرضا
تحت عنوان

کنترل پایداری رباتهای راهروند دوپا بر اساس اندازه حرکت کلی

در تاریخ ۱۳۹۱/۱/۳۰ توسط کمیته تخصصی زیر مورد بررسی و تصویب نهایی قرار گرفت.

۱. استاد راهنمای پایان نامه دکتر مهدی کشمیری

۲. استاد مشاور پایان نامه دکتر محمد جعفر صدیق

۳. استاد داور دکtor محمد دانش

۴. استاد داور دکتر شهرام هادیان جزی

سرپرست تحصیلات تکمیلی دانشکده دکتر محمد رضا سلیم پور

خداوند یکانه را پاسکنارم باست عنایت و لطف بیکرانش در به نحطات زندگی و خاصه به جهت توفیق دگذراندن دوره پر شر تحصیلات تکمیلی. جادار داز زحات و فدا کاری های بی دین پر و مادرگر اتقدرم که حامی و مشوق بند بوده اند، کمال سکر و پاسکناری را داشته باشم.

بهینین سپاسی فراوان دارم از زحات و راهنمایی های استادگر اتقدر جناب آقا دکتر کشمیری که فراتر از آموزگاری فرزانه، همواره راهنمایی دلوز، اسوه ای اخلاقی و الکوئی انسانی برای بند بوده اند. و نیز از دوستان همراه و کوهران گرامی از جان بی نهایت پاسکنارم.

**کلیه حقوق مادی مترقب بر نتایج مطالعات،
ابتكارات و نوآوری‌های ناشی از تحقیق موضوع
این پایان‌نامه (رساله) متعلق به دانشگاه صنعتی
اصفهان است.**

لعدم به مدرودار عزیزم

که هواره مرابه علم آموزی و خرداندوزی رهنمای بوده‌ام

فهرست مطالب

<u>صفحه</u>	<u>عنوان</u>
.....	فهرست مطالب
.....	هشت
.....	چکیده ۱
فصل اول: مقدمه	
.....	۱-۱ تاریخچه ربات‌های دارای پا
.....	۲-۱ اهداف و کابردها
.....	۴
.....	۵-۱ ربات‌های شهری
.....	۶-۱ ربات پشتیبان
.....	۶-۲-۱ وسایل نقلیه جدید
.....	۶-۲-۲ کاربردهای جانبی
.....	۷-۱ مفاهیم اولیه ربات دوپا
.....	۷-۱-۱ تقسیم بندی ربات‌های دوپا
.....	۹-۱-۲ صفحات حرکت انسان
.....	۹-۱-۳ فازهای راه رفتن انسان
.....	۱۰-۱ پایداری ربات دوپا
.....	۱۰-۱-۱ لزوم پرداختن به مسئله پایداری
.....	۱۲-۱ معیارهای پایداری
.....	۱۵-۱ بررسی درستی معیارهای متداول پایداری و نقص‌های موجود در آنها
.....	۱۵-۱-۱ مفهوم پایداری رباتهای دارای پا و ارائه تعریفی جدید از پایداری کلی
.....	۱۸-۱ کنترل پایداری (روش‌های متداول)
.....	۱۸-۱-۱ طراحی مسیر پایدار
.....	۲۱-۱-۲ کنترل غیربه‌هنگام
.....	۲۲-۱-۳ کنترل به‌هنگام
.....	۲۲-۱-۶ مروری بر کارهای انجام شده مرتبط با موضوع پایان‌نامه
.....	۲۵-۱-۷ تعریف مسئله
.....	۲۶-۱-۸ روند تدوین پایان‌نامه

هشت

فصل دوم: مدل دینامیکی حرکت راه رفتن

۲۹.....	۱- استخراج معادلات حرکت راه رفتن در فضای اندازه حرکت
۳۱.....	۲- الگوی گام برداشتن و محدوده مرکز فشار
۳۵.....	۳- مدل حرکتی ساده شده برای راه رفتن
۳۷.....	۴- خواص معادله حرکت مدل ساده شده راه رونده در طول بازه زمانی یک گام
۳۸.....	۵- حرکت پیش رونده و پس رونده
۳۹.....	۶- استخراج معادله حرکت گام به گام
۴۳.....	۷- سیکل های حرکتی
۴۴.....	۸- ۱- سیکل های حرکتی ساده (تک گامی) پیش رونده و پس رونده
۴۷.....	۹- ۲- سیکل های حرکتی مرکب (چند گامی)
۵۰.....	۱۰- ۳- بررسی پایداری سیکل های حرکتی (ساده)
۵۲.....	۱۱- ۶- مقایسه معادله حرکت کامل با معادله حرکت ساده شده راه رفتن طی یک گام
۵۶.....	۱۲- ۷- تعریف مدل های ریاضی ساده شده (SWM) و کامل (CWM) راه رفتن

فصل سوم: کنترل پایداری

۶۰.....	۱- راهبردهای قابل تصور برای کنترل پایداری
۶۱.....	۲- ۱- کنترل پایداری حول سیکل حرکتی
۶۲.....	۳- ۱- برنامه ریزی غیر خطی برای سوق دادن مسیر به سمت یک سیکل حرکتی دلخواه
۶۳.....	۴- ۲- پایدارسازهای سیکل حرکتی
۶۳.....	۵- ۱- قضیه محدود ماندن شرایط اولیه مولفه همگرا پس از برداشتن گام های دلخواه پی درپی
۶۵.....	۶- ۲- ۳- پایدارسازی حرکت با تغییر پیوسته موقعیت مرکز فشار در طول بازه زمانی هر گام
۷۰.....	۷- ۲- ۳- پایدارسازی حرکت با تغییر پی درپی طول هر گام
۷۴.....	۸- ۲- ۴- پایدارسازی حرکت با تغییر پی درپی زمان فرود هر گام
۷۷.....	۹- ۲- ۵- پایدارسازی حرکت با تغییر پی درپی طول و زمان فرود هر گام
۸۰.....	۱۰- ۳- شیوه سازی پایدارسازهای سیکل حرکتی بر روی مدل فیزیکی کامل یک راه رونده
۸۰.....	۱۱- ۳- ۱- مدل فیزیکی کامل یک راه رونده با بالاتنه صلب و پاهایی با جرم قابل صرف نظر
۸۳.....	۱۲- ۳- ۲- کنترل اندازه حرکت خطی عمودی و زاویه ای و تامین اندازه حرکت خطی افقی حرکت طبیعی
۸۳.....	۱۳- ۳- ۳- محاسبه گشتاور مفاصل برای راه رونده واقعی با استفاده از روش معکوس ژاکوبین

۴-۳-۳ محدودیت‌های حرکتی ربات ناشی از پیکره بندی و محدودیت سرعت نسبی متوسط پای متحرک.....	۸۵
۵-۳-۳ بررسی نارسایی‌های پایدارسازهای سیکل‌های حرکتی با شبیه‌سازی بر روی مدل فیزیکی کامل.....	۸۷

فصل چهارم: کنترل کننده پایداری بهینه

۱-۴ مقدمه‌ای بر روش کنترل پایداری با استفاده از برنامه‌ریزی غیرخطی.....	۱۱۴
۲-۴ طرح مسئله کنترل پایداری با استفاده از روش بهینه‌سازی بر روی طول و زمان فرود گام.....	۱۱۶
۳-۴ تعریف تابع شاخص پایداری ترکیبی برای استفاده از روش‌های بهینه‌سازی غیرمقيید.....	۱۱۸
۴-۴ روش‌های عددی بهینه‌سازی غیرخطی غیر مقيید.....	۱۲۱
۵-۴ شبیه‌سازی کنترل کننده پایداری بهینه بر روی مدل فیزیکی ربات راهروند.....	۱۲۹
۱-۵ بازنویسی توابع شاخص و توابع قید مسئله برای حل به شیوه تاوان.....	۱۲۹
۲-۵ نتایج شبیه‌سازی کنترل کننده پایداری بهینه بر روی مدل فیزیکی کامل راهروند.....	۱۳۰

فصل پنجم: جمع‌بندی و پیشنهادات

۱-۵ جمع‌بندی و بررسی نتایج.....	۱۳۹
۲-۵ نوآوری‌ها و دستاوردها.....	۱۴۱
۳-۵ پیشنهادات.....	۱۴۲
۴-۵ مراجع.....	۱۴۵

چکیده

با گسترش و پیشرفت علم رباتیک، مطالعه و تحقیق بر روی ربات‌های دارای پا و به خصوص ربات دوپا افزایش یافته است و توجه بسیاری از مراکز تحقیقاتی و صنعتی را به خود جلب کرده است. در سال‌های اخیر، ربات‌های انسان نمای متعددی در سراسر دنیا ساخته شده است و در برخی کشورها مانند ژاپن ساخت ربات انسان‌نمای به عنوان پروژه ملی مطرح است به نحوی که نمادی از پیشرفت تکنولوژی محسوب می‌شود. ربات‌های دوپا به این دلیل که از نظر ساختاری شبیه انسان هستند، توانایی انجام بسیاری از فعالیت‌های انسان را دارند. همچنین به علت ماهیت ناپیوسته حرکت ربات دوپا، بسیاری از مشکلاتی که ربات‌های چرخ‌دار و مارسان در عبور از سطوح ناهموار، پله‌ها، مواعظ و شکاف‌ها دارند برای این دسته از ربات‌ها وجود ندارد. از میان تحقیقات زیادی که بر روی ربات‌های دوپا انجام شده می‌توان به بررسی پایداری، طراحی مسیر، بهینه سازی راه رفتن و کنترل آن‌ها اشاره نمود. از این میان، مهم‌ترین و پیچیده‌ترین مسئله‌ای که هنوز به طور کامل حل نشده است، مفهوم پایداری راهروندۀها و معیارها و روش‌های کنترل آن می‌باشد. اگرچه تاکنون پایداری وضعی، که حفظ پایداری راهروندۀ را برابر با کنترل وضعیت قرار گیری تکیه‌گاه‌ها و مفاصل بر روی یک مسیر از پیش‌طراحی شده دارای پایداری وضعی می‌گیرد، مبنایی برای کنترل پایداری آنها به حساب می‌آمده است، برخی از محققین مفهوم پایداری این سیستم‌ها را بسط داده‌اند و آن را معادل با نرftن به وضعیت می‌دانند که منجر به زمین خوردن (افتادن) می‌شود که برداشت اخیر از پایداری و کنترل آن، مورد نظر تحقیق حاضر است. همچنین، برخلاف روش‌های متداول که حرکت راهروندۀ را در فضای مفاصل (کمیت‌های جزئی داخلی) پیگیری می‌کنند، تحلیل‌های پایداری و کنترل پایداری ارائه شده در این پژوهش، به راهروندۀ به صورت یک سیستم کلی نگاه می‌کند و روشی جامع در فضای اندازه حرکت (کمیت‌های کلی) ارائه می‌دهد که با توجه به وجود یک نگاشت بین این دو فضا، پایدارسازی آن را بر روی هر راهروندۀای، ممکن می‌سازد. بر این اساس، ابتدا معادله حرکت پایه برای راهروندۀ در فضای اندازه حرکت کلی بدن استخراج شده است که در نهایت به ارائه دو مدل ریاضی (سیستم دینامیکی تکه‌تکه پیوسته) به نام‌های مدل ساده‌شده راه‌رفتن (SWM) و مدل کامل راه‌رفتن (CWM) می‌انجامد. همچنین، با انجام فرضیاتی نزدیک به واقعیت بر روی معادله حرکت پایه، معادله حرکتی ساده‌شده، به نام معادله حرکت گام به گام به دست می‌آید. برای محاسبه حل حرکت دائمی سیستم، با اعمال شرط تکرار بر روی این معادله، سیکل‌های حرکتی ساده و مرکب استخراج خواهند شد که از این میان سیکل ساده پیش‌روندۀ، الگویی برای حرکت راه‌رفتن معمولی ارائه می‌دهد. این سیکل‌ها دارای پایداری مرزی هستند و در عمل به واسطه کوچکترین اختلالی با رشدی نمایی واگرا خواهند شد. با تعریف پایدارسازی حرکت راه‌رفتن به صورت هدایت حرکت از یک شرایط اولیه دلخواه به سمت یک سیکل حرکتی مطلوب و کنترل گام به گام به دو راهبرد کنترل پایداری، ۱) تغییر پیوسته مرکز فشار در ناحیه تکیه‌گاهی و ۲) تغییر پی‌درپی طول و زمان فرود گام، ارائه شده است. بر اساس این دو راهبرد و با مبنای قراردادن مدل ساده‌شده راه‌رفتن (SWM)، چهار کنترل-کننده پایداری با نام کلی پایدارسازهای سیکل حرکتی ارائه شده و توانایی پایدارسازی هر یک از آنها تجزیه و تحلیل شده است. سپس برای بررسی توانایی پایدارسازها بر روی مدل کامل راهروندۀ (CWM)، تعدادی شبیه‌سازی بر روی یک مدل فیزیکی دارای محدودیت‌های واقعی انجام شده و توانایی و نارسایی هر یک از کنترل کننده‌های پایداری بررسی شده است. در پایان، برای فائق آمدن بر نارسایی‌های پایدارسازهای سیکل حرکتی، روشی به نام کنترل پایداری بهینه به عنوان راه حلی کامل برای مسئله ارائه گردیده و عملکرد آن با انجام شبیه‌سازی بر روی مدل فیزیکی، بررسی شده است. در این پژوهش سعی شده است با نگاهی جامع تر به دو مقوله پایداری و کنترل پایداری در مقایسه با نگاه متداول، مسئله پایداری و کنترل پایداری راهروندۀ را رویکردی جدا‌کثیری دنبال گردد.

کلمات کلیدی

پایداری راهروندۀها، ربات‌های راه رونده دوپا، مدل راه رفتن در فضای اندازه حرکت، سیکل‌های حرکتی در راه رفتن، پایدارسازی راه رفتن، کنترل گام به گام راه رفتن

فصل اول

مقدمه

در این فصل ابتدا به تاریخچه و مفاهیم اولیه ربات‌های راهروند و به خصوص ربات‌های دوپا می‌پردازیم، سپس با بررسی مفاهیمی همچون پایداری و کنترل پایداری، به طرح و بسط ایده پایداری و توصیف صورت مسئله اصلی پایان‌نامه خواهیم پرداخت تا در فصل‌های آتی با استخراج مدل دینامیکی راهروند، به تعریف پایداری حرکت راه‌رفتن و کنترل آن بپردازیم.

۱-۱ تاریخچه ربات‌های دارای پا

ربات‌های دارای پا^۱ و به خصوص نوع ربات دوپای^۲ آن که می‌تواند حرکت انسان را شبیه‌سازی کند، یکی از انواع ربات‌های جابجایی پذیر^۳ محسوب می‌شوند. این ربات‌ها در مقایسه با دیگر انواع زمینی آن‌ها از جمله ربات‌های چرخ‌دار^۴ یا ربات‌های خزنده مار و کرم^۵ دارای مزایای حرکتی زیادی از جمله قابلیت حرکت در محیط‌های غیر مسطح و دارای موائع حرکتی در مقایسه با دسته اول و در عین حال دارای سرعت پیش روی بالاتری نسبت به دسته دوم هستند.

¹ Legged Robots

² Biped Robots

³ Mobile Robots

⁴ Wheeled/Belt Robots

⁵ Crawling Robots e.g. SsnakeWworm

پیشینه ساخت ربات‌های دوپا شاید به سالیان بسیار دور از زمانی که بشر به دنبال ساخت موجودات شبیه به خود بود برمی‌گردد ولی اولین کارهای علمی قابل توجه در این زمینه پس از جنگ جهانی دوم و به طور مشخص به اواخر دهه ۶۰ و شروع دهه ۷۰ میلادی بازمی‌گردد. در سال ۱۹۶۹ محققین دانشگاه واسیدا^۱ در ژاپن موفق به ساخت ربات انسان نمایی شدند که با تعادل استاتیکی مرکز ثقل^۲ و با سرعت بسیار کمی قادر به حرکت بر روی دوپای خود بود. پس از استخراج معادلات حرکت دینامیکی حاکم بر ربات‌های بازویی و با تعریف یک معیار پایداری دینامیکی به نام نقطه گشتاور صفر^۳ در سال ۱۹۷۰ توسط ووکوبراتوویچ^۴، نقطه عطفی جهت انجام تحقیقات بیشتر در زمینه‌های دینامیک، پایداری و کنترل انواع این ربات‌ها پدیدآمد.

شاید اواخر دهه ۹۰ و دهه آغازین قرن بیست و یکم، نقطه شکوفایی تحقیقات در زمینه ربات‌های دارای پا و به طور خاص نوع دوپای آن به حساب آید. در طی این سال‌ها، اهمیت و توجه به این پروژه در برخی از کشورها مانند ژاپن تا حدی بالا رفت که ساخت بهترین ربات انسان نما پروژه ملی این کشور بوده است. در حال حاضر شرکت های هوندا^۵، تویوتا^۶ و سونی^۷ که برخی، کار بر روی این پروژه را از ۲۵ سال پیش آغاز کرده‌بودند، پیش‌تازان این نوع تکنولوژی رباتیک در دنیا هستند به نحوی که ربات‌های ساخته شده توسط این شرکت‌ها (به ترتیب آسیمو^۸، ربات همیار^۹ و کیوریو^{۱۰}) نشانه‌های پیشرفت و اقتدار ملی کشور ژاپن محسوب شده و در برخی از سفرهای خارجی دولتمردان این کشور را همراهی می‌کنند. در امریکا نیز در سال ۱۹۸۰، آقای مارک ریبرت^{۱۱} با تأسیس آزمایشگاه ربات‌های دارای پا در دانشگاه ام‌آی‌تی^{۱۲} و سپس ساخت انواع مختلفی از این ربات‌ها از جمله یک ربات تک‌پای جهش‌کننده دارای پایداری، سهم بالایی را در توسعه دانش در این زمینه ایفا کرد. وی بعدها در سال ۱۹۸۶ کتاب "Legged Robots That Balance" را منتشر کرد که یک منع اصلی در این زمینه به حساب می‌آید. در ژاپن بعدها موسسات تحقیقاتی دیگری چون موسسه ملی تحقیقات پیشرفته علوم صنعتی^{۱۳} نیز به این جریان پیوستند. تاکنون در نقاط دیگری از دنیا نیز، تلاش‌هایی مجزا آغاز شده است. در زمینه انواع دیگر ربات‌های دارای پا نیز، شرکت بوستون داینامیکز^{۱۴} که توسط آقای ریبرت اداره‌می‌شود، توانسته است ربات چهارپایی بسازد که می‌تواند با پایداری دینامیکی فوق العاده بالایی در برابر اختشاشات محیطی، بر روی سطوح غیر مسطح حرکت کند، با سرعت

^۱ Waseda

^۲ CoG: Center of Gravity

^۳ ZMP: Zero Moment Point

^۴ Vukobratović

^۵ Honda

^۶ Toyota

^۷ Sony

^۸ Asimo

^۹ Partner Robot

^{۱۰} Qrio

^{۱۱} Marc Raibert

^{۱۲} MIT: Massachusetts Institute of Technology

^{۱۳} AIST: national institute of Advanced Industrial Science and Technology

^{۱۴} Boston Dynamics

بالایی بدود، از سرashیبی بالا برود و مانورهای حرکتی زیادی را به نمایش بگذارد که کاربرد آن حمل تجهیزات و پشتیبانی نیروها در مناطق ناهموار کو هستانی است.

۲-۱ اهداف و کابردها

اگر بخواهیم به اهداف و کابردهای این دسته از ربات‌ها بپردازیم، بهتر است توصیف دقیق‌تری از مزایای اصلی آن‌ها در مقایسه با دیگر ربات‌ها از جمله مزیت‌های حرکتی و همچنین مشابهت‌های رفتاری و ارتباطی آن با انسان ارائه‌دهیم. اگر ربات‌های دارای پا را بر حسب تعداد پا به ربات‌های تک‌پای چهش‌کننده^۱، ربات‌های دوپا^۲، ربات‌های سه‌پا^۳، چهارپا^۴ و شش‌پا^۵ و ربات‌های چندپا^۶ که داری بیش از شش پا هستند تقسیم کنیم، به غیر از مزایای حرکتی ذکر شده نسبت به دیگر ربات‌های متاخر ک، این ربات‌ها و به خصوص نوع پیشرفت‌تر این ربات‌ها یعنی ربات دوپای انسان‌نما که دارای بیشترین قدرت مانور در میان ربات‌های دارای پا می‌باشد، می‌تواند مانورهای حرکتی متنوعی را به صورت مواردی که در ذیل ذکر شده انجام دهد:

- راه رفتن، دویدن و پریدن از روی موانع
 - حرکت بر روی سطوح شبیدار، پله، نرده‌بان و انواع ناهمواری‌ها
 - حرکت بر روی مسیرهای باریک، از میان شکاف‌ها و حفره‌ها
 - بالا رفتن و پایین آمدن از صخره‌ها و گذر کردن از روی شکاف‌های عمیق
- انواع مانورهای حرکتی ممکن برای ربات انسان‌نما در شکل ۱-۱، نمایش داده شده است.

¹ Monopod Hopping Robots

² Biped Robots

³ Tripod Robots

⁴ Quadruped Robots

⁵ Hexapod Robots

⁶ Multipeds Robots



شکل ۱-۱. انواع مأموریت‌های حرکتی ممکن ربات‌های انسان‌نما

مزیت دیگر ربات دوپای انسان‌نما سازگاری بالا با انسان و محیط زندگی و کار وی است که در موارد زیر قابل بیان است.

- ربات انسان‌نما به علت شباهت، بهترین شریک در میان ربات‌ها برای انسان محسوب می‌شود(می‌تواند با انسان‌ها از هر سنی ارتباط برقرار کند: از بازی با کودکان گرفته تا کمک به بزرگسالان)

- می‌تواند به هر مکانی که انسان‌ها می‌توانند بروند، حرکت کند.

- می‌تواند تقریباً تمامی وظایفی که یک انسان به عهده می‌گیرد را به عهده بگیرد.

با توجه به این ویژگی‌های منحصر‌بفرد ربات دوپای انسان‌نما و همچنین مزایای نسبی دیگر انواع ربات‌های دارای پا به نظر می‌رسد کاربردهای زیر در نگاهی به آینده برای این ربات‌ها قابل پیش‌بینی باشد(شکل ۲-۱).

۱-۲-۱ ربات‌های شهری^۱

ربات‌های انسان‌نما می‌توانند در آینده وظیفه کمک به افراد و انجام بسیاری از کارها را در محیط کار و زندگی انسان به عهده بگیرند. این پژوهش با هدف افزایش بهره‌وری در محیط‌های شهری در کشور ژاپن به عنوان یک پژوهش

^۱ Urban Robots

ملی در حال پیگیری است. در این زمینه، شرکت هوندا با معرفی ربات آسیمو و تاکنون کارهایی از جمله ارائه سرویس در غذاخوری و درمانگاهها و ارائه آموزش‌های برنامه‌ریزی شده به افراد انجام داده است. ربات کیوریو ساخت شرکت سونی می‌تواند فعالیت‌هایی از قبیل بازی با کودکان و ارتباط با افرادی از سنین مختلف از جمله آشنایی و اظهار دوستی با اشخاص به‌وسیله به حافظه سپردن شکل و صدای آنها و یادآوری آن در هنگام بازدید را انجام دهد. شرکت تویوتا نیز به تازگی با ساخت ربات همیار کارهایی از جمله نواختن آلات موسیقی و انجام مراسم تشریفاتی را توسط این ربات ارائه کرده است. این کاربرد از ربات انسان‌نماینده یعنی ربات شهری به علت امکان برخورد مداوم ربات با افراد و محیط‌های ناشناخته نیاز فوق العاده‌ای را در زمینه پایدارسازی حرکتی به وجود آورده است که تاکنون کارهایی در این زمینه انجام شده است و موضوع این تحقیق نیز می‌باشد.

۲-۱ ربات پشتیبان^۱

کاربرد دیگر ربات‌های دارای پا، حمل تجهیزات برای نیروها در مناطق کوهستانی و صعب‌العبور است که به راحتی توسط این نوع ربات قابل انجام می‌باشد. شرکت بوستون داینامیکز^۲ هم‌اکنون به سفارش دولت، ربات چهارپایی را به نام سگ عظیم‌الجثه^۳ ساخته است که با تعادل بسیار بالا قادر به انجام این کار می‌باشد. با توجه به راهبردی بودن این وظیفه، کاربرد اخیر می‌تواند به یکی از مهمترین کاربردهای این ربات در آینده تبدیل شود.

۳-۱ وسایل نقلیه جدید^۴

یکی دیگر از کاربردهای این ربات‌ها می‌تواند ساخت وسایل نقلیه حرکتی جدید برای گشت و گذار در مناطق کوهستانی و دشت‌ها برای تفریح و یا حرکت از نقطه‌ای به نقطه دیگر باشد. هم‌اکنون وسیله نقلیه‌ای به صورت یک ربات تک‌پای جهش‌کننده ساخته شده است که می‌تواند یک انسان را حمل کند. افرادی که این پروژه را انجام‌داده‌اند هم‌اکنون در شرکت بوستون داینامیکز مشغول به کار هستند.

۴-۱ کاربردهای جانبی^۵

کاربردهای جانبی که در عین حال یکی از مهمترین کاربردهای تحقیقات در این زمینه است، به استفاده از نتایج بخش‌های مختلف آن در دانش بیومکانیک جهت ساخت اعضای مصنوعی فعال^۶ مانند پاهای مصنوعی متحرک، پوشش خارجی حرکتی^۷، رفع نواقص حرکتی^۸ و حرکت درمانی^۹ می‌پردازد.

¹ Military Logistics Robot

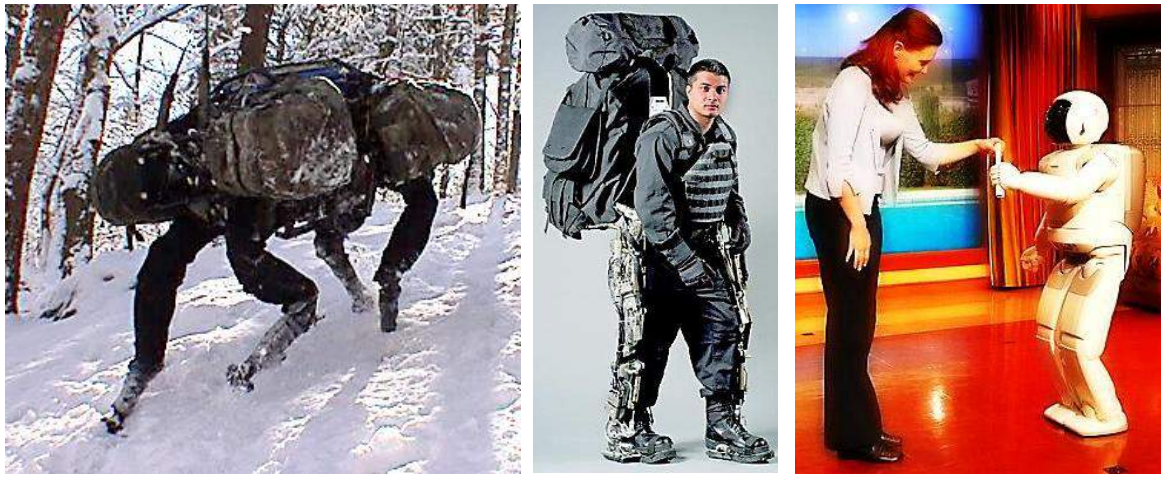
² Boston Dynamics

³ Big Dog

⁴ Legged Vehicles

⁵ Side Benefits

⁶ Active/Powered Limb Prostheses



شکل ۲-۱. برخی کاربردهای ربات‌های دارای پا

۳-۱ مفاهیم اولیه ربات دوپا

۳-۱-۱ تقسیم بندی ربات‌های دوپا

• انواع ربات‌های دوپا بر اساس نوع تحرک

ربات‌های دوپا بر اساس داشتن و یا نداشتن تحریک خارجی به دو دسته کلی ربات‌های دوپا با مفاصل غیرفعال^۴ و ربات‌های دوپا با مفاصل فعال^۵ تقسیم‌بندی می‌شوند.

ربات دوپا با مفاصل غیرفعال رباتی است که مفاصل آن بدون تحریک خارجی است و ربات تنها بر اثر نیروی جاذبه زمین بر روی سطح شیبدار به پایین حرکت می‌کند. مفهوم ربات دوپای غیرفعال اولین بار توسط مک‌گیر^۶ در سال ۱۹۹۰ ارائه شد. وی استفاده از خمیدگی در کف پا برای راه رفتن ربات دوپای غیرفعال بر روی سطحی با شبکه کم را پیشنهاد نمود^[۱]. همچنین، گوسوامی^۷ و همکارانش تعریفی برای پایداری یک ربات دوپای غیرفعال دو عضوی بیان کردند^[۲]. از نقاط ضعف ربات دوپای غیرفعال می‌توان به وابستگی شدید به شبکه سطح، عدم امکان حرکت در زمین‌های مسطح و شبکه‌های رو به بالا و عدم تغییر سرعت و طول گام در شبکه ثابت اشاره نمود.

¹ Exoskeleton

² Locomotory Rehabilitation

³ Kinesiotherapy

⁴ Passive Robot

⁵ Active Robot

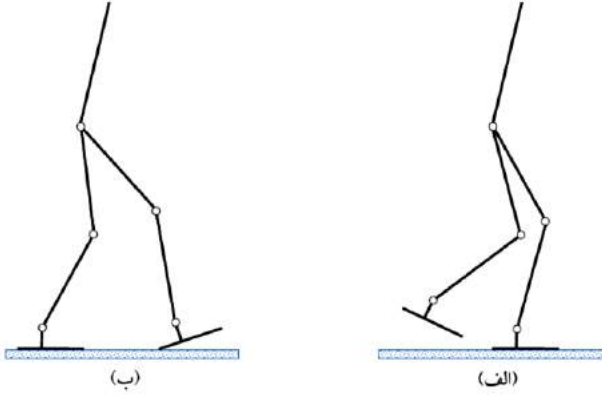
⁶ McGeer

⁷ Goswami

در ربات‌های دوپا با مفاصل فعال در هر یک از مفاصل عملگری وجود دارد. از این‌رو حرکت ربات قابل کنترل است و ربات توانایی حرکت بر روی مسیرهای مختلف را دارد. همین امر موجب گستردگی استفاده از ربات‌های دوپا با مفاصل فعال شده است.

• انواع مختلف ربات دوپا از لحاظ تعداد عضوها

مدل‌های متفاوتی برای ربات دوپا در نظر گرفته شده است. مدل سه لینکی، پنج لینکی، هفت لینکی و نه لینکی نمونه‌هایی از آن‌ها هستند. از آن‌جایی که در مدل‌های سه لینکی و پنج لینکی به ترتیب زانو و کف پا در نظر گرفته نمی‌شود، این دو مدل نمی‌توانند به خوبی گویای سینماتیک راه رفتن انسان باشند. از طرفی در مدل نه لینکی نسبت به مدل هفت لینکی پنجه در نظر گرفته می‌شود و همین امر سبب پیچیدگی سینماتیک حرکت ربات می‌گردد. مدل هفت لینکی به دور از پیچیدگی‌های مذکور، ویژگی‌های مهم راه رفتن را در نظر می‌گیرد. از این‌رو استفاده از این مدل کاربرد بیشتری نسبت به سایر مدل‌ها دارد. در شکل ۳-۱ مدل ربات دوپایی هفت لینکی نشان داده شده است.



شکل ۳-۱ فازهای راه رفتن انسان: (الف) فاز تک تکیه گاهی و (ب) فاز دو تکیه گاهی

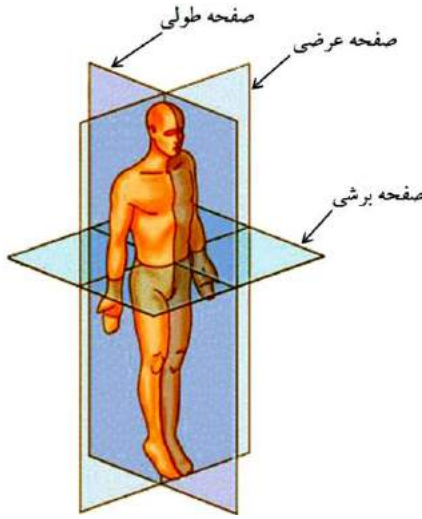
• انواع مختلف ربات دوپا از منظر عضو کف پا

ربات‌های دوپا از جهت نوع تماس کف پا با زمین به دو نوع ربات‌های ۱) دارای کف پای نقطه‌ای و ۲) ربات‌های دارای کف پای مسطح یا چندتکه تقسیم می‌شوند که نوع دوم، نوع متداول این ربات‌ها می‌باشد. ربات‌های دارای کف پای نقطه‌ای، دوپاهای کم عملگر^۱ نامیده می‌شوند، زیرا تعداد محرك‌های این ربات‌ها همواره کمتر از تعداد درجات آزادی‌شان خواهد بود، به همین دلیل توانایی کنترل دقیق حرکت آن‌ها غیرممکن است و تنها می‌توان در مورد پایداری آن‌ها حول سیکل‌های حدی سخن گفت.

^۱ Underactuated Biped

۲-۳-۱ صفحات حرکت انسان

حرکات بدن انسان در سه صفحه طولی^۱، عرضی^۲ و برشی^۳ بیان می‌شود. هر یک از این صفحات در شکل ۴-۱ نشان داده شده است. اگرچه حرکت در صفحه عرضی نقش مهمی در پایداری ربات دوپا دارد ولی برای کاستن از پیچیدگی تحلیل ربات، معمولاً تنها حرکت ربات در صفحه طولی در نظر گرفته می‌شود. به این گونه مدل‌ها، مدل‌های صفحه‌ای گفته می‌شود که مدل درنظر گرفته شده در این تحقیق نیز مدلی صفحه‌ای می‌باشد.



شکل ۴-۱ صفحه‌های حرکت انسان

۲-۳-۱ فازهای راه رفت انسان

بر اساس تماس پاها با سطح زمین، راه رفت انسان به دو فاز تک تکیه‌گاهی^۴ و دو تکیه‌گاهی^۵ تقسیم می‌شود. در فاز تک تکیه‌گاهی پای تکیه‌گاهی^۶ با زمین در تماس است و پای متحرک^۷ به طرف جلو حرکت می‌کند. فاز تک تکیه‌گاهی با بلند شدن پنجه پای متحرک از سطح زمین آغاز شده و با برخورد پاشنه آن با زمین خاتمه می‌یابد. در این فاز یک زنجیره سینماتیکی باز به وجود می‌آید. در فاز دو تکیه‌گاهی هر دو پا با زمین در تماس هستند و کل بدن به سمت جلو حرکت می‌کند. فاز دو تکیه‌گاهی با برخورد پاشنه پای متحرک با زمین آغاز شده و با بلند شدن

¹ Sagittal Plane

² Lateral Plane

³ Transverse Plane

⁴ Single Support

⁵ Double Support

⁶ Stance Leg

⁷ Swing Leg

پنجه پای تکیه‌گاهی از سطح زمین خاتمه می‌یابد. در این فاز یک زنجیره سینماتیکی بسته^۱ به وجود می‌آید. در شکل ۳-۱، فازهای حرکت یک ربات دوپای هفت عضوی نشان داده شده است.

۴-۳-۱ پایداری ربات دوپا

یکی از مهمترین مسائلی که در مورد ربات‌های دارای پا مطرح می‌شود، حفظ تعادل ربات در هنگام راه رفتن است. در ربات‌های راه رونده نظیر ربات‌های هشت‌پا، شش‌پا، دوپا و یک‌پا بسته به نوع ربات، تمایل به ناپایداری متفاوت است. در ربات‌هایی که تعداد پاهای آن‌ها زیاد است، تمایل به ناپایداری به مراتب کمتر از ربات‌هایی با تعداد پای کمتر است. در بخش بعدی به لزوم پرداختن به بحث پایداری، معیارهای پایداری^۲ و بسط مفهوم پایداری ربات‌های دارای پا خواهیم پرداخت تا به یک صورت مسئله کلی برای کنترل پایداری دست پیدا کنیم.

۴-۱ پایداری

۱-۴-۱ لزوم پرداختن به مسئله پایداری

یکی از کلیدی‌ترین نکات در تاریخچه تحقیقاتی ربات‌های دارای پا، گره‌خوردن مبحث پایداری در این ربات‌ها با روش‌های کنترلی آن و حتی مقدم‌بودن پایداری نسبت به کنترل است که نشان از اهمیت بالای مبحث پایداری دارد. ارائه معیارهای پایداری دینامیکی متعدد دیگری غیر از نقطه گشتاور صفر^۳ از جمله معیار شاخص دوران پا^۴، معیار نرخ اندازه‌حرکت زاویه‌ای صفر^۵، نشان از میزان اشتغال فکری محققان به این زمینه تحقیقاتی است که هنوز به نتیجه‌های نهایی نیز نرسیده است. لزوم پرداختن به مبحث پایداری و کنترل پایداری در موارد زیر قابل بیان است.

- در حرکت این ربات‌ها نیازی ذاتی به پایداری وجود دارد که به علت وجود کنش و واکنش نیرویی مدام و در عین حال قطع و وصل شونده بین ربات و محیط می‌باشد (همواره پاها با زمین در حال برخورد و جداشدن هستند). (شکل ۵-۱-الف)
- حرکت در زمین‌های ناشناخته، ناهموار و یا دارای شیب، و جلوگیری از تاثیر اغتشاشات داخلی، نیاز به کنترل پایداری به صورت به‌هنگام^۶ دارد. (شکل ۵-۱-ب)

¹ Close-Chain Configuration

² Stability Criteria

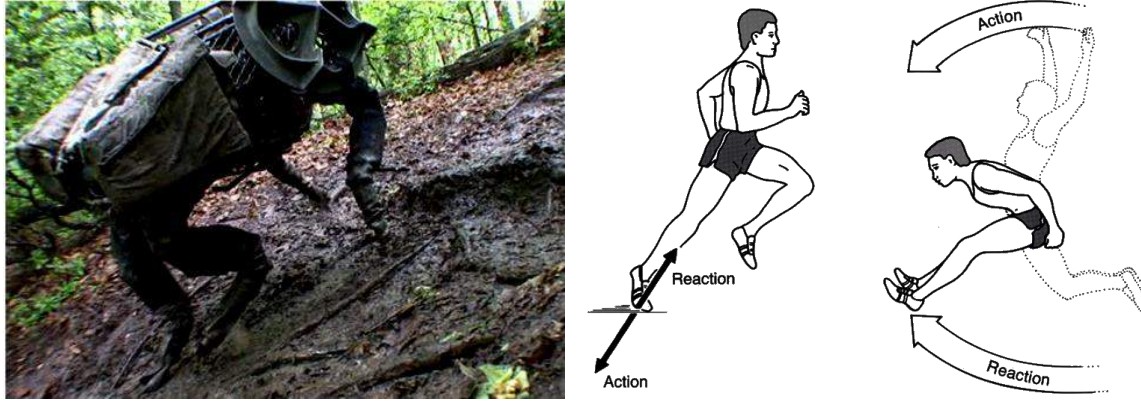
³ ZMP: Zero Moment Point

⁴ FRI: Foot Rotation Index

⁵ ZRAM: Zero Rate of Angular Momentum

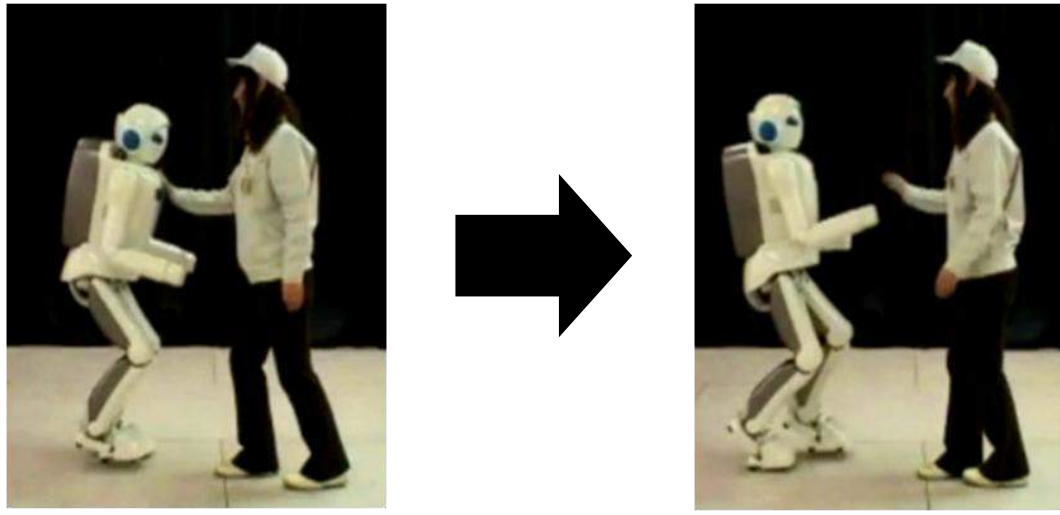
⁶ online

- هل داده شدن، وارد شدن ضربه در اثر برخورد با موائع و به وجود آمدن اختلالات حرکتی داخلی یا خارجی نیاز به طراحی کنترل کننده‌هایی با مقاومت بالا برای پایدارسازی مجدد خواهد داشت. (شکل ۶-۱)



الف - کنش و واکنش نیرویی قطع و وصل شونده بین بدن و محیط ب - حرکت در زمین‌های ناشناخته یا ناهموار

شکل ۶-۱. نیازهای موجود در پرداختن به پایداری و کنترل پایداری در ربات‌های دارای پا



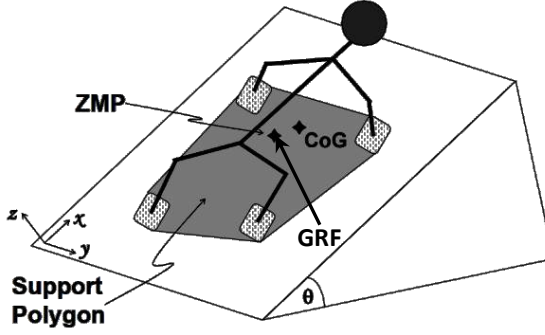
شکل ۶-۲. نیاز به پایدارسازی مجدد پس از دریافت ضربه

۲-۴-۱ معیارهای پایداری

• پایداری وضعی

همانطور که ذکر شد، پایداری یکی از مسئله‌های باقیمانده در ربات‌های دارای پا می‌باشد. تاکنون نزد همه محققان به غیر از مولفان مراجع [۳] و [۴]، پایداری این ربات‌ها برابر با پایداری وضعی^۱ تعریف شده است. پایداری وضعی، ادامه حرکت ربات در یک وضعیت ثابت و یا بر روی یک مسیر از پیش طراحی شده را تضمین می‌کند که به دو حالت پایداری استاتیکی و دینامیکی تقسیم‌بندی می‌شود.

برای معرفی انواع معیارهای پایداری وضعی نیاز به تعاریف جدید خواهیم داشت: ناحیه تکیه‌گاهی^۲، ناحیه محدب مت Shank از تمامی نقاط تماسی بین ربات و زمین است و نیروی عکس‌العمل زمین (GRF)^۳، نیروی برآیند تمام نیروها و گشتاورهای واردۀ از طرف سطح زمین به ربات می‌باشد و هر لحظه در یک موقعیت و راستای مشخص قرار دارد (شکل ۷-۱).



شکل ۱-۷-۱. ناحیه تکیه‌گاهی (Support Polygon)، نیروی عکس‌العمل زمین (GRF)، تصویر مرکز ثقل (CoG) و نقطه گشتاور صفر (ZMP)

به طور کلی می‌توان گفت، تا زمانی که برآیند نیروهای واکنشی واردۀ از سطح زمین (GRF) داخل ناحیه تکیه‌گاهی قرار دارد، پایداری وضعی تضمین می‌شود ولی اگر بر روی مرز این ناحیه قرار گرفت، این پایداری تضمین نمی‌شود و با داشتن این اطلاعات نمی‌توان در مورد پایداری وضعی سخن بیشتری گفت. معیارهای مرکز ثقل (CoG)^۴ و نقطه گشتاور صفر (ZMP)^۵ بر این واقعیت استوار هستند. در ادامه معیار پایداری شاخص دوران پا (FRI)^۶ معرفی شده است که وضعیت پایداری وضعی در این حالت را با درنظر گرفتن اطلاعات بیشتری مانند نیروهای وارد بر هر پا و گشتاور مچ پا مشخص می‌کند. نقطه صفر کننده نرخ اندازه حرکت زاویه‌ای (ZRAM)^۷ نیز

¹ Postural Stability

² Support Polygon

³ GRF: Ground Reaction Force

⁴ CoG: Center of Gravity

⁵ ZMP: Zero Moment Point

⁶ FRI: Foot Rotation Indicator

⁷ ZRAM: Zero Rate of Angular Momentum

یک معیار پایداری محسوب می‌شود که میزان پایداری دورانی ربات^۱ را بررسی می‌کند ولی هرگز یک شرط لازم یا کافی نه برای پایداری وضعی و نه برای معیار پایداری کلی به حساب نمی‌آید.

۱. معیار پایداری استاتیکی مرکز ثقل (CoG)

این معیار بیان می‌کند که ربات دارای پا، مادامی که تصویر مرکز ثقل آن در امتداد شتاب جاذبه از ناحیه تکیه-گاهی بگذرد، دارای پایداری استاتیکی است که از نوشتمن معادلات تعادل نیرو و گشتاور نتیجه می‌گردد.

۲. معیار پایداری دینامیکی نقطه گشتاور صفر (ZMP) یا مرکز فشار (CoP)^۲

نقطه گشتاور صفر (ZMP) که اول بار توسط ووکوبراتویچ^۳ در سال ۱۹۷۲ معرفی شد، طبق تعریف اول اصلاح-شده توسط وی در سال ۲۰۰۴، نقطه‌ای بر روی سطح زمین است که گشتاور ایجادشده توسط مجموعه نیروهای گرانشی و ایرسی ربات، در راستای محورهای واقع در سطح افق، در آن نقطه صفر می‌شود. معیار ZMP بیان می‌کند که اگر نقطه ZMP در ناحیه محدب مشکل از همه نقاط تکیه گاهی قرارگیرد، ربات پایداری خواهد داشت ولی در حالتی که بر روی مرز این ناحیه بیافتد، تضمینی جهت حفظ پایداری وجود نخواهد داشت. این معیار تنها شرطی کافی برای پایداری بیان می‌کند. با نوشتمن معادلات تعادل نیرو و گشتاور می‌توان نشان داد نقطه ZMP بر مرکز فشار (CoP) نیروی عکس العمل زمین (GRF) منطبق است و بنابراین هردو تعریفی معادل را ارائه می‌کنند.

۳. معیار پایداری شاخص دوران پا (FRI)

گوسوامی^۴ در سال ۱۹۹۹، نقطه‌ای با عنوان شاخص دوران پا (FRI) معرفی کرد. وی این نقطه را، مکانی بر روی صفحه تماسی کف پا با زمین معرفی می‌کند که اگر بردار مجموع نیروها و گشتاورهای واردشده از طرف سطح زمین بر عضو کف پا در این نقطه عمل کند، از دوران کف پا جلوگیری می‌کند[۵]. بدیهی است این نقطه می‌تواند خارج محوطه تکیه گاهی نیز قرار گیرد که در این صورت به دلیل عدم امکان تامین گشتاور لازم، کف پا حول پنجه یا پاشنه دوران می‌کند و ناپایداری وضعی به وجود می‌آید. هر چه فاصله این نقطه از مرز ناحیه تکیه گاهی دورتر باشد، ناپایداری بیشتر خواهد شد و مزیتش نسبت به ZMP، ارائه معیاری لازم و کافی برای پایداری حرکت ربات براساس وضعیت کف پا خواهد بود. کاربرد این معیار در اندازه گیری میزان پایداری به هنگام کنترل به هنگام پایداری وضعی است.

¹ Tip Over Stability

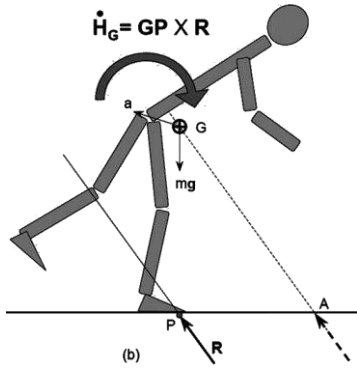
² CoP: Center of Pressure

³ Vukobratović

⁴ Goswami

۴. معیار نرخ اندازه حرکت زاویه‌ای صفر (ZRAM)

گوسوامی سپس در سال ۲۰۰۴ نقطه‌ای با عنوان نقطه نرخ اندازه حرکت زاویه‌ای صفر (ZRAM) مطرح کرد که حتی در حالتی که مرکز فشار (COP) داخل ناحیه تکیه گاهی (نرسیده به مرز ناحیه) حفظ می‌شود، معیاری برای میزان ناپایداری ربات بر حسب فاصله گرفتن از نرخ اندازه حرکت زاویه‌ای صفر بدست می‌دهد [۶]. نقطه ZRAM مکانی بر روی سطح تکیه گاهی است که اگر بردار مجموع نیروهای تماسی در آن نقطه عمل کند، از مرکز نقل ربات می‌گذرد و نرخ اندازه حرکت زاویه‌ای کل ربات را صفر می‌کند. البته در پایان یادآور می‌شود غیر صفر بودن نرخ اندازه حرکت زاویه‌ای، تنها دلیل ناپایداری نیست و غیر صفر بودن خود اندازه حرکت زاویه‌ای نیز منجر به ناپایداری می‌گردد (شکل ۸-۱).



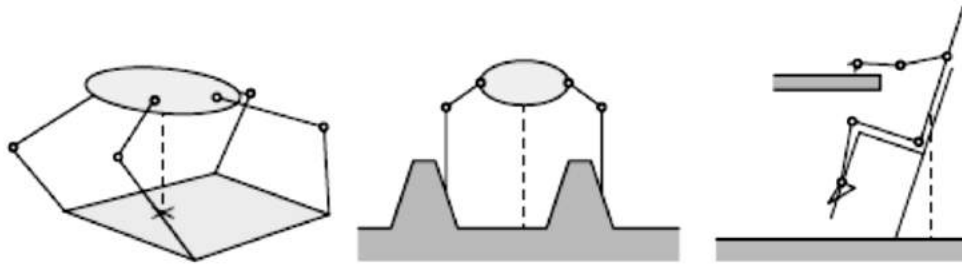
شکل ۸-۱ نیروی GRF است که در P یا نقطه COP (مرکز فشار) عمل می‌کند و A نقطه ZRAM را نشان می‌دهد.

• پایداری کلی

تلاشی که محققان برای رسیدن به یک معیار پایداری تعیین یافته‌تر نسبت به معیارهای پایداری وضعی انجام-داده‌اند تا کاستی‌های معیارهای موجود را بر طرف بسازد، به خصوص کار مولفان [۳] و [۴] ما را تشویق کرد تا به بررسی مفهوم پایداری پردازیم. توسعه این مفهوم در ادامه به ما کمک خواهد کرد تا با درنظرداشتن آن در این پژوهش، به یک روش جدید کنترل پایداری دست یابیم که به مسئله پایداری به عنوان حفظ متغیرهای سیستم درون یک ناحیه زیست‌پذیر که تنها خصوصیت آن جلوگیری از افتادن است، نگاه می‌کند. اگرچه در این روش کنترلی، معیاری جایگزین معیارهای وضعی مطرح نمی‌شود، اما، یک سطح پایداری بالاتری تعریف می‌گردد که محدوده وسیع‌تری از فضای حالت را پوشش می‌دهد. این روش کنترل پایداری با تعریف سیکل‌های حرکتی، بر پایه هدایت و کنترل حرکت به سمت این سیکل استوار خواهد بود و خود را محدود به طراحی یک مسیر پایدار برای زوایای مفاصل و کنترل حرکت مفاصل حول آن مسیر نخواهد کرد. این روش نیازی به بررسی پایداری خود با معیارهای پایداری وضعی ندارد چراکه دیگر توجهی به دوری یا نزدیکی حرکت مفاصل خود به یک مسیر حرکتی از پیش-طراحی شده نخواهد کرد.

۳-۴-۱ بررسی درستی معیارهای متداول پایداری و نقصهای موجود در آن‌ها

معیارهای مطرح شده اگرچه هریک دارای مزایایی می‌باشند، نقصهایی نیز به همراه دارند. اگر از معیار COG که تنها حالت استاتیکی را توصیف می‌کند آغاز کنیم، همان‌طور که در شکل ۹-۱ نمایش داده شده است، این معیار در حالت کلی نه شرط لازم و نه کافی برای پایداری است و تنها شرطی کافی برای حرکت‌های آرام بر روی زمین-های مسطح با فرض غیردقيق تامین اصطکاک موردنیاز می‌باشد، ولی برای زمین‌های ناهموار بررسی شرط عدم لغزش برای بررسی پایداری حتماً باید انجام شود. همچنین در حالاتی که تکیه‌گاهی در ارتفاعی بالاتر از مرکز ثقل ربات قرار گیرد، این معیار شرطی لازم برای پایداری نیست.



شکل ۹-۱. به طور کلی یک ربات دارای پا (Legged Robot) مادامی که امتداد مرکز ثقل آن از ناحیه محدب مشکل از نقاط تکیه-گاهی بگذرد، دارای پایداری استاتیکی است (چپ) ولی گاهی این اتفاق می‌افتد و ربات پایدار نیست (وسط) و گاهی نیز مرکز ثقل این شرط را برآورده نمی‌کند ولی ربات تعادل پایدار دارد (راست).

معیار ZMP نیز دقیقاً دارای همین اشکالات است به علاوه اینکه این معیار تنها شرطی کافی برای پایداری وضعیت تکیه‌گاه ربات ارائه می‌دهد. در حالتی که ZMP در مرز ناحیه تکیه‌گاهی قرار می‌گیرد، وضعیت پایداری نامشخص است. اگرچه برای استفاده از معیارهای دینامیکی بر روی سطوح غیریکنواخت نیز تلاش‌هایی شده-است [۶]، ولی معیارهای حاصل، معیارهایی غیردقيق به حساب می‌آیند.

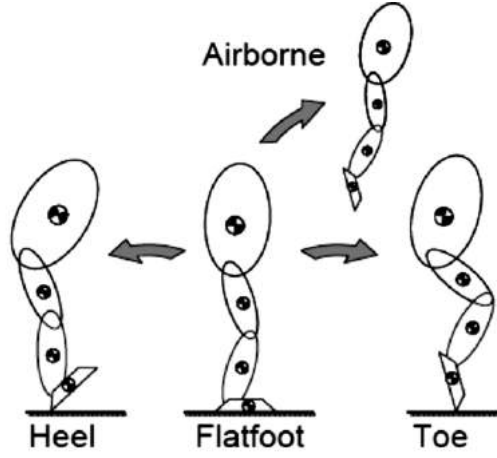
معیار FRI نیز اگرچه شرطی لازم و کافی برای پایداری مطرح می‌کند ولی نکته اینجا است که در همه این معیارهای متداول پایداری که تا اینجا بررسی شد، **پایداری وضعیت تکیه‌گاهها** معیاری برای پایداری کلی راه-رونده تلقی شده است که همان‌طور که در ادامه با پرداختن به مفهوم مسئله پایداری، نشان خواهیم داد، **الزامی برای معادل گرفتن این دو پایداری وجود ندارد**.

معیار ZRAM نیز هرچند از معادل دانستن پایداری ربات با پایداری وضعیت تکیه‌گاه‌ها فراتر رفته، ولی به اعتراف خود همه علت‌ها یا به‌طور صریح‌تر علت اصلی ناپایداری در این معیار درنظر گرفته نشده است و بنابراین نمی‌توان از آن به عنوان یک معیار پایداری جامع یاد کرد.

۴-۴-۱ مفهوم پایداری ربات‌های دارای پا و ارائه تعریفی جدید از پایداری کلی

برای شروع، با یک مثال مسئله پایداری را بررسی می‌کنیم. اگر به یک ربات دوپا که در حالت ایستاده قرار دارد، اغتشاشی وارد شود ربات می‌تواند حالت خود را حفظ کند و یا به یکی از سه حالت (روی پاشنه، روی پنجه و

معلق در هوا)، نمایش داده شده در شکل ۱۰-۱ درآید ولی مدامی که این ربات بتواند دوباره به حالت ایستاده بازگردد، از آن به عنوان حرکتی پایدار یاد می‌کنیم. بدیهی است در صورت ناپایدار شدن، ربات به زمین خواهد افتاد.[۴]



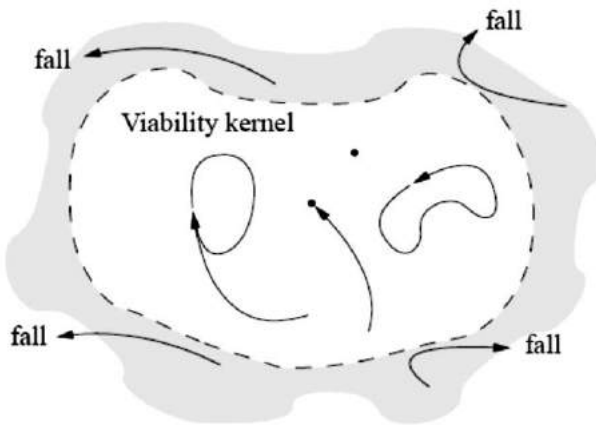
شکل ۱۰-۱. وضعیت ربات ایستاده پس از وارد کردن یک اختشاش [۴]

با توجه به این مثال می‌توان نتیجه گرفت، مفهوم پایداری در ربات‌های دارای پا دقیقاً به معنی پایداری حول یک نقطه تعادل یا مسیر مرجع و یا حرکت به سمت سیکل‌های حدی مانند دیگر سیستم‌های مکانیکی نمی‌باشد، بلکه مفهومی معادل با ادامه وظیفه حرکتی بدون واژگون شدن را یادآوری می‌کند. این نوع تعریف از پایداری با تصوری زیست‌پذیری^۱ قابل بیان است. اگر مجموعه حالاتی که به طور حتم منجر به افتادن یا واژگون شدن ربات می‌شود را \mathcal{F} در نظر بگیریم، یک حالت $(\dot{\theta}, \theta)$ زیست‌پذیر است اگر و تنها اگر سیستم قادر باشد یک حرکت (t) را از این حالت آغاز کند و هرگز وارد \mathcal{F} نشود. در واقع مجموع تمام حالاتی از سیستم که جلوگیری از واژگون شدن در آن ممکن است و ربات می‌تواند به هدف حرکتی اصلی خود بازگردد، مجموعه‌ای از نقاط در فضای حالت را تعریف می‌کند که از آن به محدوده یا هسته زیست‌پذیر^۲ تغییر می‌شود. در صورت استفاده همیشگی از حداکثر امکان برای جلوگیری از واژگونی، هسته زیست‌پذیر یک مجموعه نامتغیر^۳ نیز محسوب می‌شود(شکل ۱۱-۱).

¹ Viability Theory

² Viability Kernel

³ Invariant Set



شکل ۱۱-۱. هسته زیست‌پذیر شامل همه حالاتی است که می‌توان از به زمین افتادن ربات جلوگیری کرد. برای مثال نقاط تعادل و سیکل‌های حدی جز این هسته اند ولی خارج بودن از این هسته (قرارگرفتن در \mathcal{F} : Fall States) حتماً منجر به افتادن خواهد شد. [۳]

با تعریف این مجموعه نامتغیر، مرز پایداری و میزان پایداری قابل تعریف خواهد بود ولی نکته این است که تعریف ریاضی هسته زیست‌پذیر به دلیل وجود پیچیدگی بالای دینامیک ربات‌های راهروند تقریباً ناممکن است. با این حال، با تعیین یک کنترل‌کننده مشخص، می‌توان به محدوده‌ای کنترل‌پذیر به صورت یک مجموعه نامتغیر دست یافت که زیرمجموعه‌ای از این هسته زیست‌پذیر می‌باشد. در واقع مجموع تمام محدوده‌های کنترل‌پذیر که توسط انواع کنترل‌کننده‌ها قابل دسترسی است، نزدیک ترین تعریف به هسته زیست‌پذیر را ارائه خواهد کرد ولی رسیدن به چنین تعریفی نیاز به طراحی کنترل‌کننده‌های متنوع و محاسبات عددی بسیار طولانی خواهد داشت که انجام آن قابل توجیه و احتمالاً قابل انجام نیز نمی‌باشد.

شاید رسیدن به یک تخمین ضعیف‌تر از مرز این مجموعه نامتغیر با استفاده از پایداری لیپانوف یا شبه‌لیپانوف، ممکن باشد. فرض کنیم تابع اسکالار مثبت غیرمعین $V(\theta, \dot{\theta})$ با مشتق پیوسته قابل تعریف است که مقدار آن مادامی که کنترل‌کننده فعال می‌شود (و پایداری حفظ می‌گردد)، از یک حد مجاز α افزایش نمی‌یابد و بالعکس در صورتی که $V(\theta, \dot{\theta}) < \alpha$ باشد، فعالیت کنترل‌کننده می‌تواند پایداری را حفظ کند. می‌توان نتیجه گرفت که مجموعه $V_\alpha = \{(\theta, \dot{\theta}) \mid V(\theta, \dot{\theta}) < \alpha\}$ مادامی که کنترل‌کننده فعال است، یک مجموعه نامتغیر خواهد بود. حال مجموع تمام مجموعه‌های V_α که در حالت فعال بودن کنترل‌کننده با \mathcal{F} تداخل ندارند، یک مجموعه نامتغیر را تشکیل می‌دهند که اگر بزرگترین آن‌ها را V_Ω فرض کنیم، فاصله نقاط حالت با مرزهای این مجموعه میزان پایداری را مشخص می‌کند و می‌توان از رابطه $V(\theta, \dot{\theta}, \Omega) = V(t, \theta, \dot{\theta})$ ، به عنوان معیاری برای نزدیک شدن به مرز نامتغیر را مشخص کرد. برای حالاتی که کنترل‌کننده تابعی از زمان باشد نیز می‌توان با اندکی تغییرات تعریف مشابهی ارائه داد با این تفاوت که $V(t, \theta, \dot{\theta})$ توابعی از زمان هستند و پایداری در هر لحظه با یک مجموعه نامتغیر قابل بیان است که در مرجع [۳] شرح داده شده است.

۱-۵ کنترل پایداری (روش‌های متداول)

کنترل کننده‌های متداول برای حفظ پایداری ربات‌های دارای پا به دو شیوه کلی تقسیم‌بندی می‌شوند که یکی کنترل غیربه‌هنگام و دیگری کنترل به‌هنگام پایداری است. مبنای هر دو روش حرکت بر روی یک مسیر از پیش-طراحی شده است که پایداری آن‌ها با توجه به معیارهای پایداری وضعی و به خصوص معیار گشتاور صفر مجازی (FZMP) تضمین شده باشد. به همین جهت در ابتدای این بخش، ابتدا به مبحث طراحی مسیر پایدار می-پردازیم تا در معرفی دو شیوه کنترل کننده‌های پایداری به چگونگی به کار گیری آن در کنترل پایداری پردازیم.

۱-۵-۱ طراحی مسیر پایدار^۱

معیار نقطه گشتاور صفر (ZMP) رابطه‌ای کلی برای طراحی مسیر حرکت این ربات‌ها است که پایداری وضعی آن مسیر را تضمین می‌کند. این معیار هنگام طراحی مسیر، یک رابطه مجازی است و با موقعیت و شتابی که ربات در عمل خواهد داشت، متفاوت خواهد بود (زیرا در عمل همواره نقطه گشتاور صفر (ZMP) منطبق بر نقطه مرکز فشار (COP) است که هیچگاه از ناحیه تکیه‌گاهی خارج نمی‌شود)، به همین جهت این معیار را در زمان طراحی مسیر، نقطه گشتاور صفر مجازی (FZMP)^۲ می‌نامیم. استفاده این قاعده با رابطه (۱-۱) در دو راستای افقی X و Y زمین قابل بیان است. شرط کافی برای حفظ پایداری وضعی بدین صورت خواهد بود که FZMP محاسبه شده برای یک مسیر از طریق این فرمول باید داخل ناحیه تکیه‌گاهی قرار گیرد. اگرچه شرط عدم لغزش و عدم جداسدن از زمین نیز، شروطی لازم برای پایداری محسوب می‌شوند ولی معمولاً شرایط ضعیف‌تری هستند و همواره برآورده می‌شوند.

$$x_{ZMP} = \frac{\sum_{i=1}^n x_{G_i} \times m_i(\ddot{z}_{G_i} + g) - \sum_{i=1}^n z_{G_i} \times m_i \ddot{x}_{G_i} - \sum_{i=1}^n \bar{I}_{y_i} \ddot{q}_{y_i}}{\sum_{i=1}^n m_i(\ddot{z}_{G_i} + g)} \quad (1-1)$$

$$y_{ZMP} = \frac{\sum_{i=1}^n y_{G_i} \times m_i(\ddot{z}_{G_i} + g) - \sum_{i=1}^n z_{G_i} \times m_i \ddot{y}_{G_i} - \sum_{i=1}^n \bar{I}_{x_i} \ddot{q}_{x_i}}{\sum_{i=1}^n m_i(\ddot{z}_{G_i} + g)}$$

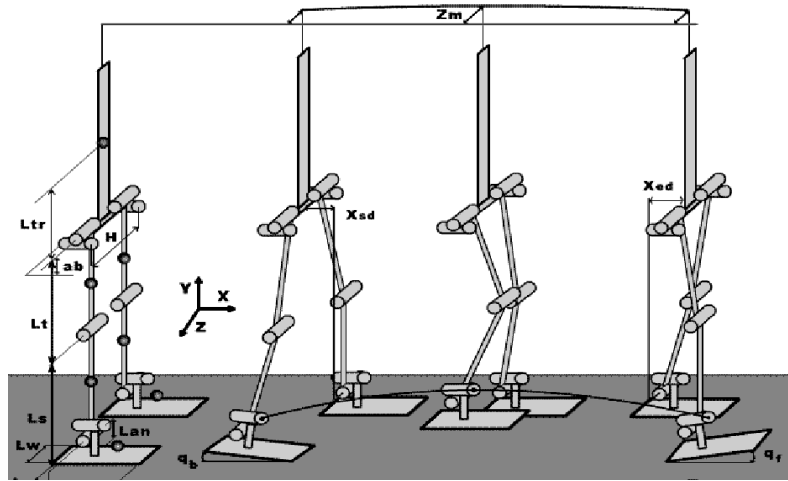
دو شیوه کلی برای تولید مسیر حرکتی این نوع ربات‌ها وجود دارد که در ادامه توضیح داده خواهد شد. همچنین استفاده از مسیرهای حرکتی ضبط شده توسط انسان یا دیگر موجودات دارای پا یک راه حل دیگر برای این مسئله است که به علت محدودیت‌های آن کمتر مورد استفاده قرار می‌گیرد.

¹ Walking Pattern Generation

² FZMP: Fictitious Zero Moment Point

۱) روش طراحی مسیر پارامتری

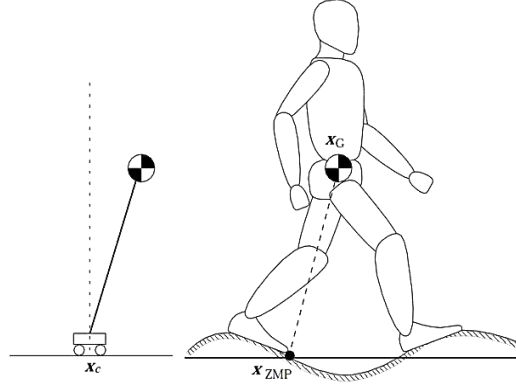
در این روش ابتدا یک مسیر حرکتی پارامتری برای نقاط کلیدی مانند پاها و بالاتنه در نظر گرفته می شود به نحوی که با مشخص بودن این مسیر، مسیر حرکت مفاصل قابل محاسبه باشد. سپس مقادیر عددی پارامترها را به نحوی می یابیم تا حرکتی را تولید کنند که نقطه گشتوار صفر مجازی ناشی از آن همواره داخل ناحیه تکیه گاهی قرار بگیرد (شکل ۱۲-۱).



شکل ۱۲-۱. طراحی مسیر پارامتری حرکت ربات دوپا

۲) روش طراحی مسیر بر اساس مدل حرکتی

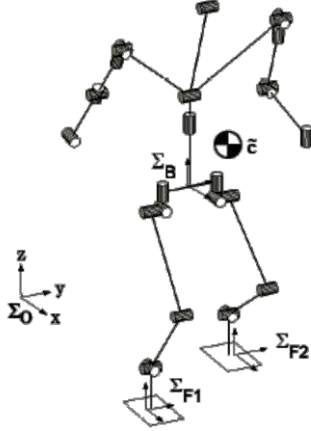
در این روش ابتدا یک مدل ساده برای حرکت ربات در نظر می گیریم، به عنوان مثال یک مدل پاندول معکوس خطی برای حرکت بالاتنه در نظر گرفته می شود (شکل ۱۳-۱). سپس با در نظر گرفتن یک مسیر مطلوب برای نقطه گشتوار صفر مجازی، مسیر حرکت مرکز جرم، طوری طراحی می شود که نقطه گشتوار صفر مجازی حاصل از مجموع نیروهای وزن و اینرسی آن بر روی این مسیر قرار گیرد. در پایان، این مسیر طراحی شده برای حرکت مرکز جرم، توسط یک نگاشت بر روی مدل کامل یک ربات منطبق می شود و مسیر حرکت مفاصل به دست می آید.



شکل ۱۳-۱. مدل ساده پاندول معکوس برای حرکت انسان

(۳) نگاشت از فضای اندازه حرکت(موقعیت مرکز جرم و دوران) به فضای سرعت مفاصل(زوایای مفاصل)

علاوه بر داشتن مسیر حرکت مطلوب مرکز جرم بر حسب زمان، نیاز به تبدیل آن به صورت زوایای مفاصل برای استفاده در کنترل کننده، خواهیم داشت. همواره رابطه مشخصی بین موقعیت مرکز جرم و زوایای مفاصل وجود دارد. با درنظر گرفتن مشتق زمانی این روابط موقعیت، روابط سرعت، رابطه‌ای جامع برای تبدیل اندازه حرکت کلی (خطی و زاویه‌ای) به سرعت مفاصل، توسط کاجیتا^۱ در مرجع [۷] پیشنهاد شده است که در این قسمت به توصیف این کار می‌پردازیم. اگر ربات انسان‌نمایی با پیکره‌بندی شکل ۱۴-۱ را درنظر بگیریم، حرکت ربات به وسیله زوایای مفاصل ربات به همراه سرعت آن‌ها و سه مولفه بردار سرعت به همراه سه مولفه بردار سرعت زاویه‌ای یک عضو مبنای B (در اینجا عضو لگن) قابل تعریف است. رابطه ورودی – خروجی بین این کمیت‌های حرکتی با کمیت‌های حرکتی کلی که شامل سه مولفه اندازه حرکت خطی و سه مولفه اندازه حرکت زاویه‌ای می‌شود توسط رابطه (۱-۲) قابل بیان است. استخراج این رابطه می‌تواند به صورت بازگشتی از عضوهای انتهایی تا عضو مانا و یا از طریق گرفتن ژاکوبین رابطه اندازه حرکت انجام شود [۷]. در این حرکت هیچ قید حرکتی لحاظ نشده و بنابراین ربات در حالت پروازی (جدای از زمین) فرض شده است.



شکل ۱۴-۱. پیکره‌بندی کلی یک ربات انسان‌نمایی [۷]

$$\begin{bmatrix} L \\ H \end{bmatrix} = J(\theta) \begin{bmatrix} v_B \\ \omega_B \\ \dot{\theta} \end{bmatrix} = J_M(\theta) \begin{bmatrix} v_B \\ \omega_B \\ \dot{\theta}_{free} \end{bmatrix} + \sum_{i=1}^2 J_{F,i}(\theta) \dot{\theta}_{leg,i} \quad (2-1)$$

در این رابطه L اندازه حرکت خطی، H اندازه حرکت زاویه‌ای، v_B و ω_B بردارهای سرعت و سرعت زاویه‌ای عضو مانا و $\dot{\theta}$ بردار سرعت زاویه‌ای تمامی مفاصل ربات است. همچنین $J_M(\theta)$ ، یک ماتریس ژاکوبین است. حال اگر بخواهیم معادلات قید حرکت (مسیر مطلوب برای سرعت‌های خطی و زاویه‌ای دو عضو کف پا) که به صورت رابطه (۱-۳) قابل بیان است، را وارد رابطه (۱-۲) کنیم،

¹ Kajita

$$\begin{bmatrix} v_{F_i} \\ \omega_{F_i} \end{bmatrix} = T_{F_i}(\theta) \begin{bmatrix} v_B \\ \omega_B \end{bmatrix} + J_{leg,i}(\theta) \dot{\theta}_{leg,i}, \quad i = 1, 2 \quad (3-1)$$

با جداسازی بردار سرعت مفاصل به صورت $\dot{\theta} = [\dot{\theta}_{free} \quad \dot{\theta}_{leg,1} \quad \dot{\theta}_{leg,2}]$ مربوط به مفاصل خارج از پاها (به غیر از عضو مبنا) هستند، و محاسبه $\dot{\theta}_{leg,i}$ با وارون گیری از رابطه (۳-۱)، به رابطه‌ای با فرم رابطه (۴-۱) خواهیم رسید:

$$\begin{bmatrix} L \\ H \end{bmatrix} = \tilde{J}_M(\theta) \begin{bmatrix} v_B \\ \omega_B \\ \dot{\theta}_{free} \end{bmatrix} + \sum_{i=1}^2 \tilde{J}_{F,i}(\theta) \begin{bmatrix} v_{F_i} \\ \omega_{F_i} \end{bmatrix} \quad (4-1)$$

در نهایت با شبه‌وارون گرفتن از این رابطه به رابطه (۵-۱) خواهیم رسید که در صورت افزونگی درجات آزادی، بینهایت جواب دقیق به ما می‌دهد. از تغییر بردار Z می‌توان برای بهینه‌سازی اهداف مختلفی از جمله نزدیک کردن مسیر حرکت مفاصل به یک مسیر دلخواه، استفاده نمود. این رابطه، v_B ، ω_B و $\dot{\theta}_{free}$ را بازای ورودی مطلوب برای اندازه‌حرکت و حرکت کف پاها محاسبه می‌کند که با جایگذاری در وارون رابطه (۳-۱)، $\dot{\theta}_{leg,i}$ ها نیز محاسبه می‌شوند.

$$\begin{bmatrix} v_B \\ \omega_B \\ \dot{\theta}_{free} \end{bmatrix} = \tilde{J}_M^{\#} \left(\begin{bmatrix} L^{ref} \\ H^{ref} \end{bmatrix} - \sum_{i=1}^2 \tilde{J}_{F,i} \begin{bmatrix} v_{F_i}^{ref} \\ \omega_{F_i}^{ref} \end{bmatrix} \right) + (E - \tilde{J}_M^{\#} \tilde{J}_M) Z \quad (5-1)$$

۲-۵-۱ کنترل غیربه‌هنگام^۱

شیوه کنترل غیربه‌هنگام، در واقع، اساسا بازخورد^۲ پایداری را در زمان حرکت در نظر نمی‌گیرد و بر این واقعیت استوار است که اگر مفاصل با دقت خوبی مسیر پایدار از پیش طراحی شده‌ای را (که حاشیه امنی را برای پایداری تضمین می‌کند)، دنبال کنند، متعاقبا ZMP^۳، رابطه (۱-۱)، نیز با دقت خوبی داخل ناحیه تکیه‌گاهی می‌افتد و پایداری حفظ خواهد شد.

برای تعییب حرکت مفاصل دو روش کنترلی مفاصل مجرا (SJ)^۴ و روش گشتاور محاسبه شده (CTM)^۵ استفاده می‌شود. روش CTM با توجه به خطای ناچیز در تعییب مسیر و مقاومت نسبتا بالا در برابر اختلالات، روشی مناسب برای این شیوه از کنترل به حساب می‌آید ولی استفاده از روش SJ با توجه به سادگی در این شیوه کنترلی پر کاربردتر و متداول‌تر است که با توجه به زیاد بودن خطای تعییب مسیر در آن، تضمین ضعیفی را برای حفظ پایداری به دنبال دارد.

¹ Offline

² Feedback

³ SJ: Separated Joint

⁴ CTM: Computed Torque Method

۱-۵-۳ کنترل به هنگام^۱

این شیوه در واقع مبنی کنترل کننده پایداری وضعی است که پیشخوراند از خطای پایداری در آن وجود دارد. معمولاً از خطای موقعیت ZMP، FRI و یا نیروهای تماسی برای کنترل پایداری ربات استفاده می‌شود. دو روش جبران کننده خطای نقطه گشتاور صفر^۲ که با تغییر در مسیر حرکتی یک یا چند مفصل (مفاصیل ران) انجام می‌شود و روش کنترل نیروهای تماسی^۳ از عمدۀ ترین روش‌ها در این شیوه کنترلی است. یکی از کنترل کننده‌های روش جبران کننده خطای نقطه گشتاور صفر که بسیار متداول و در عین حال ساده است، روش کنترل زوایه مطلق بالاتنه است. این روش بر این فرض مبتنی است که انحراف نقطه گشتاور صفر واقعی از مسیر مورد انتظار خود، بیش از هر چیز ناشی از حرکت بالاتنه است، زیرا این بخش از بدن، بیشترین جرم را داشته و همچنین در بالاترین ارتفاع قرار گرفته که با توجه به مدل پاندول معکوس، این دو ویژگی بیشترین تاثیر را در ناپایدار کردن حرکت خواهند داشت. بنابراین با کنترل به هنگام زاویه مطلق بالاتنه، می‌توان تا حد زیادی، اختلاف بین نقطه گشتاور صفر واقعی (ZMP) با نقطه گشتاور صفر مجازی (FZMP) مورد انتظار را کم نمود و بنابراین پایداری را تا حد زیادی بهبود بخشد. اگرچه مبنای تئوری این روش، کامل و قدرتمند نیست ولی استفاده از آن در عمل بسیار موثر است.

۱-۶ موردی بر کارهای انجام شده مرتبط با موضوع پایان‌نامه

مطالعه در ارتباط با سه موضوع پایداری، طراحی مسیر و کنترل پایداری ربات‌های راهروندۀ انجام شد که در این قسمت به بررسی مطالب اصلی ابتدا در مقاله‌های مرتبط با پایداری و سپس در مقاله‌های مرتبط با طراحی مسیر و کنترل پایداری خواهیم پرداخت.

مرجع [۳] ابتدا به بررسی معیارهای متداول پایداری وضعی^۴ و محدودیت‌ها و نقص‌های مفهومی آن‌ها می‌پردازد. برای این کار، معیار استاتیکی مرکز ثقل (COG) و معیار دینامیکی نقطه گشتاور صفر (ZMP) را به عنوان دو معیار اصلی بررسی می‌کند. البته معیارهای دیگری چون شاخص دوران کف پا (FRI) که در منبع [۵] معرفی شده است و یا معیار نرخ اندازه حرکت زاویه‌ای صفر (ZRAM) که در منبع [۶] معرفی شده است نیز می‌توان در گروه همین معیارهای متداول پایداری وضعی از آن‌ها نام برد ولی به دلیل خلاصه‌گویی در این مقاله بررسی نشده است. این نوشه پس از بررسی معیارهای متداول، به مسئله حاشیه پایداری ربات‌های راهروندۀ می‌پردازد و با بهره‌گرفتن از رابطه قیدهای تماسی شامل نیروی عمودی و نیروی اصطکاک در معادلات حرکت این نوع ربات‌ها، به یک شرط کلی برای پایداری ربات می‌رسد. این شرط ساده در واقع همان قرار گیری بردار نیروهای تماسی در یک ناحیه مخروطی یا به طور ضعیف‌تر یک چندوجهی مخروطی است. سپس با بازنگری در مفهوم پایداری سیستم‌های

¹ Online

² ZMP Compensator

³ Foot/Contact Force Control

⁴ Postural Stability

دارای پا، حاشیه این پایداری و استفاده از تئوری زیست پذیری، جایگزینی جدید برای معیار پایداری و حاشیه پایداری ارائه می‌دهد. همچنین در همین زمینه، نویسنده مرجع [۸] نیز با بررسی معیارهای پایداری و شرایط مورد نیاز برای یک معیار پایداری برای راهروندانهای سعی می‌کند با استفاده از دیدگاه تئوری زیست پذیری، مرزی بر روی سرعت برای پایداری حرکت راه رفتن سریع پیدا کند. نویسنده این مرجع در کار دیگری در مقاله [۹]، نقطه یا ناحیه‌ای به نام نقطه یا ناحیه تسخیر^۱ معرفی می‌کند که راهروند باید از این ناحیه قدم در این ناحیه می‌تواند سرعت حرکت خود را به آرامی صفر کند و بایستد.

در مراجع [۱۰] و [۵]، مولفان برای اولین بار دو معیار پایداری وضعی ZMP و FRI را تعریف می‌کنند. این تعاریف در بخش‌های قبلی شرح داده شد. مرجع [۱۱] معیار ZMP را برای حالتی که ربات بر روی سطوح غیر مسطح حرکت می‌کند، تعمیم می‌دهد.

مرجع [۶]، ابتدا به تعریف معیاری جدید برای پایداری وضعی ربات انسان‌نما به نام ZRAM بر حسب نرخ اندازه حرکت زاویه‌ای کل ربات و بررسی مزیت‌های آن نسبت به معیارهای ZMP و FRI می‌پردازد و سپس سه راه کار برای کنترل پایداری ربات با هدف صفرنگه‌داشتن نرخ اندازه حرکت زاویه‌ای کل ربات پیشنهاد می‌کند. اولین راه کار، تغییر در نحوه فرود آوردن پا برای افزایش سطح تکیه‌گاهی جهت دربرگرفتن نقطه ZRAM است. راه کار دوم، جابجایی مرکز جرم با توجه به مرکز فشار نیروی تکیه‌گاهی است و سومین راه کار پیشنهادی تغییر جهت نیروی تکیه‌گاهی است که با تغییر در بردار شتاب عضوهای ربات این کار انجام می‌شود. این روش با مشاهدات مرجع [۱۲] مطابقت دارد. مرجع [۱۳] نیز توجه ویژه‌ای به اندازه حرکت زاویه‌ای به عنوان معیاری برای پایداری دارد و مقدار اندازه حرکت زاویه‌ای در لحظه شروع فاز پروازی در حرکت دویدن را، معیاری مهم برای پایداری و پایدارسازی حرکت دویدن معرفی می‌کند.

مرجع [۱۲] که در واقع یک تحلیل حرکت‌شناسی بر روی اطلاعات ثبت شده از انسان به حساب می‌آید، یافته‌هایی جدید و در عین حال کاربردی ارائه می‌کند که نشان می‌دهد انسان حین حرکت راه رفتن مستقیم، اندازه حرکت زاویه‌ای اش را حول سه محور فضایی نزدیک به صفر تنظیم می‌کند. نکته دیگر آنکه امتداد نیروهای تماسی کف پا گذرنده از مرکز جرم، همواره از داخل ناحیه تکیه‌گاهی با زمین می‌گذرد. این روش به عنوان یک راهبرد کنترلی در مرجع [۶] برای کنترل نرخ اندازه حرکت زاویه‌ای پیشنهاد شده است. تحقیقات نویسنده مرجع [۱۲]، به وسیله نتایج به دست آمده توسط محققان دیگری در [۱۴] و در بعضی دیگر از تحقیقات که در ادامه از نتایج کلی آن‌ها استفاده خواهیم کرد، قابل تایید و استناد می‌باشد.

مرجع [۷] اگرچه در عنوان آن واژه کنترل دیده می‌شود ولی در واقع تنها یک فرمول‌بندی برای به دست آوردن سرعت مفاصل به عنوان خروجی بر حسب اندازه حرکت خطی و زاویه‌ای مطلوب کل ربات و مسیرهای از پیش تعیین شده کف پاها (قیود هندسی) به عنوان ورودی ارائه می‌کند. این کار منجر به تولید مسیرهایی برای مفاصل

^۱ Capture Point/Region

ربات بر حسب زمان به منظور تامین اندازه حرکت کلی ربات بر روی یک منحنی مطلوب می‌شود. در هر حال این مقاله به بررسی شرایطی که این منحنی مطلوب باید دارا باشد تا محدودیت‌های نیروهای تماсی ربات در شرایط واقعی تامین شود، نمی‌پردازد. همچنین کنترل پایداری ربات از نوع غیربه‌هنگام^۱ است و به صورت کنترل کننده مفاصل مجزا تنها وظیفه پیمودن مسیرهای محسنه شده برای مفاصل را به عهده دارد و کنترل پایداری به صورت به-هنگام^۲ در آن دیده نمی‌شود. کار نسبتاً مشابه دیگری که نگاشتی بین اندازه حرکت کلی و سرعت مفاصل پیدا می-کند، کار محققان در مرجع [۱۵] است که روش مذکور با تعریف ماتریس اندازه حرکت مرکزی انجام شده است. همچنین مرجع [۱۶]، وظایف سینماتیکی و دینامیکی محول به یک ربات انسان‌نمای دارای افزونگی درجه آزادی را اولویت‌بندی می‌کند و بر اساس اولویت‌بندی، این وظایف را که بعضی در فضای مرکز جرم (اندازه حرکت) تعریف شده‌اند، در فضای مفاصل تصویر می‌کند که کاری متفاوت در زمینه نگاشت بین دو فضا محسوب می‌شود. مرجع [۴] به بررسی شیوه حفظ پایداری انسان در حالت ایستاده در مقابل اختشاش ناشی از نیروی ضربه‌ای خارجی می‌پردازد و یک روش کنترل دو مرحله‌ای برای حفظ پایداری با توجه به مشاهدات واقعی از عکس العمل انسان (مبنی بر تلاش انسان درجهت افزایش اندازه حرکت زاویه‌ای در راستای ضربه ورودی برخلاف پیش‌بینی قابل تصور برای ما) ارائه می‌کند. این مقاله ابتدا با به نقد کشیدن معیارهای پایداری متداول، تعبیری همانند مقاله [۳] برای پایداری ارائه می‌دهد که در قسمت‌های قبلی به آن اشاره شد. مدل حرکتی ربات ایستاده به صورت یک مجموعه چهار عضوی شامل کف پا، ساق پا، ران پا و بالاتنه فرض شده است. این روش، در مرحله اول، با استفاده از روش کنترل اندازه حرکت، مرکز جرم را به سمت مرکز فشار حرکت می‌دهد و پس از دفع ضربه در مرحله دوم، وضعیت ربات به آرامی به حالت ایستاده برمی‌گردد. مرحله دوم از طریق دو روش درجهت افزایش انرژی پتانسیل مکانیکی ربات انجام می‌شود.

نویسنده مراجع [۱۷] و [۱۸]، در هر دو کار خود، برای اولین بار مدل پاندول معکوس خطی را به ترتیب در حرکت صفحه‌ای و فضایی ربات راه‌رونده، به عنوان مبنایی برای طراحی مسیر و کنترل ربات قرار داده است. همچنین نویسنده [۱۹]، مدلی نسبتاً مبسوط برای ربات راه‌رونده به نام مدل پاندول معکوس با جرم انعکاسی^۳ معرفی می‌کند که مدعی است رفتار راه‌رونده را بهتر نمایندگی می‌کند. این مدل از تعدادی جرم نقطه‌ای پراکنده در بالاتنه تشکیل شده است.

در همین زمینه، مرجع [۲۰]، گزارش منتشرشده‌ای از کار محققان شرکت هوندا^۴، در سال ۲۰۰۹ است که نحوه تولید مسیر برای حرکت صفحه‌ای ربات آسیمو^۵ را بررسی می‌کند. ابتدا یک مدل ساده برای حرکت ربات انسان نما در صفحه، به صورت یک سیستم سه جرمی (بدنه و دو کف پا به صورت سه جرم نقطه‌ای) از یکدیگر مستقل

¹ offline

² online

³ Reaction Mass pendulum

⁴ Honda

⁵ Asimo

(فرض عدم وجود محدودیت بین حرکت این سه عضو) و فرض حرکت بدن با مدل یک پاندول معکوس خطی، معرفی می‌گردد. سپس، معادله حرکت بدن به صورت تابعی از مسیر مطلوب نقطه گشتاور صفر ($ZMP_{desired}$) و حرکت کف پای متحرک در دستگاه چسبیده به کف پای تکیه‌گاهی نوشته می‌شود به طوری که با داشتن $ZMP_{desired}$ و حرکت کف پای متحرک بتوان مسیر حرکت بدن را محاسبه کرد. پس از آن با درنظر گرفتن یک حرکت ساده برای کف پای متحرک، یک پیشنهاد اولیه به صورت مسیری تکه تکه خطی و پیوسته برای ارائه می‌کند به نحوی که $ZMP_{desired}$ تقریباً همواره در وسط محدوده تکیه‌گاهی ربات قرار گیرد. در نهایت با مجزا کردن حرکت پاندولی بدن به دو جزء همگرا و واگرا نسبت به زمان و اعمال روشی برای تغییر در منحنی $ZMP_{desired}$ جهت کنترل جزء واگرای حرکت بدن به نحوی که نقطه انتهایی حرکت بدن در هر سیکل بر نقطه ابتدایی حرکت بدن در سیکل بعدی منطبق گردد، مسیر نهایی بالاتنه و به تبع آن مسیر مفاصل ربات برای حفظ ZMP بر روی مسیر اصلاح شده $ZMP_{desired}$ به دست می‌آید.

کار مولفان [۲۱] نیز، به عنوان نمونه‌ای از کنترل کننده بهینه پایداری (با استفاده از روش‌های عددی) یک دوپا در حالت ایستاده قابل بررسی است که سعی می‌کند همزمان با رعایت قید پایداری وضعی (محدوده مرکز فشار و مخروط اصطکاک)، اندازه حرکت کلی یک دوپا را صفر کند و یک مسیر برای نقاط انتهایی بدن را در حالت ایستاده به صورت حدودی تعقیب کند. با این حال، این روش تنها برای حرکت ایستاده و برای حفظ تعادل در هنگام حرکت اعضای غیرتکیه‌گاهی مانند سر و دست‌ها و یا در هنگام دریافت ضربه به کارگرفته شده است و برای حرکت‌هایی دینامیکی مانند راه‌رفتن راه کاری ارائه نمی‌دهد.

۷-۱ تعریف مسئله

در اکثر کارهای انجام شده تاکون، طراحی کنترل کننده برپایه کنترل مسیر مفاصل بر روی یک مسیر حرکتی از پیش طراحی شده دارای پایداری وضعی و نهایتاً جبران به هنگام پایداری وضعی حول این مسیر، استوار بوده است. رسیدن به یک مفهوم تعمیم‌یافته و در عین حال ملموس برای پایداری کلی ربات‌های دارای پا به منظور ارائه روشی برای کنترل پایداری با میزان کنترل‌پذیری بالا برای هر شرایط اولیه دلخواه و مقاومت بالا در مقابل اختلالات داخلی و خارجی از جمله ضربه، ایده کلی این پایان‌نامه است. این پژوهش براساس قوانین کلی حاکم بر حرکت راه‌رفتن موجودات دوپا به خصوص انسان، مبنی بر نزدیک به صفر ماندن اندازه حرکت زاویه‌ای و نرخ آن بر حسب زمان که از اندازه‌گیری و ضبط داده‌های حرکت واقعی به دست آمده است، پایه‌ریزی خواهد شد. شیوه کنترلی موردنظر برخلاف شیوه‌های معمول کنترل این ربات‌ها، محدود به الزام کنترل مفاصل (کمیتهای جزئی) بر روی یک مسیر از پیش طراحی شده در طول هر گام و تکرار پذیری دقیق حرکت‌ها نیست و در عوض کنترل کمیتهای کلی از جمله اندازه حرکت خطی، اندازه حرکت زاویه‌ای و نرخ این دو را در کنار سازگاری هندسی قیود با محیط (تماس پا یا پاهای با زمین) نشانه گرفته است. این تحقیق هر سه چالش پایداری، مسیر حرکتی پایدار (سیکل‌های حرکتی) و

کنترل پایداری را دربرمی‌گیرد ولی در عین حال روش برخورد با این مسائل را از طریق کمیت‌های کلی ربات پیگیری خواهد کرد.

۱-۸ روند تدوین پایان نامه

در فصل اول بعد از بیان مختصری از تاریخچه ربات‌های دارای پا، برخی از کاربردهای این ربات‌ها و به-خصوص ربات دوپا نام برده شد. به منظور آشنایی با ربات دوپا ابتدا مفاهیم اولیه آن بیان گردید و پس از آن به برخی از کارهای نظری و عملی انجام شده در زمینه پایداری و کنترل پایداری اشاره شد و با سطح مفهوم پایداری کلی، چالش‌های اصلی این شاخه از رباتیک (از جمله ارائه معیاری کلی برای پایداری و کنترل پایداری کلی این ربات‌ها)، مشخص گردید. سپس با ذکر برخی از تحقیقات مهم انجام شده تلاش‌هایی که محققان تاکنون در این زمینه انجام داده‌اند، بررسی شد. در پایان مساله‌ای که در این تحقیق به آن پرداخته می‌شود و روش حل مورد نظر معرفی شد.

پس از این مقدمه، در ابتدای فصل دوم، معادله‌ای برای حرکت راهرفتن واقعی در فضای اندازه‌حرکت به نام معادله حرکت (راهرفتن) پایه، استخراج می‌شود. در ادامه با ساده‌سازی آن به وسیله انجام فرضیاتی واقعی، به معادله حرکتی ساده‌شده برای بررسی حرکت طبیعی (دینامیک صفر) راهرفتن به نام معادله حرکت گام به گام دست خواهیم یافت. معادله حرکت گام به گام، مبنایی برای استخراج انواع سیکل‌های حرکتی ساده و مرکب در ادامه این بحث خواهد بود. سپس به بررسی پایداری حرکت حول سیکل‌های حرکتی می‌پردازیم و در پایان با تحلیل معادلات کامل حرکت راهرفتن و مقایسه آن با معادلات ساده‌شده، نگاهی سیستمی به معادلات حرکت می‌اندازیم که نتیجه آن جمع‌بندی معادلات ساده‌شده و کامل حرکت در قالب دو مدل ریاضی جامع با نام‌های مدل ساده‌شده راه رفتن (CWM: Complete Walking Model) و مدل کامل راهرفتن (SWM: Simplified Walking Model) خواهد بود.

در فصل سوم، توانایی هدایت حرکت و چگونگی هدایت حرکت راهرونده به سمت یک سیکل حرکتی مطلوب و کنترل حول آن، مبنایی برای پایداری و طراحی کنترل کننده پایداری قرار می‌گیرد. سپس با بررسی مدل-های ساده (SWM) و کامل (CWM) راهرفتن، با توجه به سادگی و کاهش‌یافته‌بودن مدل SWM و در عین حال نزدیکی آن به واقعیت حرکت، این مدل مبنایی برای طراحی کنترل کننده‌های پایداری قرار می‌گیرد که از آن‌ها با عنوان پایدارسازهای سیکل حرکتی نام می‌بریم. در ادامه فصل سوم، چهار پایدارساز معرفی خواهند شد و پایداری هر یک اثبات می‌شود، همچنین، توانایی‌های هر کدام از لحظه تئوری بررسی خواهد شد. در پایان این فصل با معرفی یک مدل فیزیکی کامل و قیود آن، به انجام شبیه‌سازی بر روی این مدل فیزیکی که معرف مدل کامل راه-رفتن است خواهیم پرداخت و توانایی و نارسانایی کنترل کننده‌ها را در پایدارسازی شرایط اولیه دور از سیکل و همچنین در پایدارسازی مجدد پس از دریافت ضربه، بررسی خواهیم کرد.

در فصل چهارم، به معرفی روشی برای کنترل پایداری با استفاده از برنامه‌ریزی غیرخطی خواهیم پرداخت که با توجه به عملکرد کنترلی پایدارسازهای سیکل حرکتی در فصل سوم، عملکردی مشابه را برای محاسبه ورودی‌های کنترلی با کمینه کردن شاخص پایداری، پایه‌ریزی می‌کند. این روش علاوه بر پایدارسازی، قیود واقعی مسئله را نیز در نظر می‌گیرد. در پایان این فصل با انجام شبیه‌سازی بر روی مدل کامل مشاهده خواهد شد که این روش می‌تواند پایداری را با قدرت بالایی حفظ کند و در عمل همه قیود مسئله را نیز رعایت کند. این روش، راه حلی کامل و عملی برای مسئله کنترل پایداری ارائه می‌دهد که دیگر هیچ‌یک از نارسایی‌های پایدارسازهای سیکل حرکتی را نخواهد داشت.

نهایتاً در فصل پنجم به جمع‌بندی و نتیجه‌گیری از تحقیق پرداخته می‌شود و نوآوری‌ها و دستاوردهای این پژوهش بررسی می‌شود و در پایان پیشنهاداتی جهت ادامه و توسعه کار ارائه می‌گردد.

فصل دوم

مدل دینامیکی حرکت راه رفتن

تاکنون مدل‌های مختلفی برای حرکت راه رونده دوپا پیشنهاد شده است که برخی به طور کامل و برخی به صورت ساده‌شده، حرکت این سیستم را بیان می‌کنند. در این تحقیق راه رونده به صورت یک سیستم کلی دیده می‌شود تا در نهایت بتوانیم به تحلیلی جامع از حرکت راه رونده بدون ورود به بحث در مورد کمیت‌های داخلی آن مانند متغیرهای حرکت مفاصل برسیم.

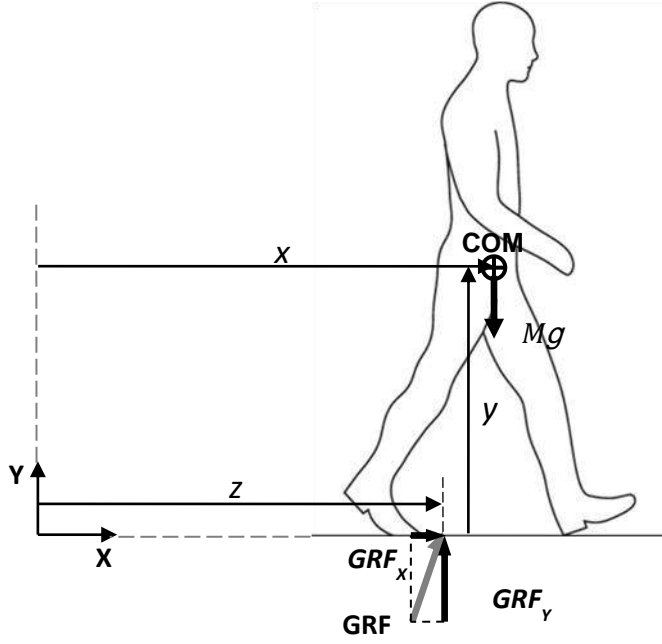
از جمله روشهای پایدارسازی حرکت ربات‌های راه رونده و کنترل پایداری این دسته از ربات‌ها، کنترل اندازه-حرکت‌های خطی و زاویه‌ای آنها است که تاکنون به صورت جامع به آن پرداخته نشده است. در این پژوهش بررسی پایداری و کنترل پایداری ربات‌های راه رونده دوپا، با تکیه بر تحلیل رفتار این ربات‌ها در فضای اندازه حرکت کلی^۱ انجام می‌گیرد. در این تحلیل از پایدارسازی ربات، بیش از آنکه و پیش از آنکه توجه به حرکت راه رونده در فضای مفاصل باشد، حرکت راه رونده در فضای اندازه حرکت کلی آن، مورد توجه قرار می‌گیرد و در حقیقت حرکت پایدار ربات از طریق کنترل اندازه حرکت‌های خطی و زاویه‌ای انجام می‌گیرد. در فصل حاضر، مدل‌سازی رفتار دینامیکی ربات در این فضا و در فصل بعد، راهبردهای کنترلی برای کنترل پایداری راه رونده از طریق کنترل اندازه حرکت‌های کلی آن و متغیرهای موثر بر آن مورد بررسی قرار می‌گیرد.

¹ Total Momentum Space

در این فصل ابتدا معادله حرکت حاکم بر مدل دو بعدی ربات های دارای پا را استخراج می کنیم. سپس با در نظر گرفتن چند فرض ساده کننده برای حرکت یک راه رونده دوپا، معادله حرکت آن را برای یک گام محاسبه خواهیم کرد و در نهایت معادلات حرکت گام به گام را بدست می آوریم و به طرح ایده سیکل های حرکتی و بررسی انواع سیکل های حرکتی ساده و مرکب، محدودیت ها و میزان پایداری آنها با استفاده از تحلیل ریاضی و بررسی رفتاری آنها در صفحه فازی خواهیم پرداخت. همچنین در بخش آخر برای دست یافتن به دیدگاهی کامل تر به مقایسه نتایج معادله حرکت ساده شده با نتایج معادله حرکت کامل برای راه رونده دوپا می پردازیم. در پایان این فصل، با جمع بندی تحلیل های حرکت راه رفتن و تجزیه و تحلیل رفتاری و مقایسه آنها با یکدیگر، به ارائه یک مدل ریاضی کامل از حرکت راه رفتن (CWM : Complete Walking Model) و یک مدل ریاضی ساده شده از حرکت راه رفتن (SWM : Simplified Walking Model) برای راه رونده دوپا می پردازیم که از آن به عنوان مبنایی برای طراحی کنترل کننده در فصل بعدی استفاده خواهیم کرد.

۱-۲ استخراج معادلات حرکت راه رفتن در فضای اندازه حرکت

اگر دو دسته حرکت دینامیکی کلی به نام های حرکت راه رفتن و حرکت دویدن (حرکت جهش یا پریدن نیز می تواند در این دسته قرار بگیرد)، برای یک دوپا فرض کنیم، یک فرض اساسی در حرکت راه رفتن، وجود دائمی تماس حداقل یک نقطه بین کف پا و زمین می باشد، در صورتی که برای دویدن این فرض تنها در بخشی از حرکت معتبر است. برای استخراج معادلات حرکت راه رفتن با در نظر گرفتن این فرض اساسی، مدلی شبیه شکل ۱-۲ در نظر می گیریم که نمادهای آن طبق جدول ۱-۲ تعریف شده باشند.



شکل ۱-۲. مدل حرکتی ربات دارای پا

جدول ۱-۲. تعاریف مربوط به مدل حرکتی ربات

<i>CoM(Center of Mass)</i>	مرکز جرم کل بدن
<i>GRF</i> \triangleq <i>Ground Reaction Force</i>	برآیند نیروهای خارجی وارد بر کل بدن از طرف سطح زمین
<i>CoP(Center of Pressure)</i> or <i>ZMP(Zero Moment Point)</i>	مرکز فشار نیروهای خارجی وارد بر کل بدن از طرف سطح زمین یا نقطه گشتوار صفر واقعی که <i>GRF</i> در آن عمل می‌کند
$x \triangleq x_{CoM}$	موقعیت مرکز جرم کل بدن در راستای محور X
$y \triangleq y_{CoM}$	موقعیت مرکز جرم کل بدن در راستای محور Y
$z \triangleq z_{CoP} \equiv z_{ZMP}$	موقعیت نقطه گشتوار صفر یا مرکز فشار در راستای محور X
M	جرم کل بدن
g	شتاب جاذبه زمین

با نوشتن معادلات نیوتن به روابط (۱-۲) خواهیم رسید که معادله حرکت (۲-۲) در فضای اندازه حرکت و یا معادله (۳-۲) در فضای اندازه حرکت بدون جرم (یا فضای مرکز جرم) را نتیجه می‌دهد و کمیتهای آن طبق جدول ۲-۲ تعریف می‌شوند. این رابطه را معادله حرکت پایه (برای حرکت راه‌رفتن) نامگذاری می‌کنیم که برای همه راه‌روندها از جمله دوپای راه‌رونده شکل ۱-۲ معتبر است. باید درنظر داشت که علاوه بر حرکت راه‌رفتن، این معادله حرکت برای بخش‌هایی از حرکت دویدن که پای دونده با زمین در تماس است نیز، معتبر می‌باشد.

$$\left\{ \begin{array}{l} \sum F_X = GRF_X = \dot{L}_X = M\ddot{x} \\ \sum F_Y = GRF_Y - Mg = \dot{L}_Y = M\ddot{y} \\ \sum T_{CoM} = y * GRF_X - (x - z) * GRF_Y = \dot{H} \end{array} \right. \quad (1-2)$$

$$z = x + \frac{\dot{H} - y\dot{L}_X}{Mg + \dot{L}_Y} \quad (2-2)$$

$$\text{Principal Equation of (Walking) Motion : } z = x + \frac{\dot{H}/M - y\ddot{x}}{g + \dot{y}} \quad (3-2)$$

معادله حرکت پایه رابطه (۳-۲) به خوبی ارتباط بین مرکز فشار، موقعیت و شتاب مرکز جرم کل بدن و همچنین اندازه حرکت زاویه‌ای (بدون جرم شده) حول مرکز جرم را نشان می‌دهد به این معنی که اگر موقعیت مرکز فشار به عنوان ورودی این معادله حرکت مشخص باشد، موقعیت مرکز جرم و گردش کلی ربات با این رابطه نسبت به هم تغییر می‌کنند. بطور معکوس، اگر بخواهیم موقعیت مرکز جرم و گردش کلی ربات مسیرهای مشخصی را طی کنند، مسیر مشخصی برای مرکز فشار به دست می‌آید که برای انجام پذیر بودن این حرکت، ملزم به فراهم کردن تماس یا

حداقل یک نقطه از ربات(پای ربات) با سطح زمین بر روی این مسیر هستیم که این رابطه معکوس برای بحث طراحی مسیر پایدار کاربرد دارد و استفاده از آن در این تحقیق موضوعی ندارد.

جدول ۲-۲. تعریف کمیت‌های معادلات حرکت

\dot{L}_X	اندازه حرکت خطی کل بدن در راستای محور X
\dot{L}_Y	اندازه حرکت خطی کل بدن در راستای محور Y
\dot{H}	اندازه حرکت زاویه‌ای کل بدن حول مرکز جرم
$\sum F_X$	برآیند کل نیروهای خارجی وارد بر بدن در راستای محور X
$\sum F_Y$	برآیند کل نیروهای خارجی وارد بر بدن در راستای محور Y
$\sum T_{CoM}$	برآیند کل گشتاورهای حاصل از نیروهای خارجی وارد بر بدن در نقطه مرکز جرم

۲-۲ الگوی گام برداشتن و محدوده مرکز فشار

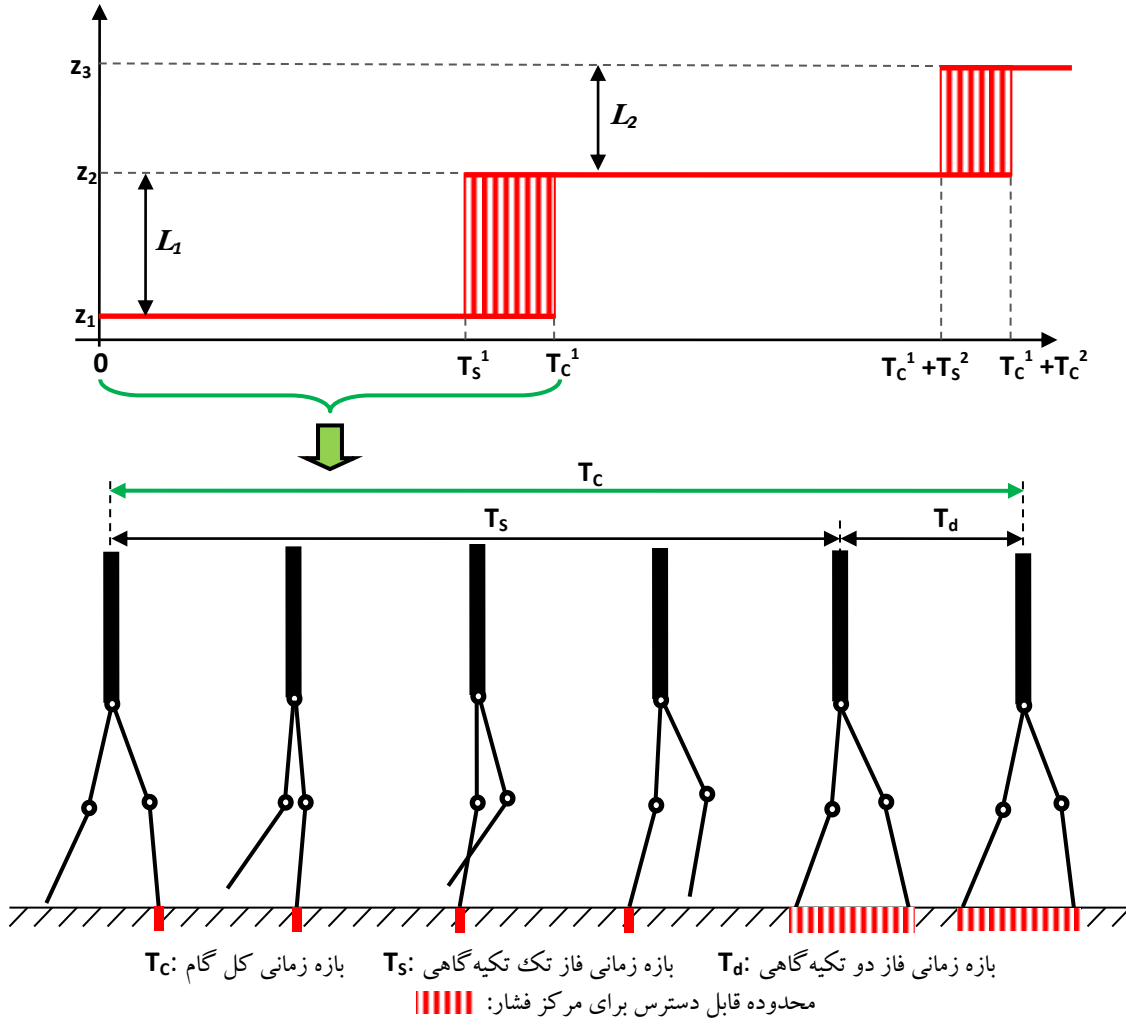
از آنجا که گام برداشتن مهم‌ترین بخش از حرکت یک راهروند و زیربنای مباحث بعدی در بیان مدل حرکتی راهرفتن، مانند پایداری و کنترل پایداری است، در این قسمت سعی می‌کنیم تا به مبحث گام‌برداشتن و چگونگی ارتباط آن با مباحث بعدی پردازیم.

با دقت در فرایند راهرفتن موجودات زنده دیده می‌شود این راهروند است که تصمیم می‌گیرد با برداشتن گام‌های متوالی از طریق دو روش، ۱) برنامه‌ریزی طول گام و زمان مناسب فرود آمدن پای متحرک، ۲) نحوه فرود آوردن پای متحرک، نحوه برداشتن پای تکیه‌گاهی و برهمزمانی این دو، ناحیه تکیه‌گاهی حرکت خود یا محدوده مرکز فشار را چگونه تغییر دهد تا حرکتش را تحت کنترل درآورد و علاوه بر این دو، با روش (۳) جابجایی مرکز فشار در ناحیه تکیه‌گاهی ایجاد شده، کنترل دقیق‌تری بر روی حرکت خود انجام دهد. از این میان، روش (۲) که نوع برخورد و جدا شدن پاها از زمین را نمایندگی می‌کند، نقشی ناچیز در تصمیم‌گیری راهروند دارد و بیشتر به نوع تماس پا با سطح زمین و ساختار کف پا که از مشخصات تغییرناپذیر یک راهروند است، بستگی دارد و از این رو در کنترل پایداری کمتر مورد توجه است. از منظر ساختار کف پا که بر نحوه گام‌برداشتن تاثیر می‌گذارد، می‌توان راه‌روندها را به سه دسته کلی تقسیم‌بندی کرد و ناحیه تکیه‌گاهی قابل دسترس برای مرکز فشار آنها را بررسی نمود:

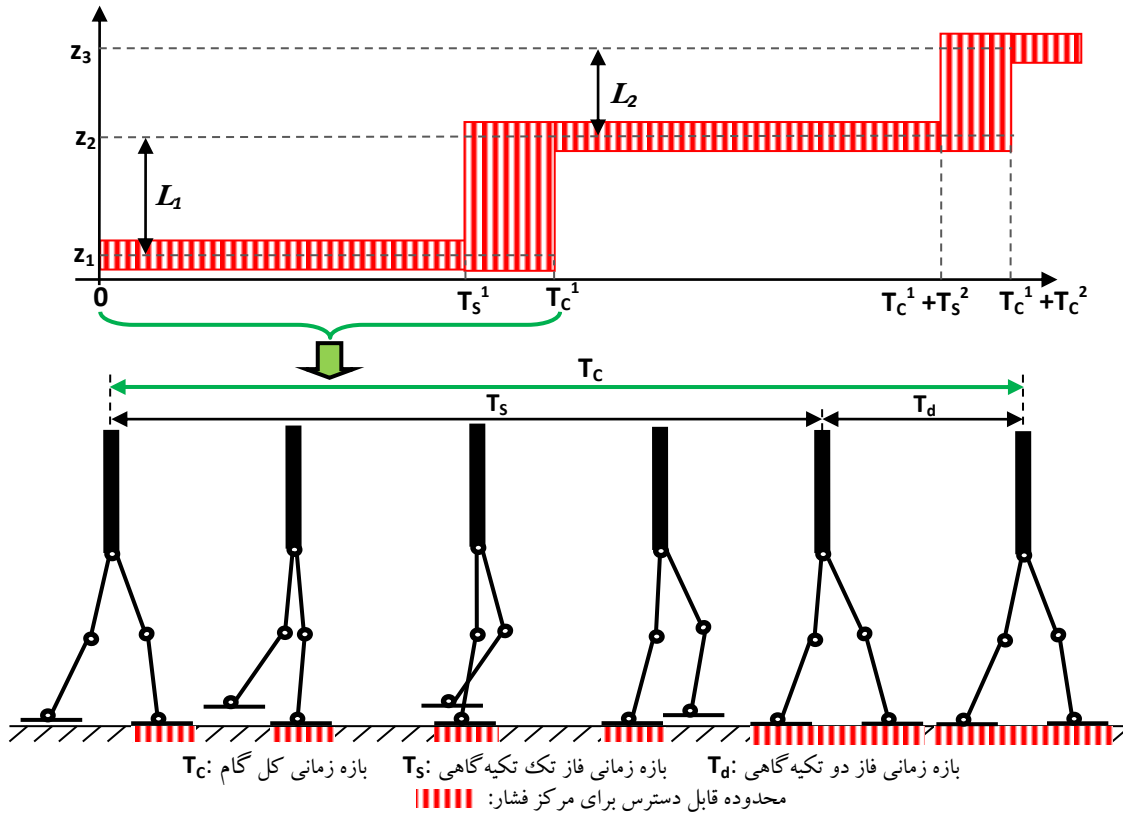
دسته اول – راه روندهای بدون کف پا که دارای تماس نقطه‌ای با زمین هستند. این راه روندها با نام دوپای کم عملگر^۱ شناخته می‌شوند که به دلیل کم عملگری‌بودن، هیچ کنترل کننده‌ای نمی‌تواند پایداری وضعی آنها را برای تعقیب یک مسیر از پیش‌طراحی شده، به طور کامل تضمین کند و تنها می‌توان از همگرایی حرکت آنها به سمت

^۱ Underactuated Biped

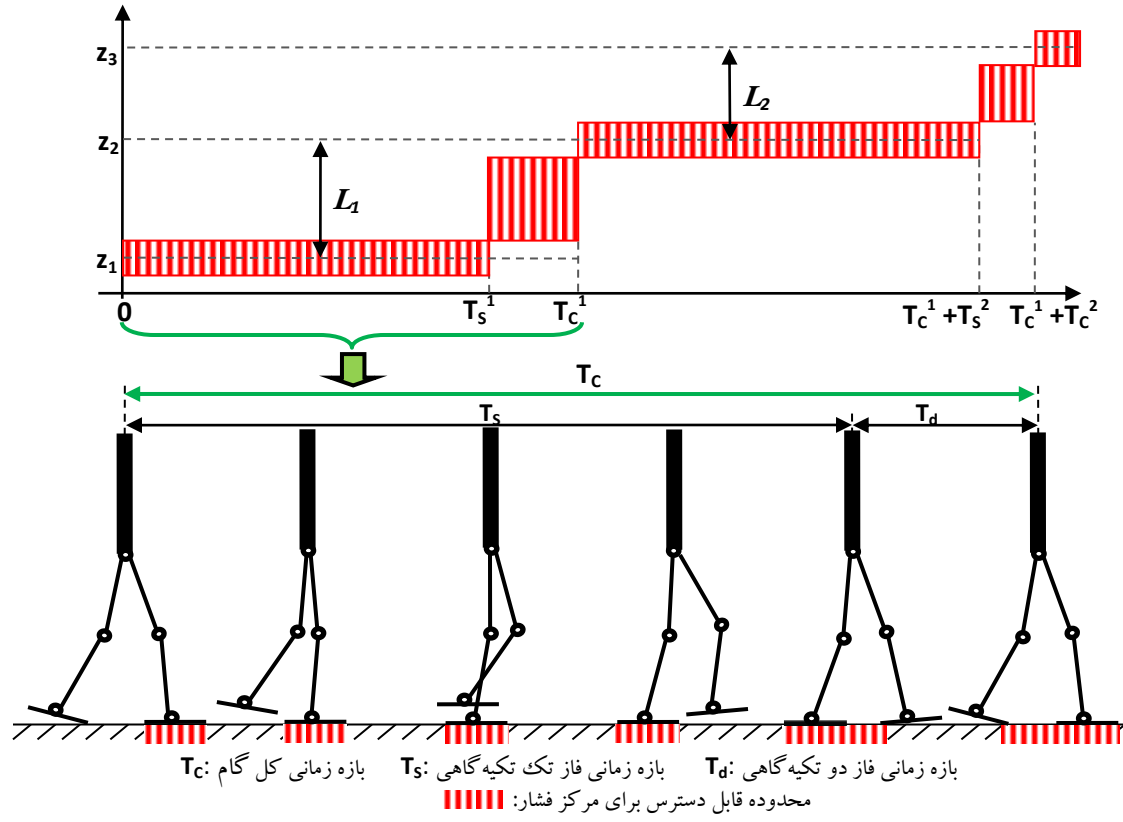
سیکل‌های حدی سخن گفت که زمینه‌ای برای محققان سیستم‌های غیرخطی است. شکل ۲-۲، نمودار محدوده مرکز فشار قابل دسترس را برای بازه زمانی دو گام نمایش می‌دهد که حرکت راهرونده برای بازه زمانی گام اول آن به تصویر کشیده شده است.



دسته دوم – راه روندهای دارای کف پای مسطح هستند که می‌توانند تماس نقطه‌ای یا سطحی با زمین داشته باشند. این راه روندها می‌توانند یا بدون استفاده از حرکتی دورانی عضو کف پا، نسبتاً شبیه به دسته اول حرکت کنند (رباتهای دارای پاهای مجهز به مکانیزم موازی دومیلهای دارای چنین رفتاری هستند) و یا اینکه همانند دسته سوم مانند انسان از حرکت چرخشی کف پا در هر گام استفاده کنند (رباتهای دارای پاهای مجهز به مفاصل مجرزا دارای چنین رفتاری هستند) که بسته به نحوه گام برداشتن آنها، ناحیه تکیه گاهی متفاوتی را ایجاد می‌کنند. تفاوت نحوه گام برداشتن در این دو حالت در شکل ۳-۲ و شکل ۴-۲ به طور جداگانه بررسی شده است. در هر یک از این شکل‌ها، محدوده مرکز فشار قابل دسترس برای بازه زمانی دو گام و حرکت راهرونده برای بازه زمانی گام اول آن به تصویر کشیده شده است.

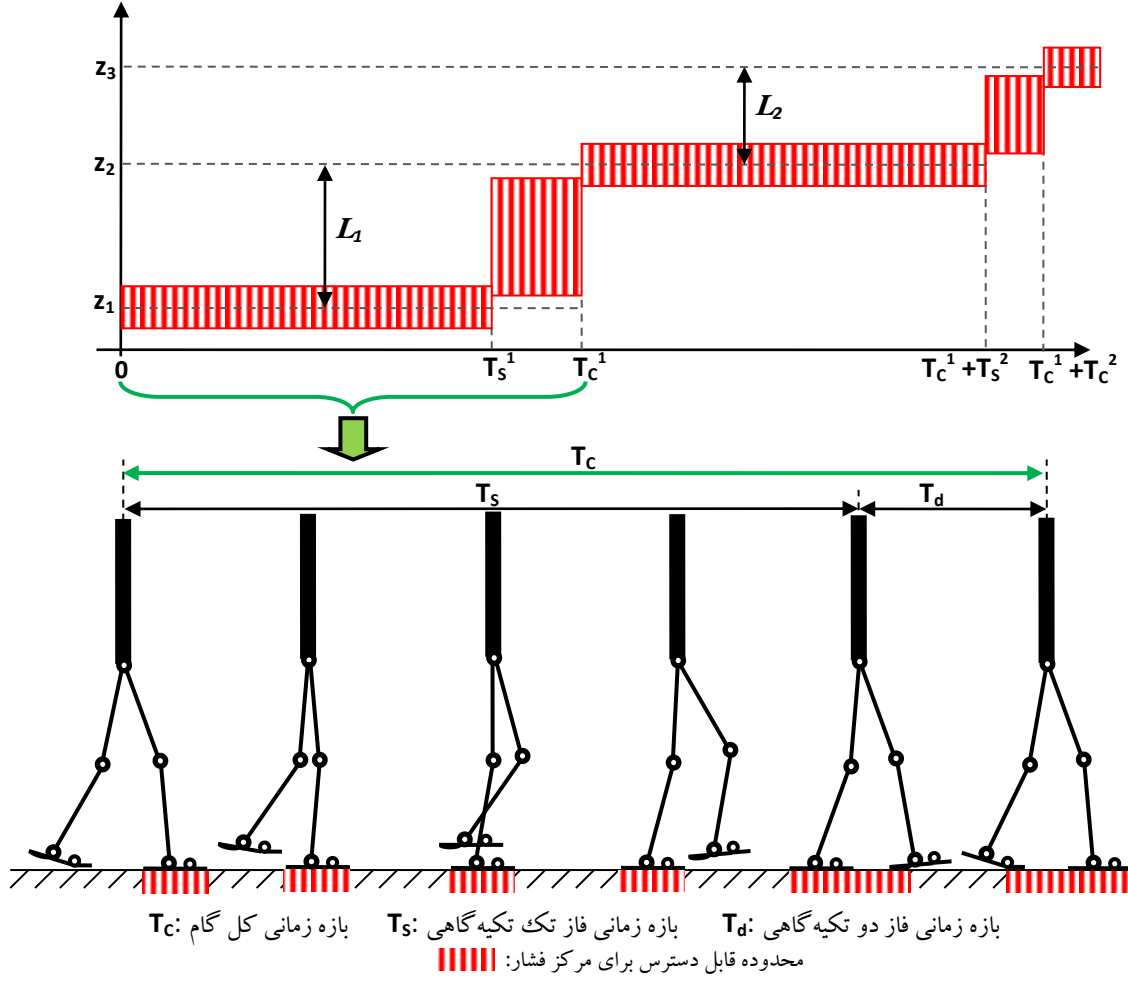


شکل ۳-۲. حرکت راه رونده دوپا با کف پای مسطح بدون چرخش کف پا



شکل ۴-۲. حرکت راه رونده دوپا با کف پای مسطح با چرخش کف پا

دسته سوم – راه رونده های دارای کف پای دو قسمتی دارای پنجه و پاشنه هستند که بهترین نمونه آن انسان است. شکل ۵-۲، نمودار محدوده مرکز فشار قابل دسترس را برای بازه زمانی دو گام نمایش می دهد که حرکت راه رونده برای بازه زمانی گام اول آن به تصویر کشیده شده است.



شکل ۵-۲ حرکت راه رونده دوپا با کف پای دو قسمتی دارای پنجه و پاشنه

از آنجا که در بازه زمانی فاز تک تکیه گاهی که حدود ۸۰٪ کل بازه زمانی یک گام را شامل می شود، قابلیت تغییر موقعیت مرکز فشار تنها به کف یک پا محدود می شود، استفاده از روش (۳) برای کنترل حرکت ربات در این بازه دارای محدودیت بسیار است، همچنین در بازه زمانی فاز دو تکیه گاهی که تنها ۲۰٪ کل بازه زمانی یک گام است نیز، توانایی کنترل حرکت بر اساس تغییر مرکز فشار محدود است. در این بازه با وجود اینکه ناحیه قابل دسترس برای مرکز فشار محدوده بزرگتری را شامل می شود، بازه زمانی کوتاه است و توانایی جبران پایداری از دست رفته که احتمالا در فاز قبلی اتفاق افتاده، محدود است. به همین علت، روش (۱) که اساسا به جای تغییر مرکز فشار در ناحیه تکیه گاهی، به دنبال جابجایی خود ناحیه تکیه گاهی است، گزینه موثرتری برای کنترل پایداری محسوب می شود. روش (۱) می تواند آثار عوامل ناپایدار کننده ای را که در بازه زمانی یک گام ایجاد شده است، در لحظه فرود آمدن پا جبران کند و یک راهبرد برتر برای کنترل پایداری محسوب می شود.

با این حال کارهایی که تاکنون برای طراحی مسیر پایدار انجام شده است و برخی در فصل دوم توضیح داده شد، بیشتر بر مبنای روش (۳) شکل گرفته است به این معنی که طول گام و زمان گام برداشتن، بدون توجه به تاثیر آن در پایداری و تنها با توجه به مشخصه‌های حرکتی مطلوب نظری سرعت مطلوب و طول گام مطلوب درنظر گرفته می‌شود و سپس مسیر حرکت بدن طوری طراحی می‌شود که مسیر حرکت مرکز فشار یا داخل محدوده مجاز قرار گیرد [۲۲] و [۲۳] و یا دقیقاً بر روی یک مسیر مطلوب داخل محدوده مجاز حرکت کند [۲۴]، [۲۵]، [۲۶] و [۲۷]. اخیراً کارهایی نیز انجام شده است که با وجود محور قراردادن (۳) نگاهی نیز به روش (۱) دارد. به عنوان مثال [۲۰] و [۲۸] به دو شیوه کنترل عددی متفاوت طول گام را به گونه‌ای طراحی می‌کنند که مسیر حرکتی طراحی شده در نهایت پایدار باشد.

۳-۲ مدل حرکتی ساده شده برای راه رفتن

در این قسمت چهار فرض برای ساده‌سازی معادله حرکت پایه رابطه (۳-۲) در حالت راه رفتن درنظر می‌گیریم تا معادلات حاکم بر حرکت راه رفتن را به نحوی بدست آوریم که بتوان در تحلیل‌های آتی از آن استفاده نمود.

فرض اول - با توجه به حرکت انسان و دیگر راه روندها، ارتفاع مرکز جرم در حرکت راه رفتن با تقریب بسیار خوبی ثابت است. بنابراین موقعیت عمودی مرکز جرم در حرکت راه رفتن را طبق رابطه (۴-۲) ثابت می‌گیریم.

$$\text{Assumption 1: } y = cte = h \quad (4-2)$$

فرض دوم - با توجه به فرض اول، ارتفاع مرکز جرم با تقریب بسیار خوبی ثابت است. همچنین در حرکت راه رفتن با توجه به سرعت کم نسبت به حرکت دویدن، با توجه به دامنه ناچیز تغییرات جزئی ارتفاع و کوچک بودن فرکانس تناوب، می‌توان از شتاب عمودی مرکز جرم در حرکت راه رفتن در نسبت با شتاب جاذبه زمین طبق رابطه (۴-۲) صرفنظر کرد. این فرض با توجه به اندازه‌گیری‌های انجام شده از حرکت انسان در [۲۹] و [۱۲] نیز قابل استناد است.

$$\text{Assumption 2: } \ddot{y} \approx 0 \Rightarrow z = x - \frac{h}{g} \ddot{x} + \frac{\dot{H}}{Mg} \quad (5-2)$$

فرض سوم - با توجه به محدودیت‌های ساختاری راه روندها برای کنترل اندازه‌حرکت زاویه‌ای، همواره اندازه حرکت زاویه‌ای و نرخ آن نزدیک به صفر کنترل می‌شوند. همچنین با توجه به اندازه‌گیری‌های انجام شده بر روی حرکت انسان نرخ اندازه‌حرکت زاویه‌ای در حرکت راه رفتن انسان، همواره نزدیک به صفر است [۱۲]، [۳۰]، [۳۱] و [۳۲]. بنابراین می‌توان با این فرض رابطه (۶-۲) را به دست آورد.

$$\text{Assumption 3: } \dot{H} \approx 0 \Rightarrow z = x - \frac{h}{g} \ddot{x} \quad (6-2)$$

فرض چهارم- با توجه به اینکه مرکز فشار می‌تواند در هر نقطه‌ای از محدوده مجاز قرار بگیرد و همچنین با توجه به اینکه در این تحقیق بیشتر از راهبرد برتر تغییر طول و زمان فرود گام‌های متوالی به جای راهبرد تغییر دادن مرکز فشار داخل محدوده مجاز استفاده می‌شود، فرض می‌کنیم در فاز تک تکیه‌گاهی مرکز فشار، z ، در مرکز هندسی کف پای تکیه‌گاهی، z_i ، قرار گیرد و در فاز دو تکیه‌گاهی که بلافصله بعد از آن آغاز خواهد شد، مرکز هندسی پای دیگر(پای متحرک)، به عنوان مرکز فشار در نظر گرفته شود(در واقع وزن بدن در همان لحظه فرود پای متحرک بر روی آن منتقل شود)، آنگاه همواره به اندازه طول زمانی یک گام، مرکز فشار ثابت خواهد بود به این معنی که برای هر گام فرضی که از ابتدای فاز دو تکیه‌گاهی شروع می‌شود و تا پایان فاز تک تکیه‌گاهی بعد از آن ادامه می‌یابد مرکز هندسی یک پا، z_i ، مرکز فشار، z ، خواهد بود و بنابراین رابطه (۷-۲) را می‌توان فرض کرد که در آن \dot{z} اندیس گام و مربوط به گام i است.

$$Assumption\ 4: \ z = z_i = cte \Rightarrow \dot{z}_i = 0, \ddot{z}_i = 0 \quad (7-2)$$

اگرچه برای راهرونده‌های داری کف پای غیرنقطه‌ای، در عمل می‌توان جایجایی به اندازه Δz_i ، بین مرکز فشار، z ، و مرکز هندسی کف پا، z_i ، درنظر گرفت که در آن صورت، $z = z_i + \Delta z_i$ در هر گام خواهد بود، ولی برای ساده‌سازی راهرونده‌های دارای کف پای غیرنقطه‌ای، برای آن‌ها نیز، فعلاً فرض می‌کنیم $\Delta z_i = 0$ باشد.
با تعریف پارامتر ω و تعریف متغیر s_i که فاصله مرکز جرم، x ، تا مرکز تکیه‌گاه، z_i ، (که در اینجا همان مرکز فشار فرض شده است) را نمایندگی می‌کند به صورت زیر:

$$\begin{cases} (1) \ \omega \triangleq \sqrt{g/h} & \ddot{x} - \omega^2(x - z_i) = 0 \\ (2) \ s_i \triangleq x - z_i & \ddot{s}_i - \omega^2 s_i = 0, \ \dot{s}_i \triangleq \dot{x}, \ddot{s}_i \triangleq \ddot{x} \end{cases} \quad (8-2)$$

معادله حرکت و بیان فضای حالت آن به صورت روابط (۹-۲) قابل بازنویسی است.

$$\ddot{s}_i - \omega^2 s_i = 0 \xrightarrow[STATE]{SPACE} \begin{bmatrix} \dot{s}_i \\ \ddot{s}_i \end{bmatrix} = \begin{bmatrix} 0 & 1 \\ \omega^2 & 0 \end{bmatrix} \begin{bmatrix} s_i \\ \dot{s}_i \end{bmatrix} \quad (9-2)$$

حال اگر دو متغیر سیستم را با تعریف نگاشت تبدیل (۱۰-۲) قطری‌سازی کنیم به رابطه نهایی (۱۱-۲) خواهیم رسید.

$$\begin{bmatrix} p_i \\ q_i \end{bmatrix} \triangleq T \begin{bmatrix} s_i \\ \dot{s}_i \end{bmatrix}, \quad T = \begin{bmatrix} 1 & -1/\omega \\ 1 & 1/\omega \end{bmatrix}, \quad T^{-1} = \begin{bmatrix} 1/2 & 1/2 \\ -\omega/2 & \omega/2 \end{bmatrix} \quad (10-2)$$

$$\begin{bmatrix} \dot{p}_i \\ \dot{q}_i \end{bmatrix} = \begin{bmatrix} -\omega & 0 \\ 0 & \omega \end{bmatrix} \begin{bmatrix} p_i \\ q_i \end{bmatrix} \Rightarrow \begin{cases} \dot{p}_i + \omega p_i = 0 \\ \dot{q}_i - \omega q_i = 0 \end{cases} \quad (11-2)$$

حل سیستم خطی مجزا شده (۱۱-۲) به صورت روابط (۱۲-۲) خواهد بود که معادله حرکت پیوسته راه رونده برای مدل ساده شده را در یک بازه زمانی یک گام نشان می دهد. در این روابط، مولفه p_i ، یک تابع نمایی با رشد منفی است و به همین جهت آنرا مولفه همگرا می نامیم و مولفه q_i ، یک تابع نمایی با رشد مثبت است و به همین جهت آنرا مولفه واگرا می نامیم.

$$\begin{array}{l} \text{Continuous Part} \\ \text{of} \\ \text{Motion Equation} \\ \text{for Simple Model} \end{array} : \begin{cases} p_i = p_{i,0} e^{-\omega t_i} \\ q_i = q_{i,0} e^{\omega t_i} \end{cases} \quad (12-2)$$

۱-۳-۲ خواص معادله حرکت مدل ساده شده راه رونده در طول بازه زمانی یک گام

با مروری بر معادله حرکت رابطه (۱۲-۲) می توان به خواص زیر در این معادله اشاره کرد.

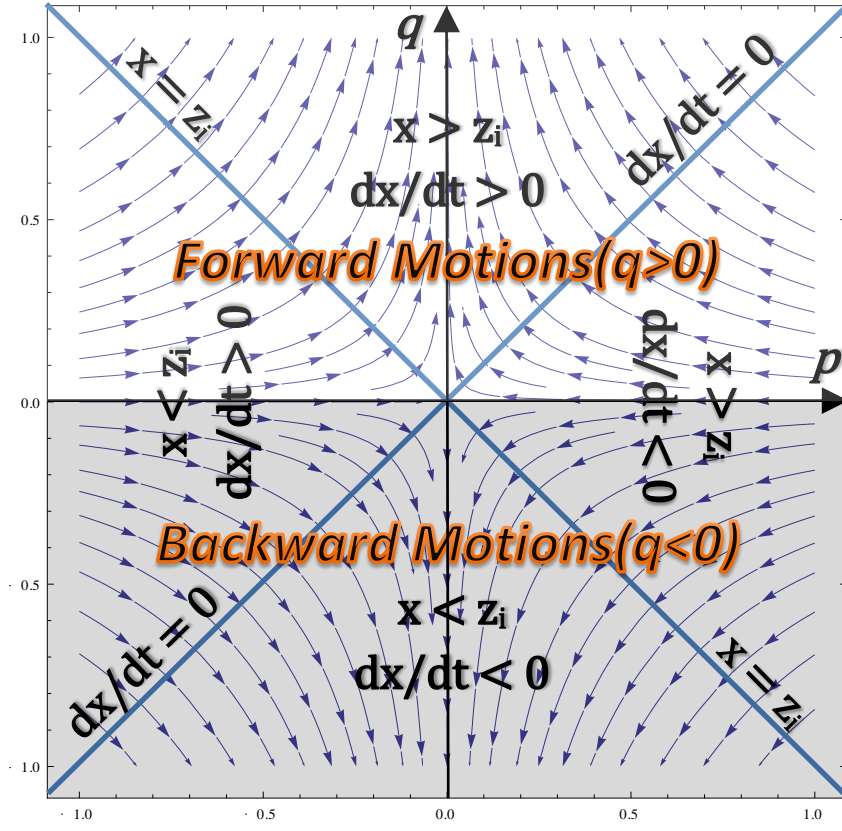
- همواره ضرب مولفه واگرا در طول یک قدم طبق رابطه (۱۳-۲) ثابت است که می توان توسط شکل ۶-۲، نمودار های صفحه فاز آن را نمایش داد.

$$p_i q_i = p_{i,0} q_{i,0} = k_i \quad (13-2)$$

- همواره علامت مولفه واگرا و مولفه همگرا در طول یک قدم حفظ می شود، به این معنی که هم مولفه واگرا و هم مولفه همگرا همواره در بازه زمانی یک قدم به طور جداگانه یا مثبت و یا منفی هستند.

- مولفه واگرا و مولفه همگرا به طور هندسی بر اساس زمان افزایش و کاهش می یابند. به این معنی که مقدار جدید هر یک از مولفه ها پس از گذشت یک بازه زمانی ثابت، نسبت به مقدار قبلی خود با ضریبی ثابت افزایش یا کاهش پیدا می کنند (رابطه (۱۴-۲)).

$$\begin{cases} p_i(t + \Delta t) = p_i(t) e^{-\omega \Delta t} \\ q_i(t + \Delta t) = q_i(t) e^{\omega \Delta t} \end{cases} \quad (14-2)$$



شکل ۶-۲. صفحه فاز مسیرهای حرکت مولفه واگرا نسبت به مولفه همگرا

(جهت زمانی حرکت در هر مسیر به صورت خطوط جریان رسم شده است).

۲-۳-۲ حرکت پیش‌رونده^۱ و پس‌رونده^۲

حرکتی را که یا سرعت مرکز جرم همواره در آن مثبت باشد یا در نهایت به سمت مثبت شدن پیش برود، حرکت پیش‌رونده یا رو به جلو و برخلاف آن حرکتی را که در آن یا سرعت مرکز جرم منفی باشد یا در نهایت به سمت منفی شدن پیش برود، حرکت پس‌رونده یا رو به عقب می‌نامیم. می‌توان اثبات کرد که حرکتهای پیش‌رونده همواره دارای مولفه واگرای مثبت ($q > 0$) هستند و در نمودار صفحه فاز شکل ۶-۲ مسیرهای نیم صفحه بالایی را در ربع اول و بخصوص ربع دوم - به دلایلی که در ادامه توضیح داده خواهد شد - شامل می‌شوند، و بالعکس، حرکتهای پس‌رونده همواره دارای مولفه واگرای منفی ($q < 0$) هستند و در نمودار صفحه فاز شکل ۶-۲ مسیرهای نیم صفحه پایینی را در ربع سوم و بخصوص ربع چهارم شامل می‌شوند. آنچه در تحلیل حرکت پیش‌رونده و پس‌رونده حائز اهمیت بسیار خواهد بود و در فصل کنترل پایداری به آن خواهیم پرداخت، الزام به گام

¹ Forward Motion

² Backward Motion

برداشتن رو به جلو برای حفظ پایداری در حرکت‌های پیش‌روند (شایط اولیه پیش‌روند) و الزام به گام برداشتن رو به عقب برای حفظ پایداری در حرکت‌های پس‌روند (شایط اولیه پس‌روند) است.

همچنین در تحلیل‌های آتی همواره باید توجه داشت که هرگاه بحث از مولفه واگرا و یا همگرا می‌شود، از لحظه مفهومی همواره روابط (۱۵-۲) بین این دو مولفه و دو کمیت فیزیکی قابل مشاهده یعنی سرعت مرکز جرم و فاصله مرکز جرم تا مرکز هندسی پای تکیه‌گاهی (که فعلاً مرکز فشار را منطبق بر آن فرض کردیم)، حاکم است.

$$\begin{cases} (x - z_i) = \frac{q_i + p_i}{2} \\ \dot{x} = \omega \frac{q_i - p_i}{2} \end{cases} \quad \text{and} \quad \begin{cases} p_i = (x - z_i) - \frac{\dot{x}}{\omega} \\ q_i = (x - z_i) + \frac{\dot{x}}{\omega} \end{cases} \quad (15-2)$$

۴-۲ استخراج معادله حرکت گام به گام

با توجه به پیوسته بودن حرکت، اگر فرض کنیم در عمل گام برداشتن، فرودآمدن پای متحرک بدون ضربه وارد کردن به زمین انجام شود، همواره شرط پیوستگی موقعیت و سرعت مرکز جرم در لحظه انتها یک گام قبلی و ابتدای گام جدید حفظ خواهد شد و رابطه نهایی (۱۶-۲) همواره برقرار خواهد بود.

$$\begin{cases} t_i = T_i \Rightarrow p_{i,T_i} = (x - z_i) + \frac{\dot{x}}{\omega} \\ t_{i+1} = 0 \Rightarrow p_{i+1,0} = (x - z_{i+1}) + \frac{\dot{x}}{\omega} \end{cases} \Rightarrow p_{i+1,0} = p_{i,T_i} - (z_{i+1} - z_i) \quad (16-2)$$

این رابطه برای مولفه همگرا نوشته شده است و در آن، T_i ، مدت زمان کل گام i ام را نمایش می‌دهد. با نوشت
رابطه‌ای مشابه برای مولفه واگرا، در نهایت (۱۷-۲) به دست می‌آید که بخش گسسته معادله حرکت را در لحظه
فرود گام جدید نمایش می‌دهد.

$$\begin{array}{l} \text{Discrete Part} \\ \text{of} \\ \text{Motion Equation} \end{array} : \begin{cases} p_{i+1,0} = p_{i,T_i} - L_i \\ q_{i+1,0} = q_{i,T_i} - L_i \end{cases}, \quad L_i \triangleq z_{i+1} - z_i \quad (17-2)$$

در این رابطه، L_i به عنوان طول گام جدید تعریف می‌شود که برای حرکت با قدمهای روبرو به جلو مقداری مثبت و برای حرکت با قدمهای روبرو عقب مقداری منفی اختیار می‌کند. باید توجه کرد که این پارامتر در واقع میزان جابجایی مرکز فشار یا فاصله مرکز پای تکیه‌گاهی فعلی تا مرکز فشار یا مرکز پای تکیه‌گاهی بعدی در مدت زمان یک گام است و با تعریف متعارف از طول گام که منظور از آن فاصله طی شده توسط یک پا در مدت زمان یک گام است، متفاوت می‌باشد.

با محاسبه معادله حرکت پیوسته ساده شده گام i ام (رابطه (۱۲-۲)) برای لحظه نهایی این گام، T_i ، که همان لحظه فرود پا است، (۱۸-۲) را خواهیم داشت.

$$t_i = T_i \Rightarrow \begin{cases} p_{i,T_i} = p_{i,0} e^{-\omega T_i} \\ q_{i,T_i} = q_{i,0} e^{\omega T_i} \end{cases} \quad (18-2)$$

با جایگذاری رابطه (18-2) در رابطه (17-2)، در نهایت به رابطه نهایی (19-2) خواهیم رسید:

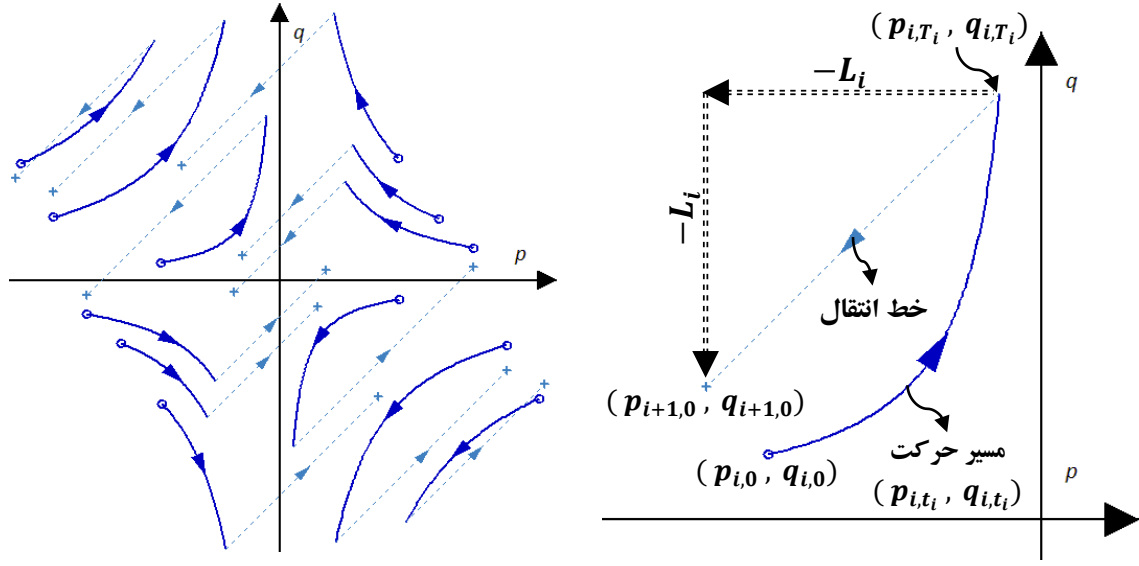
$$\text{Step - to - Step Equation} \quad : \quad \begin{cases} p_{i+1,0} = p_{i,0} e^{-\omega T_i} - L_i \\ q_{i+1,0} = q_{i,0} e^{\omega T_i} - L_i \end{cases} \quad (19-2)$$

(Discrete + Continuous Parts of Motion Equations for Simple Model)

این رابطه گستته را که در واقع مجموع دو بخش پیوسته و گستته یک گام برای مدل ساده شده حرکت می باشد، معادله حرکت گام به گام می نامیم و دارای دو ورودی L_i و T_i است که شرایط اولیه گام i ام را به شرایط اولیه گام $i+1$ انتقال می دهد. به بیان دیگر این معادله، شرایط اولیه گام بعدی را با توجه به شرایط اولیه گام فعلی و طول و زمان فرود گام فعلی (گام جدید) تخمین می زند. برای نمایش این معادله حرکت گستته نیز همانند نمایش معادله حرکت پیوسته برای یک گام، از نمودار صفحه فاز با اندکی تفاوت استفاده می کنیم. شمای کلی یک گام و انواع گامهای قابل تصور در شکل ۷-۲ نمایش داده شده است. نمادهای شکلی استفاده شده در این شکلها و شکل های بعدی که در این فصل و فصل های بعدی از آن استفاده خواهیم کرد، در جدول ۳-۲ توضیح داده شده است.

جدول ۳-۲. تعریف نمادهای موجود در شکل های صفحه فاز معادله حرکت گام به گام

	مسیر حرکتی طی شده در بازه زمانی یک گام که از شرایط اولیه یک گام شروع و به شرایط نهایی همان گام ختم می شود. این مسیر بخش پیوسته معادله حرکت را نمایش می دهد.
	خط انتقال که میزان انتقال شرایط نهایی یک گام به شرایط اولیه گام بعدی را (که بر اثر فرود پا در یک لحظه با مدت زمانی نزدیک به صفر اتفاق می افتد) نمایش می دهد. این خط بخش گستته معادله حرکت را نمایش می دهد.
	نقطه شرایط اولیه مولفه همگرا و واگرا در گام اول
	نقطه شرایط اولیه مولفه همگرا و واگرا پس از برداشتن گام آخر

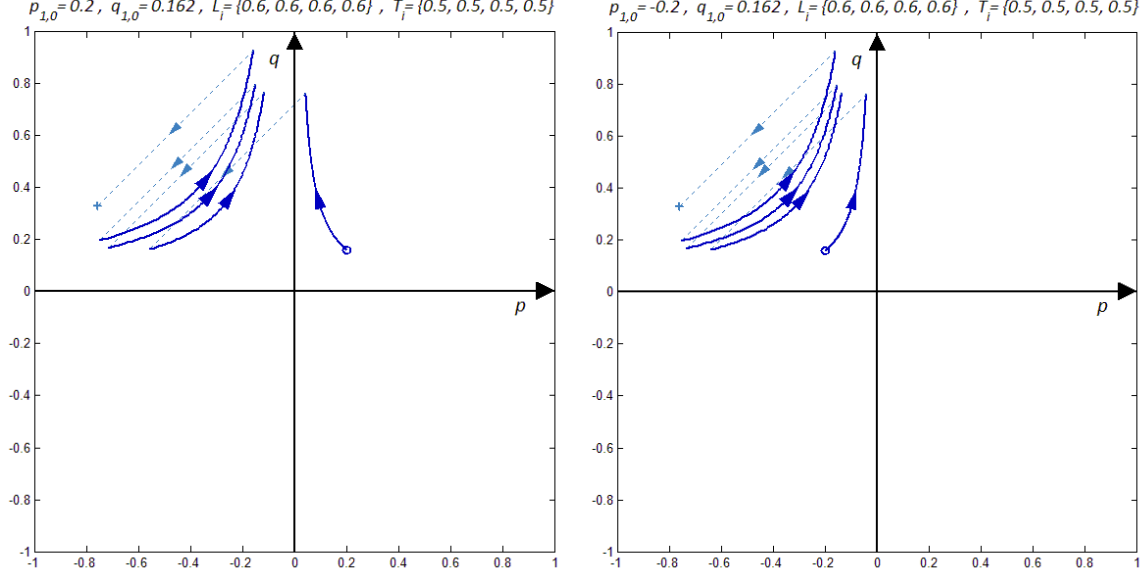


الف-شمای یک گام برای معادله حرکت گام به گام

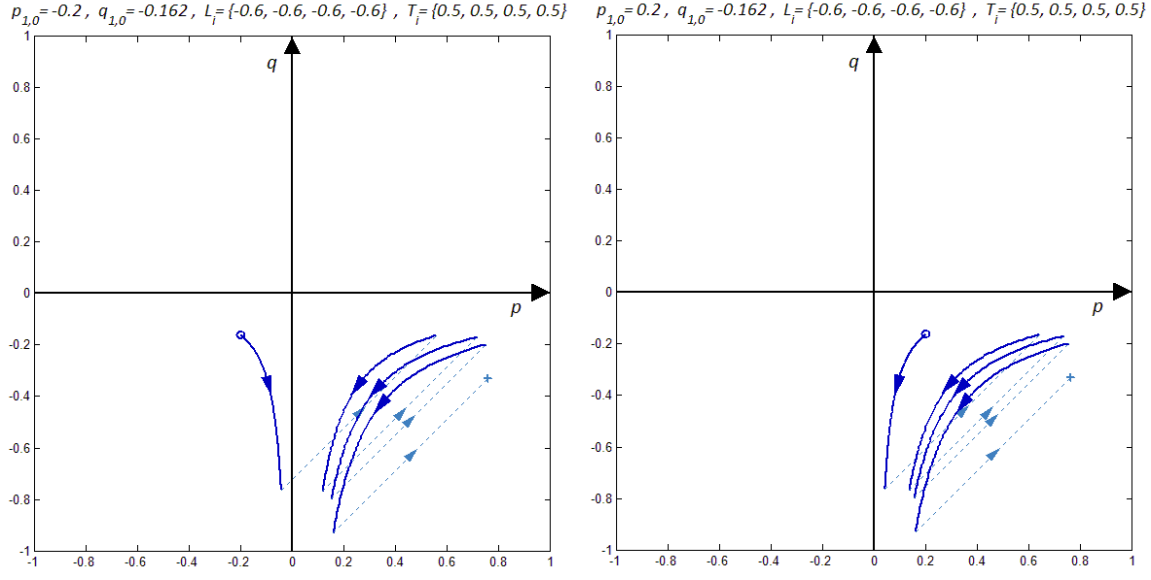
ب- انواع نمونه گام‌های قابل تصور برای معادله حرکت گام به گام

شکل ۷-۲. صفحه فاز مسیرهای حرکت مولفه واگرای نسبت به مولفه همگرا برای نمایش مدل گسسته حرکت گام به گام

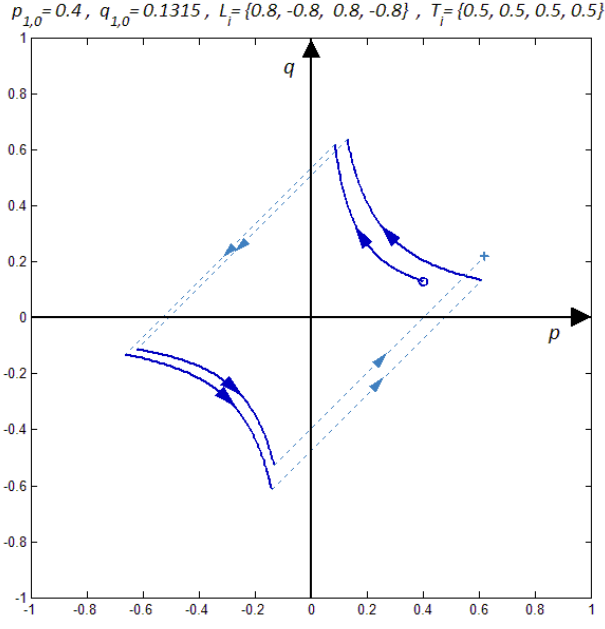
برای نمونه شکل ۸-۲، شکل ۹-۲ و شکل ۱۰-۲ چهار گام پی در پی از مدل حرکتی گام به گام را در صفحه فاز برای حرکت‌های مختلف (مقادیر مختلف طول گام و مدت زمان یک گام) به ترتیب پیش‌رونده، پس‌رونده و جلو و عقب‌رونده (یا راست و چپ‌رونده) نمایش می‌دهند.



شکل ۸-۲ صفحه فاز مسیرهای حرکت مولفه واگرای نسبت به مولفه همگرا برای چهار گام پیش‌رونده پی در پی با شرایط اولیه متفاوت



شکل ۹-۲. صفحه فاز مسیرهای حرکت مولفه واگرای نسبت به مولفه همگرا برای چهار گام پس رونده پی درپی با شرایط اولیه متفاوت



شکل ۱۰-۲. صفحه فاز مسیرهای حرکت مولفه واگرای نسبت به مولفه همگرا برای چهار گام جلو و عقب یا چپ و راست پی درپی

برای کنترل پایداری در فصل بعدی، از یک رابطه تخمین آنی که دقیقتر از (۱۹-۲) است، استفاده خواهیم کرد. رابطه مذکور شرایط اولیه گام بعدی را بر اساس شرایط آنی در گام فعلی و نه شرایط اولیه گام فعلی تخمین می‌زند. برای به دست آوردن رابطه مورد نظر، می‌توان رابطه‌ای به صورت (۲۰-۲) با توجه به خاصیت (۳) معادله حرکت پیوسته نوشت.

$$\begin{cases} p_{i+1,0} = p_{i,t_i} e^{-\omega(T_i - t_i)} - L_i \\ q_{i+1,0} = q_{i,t_i} e^{\omega(T_i - t_i)} - L_i \end{cases} \quad (20-2)$$

با تعریف شرایط اولیه تخمینی گام فعلی i ام، $p_{i,0}^E$ و $q_{i,0}^E$ ، که از روی شرایط آنی این گام توسط رابطه (۲۱-۲) محاسبه می‌شوند می‌توان به رابطه‌ای مشابه با (۱۹-۲) به صورت رابطه (۲۲-۲) رسید.

$$\begin{cases} p_{i,0}^E(t_i) = p_{i,t_i} e^{\omega t_i} \\ q_{i,0}^E(t_i) = q_{i,t_i} e^{-\omega t_i} \end{cases} \quad (21-2)$$

$$\begin{cases} p_{i+1,0} = p_{i,0}^E(t_i) e^{-\omega T_i} - L_i \\ q_{i+1,0} = q_{i,0}^E(t_i) e^{\omega T_i} - L_i \end{cases} \quad (22-2)$$

اگرچه این رابطه تخمینی تابعی از متغیر زمان در گام فعلی است و هیچگاه جایگزین رابطه اصلی معادله حرکت گسسته گام به گام (۱۹-۲) در تحلیل‌های مربوط به طراحی کنترل‌کننده و بررسی پایداری نخواهد شد، ولی در کنترل به‌هنگام پایداری برای محاسبه دقیق‌تر بازخورد^۱ در طول بازه زمانی گام، قابل استفاده خواهد بود. این رابطه به علت در نظر گرفتن اثر عواملی که معادله حرکت پیوسته را از مسیر ایده‌آل خود در مدل ساده‌شده تا لحظه کنونی گام فعلی (t_i) منحرف کرده‌اند، به کار گرفته می‌شود تا پیش‌بینی دقیقترا را از شرایط اولیه گام بعدی (در صورت برداشتن گامی با مشخصات L_i و T_i) در اختیار مان بگذارد (در صورت صفر بودن اختلالات، رابطه (۲۲-۲) همواره برابر با (۱۹-۲) است که در طراحی کنترل‌کننده معمولاً به دلیل نامشخص بودن تابع اختلال، اثر آن را صفر فرض می‌کنیم ولی در زمان کنترل، اثر آن را در بازخورد اندازه‌گیری می‌کنیم).

۵-۲ سیکل‌های حرکتی

اگر بخواهیم با برداشتن گامهایی متوالی با طول مشخص و در زمان مناسب به حرکتی دائمی برسیم با دو سؤال مهم روبرو هستیم:

- ۱- چه رابطه‌ای باید بین این کمیت‌ها به عنوان ورودی سیستم و شرایط اولیه حاکم باشد؟
- ۲- آیا برای گامهایی متوالی با طول و زمان فرود مشخص و ثابت، این حرکت دائمی پایدار خواهد بود یا خیر؟

^۱ Feedback

سعی می کنیم برای جواب به این دو سوال، ابتدا در این قسمت به طرح مفهومی به نام سیکل حرکتی و انواع آن پردازیم و در قسمت بعدی پایداری آن را بررسی کنیم. حرکتی را سیکل می نامیم که حرکت در آن از یک شرایط اولیه دلخواه شروع شود و پس از طی یک گام یا چند گام متفاوت با طول و زمان گام مشخص به همین شرایط اولیه دلخواه بازگردد.

۱-۵-۲ سیکل های حرکتی ساده (تک گامی) پیش روند^۱ و پس روند^۲

سیکل حرکتی ساده را سیکلی تعریف می کنیم که دارای تناوب یک گام است. طبق این تعریف اگر فرض کنیم برای شرایط اولیه یک گام مقادیر مولفه همگرا p_c و مولفه واگرا q_c باشد، آنگاه برای شرایط اولیه ای که پس از برداشتن گامی با اندازه طول L_c و در مدت زمان T_c ایجاد می شود نیز همین مقادیر باید تکرار گردد. با درنظر گرفتن این شرط بر روی رابطه (۱۹-۲) می توان روابط (۲۳-۲) را نوشت که رابطه ای بین شرایط اولیه مولفه همگرا و واگرا با طول و زمان گام در یک سیکل حرکتی ساده را توصیف می کنند.

$$\begin{cases} p_c = p_c e^{-\omega T_c} - L_c \\ q_c = q_c e^{\omega T_c} - L_c \end{cases} \Rightarrow \begin{cases} p_c = -\frac{L_c}{1 - e^{-\omega T_c}} \\ q_c = \frac{L_c}{e^{\omega T_c} - 1} \end{cases} \quad or \quad \begin{cases} L_c = -(p_c + q_c) \\ T_c = \frac{1}{\omega} \ln \left(-\frac{p_c}{q_c} \right) \end{cases} \quad (23-2)$$

سرعت متوسط سیکل حرکتی ساده از رابطه (۲۴-۲) به دست می آید که می توان از آن بجای پارامتر زمان سیکل استفاده نمود.

$$V_c = \frac{L_c}{T_c} = \frac{-\omega(p_c + q_c)}{\ln \left(-\frac{p_c}{q_c} \right)}, \quad (V_c, L_c) \Rightarrow (p_c, q_c), \quad \begin{cases} p_c = -\frac{L_c}{1 - e^{-\frac{\omega L_c}{V_c}}} \\ q_c = \frac{L_c}{e^{\frac{\omega L_c}{V_c}} - 1} \end{cases} \quad (24-2)$$

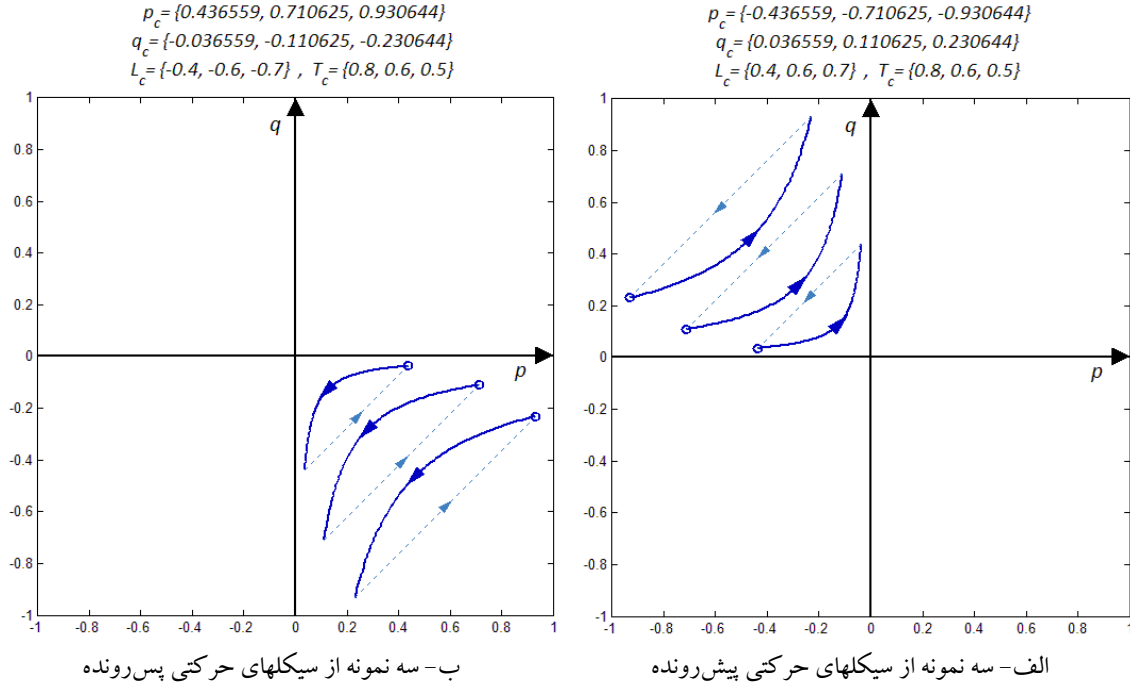
از آنجایی که T_c همواره باید مقداری مثبت داشته باشد، مقدار ورودی تابع لگاریتم نمایی همواره باید مقداری بزرگتر از واحد اختیار کند که می توان روابط (۲۵-۲) را به عنوان شروط لازم از آن نتیجه گیری کرد.

$$-\frac{p_c}{q_c} > 1 \Rightarrow \begin{cases} -\frac{p_c}{q_c} > 0 \Rightarrow p_c q_c < 0 \\ 1 + \frac{p_c}{q_c} < 0 \end{cases} \Rightarrow \begin{cases} Forward Cycles & \begin{cases} p_c < 0 \\ q_c > 0 \\ p_c + q_c < 0 \equiv L_c > 0 \end{cases} \\ or \\ Backward Cycles & \begin{cases} p_c > 0 \\ q_c < 0 \\ p_c + q_c > 0 \equiv L_c < 0 \end{cases} \end{cases} \quad (25-2)$$

^۱ Forward Cycle

^۲ Backward Cycle

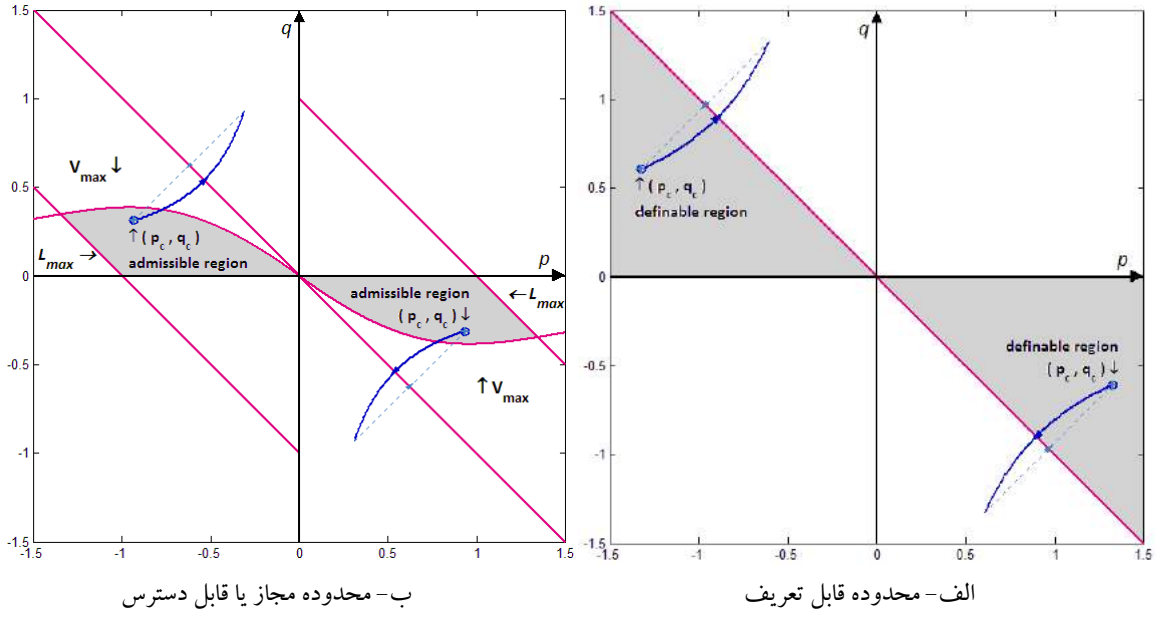
این شروط با توجه به مثبت یا منفی بودن طول گام ($L_c = -(p_c + q_c)$)، دو نوع سیکل ساده حرکتی پیش‌رونده یا پس‌رونده را تعریف می‌کند. این دو نوع سیکل حرکتی ساده به ترتیب در ربع دوم و چهارم صفحه فاز مطابق شکل ۱۱-۲ قرار می‌گیرد. سیکل حرکتی ساده پیش‌رونده در واقع حرکت راه رفتن یکنواخت رو به جلو است که مهمترین بخش از راه رفتن است را توصیف می‌کند.



شکل ۱۱-۲. صفحه فاز مسیرهای حرکت مولفه واگرا نسبت به مولفه همگرا برای سیکلهای حرکتی ساده

• محدودیت‌های سیکلهای حرکتی ساده

با توجه به روابط (۲۵-۲)، محدوده قابل تعریف برای شرایط اولیه سیکلهای حرکتی ساده پیش‌رونده و پس‌رونده در شکل ۱۲-۲-الف به تصویر کشیده شده است. ولی با توجه به دیگر محدودیت‌های ربات از جمله حداقل فاصله مجاز بین دو پ، L_{max} ، یا حداقل زمان مورد نیاز برای گامی به طول L ، T_{min} ، تنها بخشی از این محدوده محدوده مجاز یا قابل دسترس برای سیکلهای حرکتی ساده محاسبه می‌شود که در شکل ۱۲-۲-ب به تصویر کشیده شده است.



شکل ۱۲-۲. محدوده شرایط اولیه مولفه واگرا نسبت به مولفه همگرا در صفحه فاز برای سیکل های حرکتی ساده (ناحیه رنگ شده) برای به دست آوردن محدودیت حداکثر طول بین دوپا، روابط (۲۶-۲) را می توان نوشت.

$$|L_c| < L_{max} \Rightarrow |p_c + q_c| < L_{max} \Rightarrow \begin{cases} \text{Forward Cycles : } q_c > -L_{max} - p_c \\ \text{Backward Cycles : } q_c < L_{max} - p_c \end{cases} \quad (26-2)$$

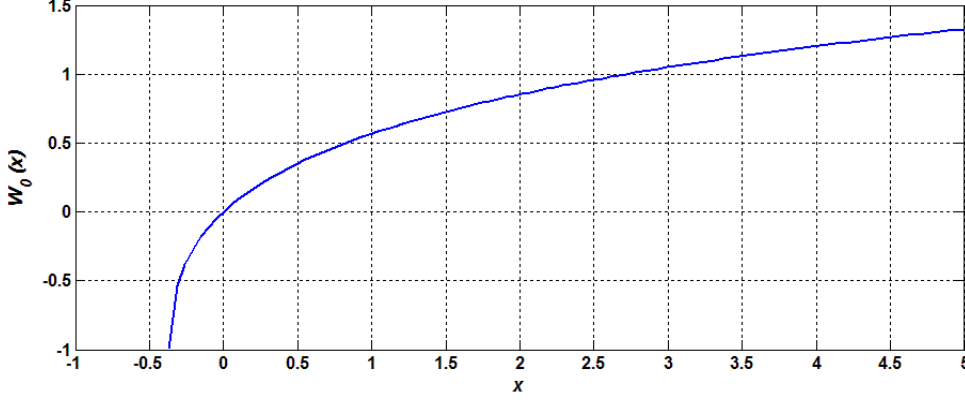
همچنین برای محدودیت حداقل زمان گام برداشتن اگر برای شتاب گیری و ترمز پا مدت زمان T_0 و برای حداکثر اندازه سرعت نسبی حرکت پا به بدن مقدار V_{max} را در نظر بگیریم، روابط (۲۷-۲) به دست می آیند که در آن، تابع امکای لمبرت^۱ نام دارد و توسط رابطه (۲۸-۲) تعریف و به وسیله شکل ۱۳-۲ توصیف می شود.

$$\begin{aligned} T_c > T_{min}(L_c) \Rightarrow \frac{1}{\omega} \ln\left(-\frac{p_c}{q_c}\right) &< \frac{|L_c|}{V_{max}} + T_0 \Rightarrow \frac{1}{\omega} \ln\left(-\frac{p_c}{q_c}\right) < \frac{|p_c + q_c|}{V_{max}} + T_0 \\ \Rightarrow \begin{cases} \text{Forward Cycles : } q_c < -\frac{V_{max}}{\omega} W_0\left(\frac{\omega p_c}{V_{max}} e^{\omega\left(\frac{p_c}{V_{max}} - T_0\right)}\right) \\ \text{Backward Cycles : } q_c > \frac{V_{max}}{\omega} W_0\left(-\frac{\omega p_c}{V_{max}} e^{-\omega\left(\frac{p_c}{V_{max}} + T_0\right)}\right) \end{cases} \end{aligned} \quad (27-2)$$

^۱ Lambert-W function / Omega Function / Product Logarithm

Lambert W definition : $y = W_0(x) \Leftrightarrow x = ye^y$, $y > -1$

$$\text{Taylor series of } W_0(x) = \sum_{n=1}^{\infty} \frac{(-n)^{n-1}}{n!} x^n = x - x^2 + \frac{3}{2}x^3 - \frac{8}{3}x^4 + \frac{125}{24}x^5 + \dots \quad (28-2)$$



شکل ۲-۱۳-۲. نمودار توصیف کننده تابع امگای لمبرت ریشه صفرم

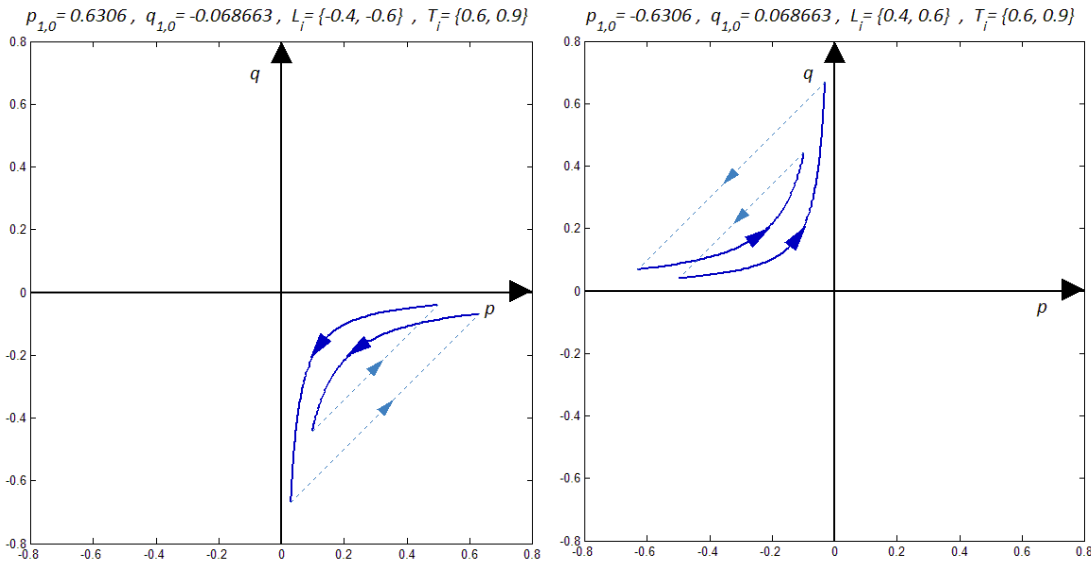
۲-۵-۲ سیکل‌های حرکتی مرکب (چندگامی)

یک سیکل حرکتی مرکب دارای دوره تناوبی مساوی یا بزرگتر دو گام است. به این معنی که شرایط اولیه پس از دو گام یا بیشتر تکرار می‌شود. با این حساب برای سیکلهای مرکب دوگامی می‌توان روابط (۲۹-۲) را نوشت.

$$\begin{cases} p_{c_2} = p_{c_1} e^{-\omega T_{c_1}} - L_{c_1} \\ q_{c_2} = q_{c_1} e^{\omega T_{c_1}} - L_{c_1} \end{cases} \quad \text{and} \quad \Rightarrow \quad \begin{cases} p_{c_1} = -\frac{L_{c_1} e^{-\omega T_{c_2}} + L_{c_2}}{1 - e^{-\omega(T_{c_1} + T_{c_2})}} \\ q_{c_1} = \frac{L_{c_1} e^{\omega T_{c_2}} + L_{c_2}}{e^{\omega(T_{c_1} + T_{c_2})} - 1} \\ p_{c_2} = -\frac{L_{c_2} e^{-\omega T_{c_1}} + L_{c_1}}{1 - e^{-\omega(T_{c_1} + T_{c_2})}} \\ q_{c_2} = \frac{L_{c_2} e^{\omega T_{c_1}} + L_{c_1}}{e^{\omega(T_{c_1} + T_{c_2})} - 1} \end{cases} \quad (29-2)$$

$$\begin{cases} p_{c_1} = p_{c_2} e^{-\omega T_{c_2}} - L_{c_2} \\ q_{c_1} = q_{c_2} e^{\omega T_{c_2}} - L_{c_2} \end{cases}$$

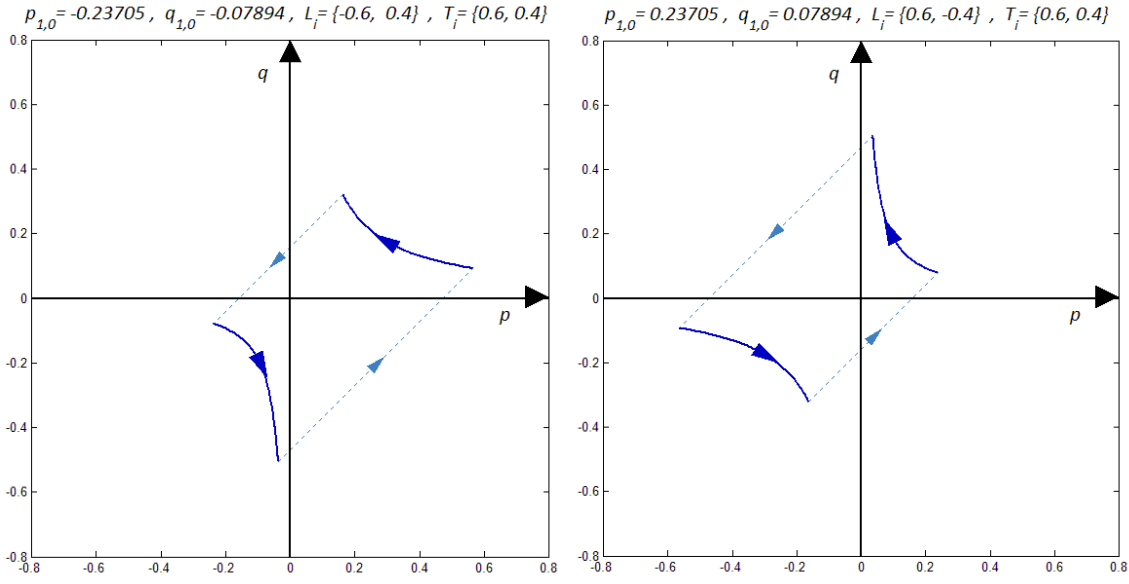
برای سیکلهای بزرگتر از دو گام نیز روابط مشابهی می‌توان استخراج کرد. اگرچه این سیکلها برای ما جذابیت زیادی ندارند ولی برخی حالات خاص سیکل دوگامی شیوه‌هایی را در راه رفتن توصیف می‌کند که سعی می‌کنیم در این قسمت به صورت مختصر به آنها بپردازیم. شکل ۱۴-۲، دو نوع سیکل دوگامی پیش‌روند و پس‌روند که توسط روابط (۲۹-۲) بدست می‌آیند را به تصویر می‌کشد.



شکل ۱۴-۲. صفحه‌های فاز مسیر حرکت مولفه واگرایی به مولفه همگرا برای سیکل حرکتی مرکب دو گامی پیش‌رونده (صفحه فاز سمت راست) و پس‌رونده (صفحه فاز سمت چپ)

سرعت متوسط در دو گام مختلف سیکل‌های مرکب این شکل ثابت است. می‌توان سیکل‌های دو گامی تک-جهتی (پیش‌رونده یا پس‌رونده) دیگری را نیز از جمله سیکل‌های دو گامی با طول گام ثابت در دو گام و یا زمان گام ثابت در دو گام، در نظر گرفت.

علاوه بر سیکل‌های دو گامی تک‌جهتی (پیش‌رونده و پس‌رونده)، شکل ۱۵-۲ دو نمونه از سیکل دو گامی عقب و جلو رونده در صفحه طولی را به تصویر می‌کشد. سیکل‌های موجود در این شکل نیز دارای اندازه سرعت متوسط برابری در دو گام هستند و یکی دارای طول گام مثبت و دیگری منفی است که اگر اندازه گام مثبت بزرگتر از اندازه گام منفی باشد، حرکت راه رونده با وجود عقب و جلو رفتن، در جهت گام مثبت انحراف پیدا می‌کند و در غیراین صورت بالعکس. نوع خاصی از این سیکل که دارای اندازه گام برابر در دو گام عقب و جلو است، منجر به انحرافی به جلو و عقب نمی‌شود و حرکتی در جا را توصیف می‌کند. حالت متقابله آن را سیکل درجای متقابله می‌نامیم و در ادامه این مطلب به بررسی آن می‌پردازیم.



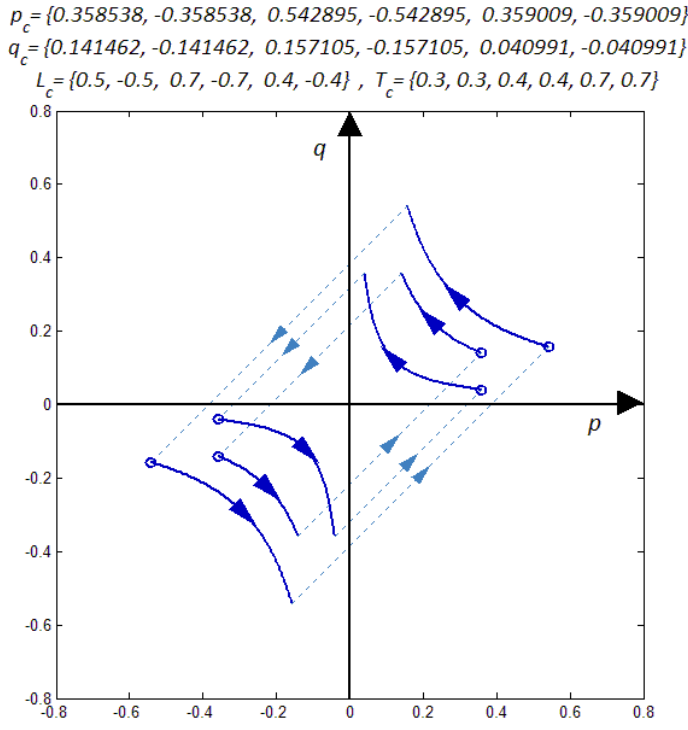
شکل ۱۵-۲. صفحه‌های فاز مسیر حرکت مولفه واگرایی نسبت به مولفه همگرا برای سیکل‌های حرکتی مرکب دوگامی عقب و جلو رونده دارای انحراف به جلو (صفحه فاز سمت راست) و انحراف به عقب (صفحه فاز سمت چپ)

• سیکل حرکتی در جای^۱ متقارن

اگرچه حرکت در صفحه جانبی موضوع بحث این پژوهش نیست ولی اگر معادلات حرکت را در صفحه جانبی بنویسیم، با انجام فرض‌های ساده‌کننده مشابهی برای حرکت در راستای صفحه جانبی همانند آنچه برای حرکت در راستای صفحه طولی برقرار است، به معادله گام به گام یکسانی با آنچه برای حرکت در صفحه طولی رسیدیم، خواهیم رسید. با این مقدمه، نوع خاصی از سیکل مرکب، سیکل دوگامی جلو و عقب رونده(یا راست و چپ رونده) است که رفتار انسان در صفحه جانبی هنگام راه رفتن در صفحه طولی را برای یک مدل سه‌بعدی توصیف می‌کند. این حرکت هیچ‌گونه جابجایی را در صفحه جانبی موجب نمی‌شود و در صورتی که در راستای صفحه طولی نیز حرکتی نداشته باشیم، حرکتی درجا را توصیف می‌کند و به همین دلیل می‌توان آنرا سیکل درجا نامگذاری کرد. در این سیکل حرکتی مرکز فشار یا تکیه گاه بدن در بازه زمانی یک گام روی پای راست و در بازه زمانی برابری در گام بعدی روی پای چپ خواهد بود و این کار تکرار می‌شود. این سیکل حرکتی همچنین می‌تواند حرکت درجای جلو و عقب در صفحه طولی را نیز توصیف کند که سیکلی خاص محسوب می‌شود و کاربردی عام در راه رفتن ندارد. برای به دست آوردن ارتباط حاکم بین مشخصات گام و شرایط اولیه این سیکل حرکتی، روابط (۳۰-۲) را می‌توان نوشت.

¹ Idle Cycle

$$\begin{aligned}
 forward &: \begin{cases} -p_c = p_c e^{-\omega T_{c_1}} - L_{c_1} \\ -q_c = q_c e^{\omega T_{c_1}} - L_{c_1} \end{cases} \Rightarrow \begin{cases} L_{c_1} = -L_{c_2} = (p_c + q_c) \\ T_{c_1} = T_{c_2} = \frac{1}{\omega} \ln \left(\frac{p_c}{q_c} \right) \end{cases} \\
 \text{and} \\
 backward &: \begin{cases} p_c = -p_c e^{-\omega T_{c_2}} - L_{c_2} \\ q_c = -q_c e^{\omega T_{c_2}} - L_{c_2} \end{cases}
 \end{aligned} \quad (30-2)$$



شکل ۲. صفحه فاز مسیر حرکت مولفه واگرای نسبت به مولفه همگرا برای سه نمونه سیکل حرکتی مرکب دوگامی درجا

۳-۵-۲ بردسی پایداری سیکل‌های حرکتی (ساده)

اگر فرض کنیم از نقطه‌ای نزدیک و یا منطبق بر شرایط اولیه یک سیکل حرکتی ساده، شروع به برداشتن گام‌هایی پیاپی با طول و زمان گام مربوط به همین سیکل حرکتی کنیم، آیا به این سیکل حرکتی نزدیک و یا از آن دور می‌شویم؟ نقطه شروع حرکت در چه محدوده‌ای از شرایط اولیه این سیکل حرکتی اگر قرار گیرد به آن سیکل نزدیک و همگرا شده و در چه محدوده‌ای اگر قرار گیرد، از سیکل دور و نسبت به آن واگرا خواهیم شد. برای این کار کافی است شرایط اولیه دلخواهی برای معادله گستته حرکت گام به گام در نظر بگیریم و نتیجه حرکت را پس از پیمودن گام‌هایی پی‌درپی با طول و زمان گام ثابت و برابر با طول و زمان گام سیکل مورد نظر، بررسی کنیم.

رابطه (۳۱-۲) بر اساس جمع دنباله‌های حسابی و هندسی به دست آمده است که درستی آن به روش استقراء قابل تحقیق می‌باشد.

$$\begin{cases} p_{i+1,0} = p_{i,0} e^{-\omega T_c} - L_c \\ q_{i+1,0} = q_{i,0} e^{\omega T_c} - L_c \end{cases} \Rightarrow \begin{cases} p_{k,0} = p_{1,0} - \left(p_{1,0} + \frac{L_c}{1 - e^{-\omega T_c}} \right) (1 - e^{-(k-1)\omega T_c}) \\ q_{k,0} = q_{1,0} + \left(q_{1,0} - \frac{L_c}{e^{\omega T_c} - 1} \right) (e^{(k-1)\omega T_c} - 1) \end{cases} \quad (31-2)$$

این رابطه مشخصا نشان می دهد که شرایط اولیه مولفه همگرای معادله پیوسته، همچنان برای معادله گسسته نیز همگرا است و به سمت شرایط اولیه مولفه همگرای سیکل حرکتی میل می کند (رابطه ۳۲-۲).

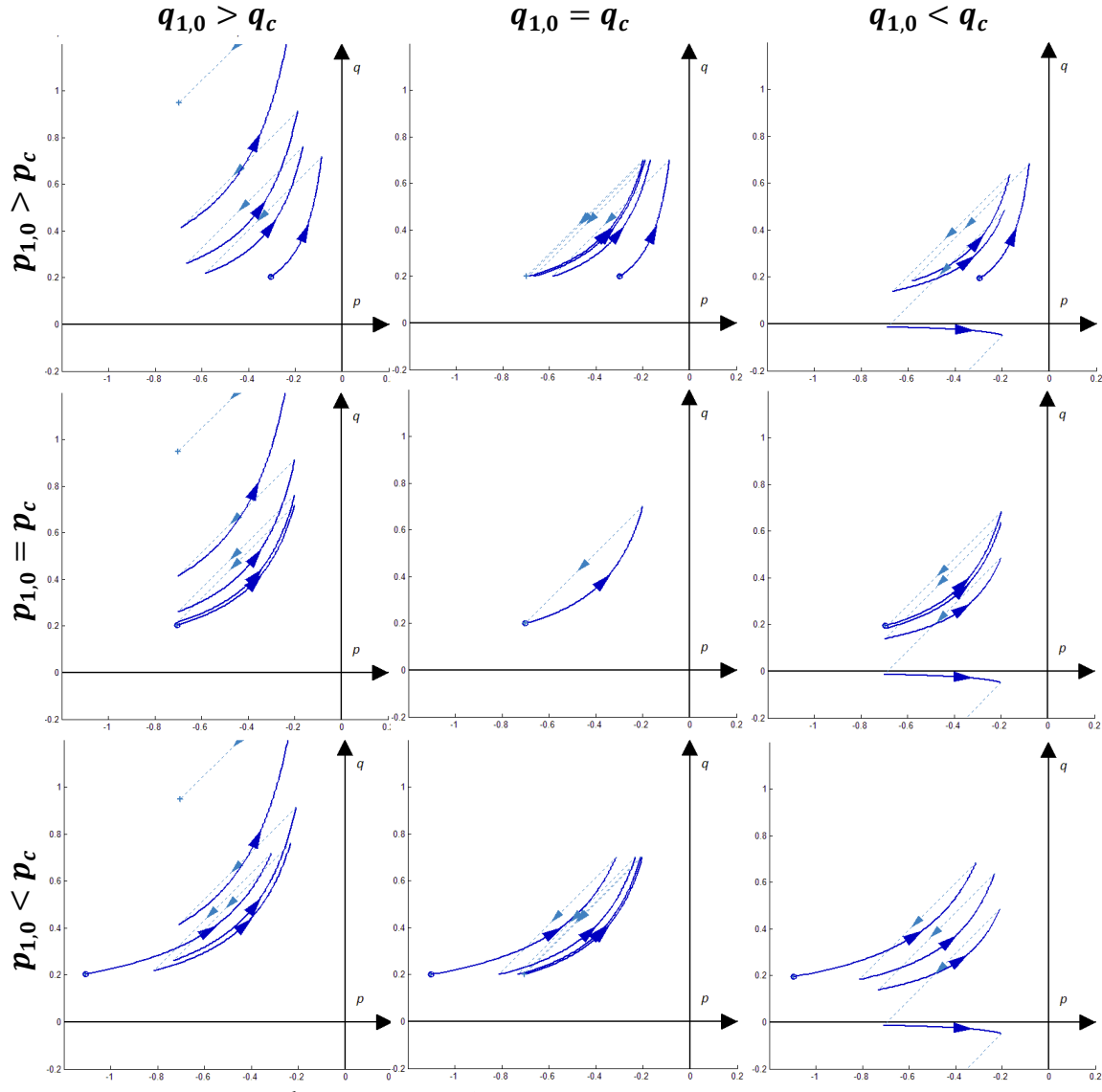
$$\lim_{k \rightarrow \infty} p_{k,0} = \lim_{k \rightarrow \infty} p_{1,0} e^{-(k-1)\omega T_c} - \frac{L_c}{1 - e^{-\omega T_c}} (1 - e^{-(k-1)\omega T_c}) = -\frac{L_c}{1 - e^{-\omega T_c}} = p_c \quad (32-2)$$

در حالی که شرایط اولیه مولفه واگرا تنها دارای پایداری مرزی^۱ است (رابطه ۳۳-۲) و با کوچکترین اختلافی نسبت به شرایط اولیه سیکل حرکتی، واگرا خواهد شد که به دلیل رخدادن این اختلاف در عمل، همواره رفتاری واگرا خواهد داشت و می توان گفت شرایط اولیه مولفه واگرا برای معادله حرکت گسسته نیز همچون مولفه همگرای معادله حرکت پیوسته واگرا می ماند.

$$\lim_{k \rightarrow \infty} q_{k,0} = \begin{cases} +\infty, & q_{1,0} > \frac{L_c}{e^{\omega T_c} - 1} \\ q_c, & q_{1,0} = \frac{L_c}{e^{\omega T_c} - 1} = q_c \\ -\infty, & q_{1,0} < \frac{L_c}{e^{\omega T_c} - 1} \end{cases} \quad (33-2)$$

در این قسمت به دلیل اهمیت سیکل حرکتی ساده و همچنین به جهت خلاصه نویسی مطالب تنها به بررسی پایداری سیکل حرکتی ساده پیش رونده پرداختیم، با این حال می توان نشان داد برای انواع دیگر سیکل های حرکتی نیز، به نتایج مشابهی در مورد همگرایی و واگرایی شرایط اولیه مولفه همگرا و واگرا می توان رسید. موضوع اصلی این تحقیق در واقع ارائه روشهای است که بتواند حرکت راه رفتن را به سمت یکی از این سیکل های حرکتی ساده سوق دهد و سپس پایداری را حول آن سیکل حرکتی تضمین کند. در فصل بعدی سعی خواهیم کرد با ارائه کنترل کننده هایی، پایداری مجانبی حول این سیکل های حرکتی ناپایدار را تضمین کنیم.

¹ Marginal Stability



شکل ۱۷-۲. بررسی پایداری سیکل حرکتی ساده در صفحه فاز مولفه واگرا نسبت به مولفه همگرا برای شرایط اولیه متفاوت

۶-۲ مقایسه معادله حرکت کامل با معادله حرکت ساده شده راه رفتن طی یک گام

بررسی انحراف مدل حرکتی کامل از مدل ساده شده به ما کمک می‌کند که در ک کامل‌تری از مسیرهای ممکن در صفحه فاز برای حرکت راه رفتن داشته باشیم. همچنین می‌توانیم تخمینی از محدوده قابل قبول متغیرهایی که در هنگام استخراج مدل ساده از آنها صرف نظر کردیم، داشته باشیم تا با اطمینان بیشتری به طراحی کنترل کننده بر اساس مدل ساده شده راه رونده پردازیم. برای به دست آوردن معادلات حرکت پیوسته برای مدل کامل، ابتدا به انجام برخی تعاریف در روابط (۳۴-۲) و بازنویسی معادله حرکت پایه می‌پردازیم تا در آنها بتوانیم معادله حرکت

پایه را به یک سیستم دو متغیره شامل مولفه‌های همگرا و واگرایی مشابه با آنچه برای مدل ساده شده به دست آمد، تبدیل کنیم.

$$\left\{ \begin{array}{l} (1) \quad \omega(t) \triangleq \sqrt{\frac{g}{y(t)}} \\ (2) \quad z = z_i + \Delta z_i \\ \quad , \quad z_i = cte \\ (3) \quad s \triangleq x - z_i \\ (4) \quad f_1(t) \triangleq \frac{\ddot{y}(t)}{y(t)} \\ (5) \quad f_2(t) \triangleq \frac{\dot{H}(t)}{M y(t)} \end{array} \right. \Rightarrow \begin{array}{l} z = x + \frac{\dot{H}/M - y\ddot{x}}{g + \dot{y}} \\ \downarrow \\ \ddot{x} - \frac{g + \dot{y}}{y}(x - z) = \frac{\dot{H}}{M y} \\ \downarrow \\ \ddot{s}_i - (\omega(t)^2 + f_1(t)) s_i = f_2(t) - (\omega(t)^2 + f_1(t)) \Delta z_i \end{array} \quad (34-2)$$

این تبدیل با نوشتن معادله حرکت در فضای حالت، رابطه (۳۵-۲)،

$$\ddot{s}_i - (\omega^2 + f_1) s_i = f_2 - (\omega^2 + f_1) \Delta z_i \xrightarrow[STATE]{SPACE} \begin{bmatrix} \dot{s}_i \\ \ddot{s}_i \end{bmatrix} = \begin{bmatrix} 0 & 1 \\ \omega^2 + f_1 & 0 \end{bmatrix} \begin{bmatrix} s_i \\ \dot{s}_i \end{bmatrix} + \begin{bmatrix} 0 \\ f_2 - (\omega^2 + f_1) \Delta z_i \end{bmatrix} \quad (35-2)$$

و استفاده از نگاشت تبدیل (۱۰-۲) به صورت رابطه (۳۶-۲) انجام می‌شود که ما را به رابطه نهایی (۳۷-۲) و یا (۳۸-۲) خواهد رساند.

$$\begin{bmatrix} \dot{p}_i \\ \dot{q}_i \end{bmatrix} = T \begin{bmatrix} 0 & 1 \\ \omega^2 + f_1 & 0 \end{bmatrix} T^{-1} \begin{bmatrix} p_i \\ q_i \end{bmatrix} + T \begin{bmatrix} 0 \\ f_2 - (\omega^2 + f_1) \Delta z_i \end{bmatrix} \quad (36-2)$$

$$\begin{bmatrix} \dot{p}_i \\ \dot{q}_i \end{bmatrix} = \begin{bmatrix} -\omega - \frac{f_1}{2\omega} & -\frac{f_1}{2\omega} \\ \frac{f_1}{2\omega} & \omega + \frac{f_1}{2\omega} \end{bmatrix} \begin{bmatrix} p_i \\ q_i \end{bmatrix} + \begin{bmatrix} -\frac{f_2}{\omega} + \left(\omega + \frac{f_1}{\omega}\right) \Delta z_i \\ \frac{f_2}{\omega} - \left(\omega + \frac{f_1}{\omega}\right) \Delta z_i \end{bmatrix} \quad (37-2)$$

$$\begin{array}{c} Continuous \ Part \\ of \\ Motion \ Equation \end{array} : \begin{cases} \dot{p}_i + \left(\omega + \frac{f_1}{2\omega}\right) p_i = -\frac{f_1}{2\omega} q_i - \frac{f_2}{\omega} + \left(\omega + \frac{f_1}{\omega}\right) \Delta z_i \\ \dot{q}_i - \left(\omega + \frac{f_1}{2\omega}\right) q_i = \frac{f_1}{2\omega} p_i + \frac{f_2}{\omega} - \left(\omega + \frac{f_1}{\omega}\right) \Delta z_i \end{cases} \quad (38-2)$$

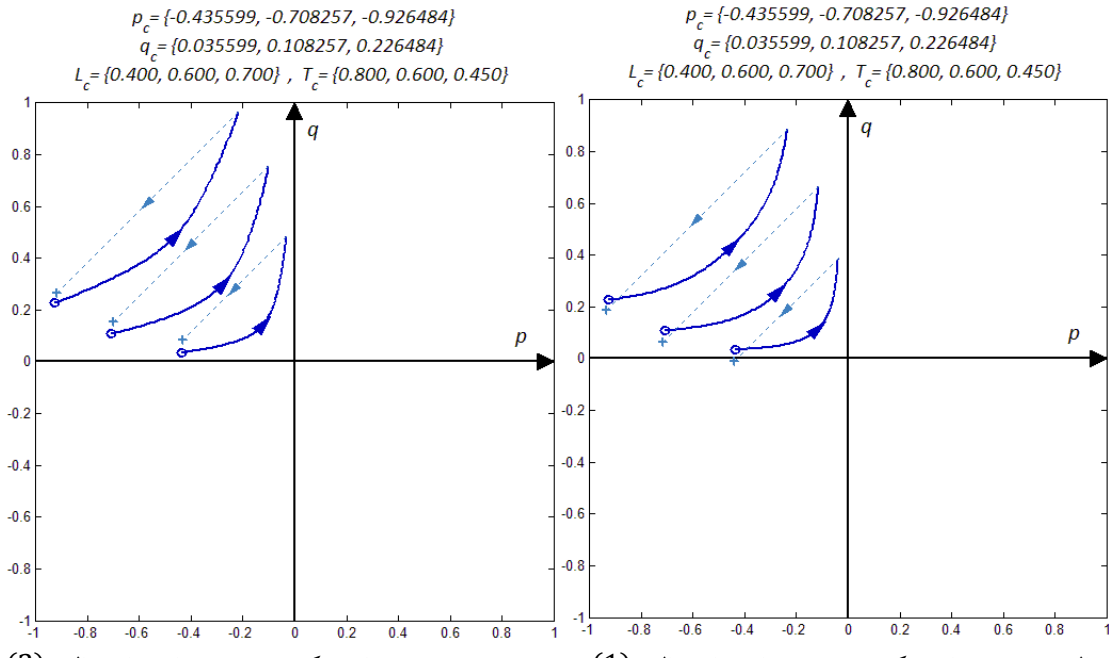
برای بررسی انحراف مورد نظر، معادله حرکت کامل ($38-2$) را برای برخی از توابعی که می‌توانند نامزد احتمالی f_1 و f_2 باشند، شبیه‌سازی می‌کنیم. اندازه حرکت خطی در راستای عمودی و اندازه حرکت زاویه‌ای، $M\dot{y}(t)$ و $H(t)$ ، با توجه به تناوبی بودن حرکت راه رفتن در حالت دائمی، توابعی هارمونیک خواهند بود که مود اول بسط فوریه آنها تابعی سینوسی با دوره تناوبی به اندازه بازه زمانی یک گام از سیکل حرکتی ساده می‌باشد. شکل $18-2$ و شکل $19-2$ ، شبیه‌سازی معادله حرکت کامل برای شرایط اولیه مشابهی با شرایط اولیه شکل $11-2$ را نشان می‌دهد. در این شبیه‌سازی توابع $y(t)$ و $H(t)$ که تشکیل دهنده f_1 و f_2 هستند، به صورت جدول $4-2$ درنظر گرفته شده‌اند. پارامترهای این توابع به گونه‌ای درنظر گرفته شده است که منحنی‌های اندازه‌گیری از حرکت انسان در مراجع [12 ، 30 ، 31] و [32] و برای حرکت‌هایی با بیشترین دامنه ممکن باشد. به عنوان مثال، دامنه حرکت اندازه حرکت زاویه‌ای، A_H ، برابر با $0.1 M\bar{V}h$ درنظر گرفته شده است که مربوط به حرکت راه رفتن مبالغه آمیز^۱ می‌باشد و مقدار آن برای راه رفتن معمولی از $0.05 M\bar{V}h$ تجاوز نمی‌کند [12]. همچنین، حالت‌های (۱) و (۳) برای حرکت‌هایی شبیه راه رفتن انسان و حالت‌های (۲) و (۴) برای حرکت‌هایی دقیقاً عکس حرکت انسان (با 180° درجه اختلاف فاز) و جهت بررسی حرکت‌هایی دور از انتظار درنظر گرفته شده‌اند.

در حالی که شرایط اولیه درنظر گرفته شده و طول و زمان فرود گام مربوط به سیکل حرکتی ساده است و به بسته شدن یک سیکل حرکتی ساده در شکل $11-2$ برای مدل حرکتی ساده شده منجر شده است، برای مدل حرکتی کامل در شکل $18-2$ و شکل $19-2$ ، منجر به شرایط نهایی متفاوتی از مدل ساده می‌شود که با برداشتن گام، شرایط اولیه گام بعدی دیگر همانند شرایط اولیه گام پیموده شده نخواهد بود و منجر به باز شدن سیکل حرکتی می‌شود. با این حال، مسیر حرکتی مدل کامل با وجود انحراف از مدل ساده شده، هنوز شباهت زیادی به حرکت مدل ساده به خصوص در سیکل‌های با سرعت متوسط بالاتر را دارد که مسئله پایداری در آن‌ها مهم‌تر است. بنابراین به احتمال زیاد می‌توان مدل ساده شده را مبنای خوبی برای طراحی کنترل کننده پایداری در فصل بعدی قرار داد که البته با شبیه‌سازی کنترل کننده‌های طراحی شده بر روی یک مدل فیزیکی کامل، درستی این فرض محکّز زده خواهد شد.

جدول $4-2$. تعریف توابع نامزد برای مدل حرکتی کامل راه رفتن

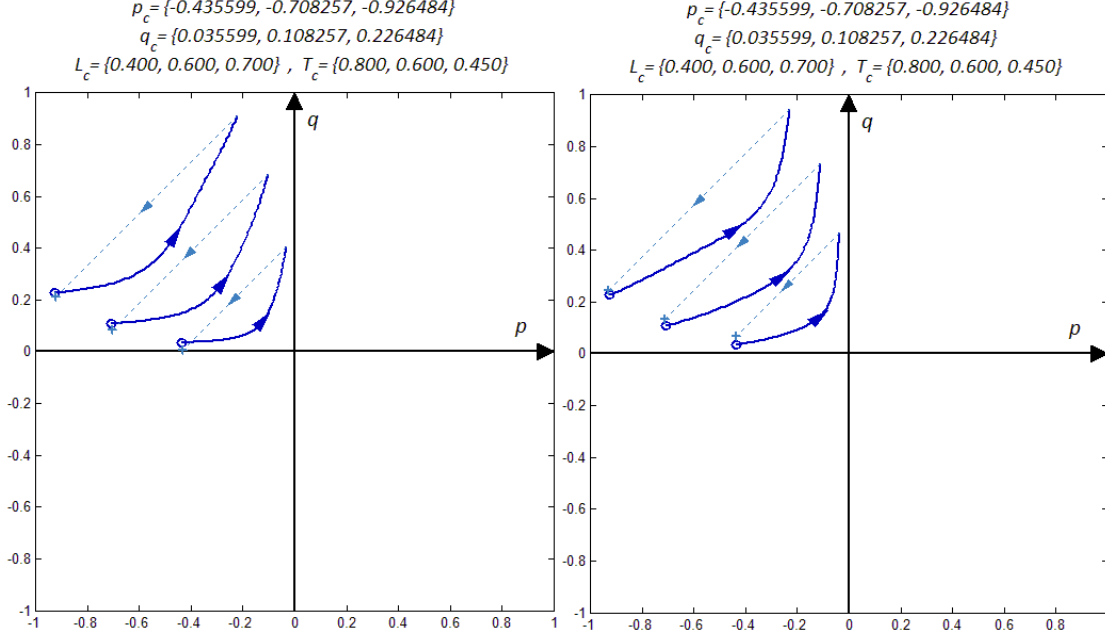
$y(t) = h + A_y \sin\left(\frac{2\pi t}{T_c} + \phi_y\right)$	(1) : $A_y = 0.025$, $\phi_y = -\frac{\pi}{2}$
$H(t) = 0$	
$\Delta z_i = 0$	(2) : $A_y = 0.025$, $\phi_y = \frac{\pi}{2}$
$y(t) = h$	
$H(t) = A_H \sin\left(\frac{2\pi t}{T_c} + \phi_H\right)$	(3) : $A_H = 0.2 MV_c h$, $\phi_H = 0$
$\Delta z_i = 0$	(4) : $A_H = 0.2 MV_c h$, $\phi_H = \pi$

^۱ Exaggerated Walking



الف- سه نمونه از حرکتی پیشرونده برای توابع حالت (1)

ب- سه نمونه از حرکتی پیشرونده برای توابع حالت (2)
 شکل ۱۸-۲. صفحه فاز مسیرهای حرکت مولفه واگرای مدل حرکتی کامل بر روی شرایط اولیه سیکل های حرکتی ساده



الف- سه نمونه از حرکتی پیشرونده برای توابع حالت (3)

ب- سه نمونه از حرکتی پیشرونده برای توابع حالت (2)
 شکل ۱۹-۲. صفحه فاز مسیرهای حرکت مولفه واگرای مدل حرکتی کامل بر روی شرایط اولیه سیکل های حرکتی ساده

۷-۲ تعریف مدل‌های ریاضی ساده‌شده(SWM) و کامل (CWM) راه‌رفتن

در این بخش سعی خواهیم کرد با نگاهی سیستمی به جمع‌بندی معادلات حرکتی که تاکنون در این فصل مطرح و مطالعه شد، پردازیم و دو مدل ریاضی برای حرکت راه‌رفتن به نام‌های مدل ساده راه‌رفتن^۱ و مدل کامل راه‌رفتن^۲ ارائه دهیم.

در ابتدای فصل، با فرض برقرار بودن همیشگی تماس با زمین، دانستیم که معادله حرکت پایه (۳-۲) همواره برای هر راهرونداءی برقرار است. سپس، با اعمال فرض‌های نزدیک به واقعیت بر این معادله حرکت پایه، همچون ناچیز بودن حرکت در راستاهای عمودی و دورانی، و باز تعریف برخی متغیرهای جدید به صورت نگاشتی خطی بر روی متغیرهای قبلی، مدلی ساده برای حرکت طبیعی راه‌رفتن (دینامیک صفر) به صورت معادله حرکت (۱۲-۲) استخراج شد که در آن به صورت پیش‌فرض یکی از ورودی‌ها $\Delta z_i = 0$ درنظر گرفته شد تا دینامیک صفر این مدل ساده‌شده (حرکت طبیعی^۳) به دست آید. (استفاده از این معادله حرکت ساده‌شده با ورودی $\Delta z_i = 0$ به ما کمک کرد تا معادله حرکت گام به گام را برای مجموع بخش پیوسته و گسسته حرکت استخراج کنیم و به مفاهیمی همچون سیکل‌های حرکتی و پایداری آن‌ها پردازیم).

حال اگر بخواهیم بخش پیوسته معادلات حرکت ساده‌شده راه‌رفتن را با در نظر گرفتن متغیر جابجایی فشار غیرصفر، $\Delta z_i \neq 0$ ، که در حالت کلی برای همه راهرونداءها (به غیر از راهرونداء‌های دارای کف پای نقطه‌ای یا دوپای کم عملگر) می‌تواند غیر صفر باشد، بازنویسی کنیم، به رابطه (۳۹-۲) خواهیم رسید. این رابطه با قرار دادن $f_1 = f_2 = 0$ در معادله حرکت کامل (۳۸-۲) نیز، قابل استخراج است.

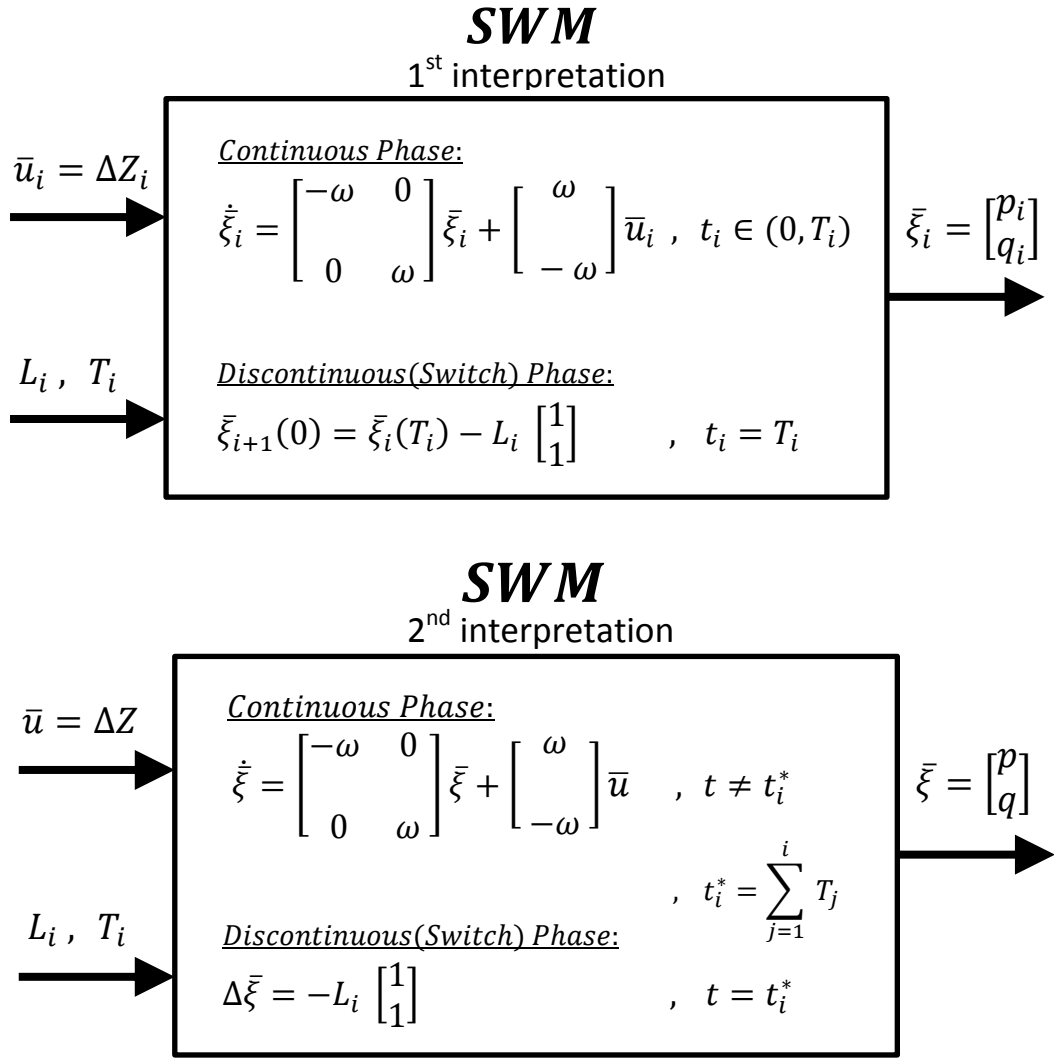
$$z = z_i + \Delta z_i \Rightarrow \ddot{x} - \omega^2(x - z_i) = -\omega^2 \Delta z_i \Rightarrow \begin{cases} \dot{p}_i + \omega p_i = \omega \Delta z_i \\ \dot{q}_i - \omega q_i = -\omega \Delta z_i \end{cases} \quad (39-2)$$

بر این اساس، مدل ریاضی ساده‌شده راه‌رفتن (SWM) را به صورت بلوک دیاگرام شکل ۲۰-۲ معرفی می‌کنیم.

¹ Simplified Walking Model

² Complete Walking Model

³ Natural Walking Motion



شکل ۲۰-۲. مدل ساده شده راه رفتن (SWM: Simplified Walking Model)

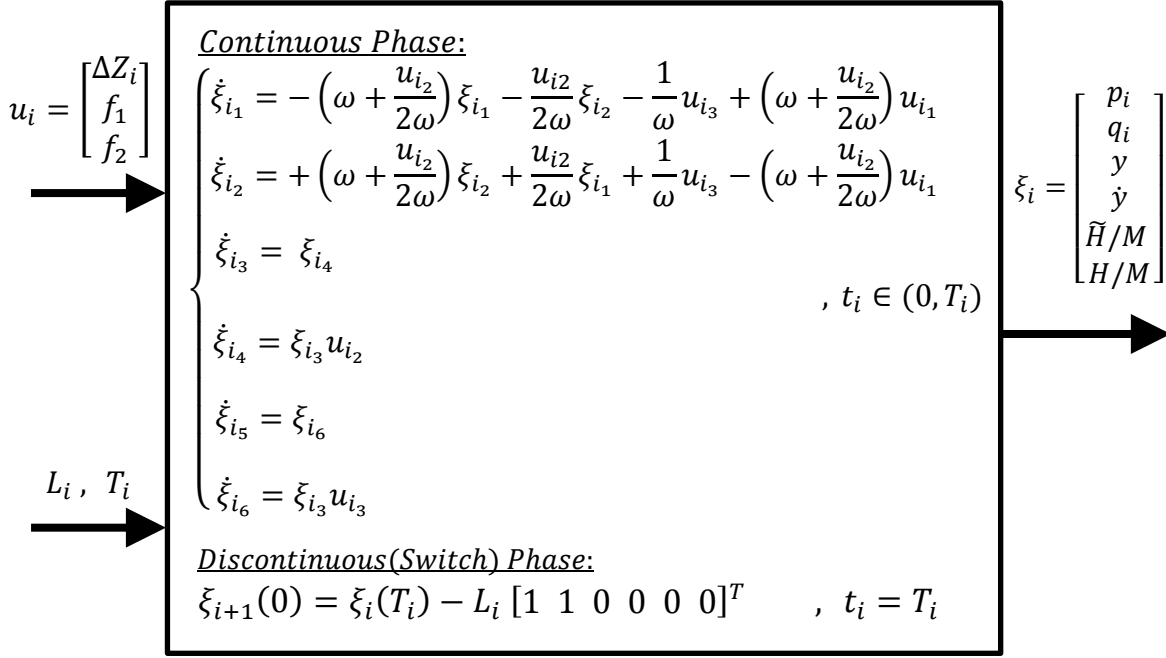
حال اگر بخواهیم معادلات پیوسته حرکت کامل راه رفتن در رابطه (۳۸-۲) را در نظر بگیریم، باید توجه کنیم که فرضیاتی که در مدل ساده انجام شد از جمله قابل صرف نظر بودن حرکت در راستای دو درجه آزادی عمودی و دورانی، دیگر برای این مدل معتبر نخواهد بود و باید معادلات حرکت حاکم بر این دو درجه آزادی، معادلات رابطه (۴۰-۲)، را نیز بر این مدل بیافزاییم.

$$\begin{cases} \ddot{y} = y f_1 \\ \dot{H} = M y f_2 \end{cases} \quad (40-2)$$

بر این اساس، می توان مدل ریاضی کامل راه رفتن (CWM) را به صورت بلوك دیاگرام شکل ۲۱-۲ معرفی کرد. در روابط این مدل، \tilde{H} انتگرال اندازه حرکت زاویه ای به صورت $d\tau$ می باشد که معرف وضعیت کلی قرار گیری دورانی پیکره بندی است.

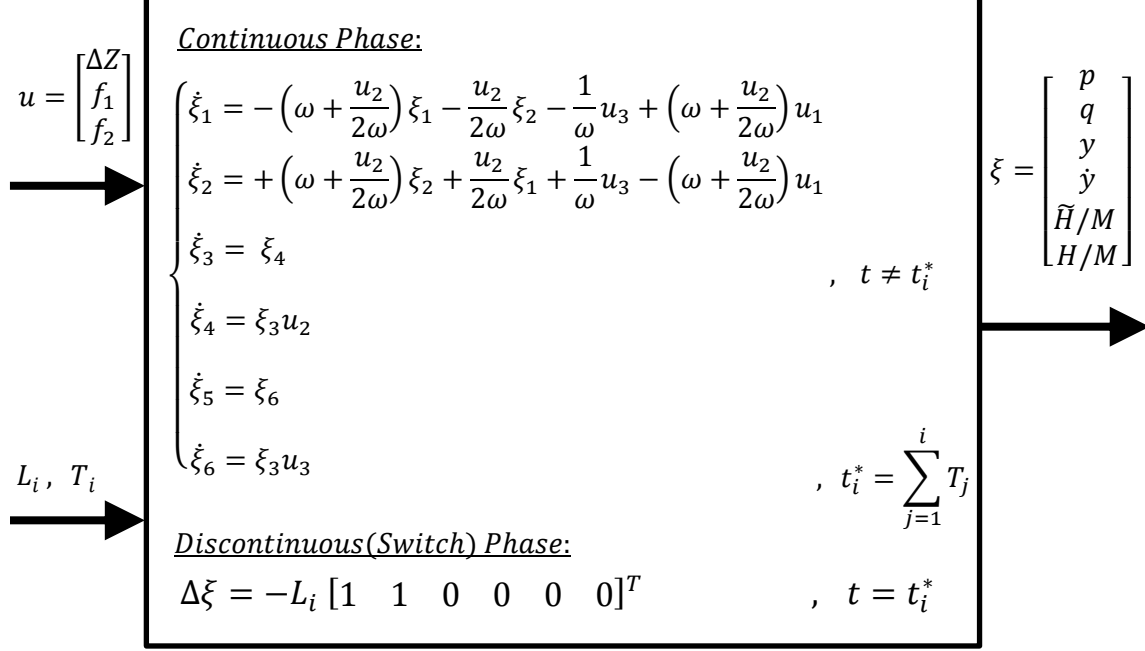
CWM

1st interpretation



CWM

2nd interpretation



شکل ۲۱-۲. مدل کامل راه رفتن (CWM: Complete Walking Model)

فصل سوم

کنترل پایداری

بررسی معادله حرکت حاکم بر راهرونده‌ها و به ویژه دوپای راهرونده در فصل پیش، نشان داد که مدل فیزیکی حاکم بر آن‌ها، چه برای مدل ساده راهرفتن (SWM) و چه برای مدل کامل راهرفتن (CWM)، یک سیستم دینامیکی تکه‌تکه پیوسته^۱ است که نوعی سیستم دینامیکی هیبرید^۲ است. گستنگی این مدل مربوط به عمل گام‌برداشتن است که جزیی جداگانه ناپذیر از حرکت راهرونده‌هاست: برای حرکت راهرفتن در لحظه فرود آمدن هر گام محدوده تکیه‌گاهی تغییر می‌کند و به تبع آن مرکز فشار جابجا می‌شود، همچنین برای حرکت دویدن اگرچه موضوع بحث تحقیق فعلی نیست، می‌توان گفت که در هر گام برای یک بازه زمانی کوتاه نیروهای خارجی وارد شونده از کف زمین ناپدید می‌شوند و سپس با بازگشت این نیروها، محدوده تکیه‌گاهی و به تبع آن مرکز فشار جابجا می‌شود. در بخش‌های پیوسته این نوع سیستم‌ها (سیستم‌های دینامیکی تکه‌تکه پیوسته)، معادلات دیفرانسیلی حاکم است که برای بخش اصلی سیستم دینامیکی مدل کامل راهرونده (CWM)، همان معادله حرکت پیوسته (۳۸-۲) است و در بخش‌های گستنگی این سیستم‌ها، معادلات تفاضلی^۳ حاکم است که برای سیستم دینامیکی راهرونده، همان معادله حرکت گستنگی (۱۷-۲) است.

¹ Piecewise Continuous Dynamical System

² Hybrid Dynamical System

³ Difference Equations

در این فصل، ابتدا راهبردهای کنترلی برای پایدارسازی بخش اصلی (مولفه‌های همگرا و واگرا) مدل کامل راهروند (CWM) مطالعه خواهد شد. سپس، با مینا قراردادن مدل ساده‌شده راهرفتن (SWM) و معادله حرکت گام به-گام (۱۹-۲)، که از ترکیب رابطه (۱۲-۲) برای بخش پیوسته مدل ساده‌شده و رابطه (۱۷-۲) برای بخش گسته استخراج شده است، دو دسته کنترل کننده پایداری بر اساس دو راهبرد کنترلی مختلف، با عنوان کلی پایدارسازهای سیکل حرکتی، طراحی می‌شود و پایداری آن‌ها اثبات خواهد شد. در ادامه با معرفی یک مدل فیزیکی کامل (غیرخطی) و تکمیل نمودن کنترل کننده برای بخش‌های دیگر این مدل، به شیوه‌سازی عملکرد پایدارسازهای سیکل حرکتی بر روی این مدل می‌پردازیم. این شیوه‌سازی‌ها، برای صورت مسئله‌های مختلفی از جمله مقاومت در برابر اختلال (از نوع ضربه) و نیز برای شرایط اولیه دور از سیکل و با درنظر گرفتن محدودیت‌هایی واقعی بر روی حرکت راهروند انجام می‌شود تا توانایی و نارسانی کنترل کننده‌های طراحی شده بررسی شود.

در فصل بعدی، با ارائه روشی جدید بر نارسانی‌های پایدارسازهای سیکل حرکتی فائق خواهیم آمد و به راه حلی کامل برای مسئله کنترل پایداری به نام کنترل پایداری بهینه خواهیم رسید که به روش برنامه‌ریزی غیرخطی^۱ و با توجه همزمان به عملکرد پایدارسازهای سیکل حرکتی در حفظ پایداری و رعایت قیود مسئله عمل می‌کند.

۳-۱ راهبردهای قابل تصور برای کنترل پایداری

اگر بخواهیم تنها مولفه‌های واگرا و همگرا مدل کامل راهروند (CWM) را بدون توجه به دیگر متغیرهای این مدل، تحت کنترل درآوریم و در عین حال به هر دو بخش معادلات حرکت (مربوط به مولفه‌های واگرا و همگرا) در بخش پیوسته آن، معادلات (۳۸-۲)، و در بخش گسته آن، معادلات (۱۷-۲)، توجه کنیم، متوجه خواهیم شد که سه ورودی کنترلی Δz_i ، f_1 و f_2 ، در بخش پیوسته و دو ورودی کنترلی T_i و L_i ، در بخش گسته وجود دارد. با این حال به علت نیاز به استفاده از دو ورودی f_1 و f_2 برای کنترل حرکت راهروند در راستای دو درجه آزادی حرکت عمودی (سرعت و موقعیت مرکز جرم در راستای عمودی: \dot{z} , y) و حرکت دورانی (اندازه حرکت زاویه‌ای و وضعیت قرارگیری دورانی پیکره‌بندی: H , \tilde{H}), ترجیح می‌دهیم از این ورودی‌ها برای این اهداف به جای استفاده در کنترل پایداری (مولفه‌های واگرا و همگرا حرکت) استفاده کنیم و تاثیر آن‌ها را در بخش پیوسته معادلات حرکت (۳۸-۲) به صورت اغتشاش درنظر بگیریم.

با این حساب در بخش پیوسته معادلات حرکت (۳۸-۲)، تنها، ورودی کنترلی متغیر جابجایی مرکز فشار، Δz_i ، باقی می‌ماند که استفاده از آن را با عنوان راهبرد تغییر مرکز فشار در بازه زمانی هر گام نامگذاری می‌کنیم و در بخش گسته معادلات حرکت، دو ورودی کنترلی طول و زمان فرود گام، T_i و L_i ، را در دست خواهیم داشت که استفاده از آن را، راهبرد تغییر گام با برداشتن گام‌هایی با طول و زمان فرود متغیر می‌نامیم. علاوه بر این دو،

^۱ Nonlinear Programming(NLP)

راهبرد سومی نیز برای کنترل پایداری می‌تواند وجود داشته باشد که تلفیقی از این دو راهبرد است، با این حال در این تحقیق به بررسی آن نخواهیم پرداخت و مطالعه آن را برای ادامه کار پیشنهاد می‌کنیم. با توجه به نامشخص بودن ورودی‌های f_1 و f_2 به طور کلی، و باعلم به اینکه حرکت در راستای عمودی و دورانی تکرارشونده و نزدیک به صفر است، از f_1 و f_2 در بخش طراحی کنترل کننده پایداری صرف نظر می‌کنیم و بنابراین مدل ساده راهروند (SWM)، معادله حرکت (۳۹-۲)، را مبنای طراحی کنترل کننده پایداری در این فصل قرار می‌دهیم.

۱-۱-۳ کنترل پایداری حول سیکل حرکتی

همانطور که در فصل قبل دیدیم، اگر راهروند ای بخواهد حرکتی دائمی را تجربه کند، باید حرکتی نزدیک به یک سیکل حرکتی از خود بروز دهد به این معنی که سیکل‌های حرکتی که از مدل ساده شده در فصل قبلی استخراج شد، معیار خوبی به عنوان یک مسیر حرکت دائمی مطلوب برای راهروند می‌باشد، ولی همانطور که دیدیم این سیکل‌ها تنها دارای پایداری مرزی هستند و در عمل بسیار ناپایدارند (واگرایی نمایی). به همین جهت، اگر شرایط مولفه واگرا و همگرا نزدیک به مسیر یک سیکل حرکتی باشد و بتوان کنترل کننده‌ای یافت که حرکت راهروند را به سمت این سیکل حرکتی همگرا کند، نوعی کنترل کننده پایداری خواهیم داشت که آن را پایدارساز سیکل حرکتی می‌نامیم. پایدارسازهای سیکل حرکتی که در این فصل پیشنهاد خواهد شد، از هر دو راهبرد ممکن استفاده می‌کنند و به همین جهت به دو دسته تقسیم‌بندی شده‌اند.

• جابجایی مرکز فشار جهت تعقیب مسیر در بازه زمانی هر گام

این دسته از کنترل کننده‌های پیشنهادی بخش پیوسته معادلات حرکت را به نحوی تحت کنترل درمی‌آورد که معادلات حرکت گسسته نیز پایدار شوند. در این دسته، یک کنترل کننده پیشنهاد می‌شود که با استفاده از جابجایی مرکز فشار در بازه زمانی هر گام سعی می‌کند حرکت راهروند را در بخش پیوسته معادلات حرکت همگرا و در نهایت حرکت کلی را به سمت یک سیکل حرکتی دلخواه همگرا کند. باید توجه داشت این کنترل کننده با توجه به الزامش در استفاده از محدوده‌ای برای اعمال تغییرات در موقعیت مرکز فشار در طول زمان، برای راهروند های کاربرد دارد که دارای کف پا هستند و برای دوپاهای کم عملگر که دارای تماس نقطه با زمین هستند، بی‌کاربرد است.

• تغییر طول یا زمان گام و یا هر دو برای جبران انحراف از مسیر

این دسته از کنترل کننده‌های پیشنهادی که در واقع بخش گسسته معادلات حرکت را تحت کنترل درمی‌آورند، از نوع کنترل کننده‌های تحریک آنی^۱ محسوب می‌شوند.

¹ Impulsive Control

در این دسته طراحی کنترل کننده بر راهبرد تغییر گام استوار است و در آن سه روش برای پایدارسازی سیکل حرکتی پیشنهاد می‌شود که هر یک با محاسبه طول گام، یا زمان فروض گام، و یا هر دو، بخش گسته معادلات حرکت را پایدار می‌سازند.

مزیت این کنترل کننده‌ها نسبت به دسته قبلی در این است که به جای کنترل پیوسته حرکت در طول بازه‌های زمانی هر گام، پایداری کلی حرکت را با اعمال کنترل تنها در لحظات فروض گام تضمین می‌کنند و می‌توانند خطاهای بوجود آمده در بخش پیوسته معادلات حرکت را در صورت محدود بودن جبران کنند. همچنین فرض صفر بودن متغیر جابجایی مرکز فشار، ΔZ_e ، در این روش و یا به عبارت بهتر، عدم استفاده از این متغیر که پیش‌نیاز استفاده از آن داشتن کف پا است، این دسته از کنترل کننده‌ها را بدون هیچ تغییری برای کنترل پایداری راهرونده‌های دوپای کم عملگر^۱ قابل استفاده می‌کند. علاوه بر آن، همانطور که خواهیم دید، توانایی این دسته از کنترل کننده‌ها برای پایدارسازی بازه گسترده‌تری از شرایط اولیه‌ای دلخواه، بسیار بیشتر از دسته اول است و بنابراین می‌توان گفت پایدارسازهای با راهبرد تغییر گام، به طور کلی، مقاومت بیشتری از خود در مقابل تغییرات شرایط اولیه هر گام نشان می‌دهند. در مقابل، روش ارائه شده در دسته اول، به علت اعمال کنترل در بخش پیوسته معادلات و حاضر بودن در طول بازه زمانی هر گام، دارای مزیتی نسبی به روش‌هایی است که در دسته دوم قرار می‌گیرند، چراکه نسبت به اعشاشات خارجی از جمله ضربه که ممکن است در طول گام به راهرونده وارد شود، حساس‌تر است و سرعت همگرایی بیشتری دارد. به همین جهت، می‌توان گفت دسته اول در برابر اعشاشات خارجی محدود تا حدی مقاوم‌تر است. علت واضح این امر، در نظر گرفتن انحراف از مسیر سیکل حرکتی ناشی از ضربه و سعی در برطرف کردن اثر آن در طول بازه زمانی گام و نه در انتهای گام است.

۲-۱-۳ برنامه ریزی غیرخطی^۲ برای سوق دادن مسیر به سمت یک سیکل حرکتی دلخواه

اگر بخواهیم به محدودیت‌های راهرونده واقعی می‌پردازیم، ناگزیر از جستجو در فضای جواب‌های همگرا در در این محدوده خواهیم بود. در این روش که در فصل آتی به آن می‌پردازیم، سعی خواهیم کرد با توجه به دانش به دست آمده در بخش پایدارسازهای سیکل‌های حرکتی، با تعریف تابع شاخص پایداری و کمینه کردن آن با در نظر گرفتن قیود حرکتی، جوابی بهینه برای هدایت مسیر حرکت به سمت یک سیکل حرکتی دلخواه و کنترل پایداری حول آن سیکل بیاییم. روش برنامه‌ریزی خطی پایداری یا کنترل پایداری بهینه، مبتنی بر راهبرد دوم کنترل پایداری است که در آن استفاده از برداشتن گام‌هایی با طول و زمان فروض متغیر برای پایدارسازی حرکت مورد توجه است.

¹ Underactuated Bipeds

² Nonlinear Programming

۲-۳ پایدارسازهای سیکل حرکتی

بررسی پایداری سیکل های حرکتی در فصل قبل نشان داد که سیکل های حرکتی دارای پایداری مرزی هستند و در عمل با کوچکترین اختلالی در شرایط اولیه مولفه واگرای حرکت، ناپایدار خواهد شد. از آنجا که دیدیم شرایط اولیه مولفه همگرای حرکت، پس از برداشتن گام های متوالی با طول و زمان مربوط به یک سیکل همواره به سمت مقدار مطلوب خود همگرا می شود، در این بخش، چهار کنترل کننده پیشنهاد خواهد شد تا شرایط اولیه مولفه واگرا و در نهایت کل حرکت را پایدار کند. کنترل کننده اول بر اساس راهبرد تغییر مرکز فشار است و سه کنترل کننده بعدی بر اساس راهبرد تغییر طول و زمان گام می باشند. در هر قسمت، پایداری، محدوده ضرایب و محدوده پایداری را بررسی خواهیم کرد. در این فصل، با وجود اینکه برای بررسی همگرایی کنترل کننده هایی که بر روی معادله گستته گام به گام طراحی می شوند می توان از قضایای پایداری معادلات تفاضلی^۱ که در مبحث کنترل دیجیتال نیز مطرح می شوند، استفاده نمود، ترجیح می دهیم برای درک مستقیم و راحتی بیشتر از مبانی پایه ای ریاضی همانند همگرایی دنباله های عددی استفاده شده در این منابع برای اثبات پایداری استفاده کنیم [۳۳] و [۳۴].

۱-۲-۳ قضیه محدود ماندن شرایط اولیه مولفه همگرا پس از برداشتن گام های دلخواه پی دری

از آنجا که تمرکز اصلی کنترل کننده های پیشنهادی بر کنترل مولفه واگرا حرکت می باشد، برای اثبات پایداری کلی حرکت در صورت اعمال کنترل کننده های پیشنهادی، نیاز به بررسی محدود ماندن شرایط اولیه مولفه همگرا در حالت کلی با حضور اختلال و پیمودن گام های دلخواه خواهیم داشت تا از همگرایی دینامیک داخلی حرکت مطمئن شویم. در این قسمت به بررسی دو ویژگی شرایط اولیه مولفه همگرا، $p_{i,0}$ ، پس از برداشتن تعدادی گام دلخواه می پردازیم.

بعش همگرایی معادله حرکت گام به گام در صورت وجود اختلال می تواند به صورت رابطه (۱-۳) بیان شود:

$$p_{i+1,0} = p_{i,0} e^{\omega T_i} - L_i + \Delta p_i \quad (1-3)$$

که Δp_i در آن، اختلال ایجاد شده است که می تواند در اثر عوامل مختلفی مانند اغتشاش، نیروی خارجی و انحراف از معادله حرکت ساده باشد. متغیر $p_{i,0}^*$ توسط رابطه (۲-۳) تعریف می کنیم و آنرا مولفه همگرای شاخص برای گام i آم می نامیم.

$$p_{i,0}^* \triangleq \frac{-L_i + \Delta p_i}{1 - e^{-\omega T_i}} \quad (2-3)$$

^۱ Difference Equation

ویژگی اول $p_{i,0}$ ، تعقیب مسیر حرکت متغیر $\mathbf{p}_{i,0}^*$ است به این معنی که $p_{i,0}$ در گام بعدی، $p_{i+1,0}$ ، همواره به $\mathbf{p}_{i,0}^*$ نزدیک‌تر خواهد شد. حال اگر مقدار متغیر $\mathbf{p}_{i,0}^*$ ثابت شود و یا تغییرات آن بسیار محدود گردد، می‌توان نتیجه‌گیری کرد که $p_{i,0}$ به سمت $\mathbf{p}_{i,0}^*$ همگرا خواهد شد.

ویژگی دوم $p_{i,0}$ ، محدود ماندن آن در بازه مشخصی است که توسط رابطه (۳-۳) قابل بیان است.

$$\begin{cases} |L_i| < L_{max} \\ T_i > T_{min} \\ \Delta p_{min} < \Delta p_i < \Delta p_{max} \end{cases} \Rightarrow \min\left(\frac{-L_{max} + \Delta p_{min}}{1 - e^{-\omega T_{min}}}, p_{1,0}\right) \leq p_{i,0} \leq \max\left(\frac{L_{max} + \Delta p_{max}}{1 - e^{-\omega T_{min}}}, p_{1,0}\right) \quad (3-3)$$

در این رابطه با توجه به محدودیت عملی در حرکت، L_{max} ، کران بالای اندازه طول گام، T_{min} ، کران پایین زمان گام برداشتن و Δp_{max} و Δp_{min} ، به ترتیب حداقل و حداکثر اختلال وارد شده در کل گام‌های سپری شده می‌باشد.

برای اثبات این مدعای ابتدا با بازنویسی رابطه با توجه به تعریف $\mathbf{p}_{i,0}^*$ به رابطه (۴-۳) خواهیم رسید.

$$\begin{aligned} p_{i+1,0} &= p_{i,0} - k_i(p_{i,0} - \mathbf{p}_{i,0}^*) , \quad 0 < k_i = e^{-\omega T_i} < 1 \\ &\Rightarrow \begin{cases} (1) : p_{i+1,0} - p_{i,0} = -k_i(p_{i,0} - \mathbf{p}_{i,0}^*) \\ (2) : p_{i+1,0} - \mathbf{p}_{i,0}^* = \alpha_i(p_{i,0} - \mathbf{p}_{i,0}^*) , \quad 0 < \alpha_i = 1 - k_i < 1 \end{cases} \quad (4-3) \end{aligned}$$

این رابطه در واقع یک معادله تفاضلی ناهمگن^۱ و یانگر یک فیلتر دیجیتال^۲ درجه اول با ثابت زمانی متغیر است که در آن $p_{i,0}$ همواره سعی می‌کند $\mathbf{p}_{i,0}^*$ را تعقیب کند. این واقعیت از نتایج (1) و (2) حاصل از این معادله تفاضلی به صورت روابط (۵-۳) قابل بیان است که نشان می‌دهد $p_{i+1,0}$ همواره بین مقدار قبلی خود یعنی $p_{i,0}$ و متغیر $\mathbf{p}_{i,0}^*$ قرار می‌گیرد.

¹ Nonhomogeneous Difference Equation

² Digital Filter

$$\text{Variation from } p_{i,0} \text{ to } p_{i+1,0} : \begin{cases} p_{i,0} < \mathbf{p}_{i,0}^* : \begin{cases} \stackrel{(1)}{\Rightarrow} p_{i,0} < p_{i+1,0} \\ \stackrel{(2)}{\Rightarrow} p_{i+1,0} < \mathbf{p}_{i,0}^* \end{cases} \text{ or } p_{i,0} < p_{i+1,0} < \mathbf{p}_{i,0}^* \\ p_{i,0} > \mathbf{p}_{i,0}^* : \begin{cases} \stackrel{(1)}{\Rightarrow} p_{i,0} > p_{i+1,0} \\ \stackrel{(2)}{\Rightarrow} p_{i+1,0} > \mathbf{p}_{i,0}^* \end{cases} \text{ or } p_{i,0} > p_{i+1,0} > \mathbf{p}_{i,0}^* \end{cases} \quad (5-3)$$

این نتیجه بیانگر همان ویژگی اول است که شرایط اولیه مولفه همگرا همواره مقدار شاخص خود را تعقیب می‌کند، همچنین، در صورت ثابت شدن $\mathbf{p}_{i,0}^*$ ، $p_{i,0}$ با نرخ نزولی α_i به سمت آن همگرا می‌شود. ویژگی دوم یا رابطه (۳-۳) نیز، با تعمیم روابط نامساوی به دست آمده در رابطه (۵-۳) و همچنین در نظر گرفتن کران بالا و پایین $\mathbf{p}_{i,0}^*$ که توسط رابطه (۳-۶) قابل بیان است، نتیجه گیری می‌شود.

$$\frac{-L_{max} + \Delta p_{min}}{1 - e^{-\omega T_{min}}} < \mathbf{p}_{i,0}^* < \frac{L_{max} + \Delta p_{max}}{1 - e^{-\omega T_{min}}} \quad (6-3)$$

۲-۲-۳ پایدارسازی حرکت با تغییر پیوسته موقعیت مرکز فشار در طول بازه زمانی هرگام

اگر بخواهیم مرکز فشار را در طول بازه زمانی هرگام تغییر دهیم، متغیر جابجایی مرکز فشار، ΔZ_i ، باید غیر صفر درنظر گرفته شود و نیاز به استفاده از بخش پیوسته معادله حرکت مدل ساده شده راه رفتن، (۳-۲) یا (۳-۹) داریم.

$$\begin{cases} \dot{p}_i + \omega p_i = \omega \Delta Z_i \\ \dot{q}_i - \omega q_i = -\omega \Delta Z_i \end{cases} \quad (7-3)$$

اولین کنترل کننده پایداری از نوع پایدارساز سیکل حرکتی را به صورت رابطه (۸-۳) پیشنهاد می‌کیم.

$$\text{Stability Controller (1): } \begin{cases} L_i = L_c \\ T_i = T_c \\ \Delta z_i = k_i e_i, \quad e_i = (q_i - q_i^{des}), \quad q_i^{des} = q_c e^{\omega t_i} \end{cases} \quad (8-3)$$

این رابطه گام‌هایی پی‌درپی با طول و زمان گامی ثابت و برابر با طول و زمان گام سیکل حرکتی مطلوب را به اجرا می‌گذارد و همزمان متغیر جابجایی مرکز فشار را متناسب با فاصله جبری خطای مولفه واگرا از مسیر مطلوب خود تغییر می‌دهد. کنترل مرکز فشار در طول بازه زمانی هر گام منجر به معادله خطایی درجه اول برای مولفه واگرا به صورت رابطه (۹-۳) خواهد شد که جواب آن به صورت تابع نمایی (۱۰-۳) خواهد بود.

$$\begin{aligned} q_i^{des} = q_c e^{\omega t_i} \Rightarrow \dot{q}_i^{des} - \omega q_i^{des} = 0 \\ \text{Subtract } \dot{q}_i^{des} - \omega q_i^{des} = 0 \text{ from the equation} \\ \dot{q}_i - \omega q_i = -\omega k_i (q_i - q_i^{des}) \xrightarrow{\text{from the equation}} \dot{e}_i + \omega(k_i - 1)e_i = 0 \end{aligned} \quad (9-3)$$

$$e_{i,t_i} = e_{i,0} e^{-\omega(k_i-1)t_i} \quad (10-3)$$

در صورت بزرگتر از واحد بودن ضریب بهره کنترل کننده مرکز فشار، معادله خطای در هر گام به سمت صفر همگرا می‌شود ولی به دلیل متناهی بودن زمان هر گام، خطای تنها تا لحظه T_c کاهش پیدا می‌کند. با وجود این، پس از برداشتن گام در نهایت منجر به کاهش فاصله شرایط اولیه مولفه واگرا از مقدار مطلوب خود در گام بعدی مطابق با رابطه (11-3) خواهد شد.

$$\begin{aligned} k_i > 1 \Rightarrow (q_{i,T_c} - q_c e^{\omega T_c}) = \alpha_i (q_{i,0} - q_c), \quad 0 < \alpha_i = e^{-\omega(k_i-1)T_c} < 1 \\ \left\{ \begin{array}{l} (2-17) : q_{i+1,0} = q_{i,T_c} - L_c \\ (2-23) : L_c = q_c(e^{\omega T_c} - 1) \end{array} \right. \Rightarrow q_{i,T_c} - q_c e^{\omega T_c} = q_{i+1,0} - q_c \Rightarrow \frac{q_{i+1,0} - q_c}{q_{i,0} - q_c} = \alpha_i \end{aligned} \quad (11-3)$$

این رابطه شرط همگرایی کنترل کننده‌های پایداری است زیرا طبق رابطه (12-3)، این شرط در نهایت، همگرایی شرایط اولیه مولفه واگرا به سمت شرایط اولیه واگرای سیکل مطلوب را اثبات می‌کند.

$$\lim_{k \rightarrow \infty} |q_{k,0} - q_c| = \lim_{i \rightarrow \infty} |q_{1,0} - q_c| \prod_{i=1}^{k-1} \left| \frac{q_{i+1,0} - q_c}{q_{i,0} - q_c} \right| = |q_{1,0} - q_c| \lim_{i \rightarrow \infty} \prod_{i=1}^{k-1} \alpha_i = 0 \quad (12-3)$$

همچنین با استفاده از نامعادله متoste‌های حسابی-هندسی^۱ می‌توان کران بالایی برای نرخ همگرایی مجانبی این کنترل کننده به صورت رابطه (13-3) مشخص کرد.

$$\begin{aligned} AM - GM Inequality \quad \text{or} \quad Jensen's Inequality : 0 < \prod_{i=1}^n \alpha_i < \bar{\alpha}^n = \left(\frac{\sum_{i=1}^n \alpha_i}{n} \right)^n \Rightarrow \prod_{i=1}^n \alpha_i < e^{-n \ln(1/\bar{\alpha})} \end{aligned} \quad (13-3)$$

همگرایی کلی حرکت را می‌توان این گونه نتیجه‌گیری کرد که بخش همگرای معادله حرکت (7-3) در واقع معرف یک فیلتر آنالوگ درجه اول با خروجی $p_{i,0}$ بر روی ورودی ΔZ_i است و بنابراین $p_{i,0} \Delta Z_i$ همواره Δp_i را تعقیب می‌کند، به همین جهت $p_{i,0}$ در هر گام حداقل می‌تواند دارای اختلالی کران دار با کرانی برابر شود که بنابر ویژگی دوم شرایط اولیه مولفه همگرا، $p_{i,0}$ محدود می‌ماند. با توجه به پایداری مجانبی $\Delta p_i = \Delta Z_i$

¹ Inequality of Arithmetic and Geometric Means

$q_{i,0}$ و محدود ماندن $p_{i,0}$ ، دینامیک داخلی سیستم نیز پایدار است. بنابراین می‌توان رابطه (۱۴-۳) را نتیجه گرفت که پایداری کلی حرکت و همگرایی آن به سمت سیکل حرکتی مطلوب را اثبات می‌کند.

$$\begin{aligned} k_i > 1 \Rightarrow \lim_{i \rightarrow \infty} q_{i,0} = q_c \Rightarrow \lim_{i \rightarrow \infty} \Delta z_i = 0 \Rightarrow \lim_{i \rightarrow \infty} \Delta p_i = 0 \\ \Rightarrow \lim_{i \rightarrow \infty} p_{i,0}^* = \frac{-L_c}{1 - e^{-\omega T_c}} = p_c \Rightarrow \lim_{i \rightarrow \infty} p_{i,0} = p_c \end{aligned} \quad (14-3)$$

با توجه به محدودیت ناحیه تکیه‌گاهی، حداکثر انحراف مرکز فشار از مرکز تکیه‌گاه همواره دارای کران بالا و پایین (فاصله مرکز پا تا نوک پا و یا تا پاشنه پا) است که منجر به محدودیت در انتخاب ضریب کنترل کننده به صورت رابطه (۱۵-۳) خواهد شد. بدینهی است بزرگترین ضریبی که از یک بزرگتر است و در این محدوده قرارمی‌گیرد، منجر به کمینه کردن α_i می‌شود و بهترین انتخاب خواهد بود زیرا سرعت همگرایی را به حداکثر میزان ممکن خود می‌رساند. همچنین، درصورتی که این محدوده هیچ ضریب بزرگتر از یکی را در خود جا ندهد، کنترل کننده واگرا خواهد شد. در واقع پایداری حرکت توسط کنترل کننده مرکز فشار قابل تضمین است، اگر و تنها اگر، محدود شرایط اولیه مولفه واگرا تابع رابطه (۱۶-۳) باشد.

$$\begin{aligned} \Delta z_{min} < \Delta z_i = k_i(q_{i,0} - q_c) < \Delta z_{max} \\ \Leftrightarrow \text{Gain} : \begin{cases} -\frac{\Delta z_{min}}{q_{i,0} - q_c} < k_i < \frac{\Delta z_{max}}{q_{i,0} - q_c}, & q_{i,0} > q_c \\ -\frac{\Delta z_{max}}{q_c - q_{i,0}} < k_i < \frac{\Delta z_{min}}{q_c - q_{i,0}}, & q_{i,0} < q_c \end{cases} \quad (15-3) \end{aligned}$$

$$\begin{cases} k_i > 1 & \text{Initial} \\ \Delta z_{min} < k_i(q_{i,0} - q_c) < \Delta z_{max} & \text{Limits} \end{cases} \Leftrightarrow \text{Condition: } q_c - \Delta z_{min} < q_{i,0} < q_c + \Delta z_{max} \quad (16-3)$$

• نتایج شبیه‌سازی پایدارساز اول بر روی مدل ساده‌شده حرکت

شبیه‌سازی پایدارساز اول بر روی مدل ساده با شرایط اولیه‌ای نزدیک به حد بالایی شرایط اولیه مرزی، انجام شد. منظور از شرایط اولیه مرزی، شرایط اولیه‌ای است که در آن مولفه واگرا در نزدیکی حد بالایی یا پایینی رابطه (۱۶-۳) باشد. همچنین ضریب کنترلی $k_i = 5$ و محدوده متغیر جابجاگی مرکز فشار $\Delta z_{max} = 0.11 m$ و $\Delta z_{min} = -0.11 m$ درنظر گرفته شده است. شکل ۱-۳، صفحه فاز مسیر حرکت مولفه‌های همگرا و واگرا را برای این شبیه‌سازی نمایش می‌دهد. نمودارهای شکل ۲-۳، سرعت و شتاب مرکز جرم و متغیر کنترلی جابجاگی مرکز فشار را برای بخش پیوسته معادلات حرکت نمایش می‌دهند و بخش گسته معادلات حرکت در شکل ۳-۳، به صورت نمودارهای از متغیرهای کنترلی طول و زمان فروود هر گام، شرایط اولیه مولفه‌های همگرا و واگرا در

ابتدای هر گام و سرعت متوسط مرکز جرم در هر گام نمایش داده شده است. سرعت متوسط حرکت مرکز جرم در هر گام، $V_{i,avg}$ ، توسط رابطه (۱۷-۳) محاسبه شده است.

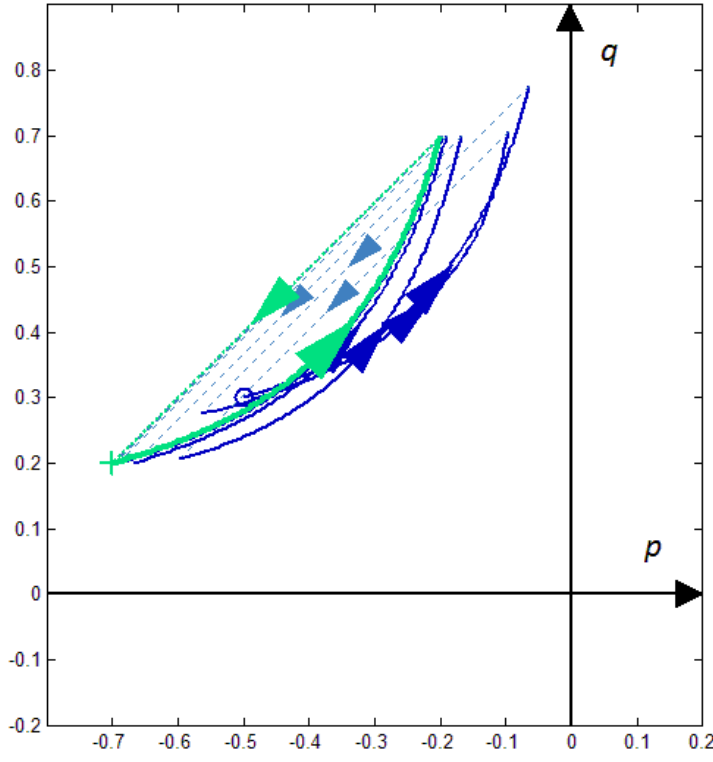
$$V_{i,avg} = \frac{x_{i,T_i} - x_{i,0}}{T_i} = \frac{\frac{p_{i,T_i} + q_{i,T_i}}{2} - \frac{p_{i,0} + q_{i,0}}{2}}{T_i} = \frac{p_{i,0}(e^{-\omega t} - 1) + q_{i,0}(e^{\omega t} - 1)}{2 T_i} \quad (17-3)$$

مقادیر پارامترهای مربوط به راهروند، سیکل حرکتی مطلوب و برخی شرایط اولیه حرکت، برای شبیه‌سازی این پایدارساز و پایدارسازهای بعدی بر روی مدل ساده‌شده راهروند به صورت جدول ۱-۳ است. مقادیر سیکل حرکتی مطلوب و پارامترهای راهروند را نزدیک به حرکت راهرفتن یک انسان با قد متوسط درنظر می‌گیریم. به عنوان مثال، ارتفاع مرکز جرم، ۱ متر و سرعت متوسط سیکل حرکتی، $1/25$ متر بر ثانیه برابر با $4/5$ کیلومتر بر ساعت فرض شده است که تقریباً برابر با سرعت متوسط راهرفتن انسان است. همچنین طول قدم در سیکل حرکتی، ۵۰ سانتی‌متر و حداکثر طول هر قدم، ۷۵ سانتی‌متر فرض شده است.

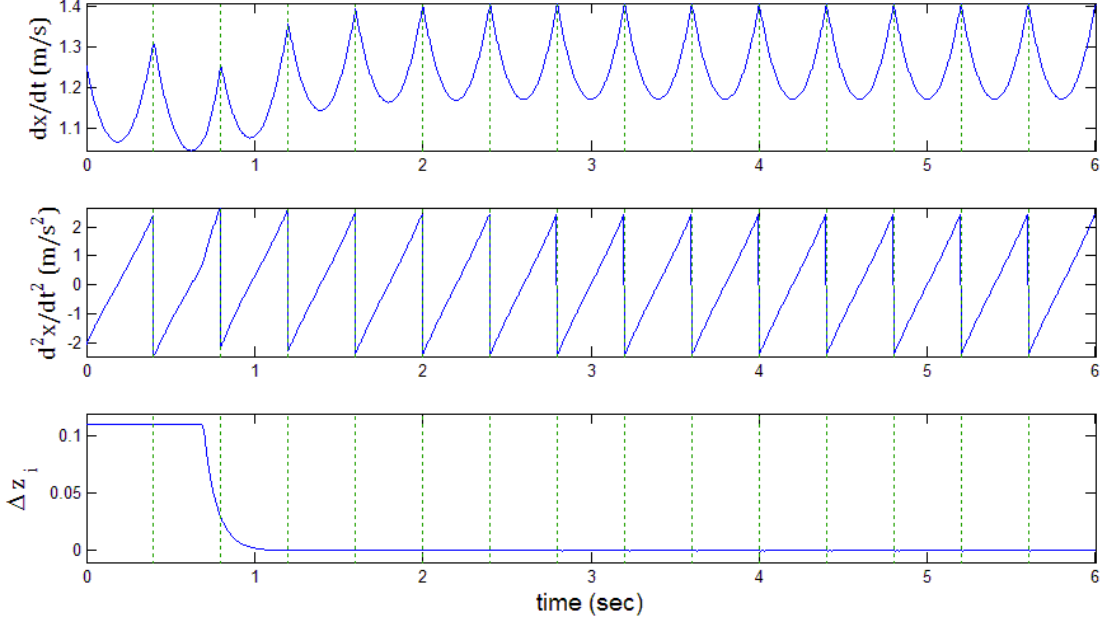
جدول ۱-۳. پارامترهای مربوط به شبیه‌سازی مدل ساده

پارامترهای راهروند	
$h = 1 \text{ m}$	ارتفاع متوسط مرکز جرم
$g = 9.8 \text{ m.s}^{-2}$	شتاب جاذبه زمین
$L_{max} = 0.75 \text{ m}$	حداکثر اندازه طول گام
$V_{max} = 3 \text{ m.s}^{-1}$	حداکثر سرعت متوسط قابل دسترس یا حداکثر سرعت نسبی متوسط پای متجر که به بالاترین
$T_0 = 0.05 \text{ s}$	جمع کل زمان لحظات جدا شدن و فرود آوردن پا
پارامترهای سیکل حرکتی مطلوب	
$p_c = -0.7 \text{ m}$	شرایط اولیه مولفه همگرا
$q_c = 0.2 \text{ m}$	شرایط اولیه مولفه همگرا
$L_c = 0.5 \text{ m}$	طول گام
$T_c = 0.4 \text{ s}$	زمان فرود گام
$V_c = 1.25 \text{ m.s}^{-1}$	سرعت متوسط حرکت
شرایط اولیه حرکتی	
$x_0 = x_{1,0} = -0.1 \text{ m}$	موقعیت مرکز جرم در ابتدای حرکت
$z_0 = -0.2 \text{ m}$	موقعیت پای متجر که در ابتدای حرکت
$z_1 = 0$	موقعیت پای تکیه گاهی در ابتدای حرکت

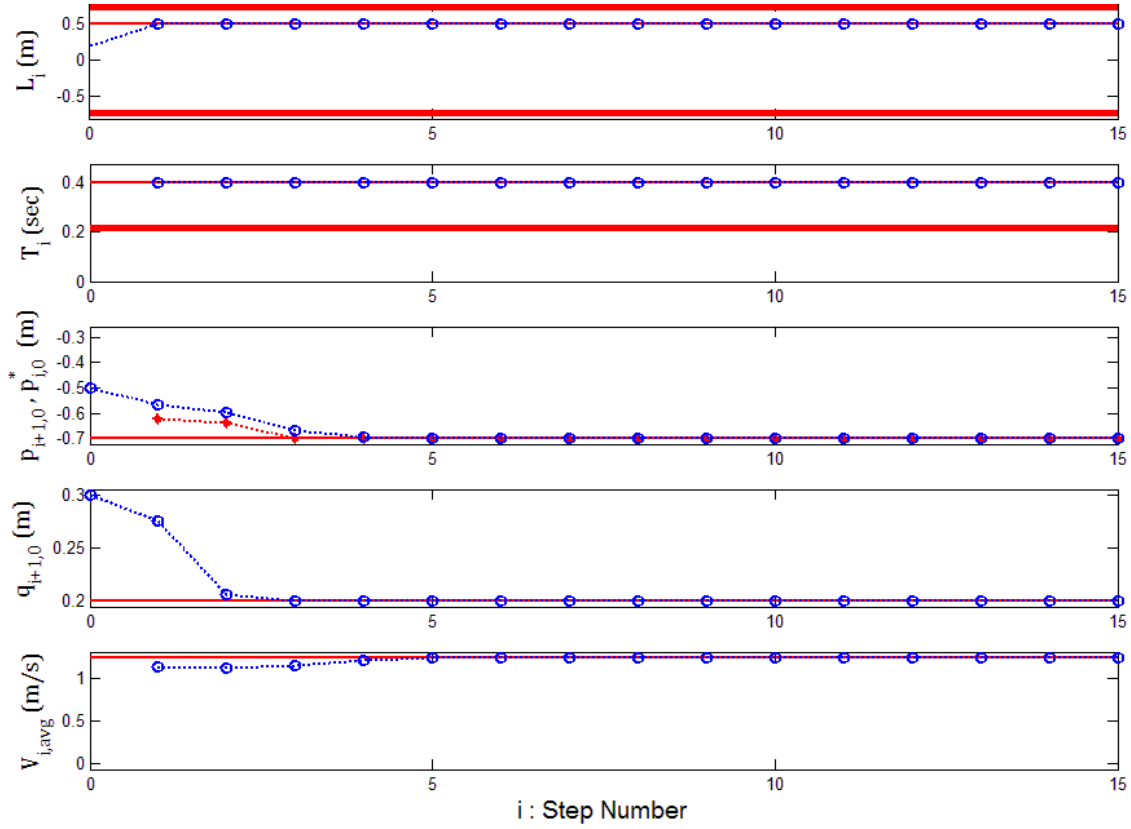
$$\begin{aligned}
 p_c &= -0.7, q_c = 0.2, T_c = 0.4, L_c = 0.5, V_c = 1.25 \\
 p_{1,0} &= -0.5, q_{1,0} = 0.3, x_0 = -0.1, dx/dt_0 = 1.253 \\
 z_0 &= -0.2, z_1 = 0, \Delta z_{min} = -0.11, \Delta z_{max} = 0.11
 \end{aligned}$$



شکل ۱-۳. صفحه فاز مسیر حرکت مولفه واگرای نسبت به مولفه همگرا برای شیوه‌سازی پایدارساز اول سیکل حرکتی بر روی مدل ساده راهروند با شرایط اولیه مرزی – منحنی ضخیم و کمنگک مسیر گام آخر را نمایش می‌دهد.



شکل ۲-۳. نمودارهای بخش پیوسته معادلات حرکت برای شیوه‌سازی پایدارساز اول سیکل حرکتی بر روی مدل ساده راهروند با شرایط اولیه مرزی



شکل ۳-۳. نمودارهای بخش گسسته معادلات حرکت برای شبیه‌سازی اول پایدارساز اول سیکل حرکتی بر روی مدل ساده راهروند با شرایط اولیه مرزی- خطوط با ضخامت متوسط و زیاد، به ترتیب مقدار مطلوب متغیر در سیکل حرکتی و محدودیت بالا و یا پایین آن را نمایش می‌دهند.

۳-۲-۳ پایدارسازی حرکت با تغییر پی درپی طول هر گام

پایدارساز دوم را به صورت رابطه (۱۸-۳) پیشنهاد می‌کنیم. این رابطه گام‌هایی پی درپی دارای زمان گام سیکل مطلوب ولی با طول گامی متفاوت را به اجرا می‌گذارد که اختلاف آن از طول گام سیکل مطلوب در هر گام، متناسب با خطای مولفه واگرای در لحظه شروع گام از مقدار مطلوب خود است.

$$\begin{aligned} Stability \\ Controller \quad (2): & \left\{ \begin{array}{l} T_i = T_c \\ L_i = L_c + k_i e_i = q_c(e^{\omega T_c} - 1) + k_i(q_{i,0} - q_c), \quad e_i = (q_{i,0} - q_c) \\ \Delta Z_i = 0 \end{array} \right. \end{aligned} \quad (18-3)$$

با جایگذاری این کنترل کننده در بخش واگرای معادله حرکت گام به گام، به رابطه (۱۹-۳) می‌رسیم که می‌توان آن را به صورت رابطه (۲۰-۳) بازنویسی کرد.

$$q_{i+1,0} = q_{i,0} e^{\omega T_i} - L_i = q_{i,0} e^{\omega T_c} - q_c(e^{\omega T_c} - 1) - k_i(q_{i,0} - q_c) \quad (19-3)$$

$$\frac{q_{i+1,0} - q_c}{q_{i,0} - q_c} = e^{\omega T_c} - k_i \quad (۲۰-۳)$$

با درنظر گرفتن ضریب کنترلی در بازه‌ای مشخص، شرط همگرایی شرایط اولیه مولفه همگرا به سمت مقدار مطلوب خود به صورت رابطه (۲۱-۳) تکرار می‌شود. اثبات همگرایی همانند کنترل کننده قبلی توسط رابطه (۱۲-۳) انجام می‌شود.

$$0 < e^{\omega T_c} - 1 < k_i < e^{\omega T_c} + 1 \Rightarrow \alpha_i = |e^{\omega T_c} - k_i| = \left| \frac{q_{i+1} - q_c}{q_{i,0} - q_c} \right| < 1 \quad (۲۱-۳)$$

همچنین اثبات پایداری کلی حرکت، با توجه به محدود ماندن $p_{i,0}$ ، به صورت روابط (۲۲-۳) خواهد بود.

$$\begin{aligned} 0 < e^{\omega T_c} - 1 < k_i < e^{\omega T_c} + 1 &\Rightarrow \lim_{i \rightarrow \infty} q_{i,0} = q_c \\ \lim_{i \rightarrow \infty} q_{i,0} = q_c \Rightarrow \lim_{i \rightarrow \infty} L_i &= \lim_{q_i \rightarrow q_c} L_c + k_i(q_{i,0} - q_c) = L_c \\ \Rightarrow \lim_{i \rightarrow \infty} p_{i,0}^* &= \frac{-L_c}{1 - e^{-\omega T_c}} = p_c \Rightarrow \lim_{i \rightarrow \infty} p_{i,0} = p_c \end{aligned} \quad (۲۲-۳)$$

در عمل، اندازه طول هر گام دارای کران بالاست که همان حداکثر فاصله ممکن بین دو پای تکیه‌گاهی است. این محدودیت منجر به محدودیت در انتخاب ضریب کنترل کننده به صورت رابطه (۲۳-۳) خواهد شد. برای هر گام، بدیهی است ضریبی که منجر به کمینه کردن α_i می‌شود و در این محدوده قرار می‌گیرد، بهترین انتخاب خواهد بود زیرا سرعت همگرایی را به حداکثر میزان ممکن خود می‌رساند. همچنین، در صورتی یافت نشدن ضریبی در این محدوده که α_i را کوچکتر از واحد کند، کنترل کننده واگرا خواهد شد. در واقع پایداری حرکت توسط این کنترل کننده تضمین خواهد شد، اگر و تنها اگر، محدود شرایط اولیه مولفه واگرا تابع رابطه (۲۴-۳) باشد.

$$\begin{aligned} |L_i| < L_{max} &\Leftrightarrow -L_{max} < L_c + k_i(q_{i,0} - q_c) < L_{max} \\ &\Leftrightarrow \begin{cases} \frac{L_{max} + L_c}{q_{i,0} - q_c} < k_i < \frac{L_{max} - L_c}{q_{i,0} - q_c}, & q_{i,0} > q_c \\ \frac{L_{max} - L_c}{q_c - q_{i,0}} < k_i < \frac{L_{max} + L_c}{q_c - q_{i,0}}, & q_{i,0} \leq q_c \end{cases} \quad (۲۳-۳) \\ &\Leftrightarrow \text{Gain Limits}: -\frac{L_{max}}{|q_{i,0} - q_c|} - \frac{L_c}{q_{i,0} - q_c} < k_i < \frac{L_{max}}{|q_{i,0} - q_c|} - \frac{L_c}{q_{i,0} - q_c} \end{aligned}$$

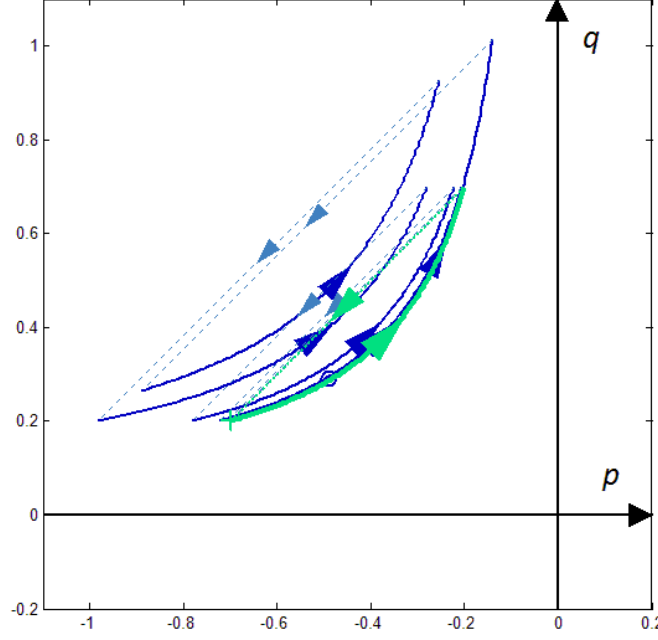
$$\begin{cases}
 0 < e^{\omega T_c} - 1 < k_i < e^{\omega T_c} + 1 \\
 -L_{max} < L_c + k_i(q_{i,0} - q_c) < L_{max}
 \end{cases} \Leftrightarrow q_c = L_c / (e^{\omega T_c} - 1) \downarrow \quad (24-3)$$

Initial Condition: $- \frac{L_{max}}{e^{\omega T_c} - 1} < q_{i,0} < \frac{L_{max}}{e^{\omega T_c} - 1}$
Limits

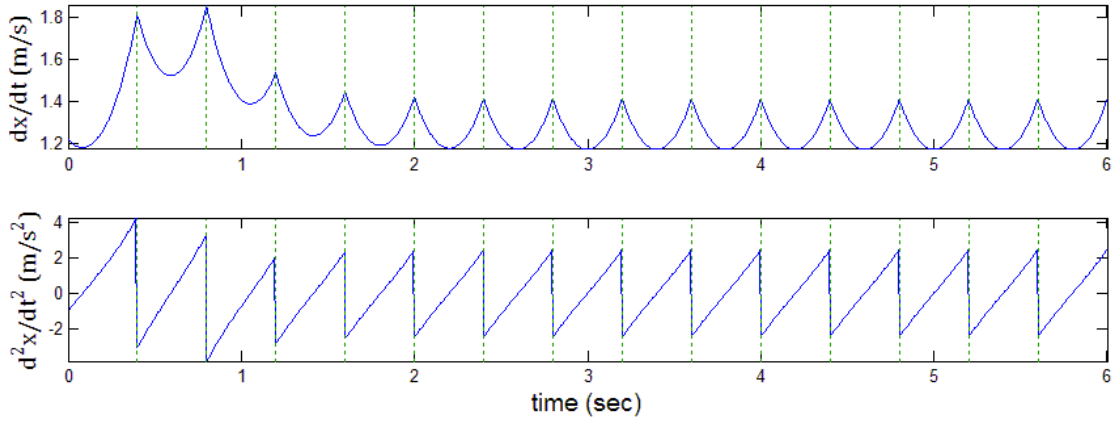
• نتایج شبیه‌سازی پایدارساز دوم بر روی مدل ساده شده حرکت

شبیه‌سازی پایدارساز دوم بر روی مدل ساده با شرایط اولیه‌ای نزدیک به حد بالای شرایط اولیه مرزی، انجام شد. منظور از شرایط اولیه مرزی، شرایط اولیه‌ای است که در آن مولفه واگرا در نزدیکی حد بالایی یا پایینی رابطه (۲۴-۳) باشد. همچنین، برای انتخاب ضریب کنترل کننده k_i در هر گام، بهترین گزینه ممکن برای بالاترین سرعت همگرانی ($\min \alpha_i$) و با توجه به محدوده مجاز این ضریب، رابطه (۲۳-۳)، انجام شده است. شکل ۴-۳، صفحه فاز مسیر حرکت مولفه‌های همگرا و واگرا را برای این شبیه‌سازی نمایش می‌دهد. نمودارهای شکل ۵-۳، سرعت و شتاب مرکز جرم و متغیر کنترلی جابجایی مرکز فشار را برای بخش پیوسته معادلات حرکت نمایش می‌دهند و بخش گسسته معادلات حرکت در شکل ۶-۳، به صورت نمودارهای از متغیرهای کنترلی طول و زمان فرود هر گام، شرایط اولیه مولفه‌های همگرا و واگرا در ابتدای گام و سرعت متوسط مرکز جرم در هر گام نمایش داده شده است.

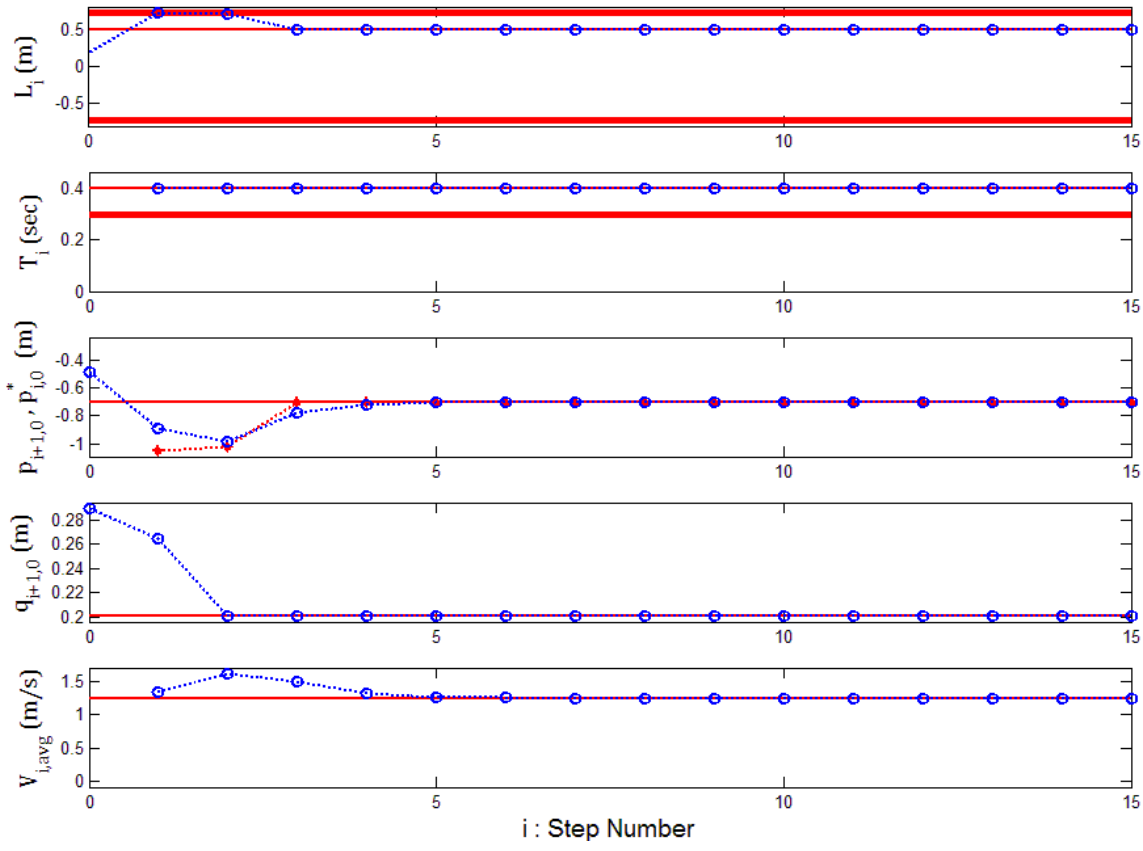
$$\begin{aligned}
 p_c &= -0.7, \quad q_c = 0.2, \quad T_c = 0.4, \quad L_c = 0.5, \quad V_c = 1.25 \\
 p_{1,0} &= -0.49, \quad q_{1,0} = 0.29, \quad x_0 = -0.1, \quad dx/dt_0 = 1.222 \\
 z_0 &= -0.2, \quad z_1 = 0
 \end{aligned}$$



شکل ۴-۳. صفحه فاز مسیر حرکت مولفه واگرا نسبت به مولفه همگرا برای شبیه‌سازی پایدارساز دوم سیکل حرکتی بر روی مدل ساده راه رونده با شرایط اولیه مرزی – منحنی ضخیم و کمرنگ مسیر گام آخر را نمایش می‌دهد.



شکل ۵-۳. نمودارهای بخش پیوسته معادلات حرکت برای شبیه‌سازی پایدارساز دوم سیکل حرکتی بر روی مدل ساده راهرونده با شرایط اولیه مرزی



شکل ۶-۳. نمودارهای بخش گستته معادلات حرکت برای شبیه‌سازی پایدارساز دوم سیکل حرکتی بر روی مدل ساده راهرونده با شرایط اولیه مرزی - خطوط با ضخامت متوسط و زیاد، به ترتیب مقدار مطلوب متغیر در سیکل حرکتی و محدودیت بالا و یا پایین آن را نمایش می‌دهند.

۴-۲-۳ پایدارسازی حرکت با تغییر پی در پی زمان فرود هر گام

پایدارساز سوم را به صورت رابطه (۲۵-۳) پیشنهاد می کنیم. این رابطه گام هایی پی در پی دارای طول گام سیکل مطلوب ولی با زمان گامی متفاوت را به اجرا می گذارد که اختلاف آن از زمان گام سیکل مطلوب در هر گام، تابعی از خطای مولفه واگرا در لحظه شروع گام از مقدار مطلوب خود است.

$$\text{Stability Controller}^{(3)}: \begin{cases} T_i = T_c + \frac{1}{\omega} \ln \left(1 - \frac{k_i e_i}{(q_c + e_i) e^{\omega T_c}} \right) \\ L_i = L_c \\ \Delta z_i = 0 \end{cases}, \quad e_i = (q_{i,0} - q_c) \quad (25-3)$$

با جایگذاری این کنترل کننده در بخش واگرای معادله حرکت گام به گام، به رابطه (۲۶-۳) می رسمیم که همان رابطه نهایی (۱۹-۳) را تولید خواهد کرد. به همین علت، اثبات همگرایی شرایط اولیه مولفه واگرا به سمت مقدار مطلوب خود، دقیقا مشابه با کنترل کننده قبلی قابل بیان است.

$$\begin{aligned} q_{i+1,0} &= q_{i,0} e^{\omega T_i} - L_i = q_{i,0} e^{\omega T_c + \ln \left(1 - \frac{k_i (q_{i,0} - q_c)}{q_{i,0} e^{\omega T_c}} \right)} - L_c \\ &= q_{i,0} e^{\omega T_c} - q_c (e^{\omega T_c} - 1) - k_i (q_{i,0} - q_c) \end{aligned} \quad (26-3)$$

در عمل، زمان هر گام به دلیل محدودیت سرعت گام برداشتن دارای کران پایین است که وابسته به طول گام است ($T_{min} = T_{min}(L_c) = \frac{L_c}{V_{max}} + T_0$). این محدودیت منجر به محدودیت در انتخاب ضریب کنترل کننده به صورت رابطه (۲۷-۳) خواهد شد. برای هر گام، بدینهی است ضریبی در این محدوده که منجر به کمینه کردن α_i می شود، بهترین انتخاب خواهد بود زیرا سرعت همگرایی را به حداقل میزان ممکن خود می رساند. همچنین، در صورتی که ضریبی در این محدوده یافت نشود که α_i را کوچکتر از واحد کند، کنترل کننده واگرا خواهد شد. در واقع پایداری حرکت توسط این کنترل کننده تضمین خواهد شد، اگر و تنها اگر، محدوده شرایط اولیه مولفه واگرا تابع رابطه (۲۸-۳) باشد.

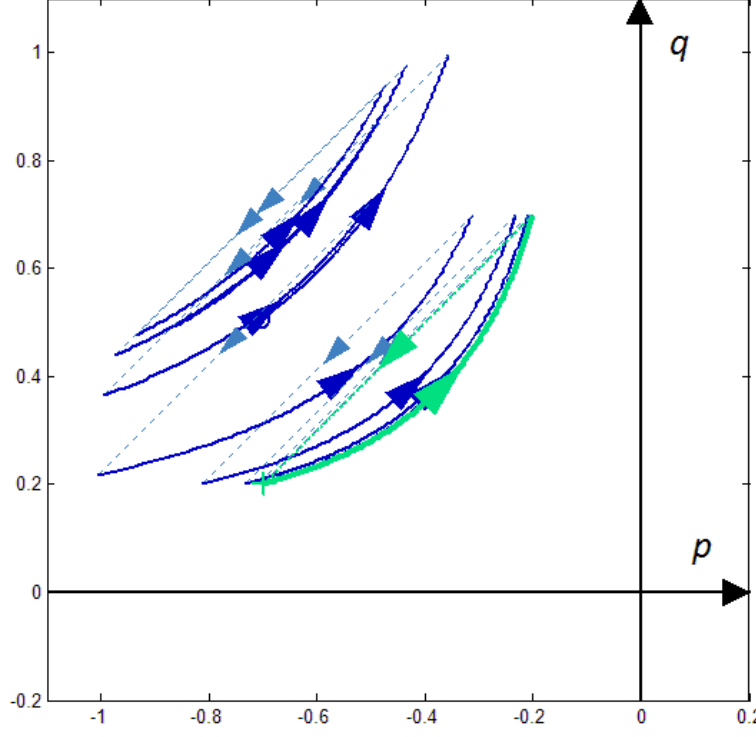
$$\begin{aligned} T_i > T_{min} &\Leftrightarrow 1 - \frac{k_i err_i}{(q_c + err_i) e^{\omega T_c}} > e^{\omega(T_{min} - T_c)} \Leftrightarrow k_i \frac{q_{i,0} - q_c}{q_{i,0}} < e^{\omega T_c} - e^{\omega T_{min}} \\ &\Leftrightarrow Gain \cdot Limits: \begin{cases} k_i < \frac{q_{i,0}}{|q_{i,0} - q_c|} (e^{\omega T_c} - e^{\omega T_{min}}), & \frac{q_c}{q_{i,0}} < 1 \\ k_i > -\frac{q_{i,0}}{|q_{i,0} - q_c|} (e^{\omega T_c} - e^{\omega T_{min}}), & \frac{q_c}{q_{i,0}} > 1 \end{cases} \end{aligned} \quad (27-3)$$

$$\begin{cases} 0 < e^{\omega T_c} - 1 < k_i < e^{\omega T_c} + 1 \\ k_i \frac{q_{i,0} - q_c}{q_{i,0}} < e^{\omega T_c} - e^{\omega T_{min}} \end{cases} \Leftrightarrow \begin{array}{l} \text{Initial} \\ \text{Limits} \end{array} : \begin{cases} 0 < q_{i,0} < \frac{L_c}{e^{\omega T_{min}} - 1}, \quad q_c > 0 \\ \frac{L_c}{e^{\omega T_{min}} - 1} < q_{i,0} < 0, \quad q_c < 0 \end{cases} \quad (28-3)$$

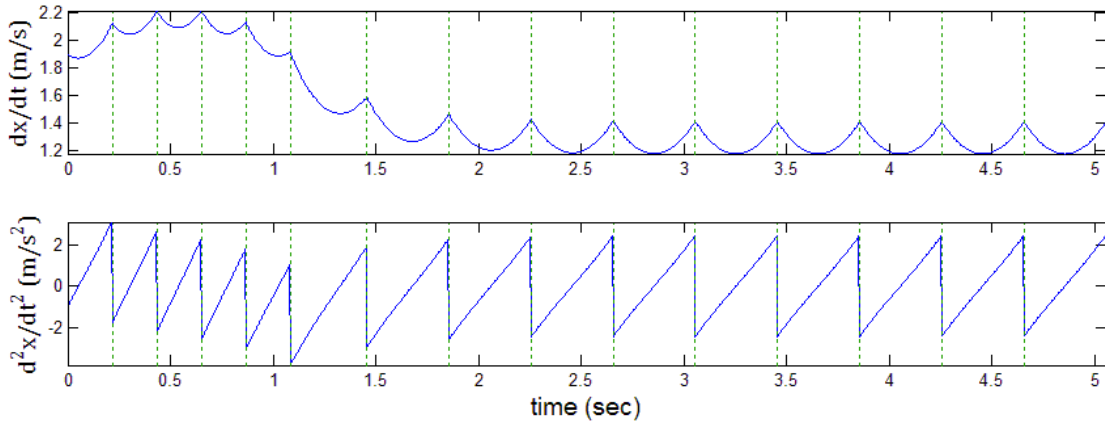
• نتایج شبیه‌سازی پایدارساز سوم بر روی مدل ساده شده حرکت

شبیه‌سازی پایدارساز سوم بر روی مدل ساده با شرایط اولیه‌ای نزدیک به حد بالای شرایط اولیه مرزی، انجام شد. منظور از شرایط اولیه مرزی، شرایط اولیه‌ای است که در آن مولفه واگرا در نزدیکی حد بالایی یا پایینی رابطه (۲۸-۳) باشد. همچنین، برای انتخاب ضریب کنترل کننده k_i در هر گام، بهترین گزینه ممکن برای بالاترین سرعت همگرایی ($\min \alpha_i$) و با توجه به محدوده مجاز این ضریب، رابطه (۲۷-۳)، انجام شده است. شکل ۷-۳، صفحه فاز مسیر حرکت مولفه‌های همگرا و واگرا را برای این شبیه‌سازی نمایش می‌دهد. نمودارهای شکل ۸-۳، سرعت و شتاب مرکز جرم و متغیر کنترلی جابجایی مرکز فشار را برای بخش پیوسته معادلات حرکت نمایش می‌دهند و بخش گسسته معادلات حرکت در شکل ۹-۳، به صورت نمودارهای از متغیرهای کنترلی طول و زمان فرود هر گام، شرایط اولیه مولفه‌های همگرا و واگرا در ابتدای هر گام و سرعت متوسط مرکز جرم هر گام نمایش داده است.

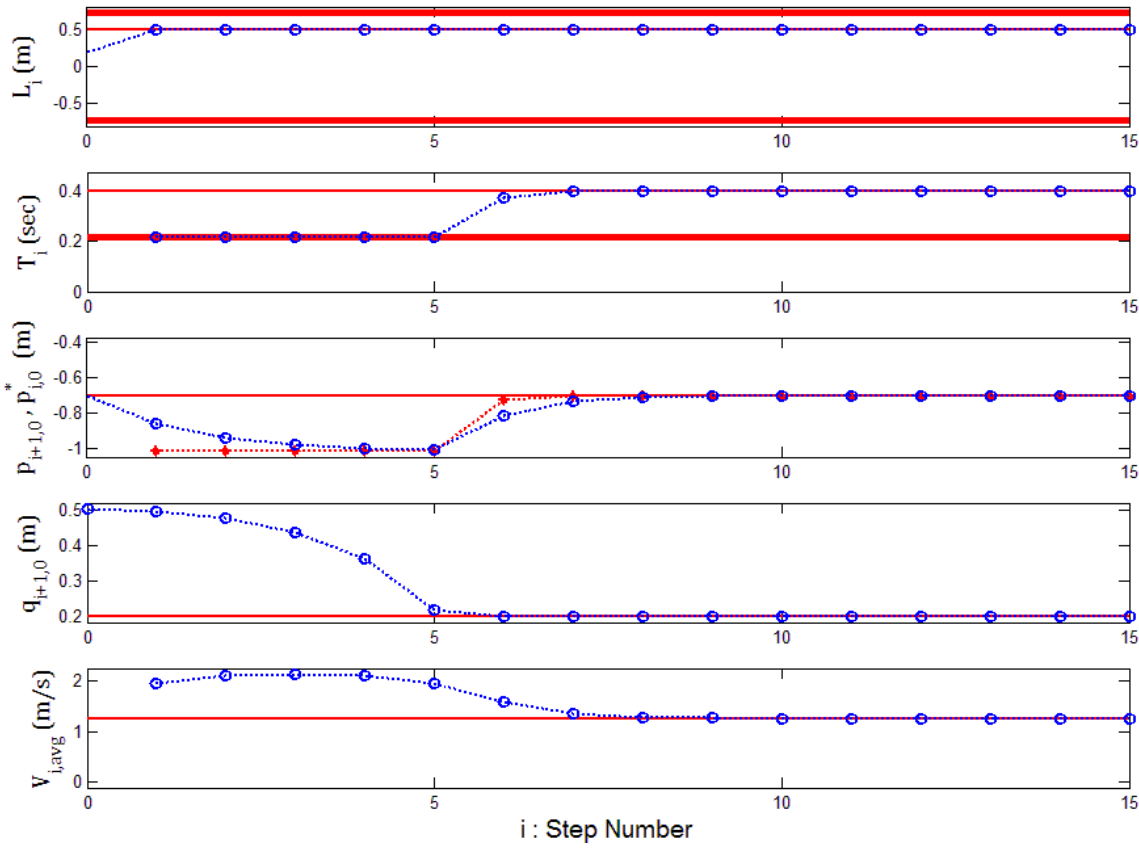
$$\begin{aligned} p_c &= -0.7, \quad q_c = 0.2, \quad T_c = 0.4, \quad L_c = 0.5, \quad V_c = 1.25 \\ p_{1,0} &= -0.705, \quad q_{1,0} = 0.505, \quad x_0 = -0.1, \quad dx/dt_0 = 1.895 \\ z_0 &= -0.2, \quad z_1 = 0 \end{aligned}$$



شکل ۷-۳. صفحه فاز مسیر حرکت مولفه واگرا نسبت به مولفه همگرا برای شبیه‌سازی پایدارساز سوم سیکل حرکتی بر روی مدل ساده را درونه با شرایط اولیه مرزی – منحنی ضخیم و کمنگ مسیر گام آخر را نمایش می‌دهد.



شکل ۸-۳ نمودارهای بخش پیوسته معادلات حرکت برای شیوه‌سازی پایدارساز سوم سیکل حرکتی بر روی مدل ساده راهروند با شرایط اولیه مرزی



شکل ۹-۳. نمودارهای بخش گستته معادلات حرکت برای شیوه‌سازی پایدارساز اول سیکل حرکتی بر روی مدل ساده راهروند با شرایط اولیه مرزی- خطوط با ضخامت متوسط و زیاد، به ترتیب مقدار مطلوب متغیر در سیکل حرکتی و محدودیت بالا و یا پایین آن را نمایش می‌دهند.

۳-۲-۵ پایدارسازی حرکت با تغییر پی در پی طول و زمان فرود هر گام

پایدارساز سوم را به صورت رابطه (۲۵-۳) پیشنهاد می کنیم. این رابطه گام هایی پی در پی دارای طول و زمانی متفاوت با مشخصات گام سیکل مطلوب را به اجرا می گذارد. اختلاف طول هر گام از طول گام سیکل مطلوب در هر گام، متناسب با خطای مولفه واگرا در لحظه شروع گام از مقدار مطلوب خود است و اختلاف زمان هر گام از زمان گام سیکل مطلوب در هر گام، تابعی از این خطای می باشد.

$$\begin{aligned} Stability \quad & \left\{ \begin{array}{l} T_i = T_c + \frac{1}{\omega} \ln \left(1 - \frac{k_{i,T} e_i}{(q_c + e_i) e^{\omega T_c}} \right) \\ L_i = L_c + k_{i,L} e_i = q_c (e^{\omega T_c} - 1) + k_{i,L} (q_{i,0} - q_c), e_i = (q_{i,0} - q_c) \\ \Delta z_i = 0 \end{array} \right. \quad (29-3) \\ Controller \end{aligned}$$

با جایگذاری این کنترل کننده در بخش واگرای معادله حرکت گام به گام، به رابطه نهایی (۳۰-۳) می رسیم. اثبات همگرایی شرایط اولیه مولفه واگرا به سمت مقدار مطلوب خود، مشابه با کنترل کننده های قبلی است با این تفاوت که $(k_{i,L} + k_{i,T})$ جایگزین k_i در روابط قبلی خواهد است.

$$\begin{aligned} \frac{q_{i+1,0} - q_c}{q_{i,0} - q_c} &= e^{\omega T_c} - (k_{i,L} + k_{i,T}) \quad (30-3) \\ 0 < e^{\omega T_c} - 1 < k_{i,L} + k_{i,T} < e^{\omega T_c} + 1 \Rightarrow \alpha_i &= |e^{\omega T_c} - k_{i,L} - k_{i,T}| = \left| \frac{q_{i+1} - q_c}{q_{i,0} - q_c} \right| < 1 \end{aligned}$$

در عمل، زمان هر گام به دلیل محدودیت سرعت گام برداشتن دارای کران پایین و اندازه طول هر گام دارای کران بالا است. با توجه به تاثیر طول گام در کران پایین زمان گام، این کران را برای ییشترين مقدار طول گام فرض می کنیم تا برای طول گام های کوچکتر نیز معتبر بماند $(T_{min} = T_{max}(L_{max}) = \frac{L_{max}}{V_{max}} + T_0)$. این محدودیت ها منجر به محدودیت در انتخاب ضرایب کنترل کننده به صورت رابطه (۳۱-۳) خواهد شد. برای هر گام، بدیهی است ضریب یا ضرایبی در این محدوده که منجر به کمینه کردن α_i می شود، بهترین انتخاب خواهد بود زیرا سرعت همگرایی را به حداقل میزان ممکن خود می رسانند. همچنین، در صورتی که ضریبی در این محدوده یافت نشود که α_i را کوچکتر از واحد کند، کنترل کننده واگرا خواهد شد، در واقع پایداری حرکت توسط این کنترل کننده تضمین خواهد شد، اگر و تنها اگر، محدوده شرایط اولیه مولفه واگرا تابع رابطه (۳۲-۳) باشد.

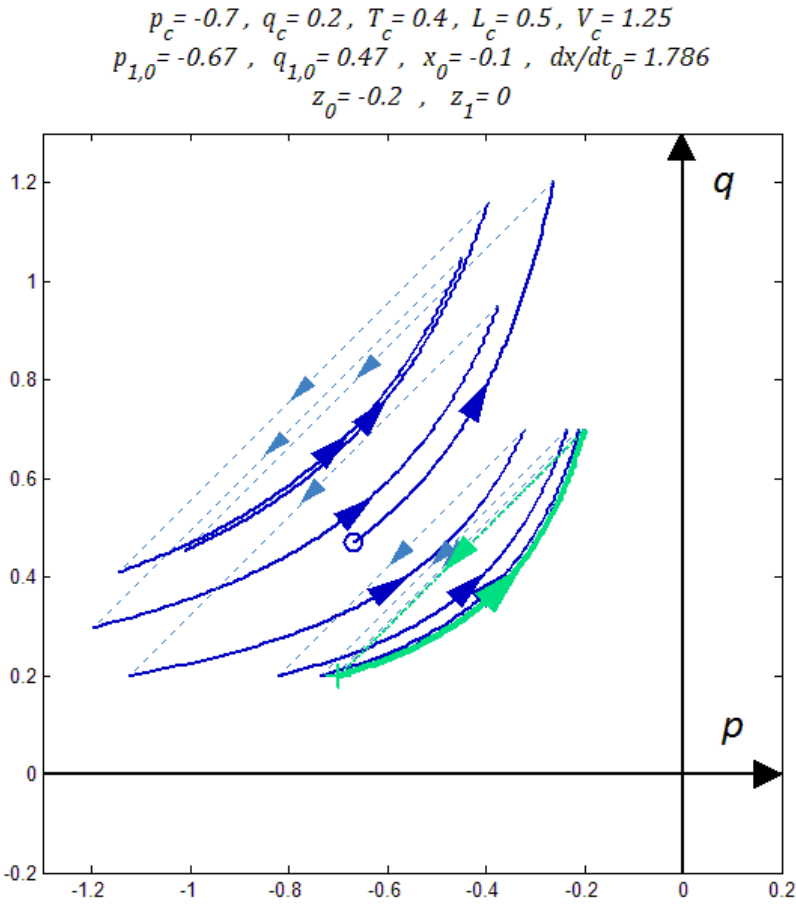
$$\begin{aligned}
 & Gains : \left\{ \begin{array}{l} (1) \quad 0 < e^{\omega T_c} - 1 < k_{i,L} + k_{i,T} < e^{\omega T_c} + 1 \\ (2) \quad -\frac{L_{max}}{|q_{i,0} - q_c|} - \frac{L_c}{q_{i,0} - q_c} < k_{i,L} < \frac{L_{max}}{|q_{i,0} - q_c|} - \frac{L_c}{q_{i,0} - q_c} \\ (3) \quad \begin{cases} k_{i,T} < \frac{|q_{i,0}|}{q_{i,0} - q_c} (e^{\omega T_c} - e^{\omega T_{min}}), & \frac{q_c}{q_{i,0}} < 1 \\ k_{i,T} > -\frac{|q_{i,0}|}{q_{i,0} - q_c} (e^{\omega T_c} - e^{\omega T_{min}}), & \frac{q_c}{q_{i,0}} > 1 \end{cases} \end{array} \right. \\
 & Limits : \left\{ \begin{array}{l} (1) \quad 0 < e^{\omega T_c} - 1 < k_{i,L} + k_{i,T} < e^{\omega T_c} + 1 \\ (2) \quad -L_{max} < L_c + k_{i,L}(q_{i,0} - q_c) < L_{max} \Leftrightarrow \begin{array}{c} Initial \\ Condition: \frac{-L_{max}}{e^{\omega T_{min}} - 1} < q_{i,0} < \frac{L_{max}}{e^{\omega T_{min}} - 1} \\ Limits \end{array} \\ (3) \quad k_{i,T} \frac{q_{i,0} - q_c}{q_{i,0}} < e^{\omega T_c} - e^{\omega T_{min}} \end{array} \right. \end{aligned} \tag{۳۱-۳}$$

$$\begin{aligned}
 & \left\{ \begin{array}{l} 0 < e^{\omega T_c} - 1 < k_{i,L} + k_{i,T} < e^{\omega T_c} + 1 \\ -L_{max} < L_c + k_{i,L}(q_{i,0} - q_c) < L_{max} \Leftrightarrow \begin{array}{c} Initial \\ Condition: \frac{-L_{max}}{e^{\omega T_{min}} - 1} < q_{i,0} < \frac{L_{max}}{e^{\omega T_{min}} - 1} \\ Limits \end{array} \\ k_{i,T} \frac{q_{i,0} - q_c}{q_{i,0}} < e^{\omega T_c} - e^{\omega T_{min}} \end{array} \right. \tag{۳۲-۳}
 \end{aligned}$$

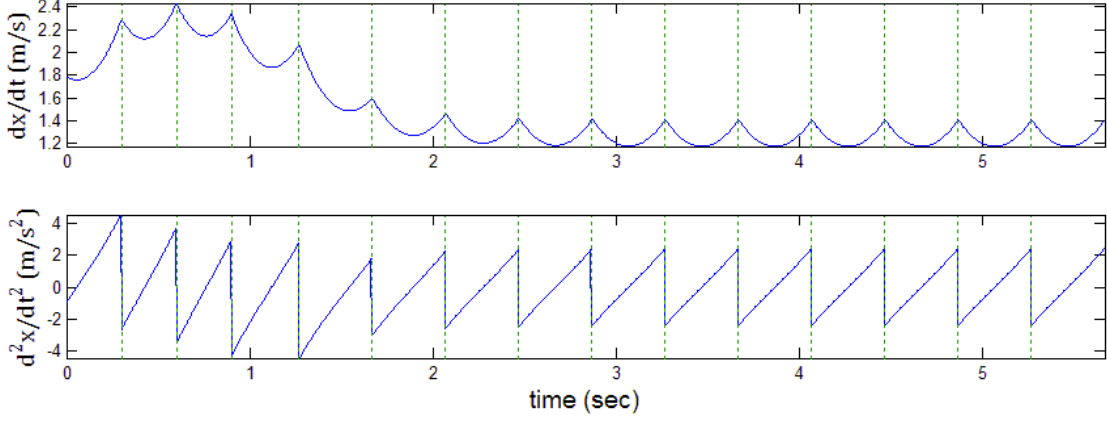
• نتایج شبیه‌سازی پایدارساز چهارم بر روی مدل ساده‌شده حرکت

شبیه‌سازی پایدارساز سوم بر روی مدل ساده با شرایط اولیه‌ای نزدیک به حد بالایی شرایط اولیه مرزی، انجام شد. منظور از شرایط اولیه مرزی، شرایط اولیه‌ای است که در آن مولفه واگرا در نزدیکی حد بالایی یا پایینی رابطه (۳۲-۳) باشد. همچنین، برای انتخاب ضرایب کنترل کننده $k_{i,L}$ و $k_{i,T}$ در هر گام، بهترین گزینه ممکن برای بالاترین سرعت همگرایی ($\min \alpha_i$) و با توجه به محدوده مجاز این ضرایب، رابطه (۳۱-۳)، انجام شده است.

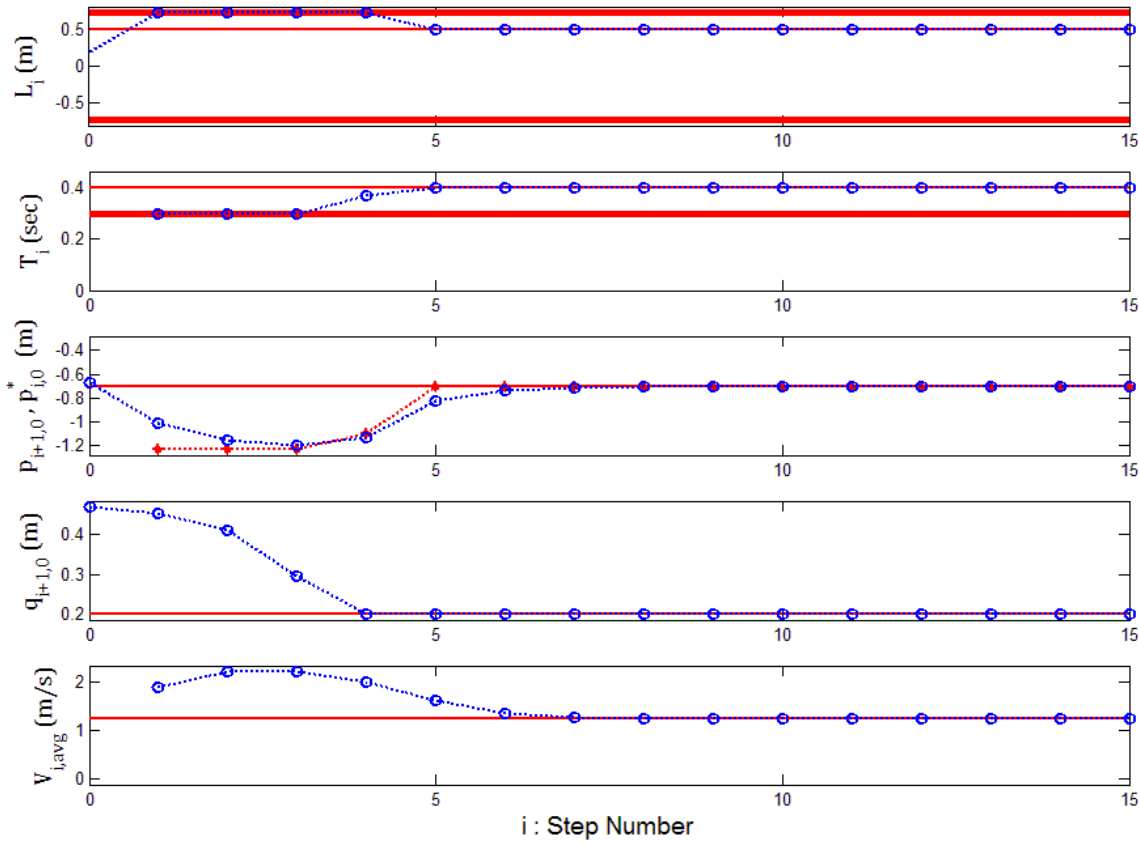
شکل ۱۰-۳، صفحه فاز مسیر حرکت مولفه‌های همگرا و واگرا را برای این شبیه‌سازی نمایش می‌دهد. نمودارهای شکل ۱۱-۳، سرعت و شتاب مرکز جرم و متغیر کنترلی جابجایی مرکز فشار را برای بخش پیوسته معادلات حرکت نمایش می‌دهند و بخش گسسته معادلات حرکت در شکل ۱۲-۳، به صورت نمودارهای از متغیرهای کنترلی طول و زمان فرود هر گام، شرایط اولیه مولفه‌های همگرا و واگرا در ابتدای هر گام و سرعت متوسط مرکز جرم در هر گام نمایش داده شده است.



شکل ۱۰-۳. صفحه فاز مسیر حرکت مولفه همگرا برای شیوه سازی پایدارساز چهارم سیکل حرکتی بر روی مدل ساده راهرونده با شرایط اولیه مرزی - منحنی ضخیم و کمنگک مسیر گام آخر را نمایش می دهد.



شکل ۱۱-۳. نمودارهای بخش پیوسته معادلات حرکت برای شیوه سازی پایدارساز چهارم سیکل حرکتی بر روی مدل ساده راهرونده با شرایط اولیه مرزی



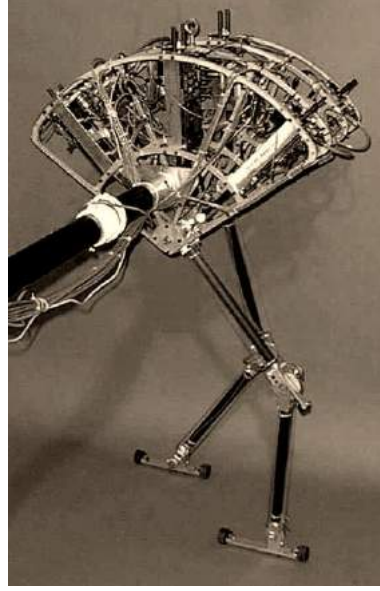
شکل ۱۲-۳. نمودارهای بخش گستته معادلات حرکت برای شبیه‌سازی پایدارساز چهارم سیکل حرکتی بر روی مدل ساده راهروند با شرایط اولیه مرزی- خطوط با ضخامت متوسط و زیاد، به ترتیب مقدار مطلوب متغیر در سیکل حرکتی و محدودیت بالا و یا پایین آن را نمایش می‌دهند.

۳-۳ شبیه‌سازی پایدارسازهای سیکل حرکتی بر روی مدل فیزیکی کامل یک راهروند

۱-۳-۳ مدل فیزیکی کامل یک راهروند با بالاتنه صلب و پاهایی با جرم قابل صرفنظر

مدل انتخاب شده برای شبیه‌سازی‌ها، یک مدل تک جرمی صلب در قسمت بدنی یا بالاتنه است که حرکت در هر سه درجه‌آزادی افقی، عمودی و دورانی را در صفحه نمایندگی می‌کند. انتخاب این مدل از چند جهت قابل توجه است. اول اینکه حرکت بالاتنه این مدل به علت تک جرمی بودن، دقیقاً کمیت‌های اندازه حرکت خطی در راستای افقی و عمودی و همچنین اندازه حرکت زاویه‌ای را به نمایش می‌گذارد و به همین جهت کمیت‌های سیستم به راحتی قابل مشاهده و ادراک است. همچنین با فرض قرار گرفتن مفصل ران بر روی مرکز جرم بالاتنه، نوشتن روابط قید مربوط به محدودیت‌های حرکتی در قسمت بعدی آسان خواهد بود. علاوه بر این، کنترل کننده‌ای که در

ادامه برای این مدل پیشنهاد خواهد شد، می‌تواند بر روی ربات‌هایی واقعی مانند ربات فلامینگو^۱ دانشگاه M.I.T [۳۵] و یا ربات‌های مشابهی که با پیش‌فرضهای این مدل همخوانی دارند، با استفاده از روش معکوس ژاکوبین پیاده‌سازی شود(شکل ۱۳-۳).



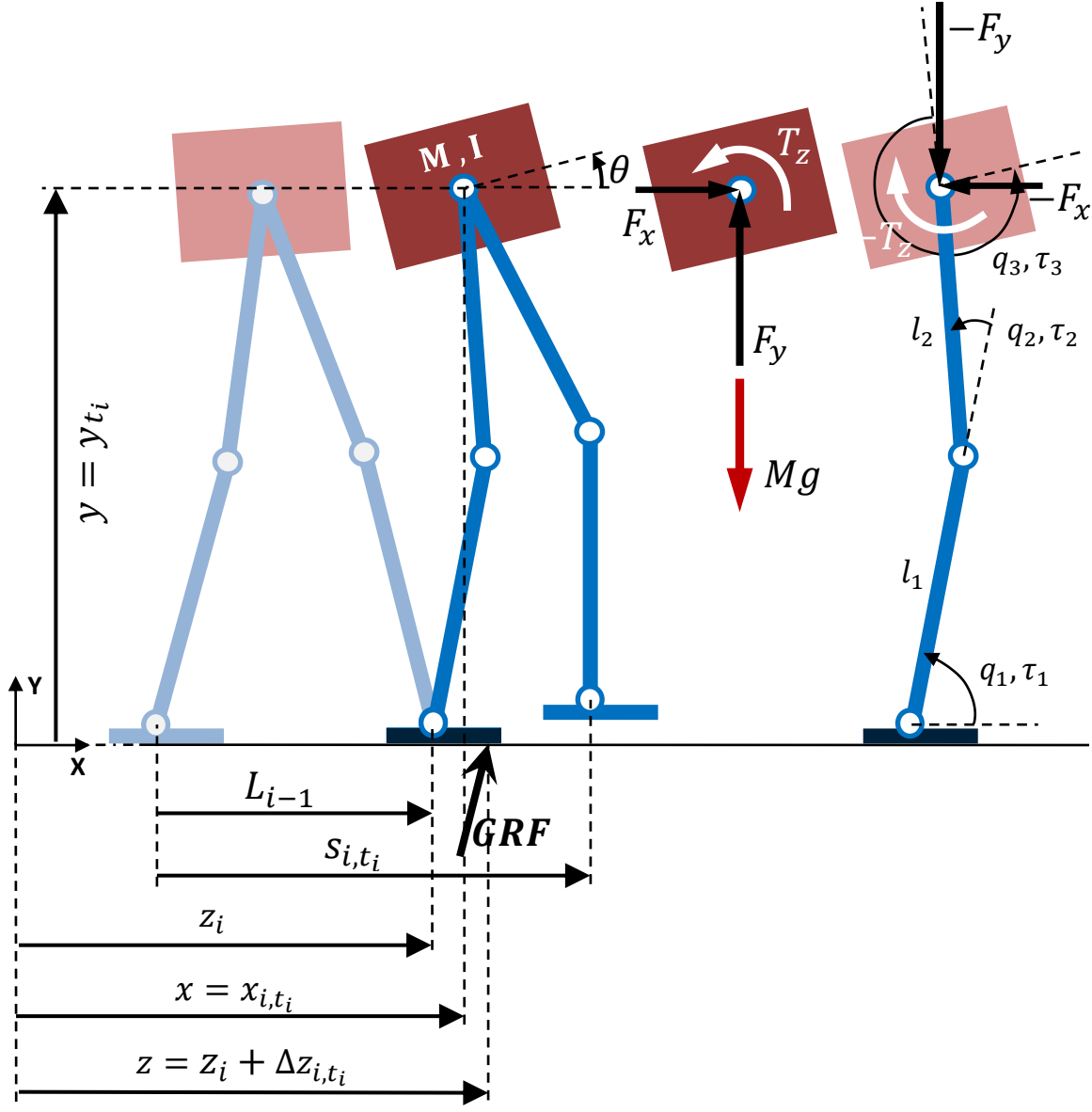
شکل ۱۳-۳. ربات فلامینگو دانشگاه M.I.T [۳۵]

معادلات حرکت این مدل فیزیکی که شمایی از حرکت و دیاگرام آزاد نیرویی آن در شکل ۱۴-۳ نمایش داده شده است، مطابق روابط (۳۳-۳) می‌باشد. بالانویس *control* در این روابط، مربوط به نیروها و گشتاور اعمالی از طرف کنترل کننده (به واسطه اعمال گشتاور داخلی بر عضوها که برآیند نیرویی آن برابر با نیروهای واکنشی وارد از کف زمین است) است و به مرکز جرم بالاتنه وارد می‌شود. همچنین بالانویس *disturbance*، مربوط به برآیند نیروها و گشتاور خارجی اختلالی وارد از سوی محیط اطراف (به استثنای نیروی وزن و نیروهای وارد از کف زمین) می‌باشد و می‌توانند ناشی از هر گونه اختلالی از جمله ضربه به بالاتنه و یا نیروها و گشتاورهای اغتشاشی باشند که نقطه اثر آن‌ها نیز، مرکز جرم بالاتنه فرض شده است.

پیش‌فرض این مدل فیزیکی، وجود تماس دائمی حداقل یک نقطه از بدن(پای) راهروند با زمین به نحوی است که علاوه بر نیروی عمودی، نیروی افقی مورد نیاز برای اعمال نیروهای کنترلی را بدون خارج شدن از مخروط اصطکاک(μ) $|F_x^{control}/F_y^{control}| \leq |GRF_X/GRF_Y|$ تامین می‌کند. ربات در لحظه شروع حرکت حائز این شرایط فرض می‌شود و بدیهی است در صورت اعمال نیروهایی که این شرایط را رعایت کنند، معادلات حرکت ارائه شده، مدل فیزیکی حاضر را به درستی نمایندگی می‌کنند. از آنجا که مسئله اصلی برای ما، کنترل پایداری حرکت در سطح اندازه حرکت است، این پیش‌فرضها خلی به کلیت مسئله وارد نمی‌کند.

^۱ Flamingo

$$\left\{ \begin{array}{l} \ddot{x} = \frac{\dot{L}_x}{M} = \frac{F_x}{M} = \frac{F_x^{control} + F_x^{disturbance}}{M} \\ \ddot{y} = \frac{\dot{L}_y}{M} = \frac{F_y - M g}{M} = \frac{F_y^{control} + F_y^{disturbance} - M g}{M} \\ \ddot{\theta} = \frac{\dot{H}_{GZ}}{I} = \frac{T_z}{I} = \frac{T_z^{control} + T_z^{disturbance}}{I} \end{array} \right. \quad (۳۳-۳)$$



شکل ۱۴-۳. شمایی از حرکت و دیاگرام آزاد نیرویی برای مدل فیزیکی راهرونده‌ای با بالاتنه صلب و پاهایی با جرم قابل صرف نظر

۲-۳-۳ کنترل اندازه حرکت خطی عمودی و زاویه‌ای و تامین اندازه حرکت خطی افقی حرکت طبیعی

تا به این قسمت، همواره فرض بر این بود که حرکت راهروند در راستای عمودی (اندازه حرکت خطی عمودی) و در راستای دورانی (اندازه حرکت زاویه‌ای) به دلیل عدم نیاز به تغییردادن این متغیرها در انجام وظیفه راه‌رفتن و همچنین با توجه به اطلاعات ضبط شده از حرکت راهروندۀ‌هایی همچون انسان، همواره محدود می‌ماند. اما برای محدود نگه داشتن این دو کمیت نیاز به کنترل کننده‌ای داریم که حرکت آنها را حول صفر و یا حول مسیری تناوی با دامنه محدود تنظیم کند. بخش‌های (1) و (2) کنترل کننده اندازه حرکت در رابطه (۳۴-۳) می‌توانند این وظیفه را به خوبی انجام دهند. با جایگذاری این دو بخش از کنترل کننده اندازه حرکت در دو بخش مربوطه معادلات حرکت مدل فیزیکی، به راحتی می‌توان دید کهتابع خطای هر یک، فیلتری درجه دوم بر روی اغتشاشات خارجی خواهد بود که در صورت محدود ماندن اغتشاشات خارجی، فاصله آن‌ها نزدیک به صفر محدود می‌ماند.

بخش (3) کنترل کننده، در واقع به دنبال کنترل کمیت مشخصی نیست و تنها تلاش دارد تا با توجه به موقعیت مطلوب مرکز فشار و با استفاده از معکوس معادله حرکت پایه، نیروی مورد نیاز برای انجام حرکت طبیعی مورد انتظار از راهروند در راستای افق را تامین کند. موقعیت مطلوب مرکز فشار، حاصل اجرای طول گام‌های قبلی در تغییر مرکز تکیه‌گاه، Z_i ، و احتمالاً محاسبات جاری مقدار مطلوب متغیر جابجایی مرکز فشار، ΔZ_i^{des} ، است که هر دو توسط کنترل کننده پایداری انجام می‌شود. در صورت به وجود آمدن خطای در حرکت افقی راهروند، این وظیفه کنترل کننده پایداری و نه کنترل کننده حاضر است که به وسیله تغییر مدام ΔZ_i^{des} به عنوان ورودی این قسمت و یا به وسیله محاسبه و اجرای گامی با طول و زمان فرود مناسب، T_i و L_i ، که منجر به Z_i جدید خواهد شد، به جبران این خطأ و همگرایی حرکت افقی به سمت سیکل حرکتی مطلوب پردازد.

$$(1) : F_y^{control} = M \left(g + \ddot{y}_{des} + k_{v1}(\dot{y}_{des} - \dot{y}) + k_{p1}(y_{des} - y) \right)$$

$$(2) : T_z^{control} = \dot{H}_{des} + k_{v2}(H_{des} - H) + k_{p2} \int_{\tau=0}^t (H_{des} - H) d\tau$$

$$= I (\ddot{\theta}_{des} + k_{v2}(\dot{\theta}_{des} - \dot{\theta}) + k_{p2}(\theta_{des} - \theta))$$

$$(3) : F_x^{control} = \frac{T_z^{control} + (x - z_{des}) F_y^{control}}{y}, \quad z_{des} = z_i + \Delta Z_i^{des}$$
(۳۴-۳)

۳-۳-۳ محاسبه گشتاور مفاصل برای راهروند واقعی با استفاده از روش معکوس ژاکوبین

از آنجا که پاهای بدون جرم یا با جرمی قابل صرف نظر در نظر گرفته شده است، گشتاور مورد نیاز برای حرکت پای متحرک ناچیز است و نیروها و گشتاوری که از کل پای متحرک به بالاته وارد می‌شود، یا کاملاً قابل صرف نظر خواهد بود و یا می‌تواند به عنوان نیرو و گشتاور خارجی به عنوان اختلال در مدل فیزیکی در نظر گرفته شود. ولی برای پای تکیه‌گاهی که وظیفه حمل بالاته در راستای افقی و کنترل حرکت آن در راستای عمودی و دورانی را دارد، می‌توان با استفاده از ترانهاده ژاکوبین، گشتاورهای مورد نیاز در مفاصل را محاسبه کرد.

اگر رابطه موقعیت و زاویه بالاتنه با زوایای سه مفصل پای متحرک را بنویسیم، ماتریس ژاکوبینی به صورت روابط (۳۵-۳) استخراج خواهد شد.

$$\begin{aligned} \begin{bmatrix} x \\ y \\ \theta \end{bmatrix} &= \begin{bmatrix} l_1 \cos(q_1) + l_2 \cos(q_1 + q_2) + z_i \\ l_1 \sin(q_1) + l_2 \sin(q_1 + q_2) \\ q_1 + q_2 + q_3 \end{bmatrix} \\ \Rightarrow \begin{bmatrix} \dot{x} \\ \dot{y} \\ \dot{\theta} \end{bmatrix} &= J \begin{bmatrix} \dot{q}_1 \\ \dot{q}_2 \\ \dot{q}_3 \end{bmatrix}, \quad J = \begin{bmatrix} -l_1 \sin(q_1) - l_2 \sin(q_1 + q_2) & -l_2 \sin(q_1 + q_2) & 0 \\ l_1 \cos(q_1) + l_2 \cos(q_1 + q_2) & l_2 \cos(q_1 + q_2) & 0 \\ 1 & 1 & 1 \end{bmatrix} \end{aligned} \quad (35-3)$$

بر اساس روابط کار مجازی، گشتاور مورد نیاز در مفاصل برای تامین نیروها و گشتاور کنترلی بر روی بالاتنه که باید در نقطه انتهایی مفصل بالایی (ران) اثر کنند، برابر با ضرب ماتریس ترانهاده ژاکوبین در بردار مشتمل از این نیروها و گشتاور با ترتیبی متناظر خواهد بود که با جایگذاری نیروها و گشتاور کنترلی رابطه (۳۴-۳) در آن، به روابط نهایی (۳۶-۳) خواهیم رسید. اگر به گشتاور مفصل اول (مچ پا) توجه کنیم، می‌بینیم که در صورت صفر بودن متغیر جابجایی مرکز فشار، ΔZ_i^{des} ، مقدار آن صفر خواهد بود که در آن صورت از داشتن کف پا بی‌نیاز خواهیم بود و می‌توان از این کنترل کننده برای دوپاهای کم عملگر نیز استفاده نمود. به غیر از روش اول در پایدارسازهای سیکل حرکتی در مابقی روش‌های پایدارساز سیکل حرکتی و نیز روش کنترل پایداری بهینه که در فصل بعدی بحث خواهد شد، این متغیر صفر فرض می‌شود و بنابراین همه روش‌های کنترل پایداری به غیر از روش اول، قابل کاربرد برای راهروندۀ‌های دارای تماس کف پای نقطه‌ای نیز می‌باشند. اگرچه این نتیجه (صفر بودن گشتاور مفصل مچ پا) با توجه به روابط ژاکوبینی که برای این مدل خاص نوشته شده است، به دست آمد، ولی در حالت کلی نیز می‌توان با نوشتن معادلات نیوتون برای عضو کف پا به نتیجه یکسانی رسید.

$$\begin{bmatrix} \tau_1^{control} \\ \tau_2^{control} \\ \tau_3^{control} \end{bmatrix} = J^T \begin{bmatrix} F_x^{control} \\ F_y^{control} \\ T_z^{control} \end{bmatrix} \quad (36-3)$$

$$\Rightarrow \begin{cases} \tau_1^{control} = \Delta z_i^{des} F_y^{control} \\ \tau_2^{control} = -l_2 \sin(q_1 + q_2) F_x^{control} + l_2 \cos(q_1 + q_2) F_y^{control} + T_z^{control} \\ \tau_3^{control} = T_z^{control} \end{cases}$$

۴-۳-۳ محدودیت‌های حرکتی ربات ناشی از پیکره بندی و محدودیت سرعت نسبی متوسط پای متحرک

به غیر از محدودیت حرکتی حداکثر طول گام، رابطه (۳۷-۳)، که ناشی از طول عضوهای ساق و ران پا است، طول این اعضا منجر به محدودیت‌های حرکتی دیگری نیز در هنگام فرود آوردن پا در یک نقطه می‌شوند که از آن جمله می‌توان از محدودیت فاصله افقی بالاتنه تا پای تکیه‌گاهی فعلی، $|D_{i,1}| < \frac{L_{max}}{2}$ ، و همچنین فاصله افقی بالاتنه تا پای تکیه‌گاهی بعدی، $|D_{i,2}| < \frac{L_{max}}{2}$ ، نام برد. این محدودیت‌ها همان‌طور که در شکل ۱۵-۳ نمایش داده شده‌اند، برای مدل فیزیکی این مسئله به صورت روابط (۳۸-۳) و (۳۹-۳) قابل بیان هستند.

$$L_{max} = 2\sqrt{(l_1 + l_2)^2 - h^2} \quad (37-3)$$

$$\begin{aligned} |D_{i,1}| &< \frac{L_{max}}{2}, \quad D_{i,1} = x_{i,T_i} - z_i = \frac{p_{i,T_i} + q_{i,T_i}}{2} \\ \text{or } D_{i,1} &= x_{i+1,0} - z_i = (x_{i+1,0} - z_{i+1}) + (z_{i+1} - z_i) = \frac{p_{i+1,0} + q_{i+1,0}}{2} + L \end{aligned} \quad (38-3)$$

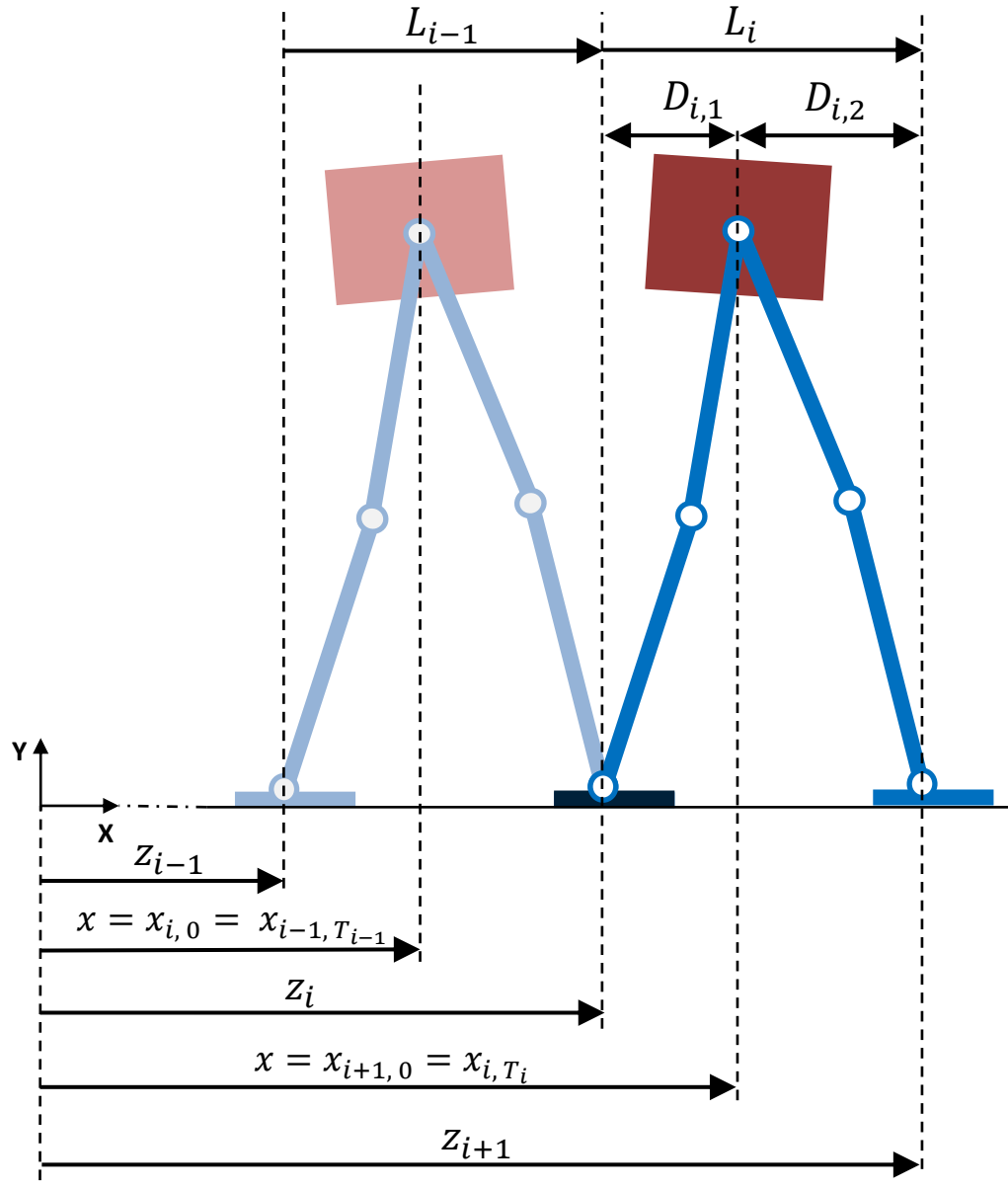
$$\begin{aligned} |D_{i,2}| &< \frac{L_{max}}{2}, \quad D_{i,2} = z_{i+1} - x_{i,T_i} = (z_{i+1} - z_i) - (x_{i,T_i} - z_i) = L - \frac{p_{i,T_i} + q_{i,T_i}}{2} \\ \text{or } D_{i,2} &= z_{i+1} - x_{i+1,0} = -(x_{i+1,0} - z_{i+1}) = -\frac{p_{i+1,0} + q_{i+1,0}}{2} \end{aligned} \quad (39-3)$$

محدودیت دیگر مسئله ما، محدودیت حداکثر سرعت نسبی پای متحرک نسبت به بالاتنه است که تاکنون از آن به عنوان کران پایین زمان نام می‌بردیم، رابطه این قید به صورت رابطه (۴۰-۳) برای مدل فیزیکی مسئله ما خواهد بود.

$$\begin{aligned} |\bar{V}_{i,swing}| &< V_{max}, \\ \bar{V}_{i,swing} &= \frac{(s_{i,T_i} - s_{i,0}) - (x_{i,T_i} - x_{i,0})}{T - T_0} = \frac{(L_{i-1} + L_i) - \left(\frac{p_{i,T_i} + q_{i,T_i}}{2} - \frac{p_{i,0} + q_{i,0}}{2}\right)}{T - T_0} \end{aligned} \quad (40-3)$$

در ابتدای حرکت گام جدید(فعلی)، یک تخمین ساده برای محاسبه این کمیت‌های مقید بر اساس مدل ساده-شده راهرونده برای گامی با طول و زمان فرود مشخص، L_i و T_i ، به صورت روابط (۴۱-۳) خواهد بود.

$$\begin{aligned} D_{i,1} &= \frac{p_{i,0}e^{-\omega T_i} + q_{i,0}e^{\omega T_i}}{2} \\ D_2 &= L_i - \frac{p_{i,0}e^{-\omega T_i} + q_{i,0}e^{\omega T_i}}{2} \\ \bar{V}_{swing} &= \frac{L_{i-1} + L_i - \frac{(p_{i,0}e^{-\omega T_i} + q_{i,0}e^{\omega T_i}) - (p_{i,0} + q_{i,0})}{2}}{T_i - T_0} \end{aligned} \quad (41-3)$$



شکل ۱۵-۳. شماتیک مدل فیزیکی راهرونده با بالاتنه صلب و پاهایی با جرم قابل صرف نظر در ابتدا و انتهای یک گام

۳-۵ برسی نارسایی‌های پایدارسازهای سیکل‌های حرکتی با شبیه‌سازی بر روی مدل فیزیکی کامل

برای شبیه‌سازی کنترل کننده پیشنهادی در دو سطح کنترل پایداری و کنترل اندازه حرکت بر روی مدل کامل، ابتدا یک شرایط معیار برای مسئله به نام شرایط مسئله محک^۱ درنظرمی‌گیریم و سپس توانایی و نارسایی هر یک از کنترل کننده‌های پایداری را بر روی مدل فیزیکی کامل را درونه با درنظرگرفتن شرایط مسئله محک، بررسی می‌کنیم.

همچنین دو پایدارساز دوم و چهارم سیکل حرکتی از میان پایدارسازهای پیشنهادی سیکل حرکتی، با توجه به محدوده شرایط اولیه قابل کنترل‌شان، توانایی هدایت حرکت از یک شرایط اولیه دور از سیکل به سمت سیکل را دارند و می‌توانند را درونه را از یک شرایط اولیه مربوط به حرکتی پس‌رونده به سمت یک سیکل حرکتی پیش‌رونده حرکت دهند که از آن با عنوان توانایی هدایت یا سوق دادن حرکت از هر شرایط اولیه دلخواه به سمت سیکل حرکتی مطلوب یاد می‌کیم (اگرچه این دو کنترل کننده الزامی به رعایت کامل قیود مسئله از جمله قیود موجود بر روی $D_{i,1}$ و $D_{i,2}$). به همین جهت و همچنین برای مقایسه آنها با روش کنترل پایداری بهینه که در فصل بعدی مطرح خواهد شد، علاوه بر مسئله محک، در ادامه همین قسمت به شبیه‌سازی و بررسی عملکرد این دو پایدارساز برای هدایت حرکت از یک شرایط اولیه پس‌رونده به سمت یک سیکل حرکتی پیش‌رونده خواهیم پرداخت.

همان‌طور که خواهیم دید، اگرچه برخی از پایدارسازهای سیکل‌های حرکتی می‌توانند شرایط اولیه دور از سیکل را نیز به سمت سیکل همگرا کنند ولی با توجه به درنظر نگرفتن رابطه قیود در این کنترل کننده‌ها، الزامی در رعایت قیود ندارند. اگرچه می‌توان اصلاحی بر روی این کنترل کننده‌ها انجام داد تا همه قیود را رعایت کنند ولی ترجیح می‌دهیم در فصل بعدی با توجه به درکی که از شاخص پایداری پیدا کرده‌ایم، نوعی کنترل پایداری بر پایه بهینه‌سازی غیرخطی طراحی کنیم که همزمان شاخص پایداری را بهینه و قیود را رعایت خواهد کرد.

• شرایط مسئله محک

در این مسئله، مقادیر سیکل حرکتی مطلوب و پارامترهای را در نزدیک به حرکت راه‌رفتن یک انسان با قد متوسط درنظر می‌گیریم. به عنوان مثال، ارتفاع مرکز جرم، ۱ متر و سرعت متوسط سیکل حرکتی، $1/25$ متر بر ثانیه برابر با $4/5$ کیلومتر بر ساعت فرض شده است که تقریباً برابر با سرعت متوسط راه‌رفتن انسان است. همچنین طول قدم در سیکل حرکتی، 50 سانتی‌متر و حداکثر طول هر قدم، 75 سانتی‌متر فرض شده است.

شبیه‌سازی در نزدیکی حد بالایی شرایط اولیه مرزی مربوط هر کنترل کننده شروع می‌شود (با توجه به روابط مربوط به محدوده شرایط اولیه قابل کنترل هر پایدارساز) و تا 20 گام پیش خواهد رفت که در میانه 20 گام، ضربه‌ای با نسبتی مشخص از یک ضربه معیار در هر سه بخش اندازه حرکت به بالاتنه راه‌رونده وارد می‌شود. جهت ضربه معیار برای ایجاد حداکثر ناپایداری ممکن، در راستای اندازه حرکت خطی، رو به جلو و پایین با زاویه 45 زیر افق

^۱ Benchmark

(در راستای افقی رو به جلو، در جهت عمودی رو به زمین) و در راستای اندازه حرکت زاویه‌ای، ساعتگرد می‌باشد. برای هر روش کنترلی، حداکثر ضربه‌ای که قابل تحمل است، وارد می‌شود و نسبت آن به صورت درصدی از ضربه معیار ضبط می‌گردد. اگرچه برای رسیدن به حداکثر ضربه قابل تحمل، شبیه‌سازی‌های زیادی انجام شد، تنها نتایج نهایی برای حداکثر ضربه قابل تحمل معیار قضاوت ما خواهد بود.

پارامترهای راهروند، سیکل حرکتی مطلوب، وضعیت قرارگیری پاها و بالاتنه در لحظه شروع و پارامترهای محیط از جمله اندازه ضربه معیار برای این مسئله محک می‌باشد. جدول ۲-۳ این مسئله محک به صورت جدول ۲-۳ است.

جدول ۲-۳. پارامترهای مربوط به شبیه‌سازی مدل فیزیکی کامل و مسئله محک

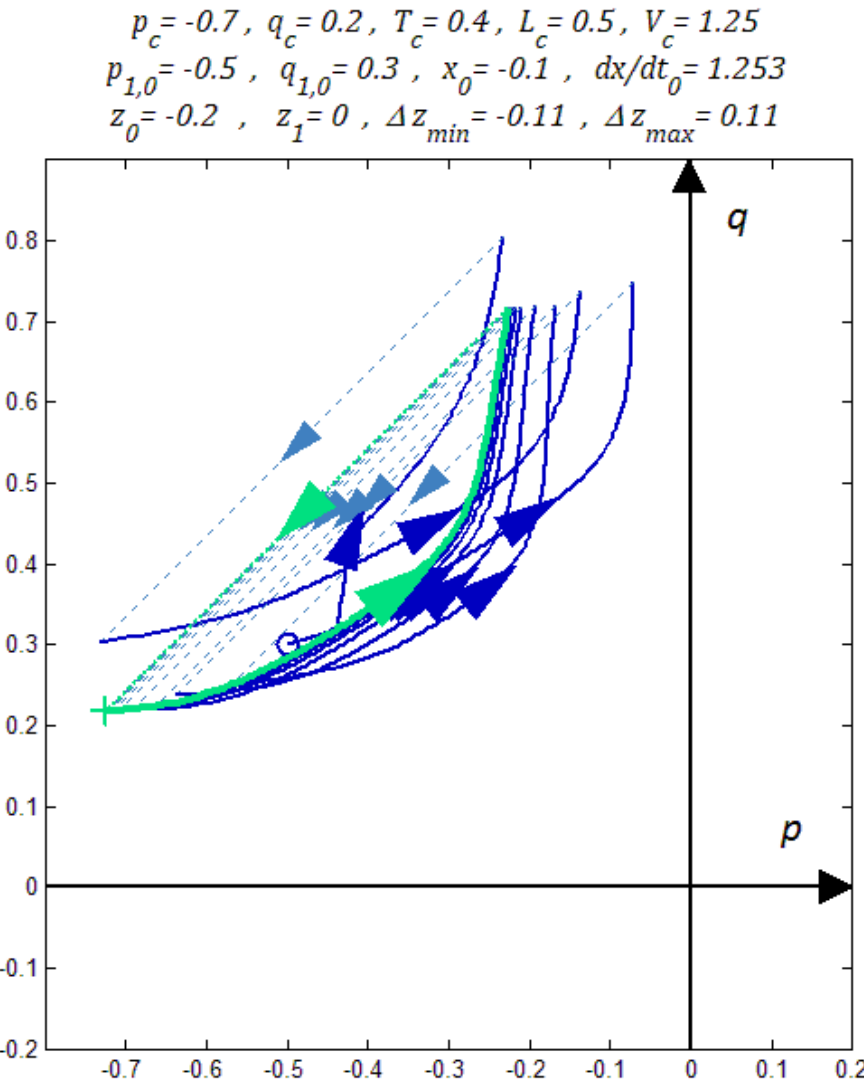
پارامترهای راهروند	
$h = 1 \text{ m}$	ارتفاع متوسط مرکز جرم
$g = 9.8 \text{ m.s}^{-2}$	شتاب جاذبه زمین
$L_{max} = 0.75 \text{ m}$	حداکثر اندازه طول گام
$V_{max} = 3 \text{ m.s}^{-1}$	حداکثر سرعت متوسط قابل دسترس
$T_0 = 0.05 \text{ s}$	جمع کل زمان لحظات جدا شدن و فرود آوردن پا
$M = 50 \text{ kg}$	جرم بالاتنه (جرم کل)
$I = 4 \text{ kg.m}^2$	ممان اینرسی بالاتنه
$y_{des} = h + A_y \sin(2\pi t_i/T_c + \varphi_y)$ $A_y = 0.025 \text{ m}, \varphi_y = -\pi/2$	مسیر مطلوب حرکت در راستای عمودی
$H_{des} = I\dot{\theta}_{des} = A_H \sin(2\pi t_i/T_c + \varphi_H)$ $A_H = 0.05MV_cH \text{ N.m.s}, \varphi_H = 0$	مسیر مطلوب حرکت در راستای دورانی
پارامترهای ضربه معیار	
$\Delta L_x = 10 \text{ N.s}$	ضربه در راستای اندازه حرکت افقی
$\Delta L_y = -10 \text{ N.s}$	ضربه در راستای اندازه حرکت عمودی
$\Delta H_z = -10 \text{ N.m.s}$	ضربه در راستای اندازه حرکت زاویه‌ای
$i = 7, t_i = 0.15 \text{ s}, \Delta t = 0.05 \text{ s}$	زمان شروع و مدت زمان وارد شدن ضربه
پارامترهای سیکل حرکتی مطلوب	
$p_c = -0.7 \text{ m}$	شرایط اولیه مولفه همگرا
$q_c = 0.2 \text{ m}$	شرایط اولیه مولفه همگرا
$L_c = 0.5 \text{ m}$	طول گام
$T_c = 0.4 \text{ s}$	زمان فرود گام
$V_c = 1.25 \text{ m.s}^{-1}$	سرعت متوسط حرکت

شایط اولیه حرکتی	
$x_0 = x_{1,0} = -0.1 \text{ m}$	موقعیت مرکز جرم در ابتدای حرکت
$z_0 = -0.2 \text{ m}$	موقعیت پای متوجه در ابتدای حرکت
$z_1 = 0$	موقعیت پای تکه گاهی در ابتدای حرکت
$y_0 = 0.95 \text{ m}$	ارتفاع مرکز جرم در ابتدای حرکت
$\theta_0 = -10^\circ = -0.175 \text{ rad}$	زاویه بالاتنه در ابتدای حرکت

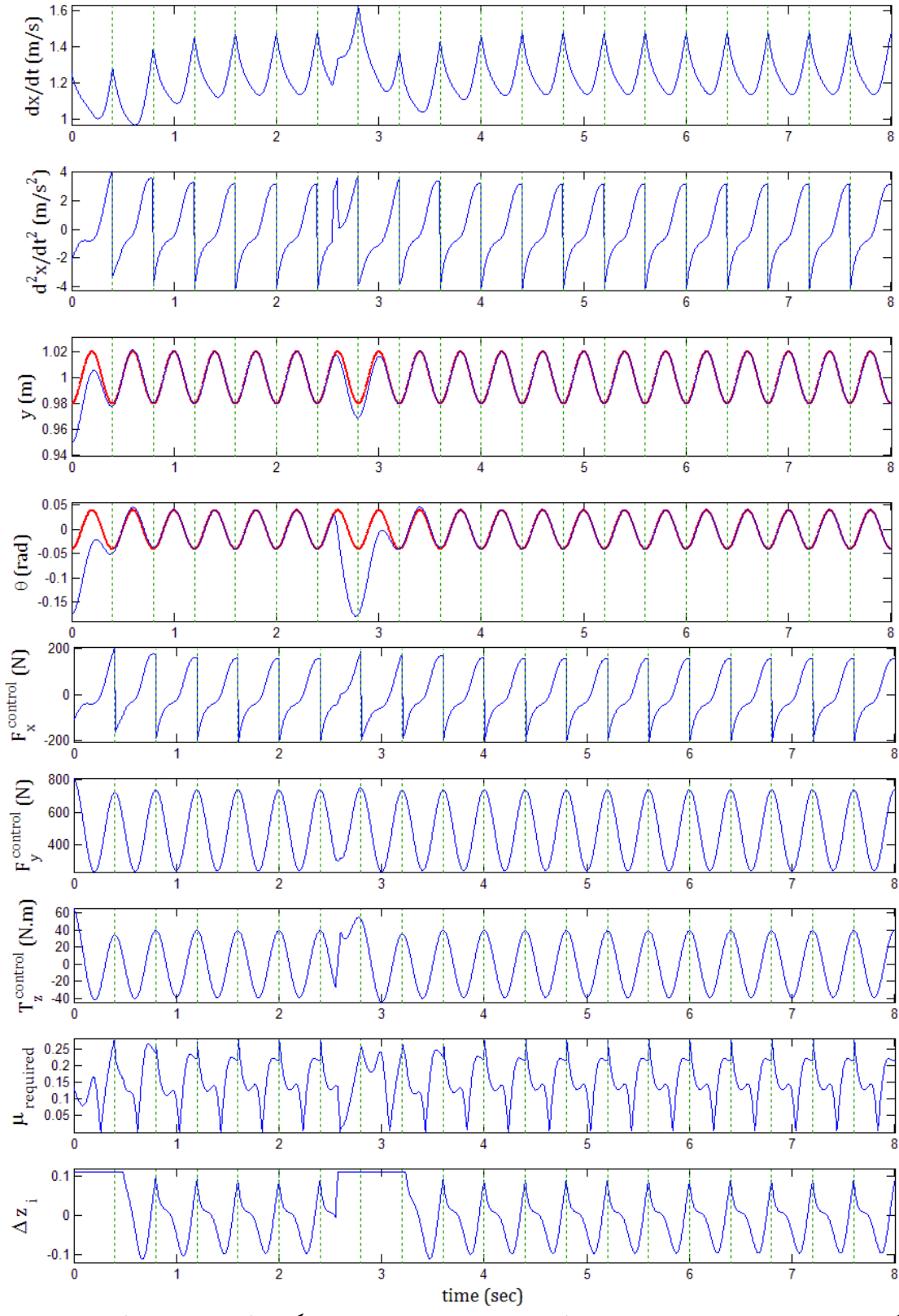
• شبیه سازی پایدارساز اول سیکل حرکتی بر روی مدل کامل با شایط مسئله محک

نتایج به صورت مسیر حرکت مولفه واگرا به همگرا در صفحه فاز شکل ۱۶-۳ نمایش داده شده است. برای بخش پیوسته معادلات حرکت، نمودارهای شکل ۱۷-۳، متغیرهای سیستم از جمله سرعت و شتاب حرکت در راستای افقی (d^2x/dt^2 و dx/dt)، موقعیت عمودی (y) و زاویه بالاتنه (θ) را به همراه متغیرهای کنترلی نیروهای افقی و عمودی و گشتاور بالاتنه ($T_z^{control}$ ، $F_x^{control}$ و $F_z^{control}$) و همچنین متغیر جابجایی مرکز فشار (ΔZ_i^{des})، را نمایش می دهند. همچنین ضریب اصطکاک مورد نیاز ($\mu_{required}$) برای تامین نیروهای کنترلی این حرکت، به صورت نموداری بر حسب زمان مشخص شده است. برای بخش گسته معادلات حرکت، نمودارهای شکل ۱۸-۳، متغیرهای کنترلی از جمله طول و زمان فرود هر گام (L_i و T_i) با کرانهای بالا و پایین هریک (T_{min} و L_{max}) را به همراه متغیرهای سیستم از جمله شایط اولیه مولفه های واگرا ($q_{i+1,0}$) و همگرا ($p_{i+1,0}$) با مقدار شاخص آن (p_i^*) و نیز سرعت متوسط حرکت نسبی پای متوجه نسبت به بالاتنه ($V_{i,swing}$) با کران بالای آن (V_{max}) و سرعت متوسط مرکز جرم در طول هر گام ($V_{i,avg}$)، نمایش داده شده است. همچنین متغیرهای قید $D_{i,1}$ و $D_{i,2}$ به همراه حداقل مقدار مجاز شان ($L_{max}/2$) در این نمودارها مشخص شده است.

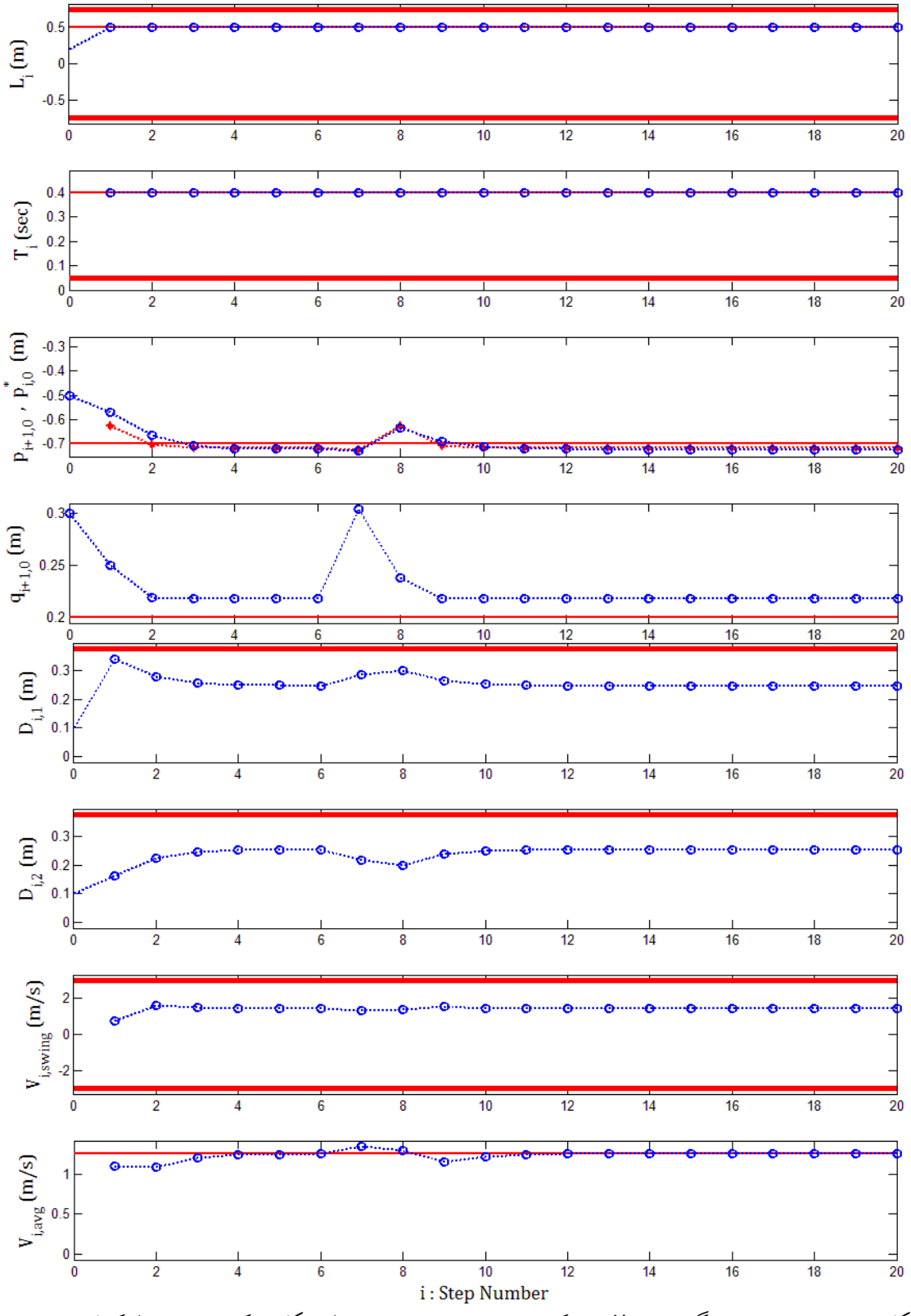
پایدارساز اول با شروع از شایط اولیه مرزی پس از سه گام به پایداری کامل می رسد و با وارد شدن ضربه در گام هفتم نیز، پس از سه گام دوباره به پایداری کامل می رسد و در عین حال قیود مسئله بر روی $D_{i,1}$ ، $D_{i,2}$ و $D_{i,1,2}$ را رعایت می کنند. پایدارساز اول با وجود ناتوانی تئوریک از کنترل شایط اولیه دور از سیکل ولی توانست ضربه ای با شدت ۹۰٪ ضربه معیار را تحمل کند و با سرعت همگرایی زیادی (طی سه گام) به پایداری کامل برسد. علت این امر، حاضر بودن این کنترل کننده پایداری در کل بازه زمانی گامها است که می تواند بلا فاصله به جبران عوامل اختلالی بپردازد.



شکل ۱۶-۳. صفحه فاز مسیر حرکت مولقه واگرای نسبت به مولقه همگرا برای شبیه‌سازی پایدارساز اول سیکل حرکتی بر روی مدل کامل راهرونده با شرایط مسئله محک (۹۰٪ ضربه) – منحنی ضخیم و کمرنگ مسیر گام آخر را نمایش می‌دهد.



شکل ۱۷-۳. نمودارهای بخش پیوسته معادلات حرکت برای شبیه‌سازی پایدارساز اول سیکل حرکتی بر روی مدل کامل راهروند با شرایط مسئله محک (۹۰٪ ضربه) – خطوط ضخیم، مسیر مطلوب متغیر را نمایش می‌دهند.

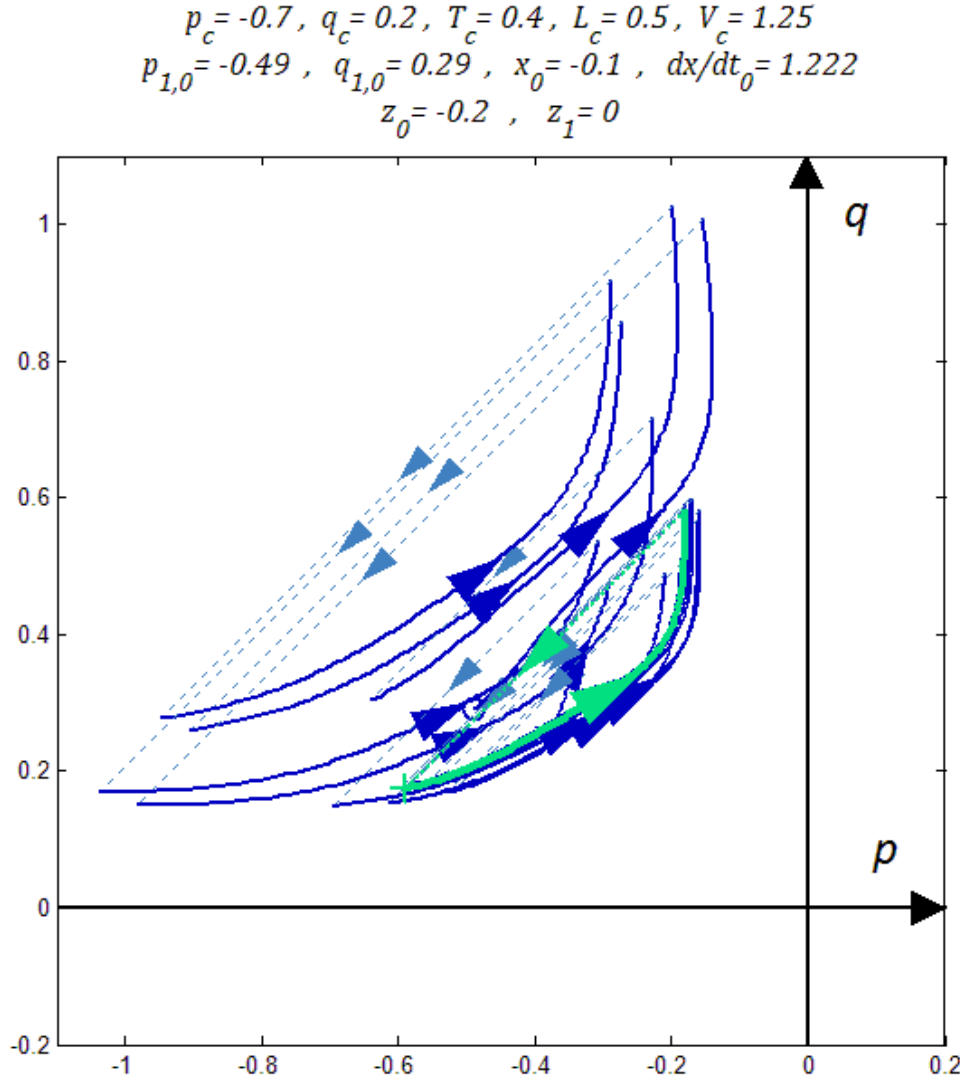


شکل ۱۸-۳. نمودارهای بخش گسته معادلات حرکت برای شیوه‌سازی پایدارساز اول سیکل حرکتی بر روی مدل راهروند با شرایط مسئله محک (۹۰٪ ضربه) – خطوط با ضخامت متوسط و زیاد، به ترتیب مقدار مطلوب متغیر در سیکل حرکتی و محدودیت بالا و پایین آن را نمایش می‌دهند.

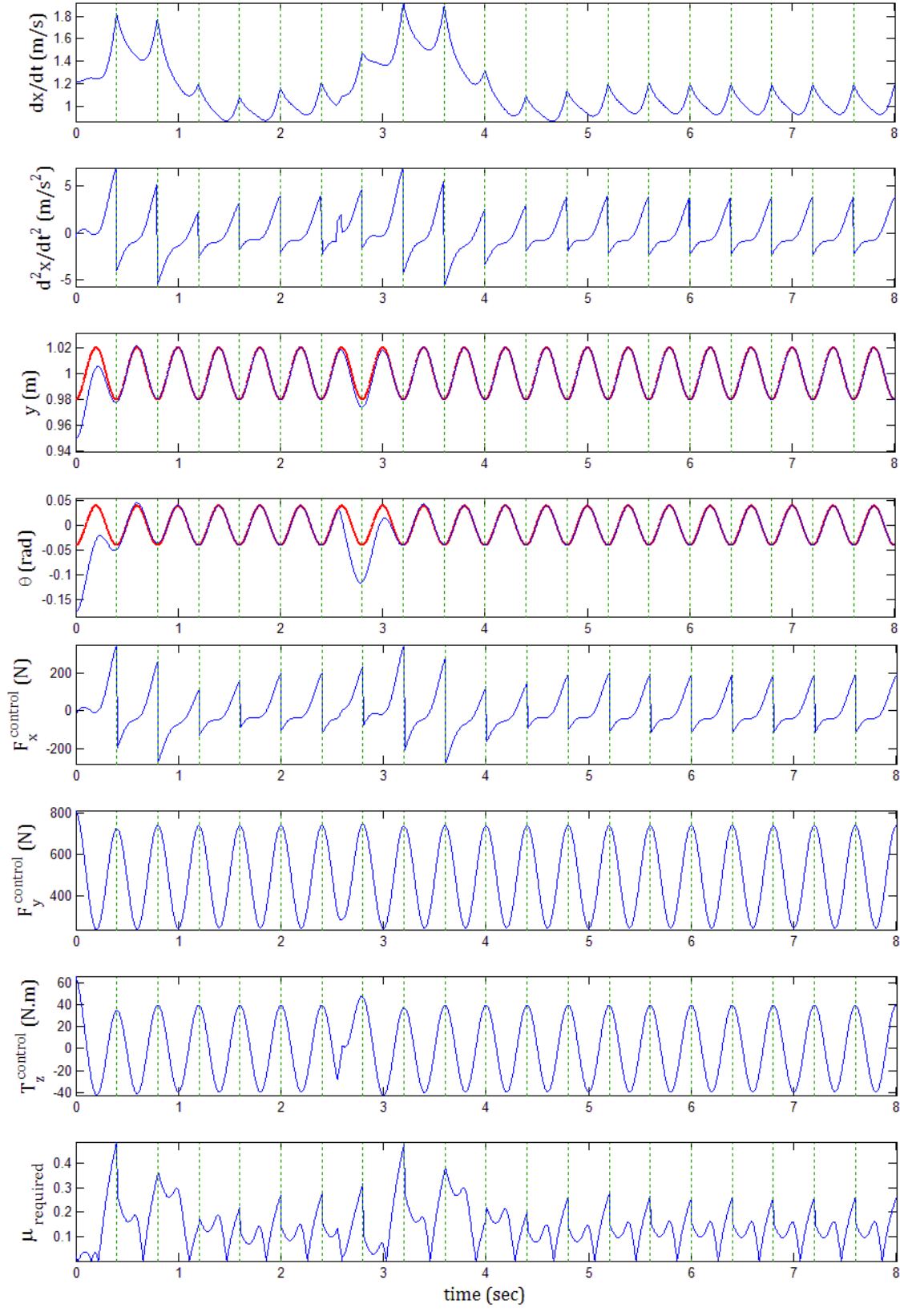
• شیوه سازی پایدارساز دوم سیکل حرکتی بر روی مدل کامل با شرایط مسئله محک

نتایج به صورت مسیر حرکت مولفه واگرا به همگرا در صفحه فاز شکل ۱۹-۳ نمایش داده شده است. برای بخش پیوسته معادلات حرکت، نمودارهای شکل ۲۰-۳، متغیرهای سیستم از جمله سرعت و شتاب حرکت در راستای افقی (d^2x/dt^2 و dx/dt)، موقعیت عمودی (y) و زاویه بالاتنه (θ) را به همراه متغیرهای کنترلی نیروهای افقی و عمودی و گشتاور بالاتنه ($T_x^{control}$ ، $F_x^{control}$ و $F_z^{control}$)، نمایش می‌دهند. همچنین ضریب اصطکاک مورد نیاز ($\mu_{required}$) برای تامین نیروهای کنترلی این حرکت، به صورت نموداری بر حسب زمان مشخص شده است. برای بخش گسته معادلات حرکت، نمودارهای شکل ۲۱-۳، متغیرهای کنترلی از جمله طول و زمان فرود هر گام (L_i و T_i) با کران‌های بالا و پایین هریک (T_{min} و L_{max}) را به همراه متغیرهای سیستم از جمله شرایط اولیه مولفه‌های واگرا ($q_{i+1,0}$) و همگرا ($p_{i+1,0}$) با مقدار شاخص آن (p_i^*) و نیز سرعت متوسط حرکت نسبی پای متحرک نسبت به بالاتنه ($V_{i,swing}$) با کران بالای آن (V_{max}) و سرعت متوسط مرکز جرم در طول هر گام ($V_{i,avg}$)، نمایش داده شده است. همچنین متغیرهای قید $D_{i,1}$ و $D_{i,2}$ به همراه حداکثر مقدار مجاز شان ($L_{max}/2$) در این نمودارها مشخص شده است.

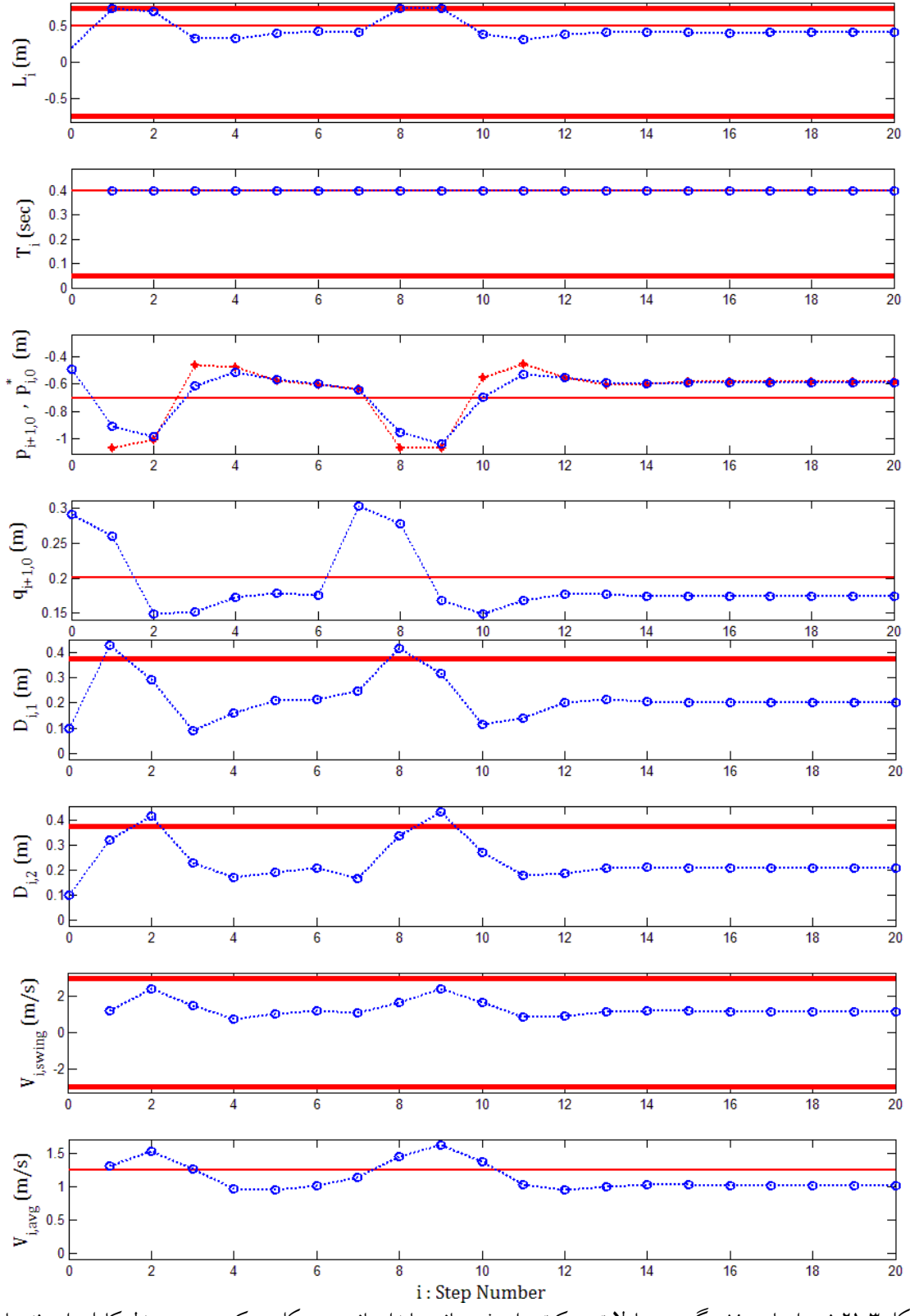
پایدارساز دوم با شروع از شرایط اولیه مرزی پس از پنج گام به پایداری کامل می‌رسد و با وارد شدن ضربه در گام هفتم نیز، پس از شش گام دوباره به پایداری کامل می‌رسد ولی دو قید مسئله بر روی $D_{i,2}$ در هر دو مرحله ابتدای حرکت و پس از دریافت ضربه تا حدی رعایت نشده است. پایدارساز دوم با وجود توانایی کنترل شرایط اولیه نسبتاً دور از سیکل تنها توانست ضربه‌ای باشد ۵۰٪ ضربه معیار را تحمل کند و علاوه بر آن قیود مسئله را برای شرایط مرزی و حداکثر ضربه قابل تحمل خود به درستی رعایت نمی‌کند. اگرچه برای شرایط اولیه‌ای نزدیک به سیکل حرکتی و ضرباتی کوچک، این قیود رعایت می‌شوند و این روش می‌تواند برای پایداری راه رونده به کار رود ولی برای شرایط اولیه دور و یا ضربات باشد زیاد، این کنترل کننده توانایی بالایی ندارد.



شکل ۱۹-۳. صفحه فاز مسیر حرکت مولفه واگرایی نسبت به مولفه همگرا برای شبیه‌سازی پایدارساز دوم سیکل حرکتی بر روی مدل فیزیکی با شرایط مسئله محک (۵۰٪ ضربه) – منحنی ضخیم و کمرنگ مسیر گام آخر رانمایش می‌دهد.



شکل ۲۰-۳. نمودارهای بخش پیوسته معادلات حرکت برای شبیه‌سازی پایدارساز دوم سیکل حرکتی بر روی مدل کامل راهرونده با شرایط مسئله محک (۵۰٪ ضربه) – خطوط ضخیم، مسیر مطلوب متغیر را نمایش می‌دهند.



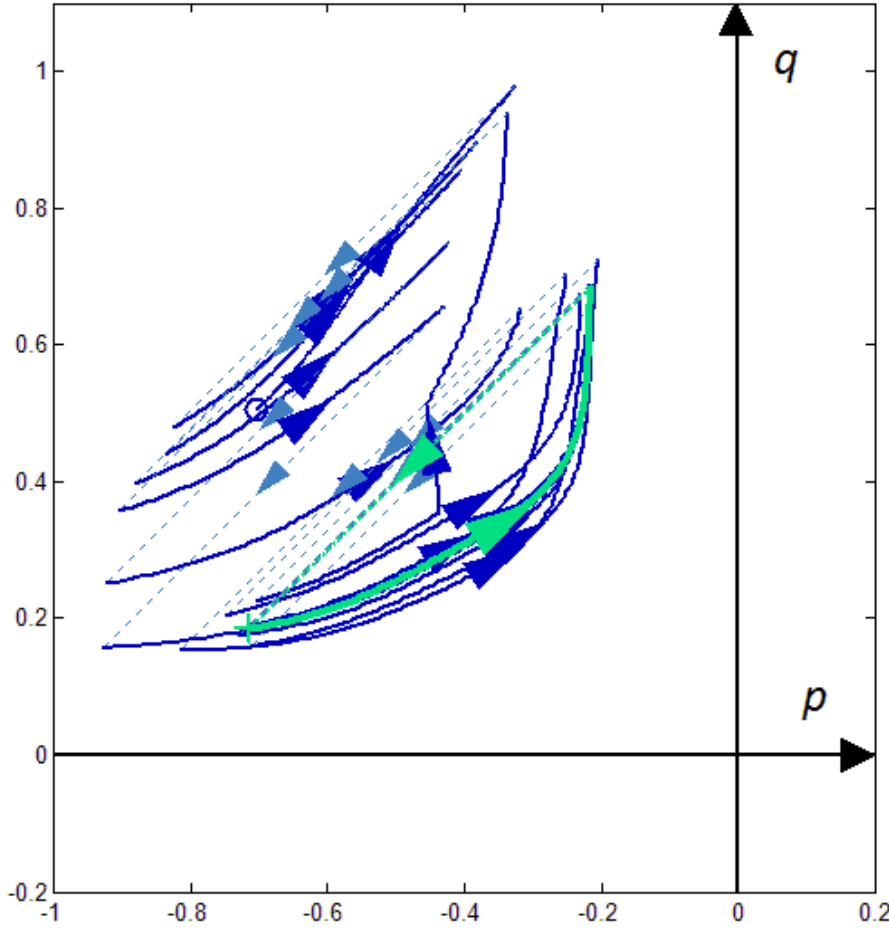
شکل ۲۱-۳. نمودارهای بخش گسته معادلات حرکت برای شیوه‌سازی پایدارساز دوم سیکل حرکتی بر روی مدل راهروند با شرایط مسئله محک (۵۰٪ ضربه) – خطوط با ضخامت متوسط و زیاد، به ترتیب مقدار مطلوب متغیر در سیکل حرکتی و محدودیت بالا و یا پایین آن را نمایش می‌دهند.

• شبیه سازی پایدارساز سوم سیکل حرکتی بر روی مدل کامل با شرایط مسئله محک

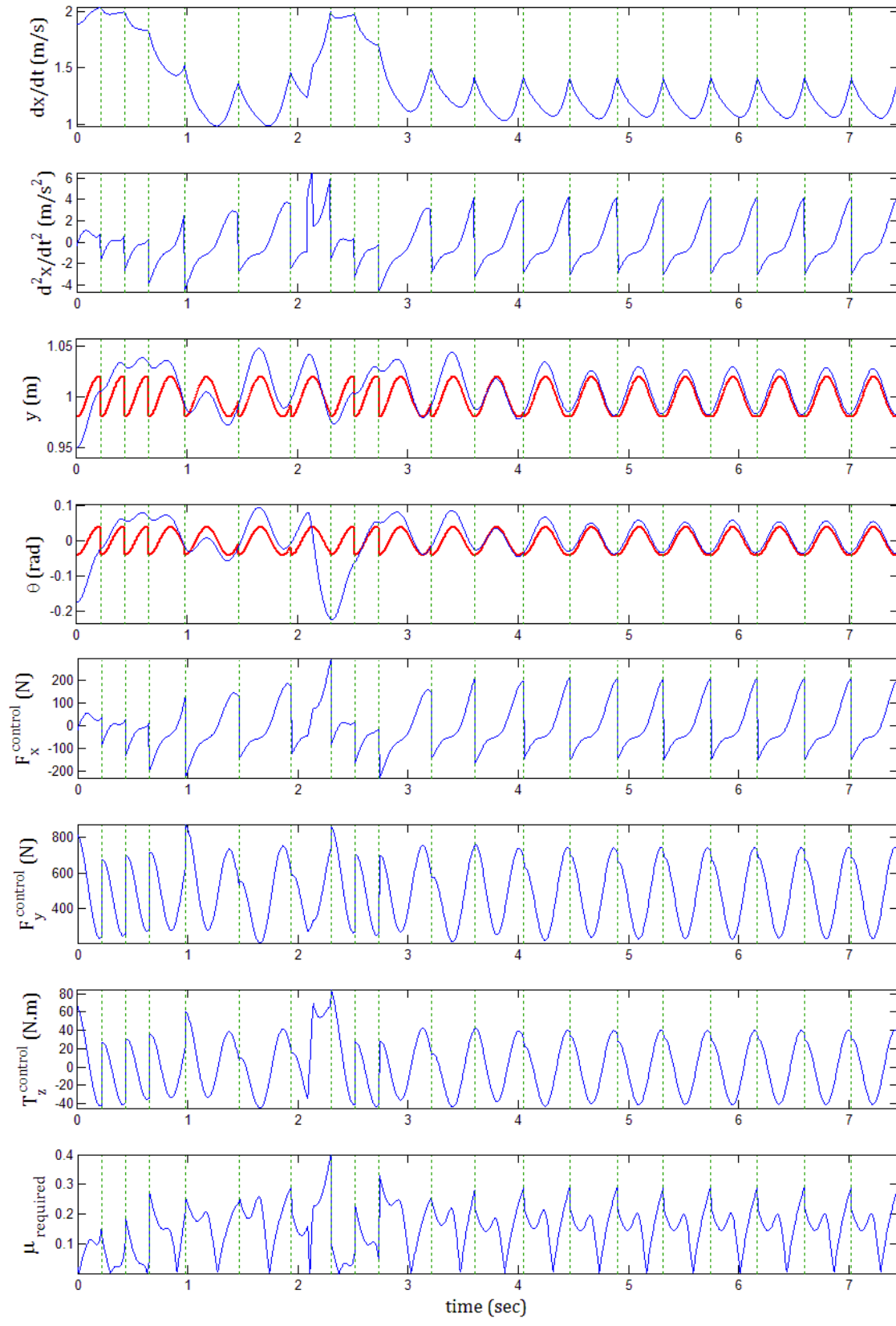
نتایج به صورت مسیر حرکت مولفه واگرا به همگرا در صفحه فاز شکل ۲۲-۳ نمایش داده شده است. برای بخش پیوسته معادلات حرکت، نمودارهای شکل ۲۳-۳، متغیرهای سیستم از جمله سرعت و شتاب حرکت در راستای افقی (d^2x/dt^2 و dx/dt)، موقعیت عمودی (y) و زاویه بالاتنه (θ) را به همراه متغیرهای کنترلی نیروهای افقی و عمودی و گشتاور بالاتنه ($T_x^{control}$ ، $F_x^{control}$ و $F_z^{control}$)، نمایش می‌دهند. همچنین ضریب اصطکاک مورد نیاز ($\mu_{required}$) برای تامین نیروهای کنترلی این حرکت، به صورت نموداری بر حسب زمان مشخص شده است. برای بخش گسته معادلات حرکت، نمودارهای شکل ۲۴-۳، متغیرهای کنترلی از جمله طول و زمان فرود هر گام (L_i و T_i) با کران‌های بالا و پایین هریک (L_{min} و L_{max}) را به همراه متغیرهای سیستم از جمله شرایط اولیه مولفه‌های واگرا ($q_{i+1,0}$) و همگرا ($p_{i+1,0}$) با مقدار شاخص آن (p_i^*) و نیز سرعت متوسط حرکت نسبی پای متحرک نسبت به بالاتنه ($V_{i,swing}$) با کران بالای آن (V_{max}) و سرعت متوسط مرکز جرم در طول هر گام ($V_{i,avg}$)، نمایش داده شده است. همچنین متغیرهای قید $D_{i,1}$ و $D_{i,2}$ به همراه حداکثر مقدار مجاز شان ($L_{max}/2$) در این نمودارها مشخص شده است.

پایدارساز سوم با شروع از شرایط اولیه مرزی نسبتا دور از سیکل پس از پنج گام به پایداری کامل می‌رسد و با وارد شدن ضربه در گام هفتم نیز، پس از پنج گام دوباره به پایداری کامل می‌رسد و در عین حال دو قید مسئله را بر روی $D_{i,1}$ و $D_{i,2}$ در هر دو مرحله ابتدای حرکت و پس از دریافت ضربه کاملا رعایت کرده است، با این وجود تا حدی از قید سرعت بر روی $V_{i,swing}$ تجاوز می‌کند. پایدارساز سوم هم توانایی بالایی در کنترل شرایط اولیه نسبتا دور از سیکل دارد و همزمان توانست ضربه‌ای باشد ۱۳۰٪ ضربه معيار را تحمل کند و در عین حال قیود مسئله را برای شرایط مرزی و حداکثر ضربه قابل تحمل خود را تا حد زیادی رعایت می‌کند. اما همان‌طور که در مباحث تئوری دیدیم، این کنترل کننده ناتوان از هدایت راه رونده از شرایط اولیه پس‌رونده به سمت سیکلی پیش‌رونده است که دلیل آن جهت یکطرفه گام‌ها در این پایدارساز است که همواره رو به جلو فرض شده است. با این حال با توجه به رعایت قیود، به نظر می‌رسد که عملکرد آن برای حرکت حول سیکل‌های پیش‌رونده دارای سرعت متوسط بالا و همچنین مقاوت آن در برابر ضربات شدید، مناسب باشد و میتواند بر روی راه روندهای واقعی به کار گرفته شود.

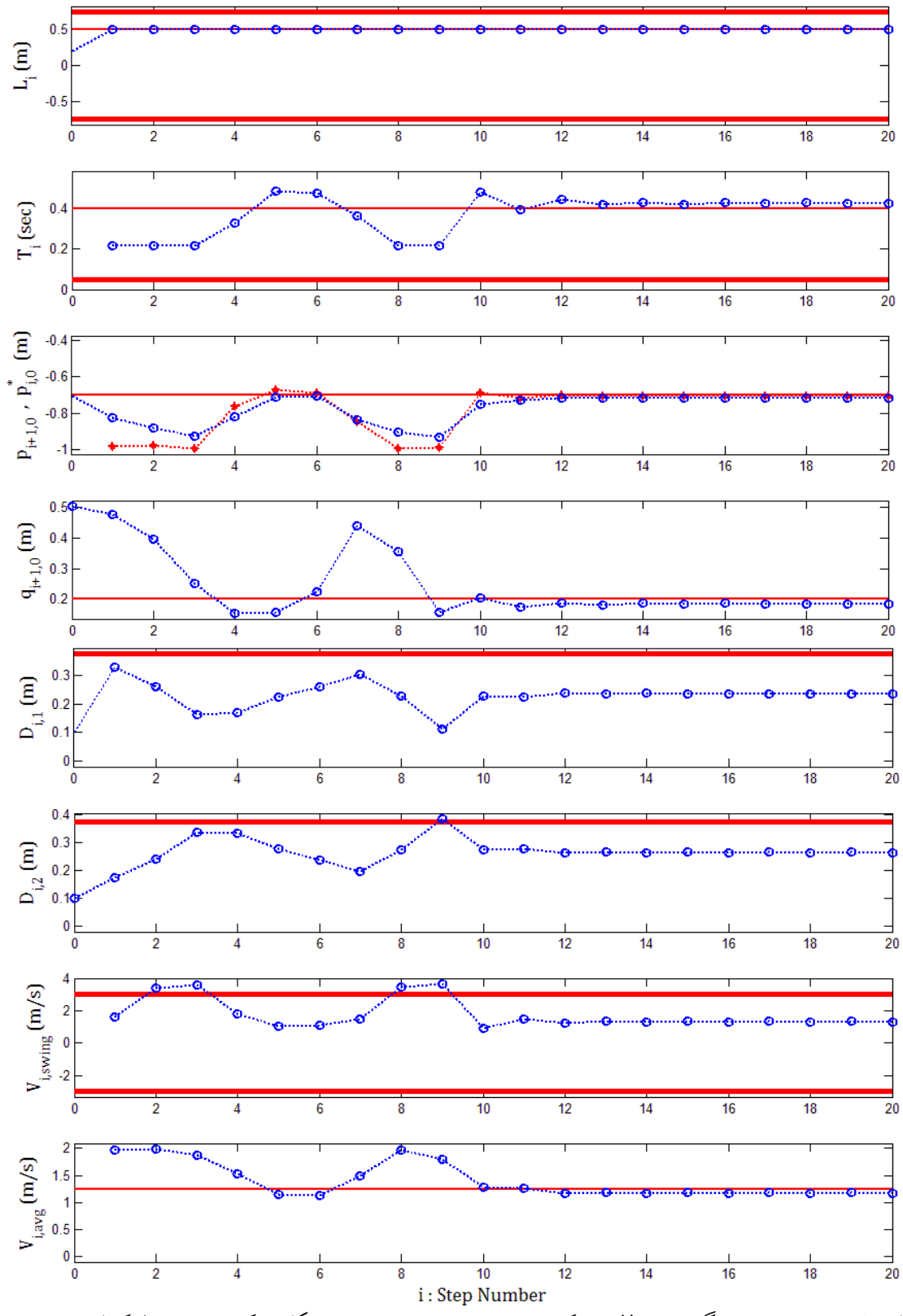
$$\begin{aligned}
 p_c &= -0.7, \quad q_c = 0.2, \quad T_c = 0.4, \quad L_c = 0.5, \quad V_c = 1.25 \\
 p_{1,0} &= -0.705, \quad q_{1,0} = 0.505, \quad x_0 = -0.1, \quad dx/dt_0 = 1.895 \\
 z_0 &= -0.2, \quad z_1 = 0
 \end{aligned}$$



شکل ۲۲-۳. صفحه فاز مسیر حرکت مولفه واگرای مولفه همگرا برای شیوه‌سازی پایدارساز سوم سیکل حرکتی بر روی مدل کامل راهروندی با شرایط مسئله محک (۱۳۰٪ ضربه) – منحنی ضخیم و کمرنگ مسیر گام آخر را نمایش می‌دهد.



شکل ۲۲-۳. نمودارهای بخش پیوسته معادلات حرکت برای شبیه‌سازی پایدارساز سوم سیکل حرکتی بر روی مدل کامل راهرونده با شرایط مسئله محک (۱۳۰٪ ضربه) – خطوط ضخیم، مسیر مطلوب متغیر را نمایش می‌دهند.

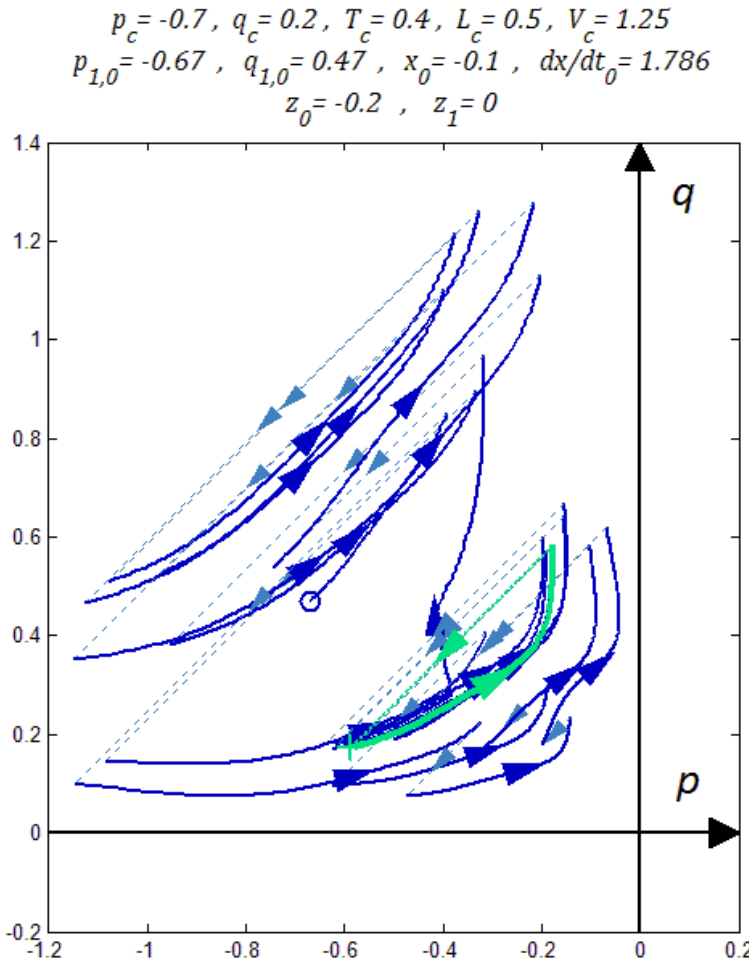


شکل ۲۴-۳. نمودارهای بخش گسته معادلات حرکت برای شبیه‌سازی پایدارساز سوم سیکل حرکتی بر روی مدل کامل راهروند با شرایط مسئله محک (۱۳۰٪ ضربه) – خطوط با ضخامت متوسط و زیاد، به ترتیب مقدار مطلوب متغیر در سیکل حرکتی و محدودیت بالا و یا پایین آن را نمایش می‌دهند.

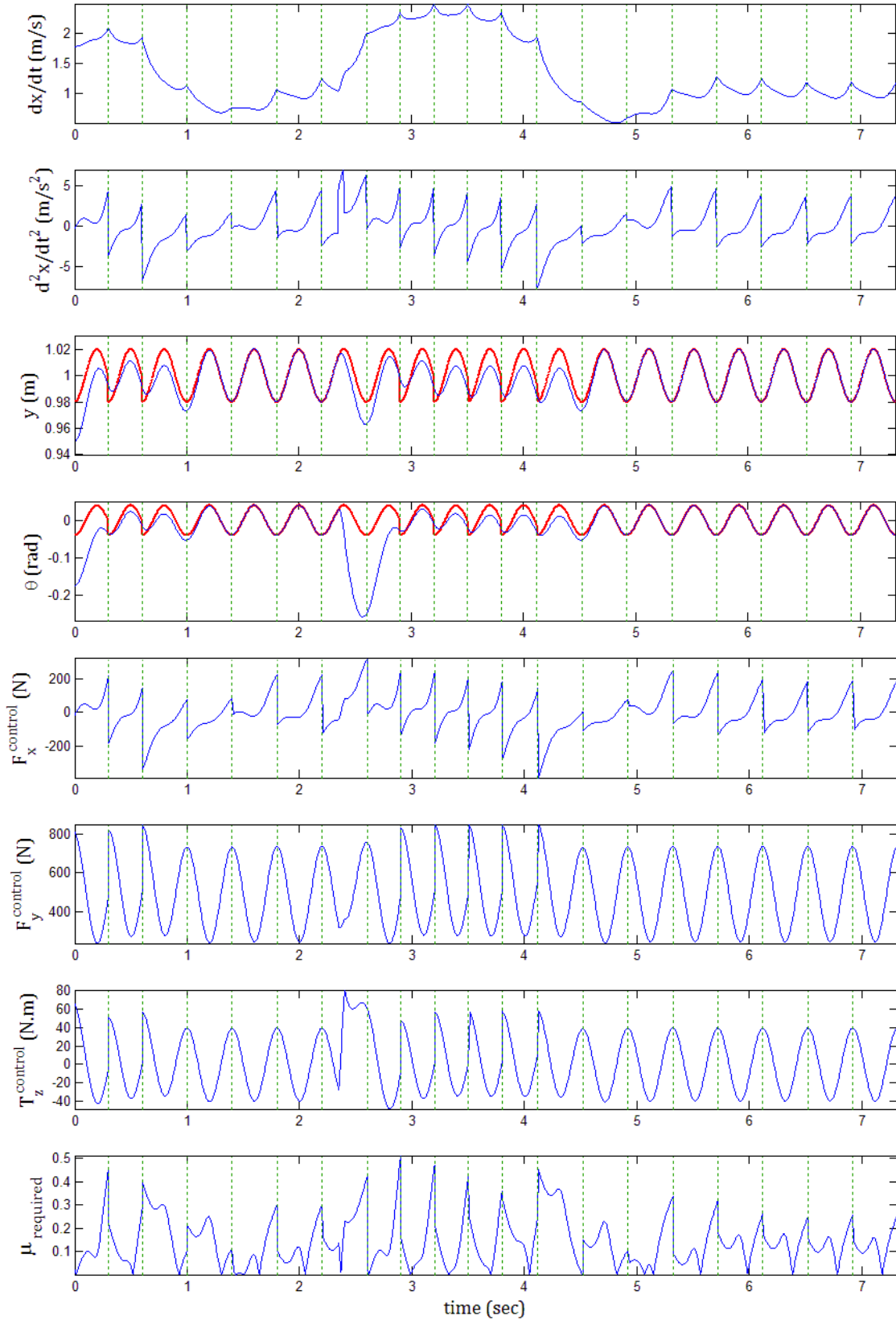
• شبیه سازی پایدارساز چهارم سیکل حرکتی بر روی مدل کامل با شرایط مسئله محک

نتایج به صورت مسیر حرکت مولفه واگرا به همگرا در صفحه فاز شکل ۲۵-۳ نمایش داده شده است. برای بخش پیوسته معادلات حرکت، نمودارهای شکل ۲۶-۳، متغیرهای سیستم از جمله سرعت و شتاب حرکت در راستای افقی (d^2x/dt^2 و dx/dt)، موقعیت عمودی (y) و زاویه بالاتنه (θ) را به همراه متغیرهای کنترلی نیروهای افقی و عمودی و گشتاور بالاتنه ($T_x^{control}$ ، $F_x^{control}$ و $F_z^{control}$)، نمایش می‌دهند. همچنین ضریب اصطکاک مورد نیاز ($\mu_{required}$) برای تامین نیروهای کنترلی این حرکت، به صورت نموداری بر حسب زمان مشخص شده است. برای بخش گسته معادلات حرکت، نمودارهای شکل ۲۷-۳، متغیرهای کنترلی از جمله طول و زمان فرود هر گام (L_i و T_i) با کران‌های بالا و پایین هریک (T_{min} و L_{max}) را به همراه متغیرهای سیستم از جمله شرایط اولیه مولفه‌های واگرا ($q_{i+1,0}$) و همگرا ($p_{i+1,0}$) با مقدار شاخص آن (p_i^*) و نیز سرعت متوسط حرکت نسبی پای متحرک نسبت به بالاتنه ($V_{i,swing}$) با کران بالای آن (V_{max}) و سرعت متوسط مرکز جرم در طول هر گام ($V_{i,avg}$)، نمایش داده شده است. همچنین متغیرهای قید $D_{i,1}$ و $D_{i,2}$ به همراه حداکثر مقدار مجاز شان ($L_{max}/2$) در این نمودارها مشخص شده است.

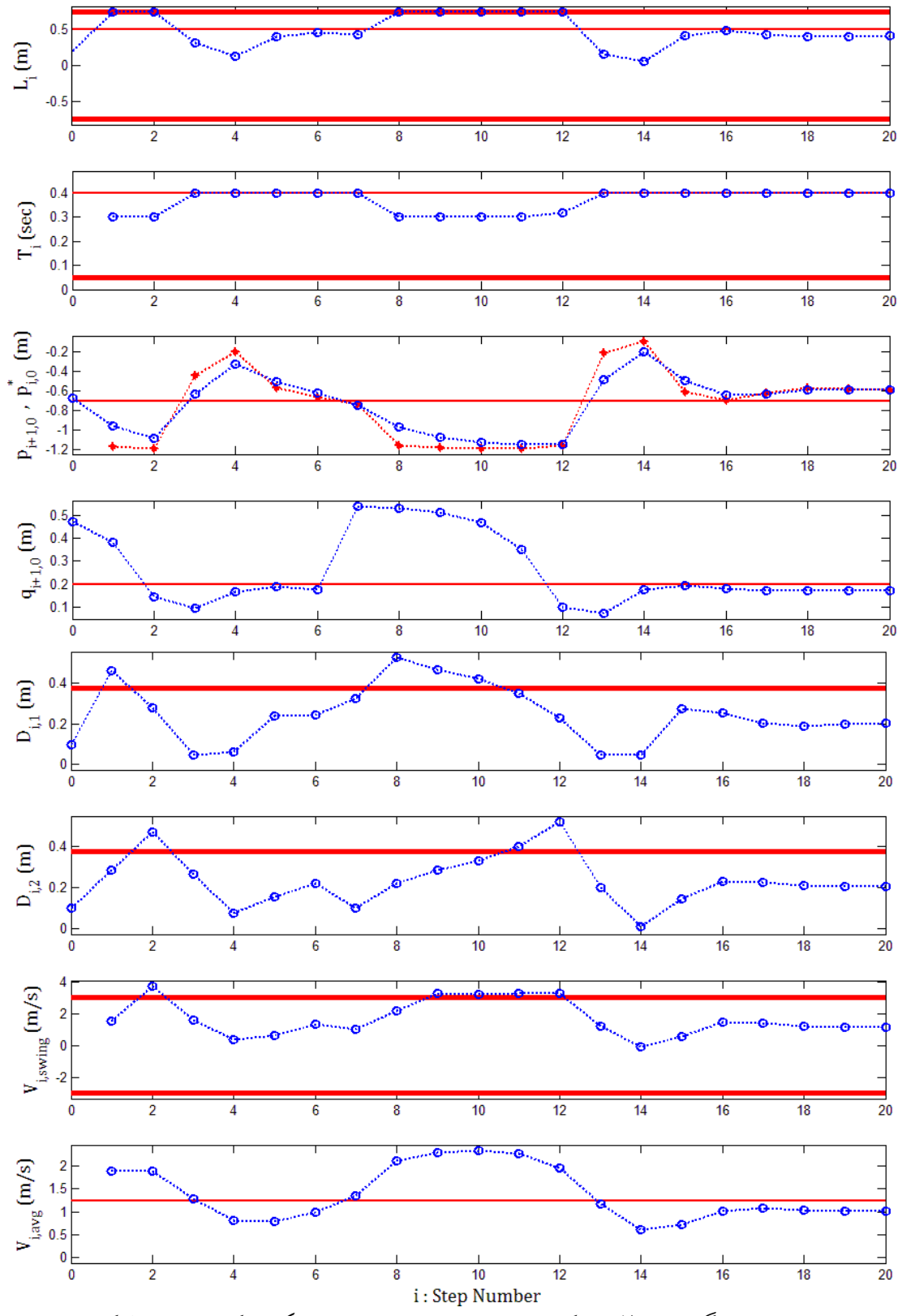
پایدارساز چهارم با شروع از شرایط اولیه مرزی پس از شش گام به پایداری کامل می‌رسد و با وارد شدن ضربه در گام هفتم نیز، پس از نه گام دوباره به پایداری کامل می‌رسد ولی سه قید مسئله بر روی $D_{i,1}$ و $D_{i,2}$ در هر دو مرحله ابتدای حرکت و پس از دریافت ضربه تا حدی رعایت نشده است. پایدارساز چهارم با وجود توانایی کنترل شرایط اولیه نسبتا دور از سیکل و توانایی تحمل ضربه‌ای باشد ۱۴۰٪ ضربه معیار، قیود مسئله را برای شرایط اولیه مرزی و حداکثر ضربه قابل تحمل خود به درستی رعایت نمی‌کند. اگرچه برای شرایط اولیه‌ای نزدیک‌تر به سیکل حرکتی و ضرباتی متوسط، این قیود رعایت می‌شوند و این روش می‌تواند برای پایداری راه‌رونده واقعی به کار رود ولی برای شرایط اولیه دور و یا ضربات باشدت زیاد به دلیل رعایت نکردن قیود، کارایی بالای ندارد.



شکل ۲۵-۳. صفحه فاز مسیر حرکت مولفه واگرای نسبت به مولفه همگرا برای شبیه‌سازی پایدارساز چهارم سیکل حرکتی بر روی مدل کامل راهروندی با شرایط مسئله محک (۱۴٪ ضربه) – منحنی ضخیم و کمنگ مسیر گام آخر را نمایش می‌دهد.



شکل ۲۶-۳. نمودارهای بخش پیوسته معادلات حرکت برای شبیه‌سازی پایدارساز چهارم سیکل حرکتی بر روی مدل کامل راهروند با شرایط مسئله محک (۱۳۰٪ ضربه) – خطوط ضخیم، مسیر مطلوب متغیر را نمایش می‌دهند.

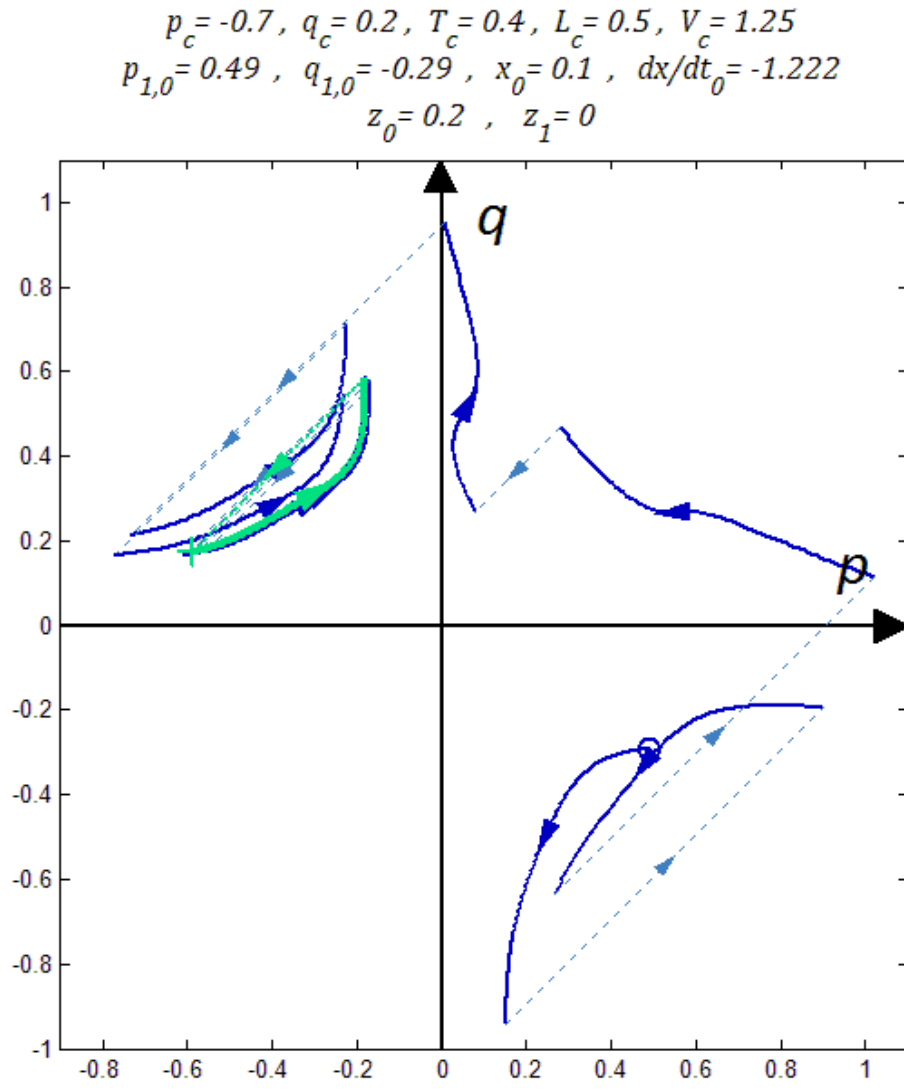


شکل ۲۷-۳. نمودارهای بخش گستته معادلات حرکت برای شبیه‌سازی پایدارساز چهارم سیکل حرکتی بر روی مدل کامل راهروند با شرایط مسئله محک (۱۴۰٪ ضربه) – خطوط با ضخامت متوسط و زیاد، به ترتیب مقدار مطلوب متغیر در سیکل حرکتی و محدودیت بالا و یا پایین آن را نمایش می‌دهند.

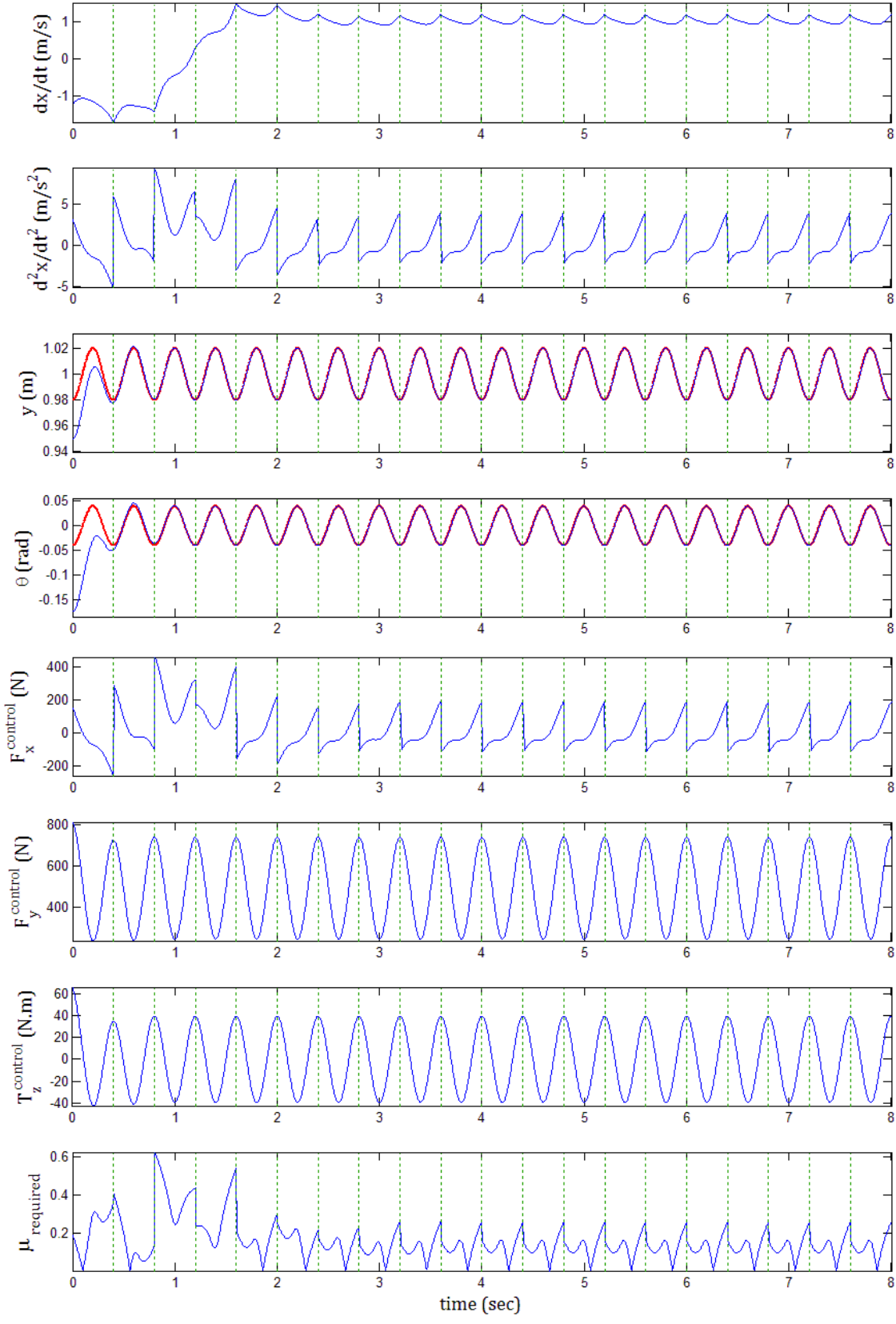
• شیوه سازی پایدارساز دوم سیکل حرکتی بر روی مدل کامل با شرایط اولیه پس‌روندۀ دور از سیکل

نتایج به صورت مسیر حرکت مولفه واگرا به همگرا در صفحه فاز شکل ۲۸-۳ نمایش داده شده است. برای بخش پیوسته معادلات حرکت، نمودارهای شکل ۲۹-۳، متغیرهای سیستم از جمله سرعت و شتاب حرکت در راستای افقی (d^2x/dt^2 و dx/dt)، موقعیت عمودی (y) و زاویه بالاتنه (θ) را به همراه متغیرهای کنترلی نیروهای افقی و عمودی و گشتاور بالاتنه ($T_z^{control}$ ، $F_x^{control}$ و F_x)، نمایش می‌دهند. همچنین ضریب اصطکاک مورد نیاز ($\mu_{required}$) برای تامین نیروهای کنترلی این حرکت، به صورت نموداری بر حسب زمان مشخص شده است. برای بخش گسسته معادلات حرکت، نمودارهای شکل ۳۰-۳، متغیرهای کنترلی از جمله طول و زمان فرود هر گام (L_i و T_i) با کران‌های بالا و پایین هریک (L_{min} و L_{max}) را به همراه متغیرهای سیستم از جمله شرایط اولیه مولفه‌های واگرا ($q_{i+1,0}$) و همگرا ($p_{i+1,0}$) با مقدار شاخص آن (p_i^*) و نیز سرعت متوسط حرکت نسبی پای متحرک نسبت به بالاتنه ($V_{i,swing}$) با کران بالای آن (V_{max}) و سرعت متوسط مرکز جرم در طول هر گام ($V_{i,avg}$)، نمایش داده شده است. همچنین متغیرهای قید $D_{i,1}$ و $D_{i,2}$ به همراه حداقل مقدار مجاز شان ($L_{max}/2$) در این نمودارها مشخص شده است.

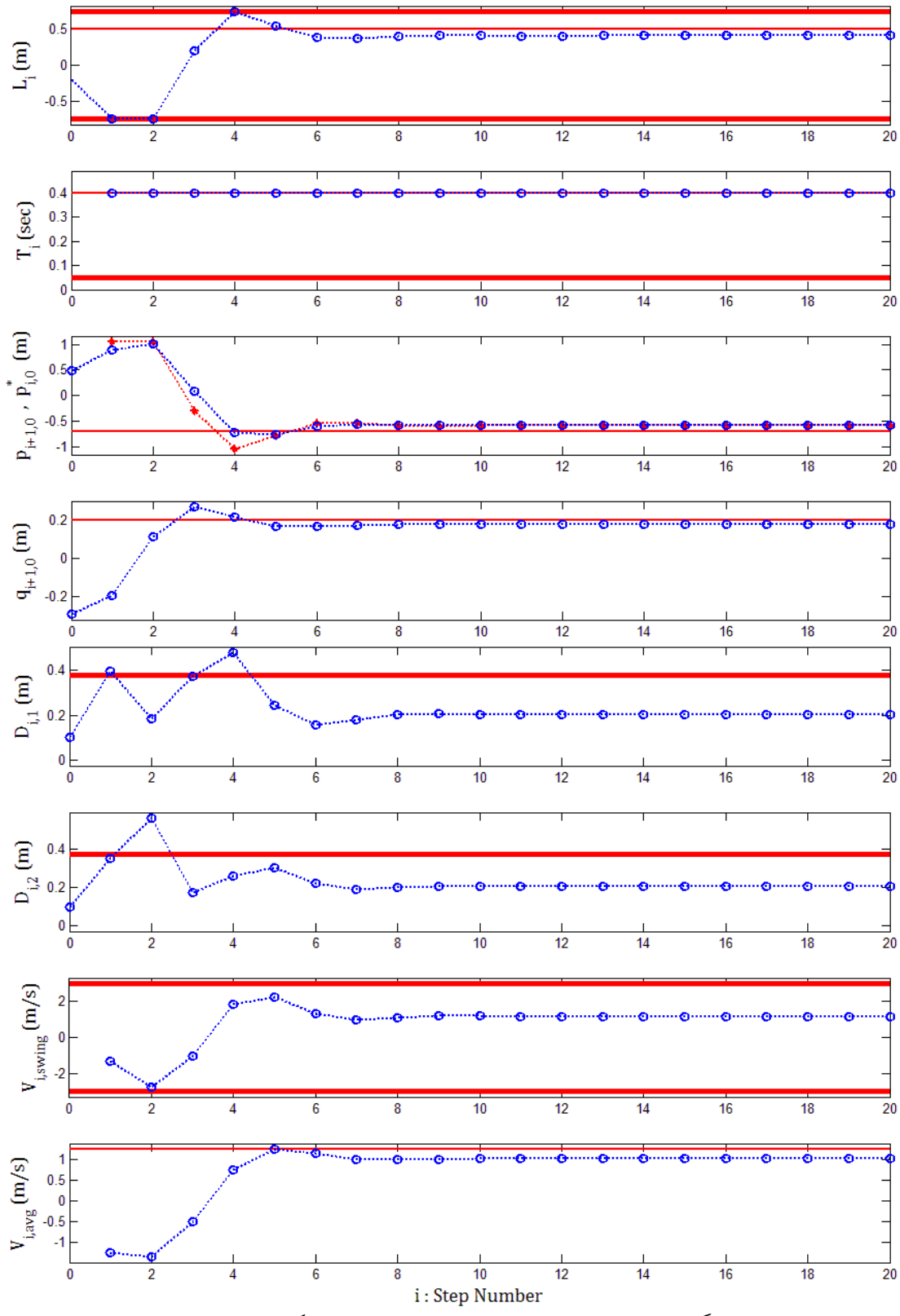
پایدارساز دوم با شروع از شرایط اولیه پس‌روندۀ دور از سیکل، طی هفت گام به پایداری کامل حول سیکل پیش‌روندۀ مطلوب می‌رسد ولی دو قید مسئله بر روی $D_{i,1}$ ، $D_{i,2}$ ، تا حد زیادی رعایت نشده است. پایدارساز دوم با وجود توانایی کنترل شرایط اولیه پس‌روندۀ دور از سیکل، قیود مسئله را به درستی رعایت نمی‌کند و بنابراین از لحاظ عملی این روش برای هدایت حرکت از یک شرایط اولیه پس‌روندۀ دور به سمت سیکل حرکتی پیش‌روندۀ کارایی ندارد.



شکل ۲۸-۳. صفحه فاز مسیر حرکت مولفه واگرای نسبت به مولفه همگرا برای شبیه‌سازی پایدارساز دوم سیکل حرکتی بر روی مدل کامل راهرونده با شرایط اولیه دور از سیکل (پس‌رونده) – منحنی ضخیم و کمرنگ مسیر گام آخر را نمایش می‌دهد.



شکل ۲۹-۳. نمودارهای بخش پیوسته معادلات حرکت برای شبیه‌سازی پایدارساز دوم سیکل حرکتی بر روی مدل کامل را رونده با شرایط اولیه دور از سیکل (پس‌رونده) – خطوط ضخیم، مسیر مطلوب متغیر را نمایش می‌دهند.

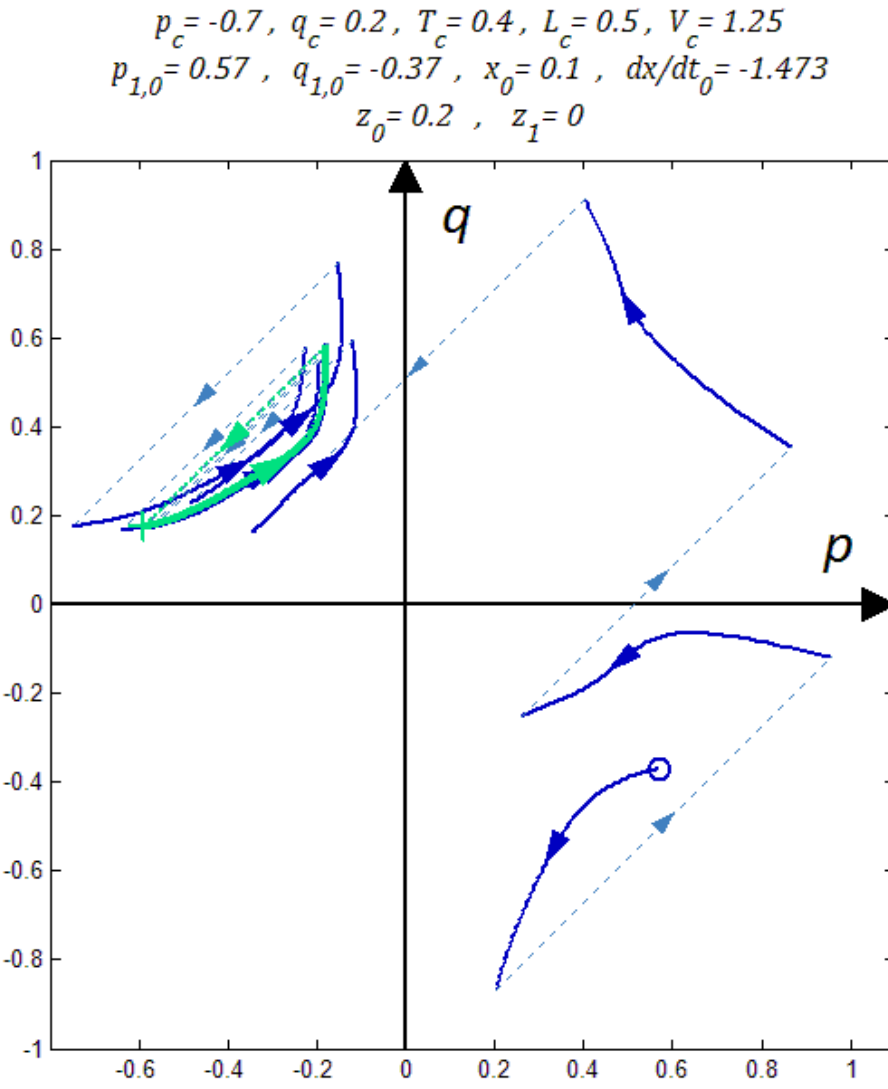


شکل ۳۰-۳. نمودارهای بخش گسته معادلات حرکت برای شیوه‌سازی پایدارساز دوم سیکل حرکتی بر روی مدل راهرونده با شرایط اولیه دور از سیکل (پس‌رونده) – خطوط با ضخامت متوسط و زیاد، به ترتیب مقدار مطلوب متغیر در سیکل حرکتی و محدودیت بالا و یا پایین آن را نمایش می‌دهند.

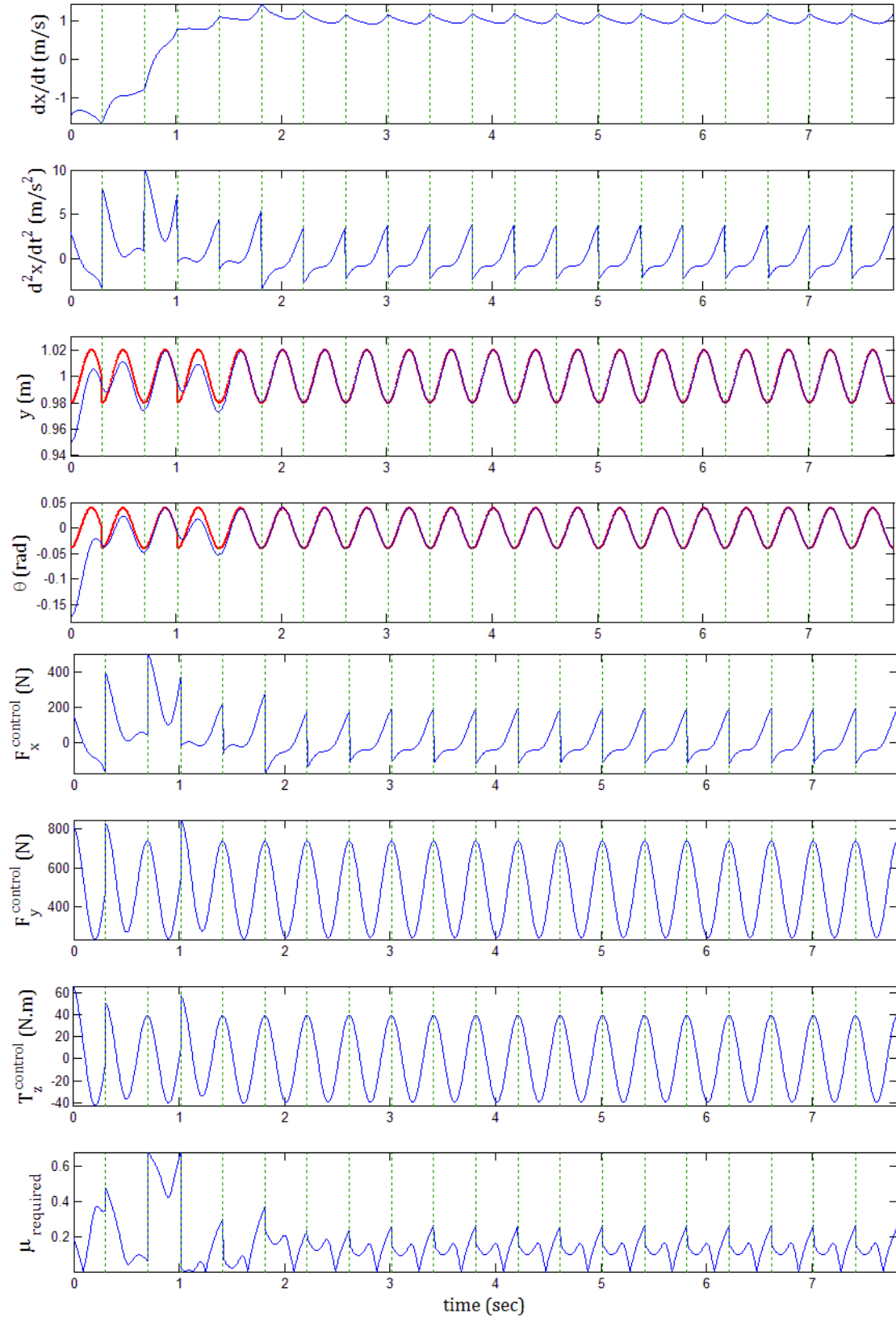
• شبیه سازی پایدارساز چهارم سیکل حرکتی بر روی مدل کامل با شرایط اولیه پس رونده دور از سیکل

نتایج به صورت مسیر حرکت مولفه واگرا به همگرا در صفحه فاز شکل ۳۱-۳ نمایش داده شده است. برای بخش پیوسته معادلات حرکت، نمودارهای شکل ۳۲-۳، متغیرهای سیستم از جمله سرعت و شتاب حرکت در راستای افقی (d^2x/dt^2 و dx/dt)، موقعیت عمودی (y) و زاویه بالاتنه (θ) را به همراه متغیرهای کنترلی نیروهای افقی و عمودی و گشتاور بالاتنه ($T_z^{control}$ ، $F_x^{control}$ و $F_z^{control}$)، نمایش می‌دهند. همچنین ضریب اصطکاک مورد نیاز ($\mu_{required}$) برای تامین نیروهای کنترلی این حرکت، به صورت نموداری بر حسب زمان مشخص شده است. برای بخش گسته معادلات حرکت، نمودارهای شکل ۳۳-۳، متغیرهای کنترلی از جمله طول و زمان فرود هر گام (L_i و T_i) با کران‌های بالا و پایین هریک (T_{min} و L_{max}) را به همراه متغیرهای سیستم از جمله شرایط اولیه مولفه‌های واگرا ($q_{i+1,0}$) و همگرا ($p_{i+1,0}$) با مقدار شاخص آن (p_i^*) و نیز سرعت متوسط حرکت نسبی پای متحرک نسبت به بالاتنه ($V_{i,swing}$) با کران بالای آن (V_{max}) و سرعت متوسط مرکز جرم در طول هر گام ($V_{i,avg}$)، نمایش داده شده است. همچنین متغیرهای قید $D_{i,1}$ و $D_{i,2}$ به همراه حداکثر مقدار مجاز شان ($L_{max}/2$) در این نمودارها مشخص شده است.

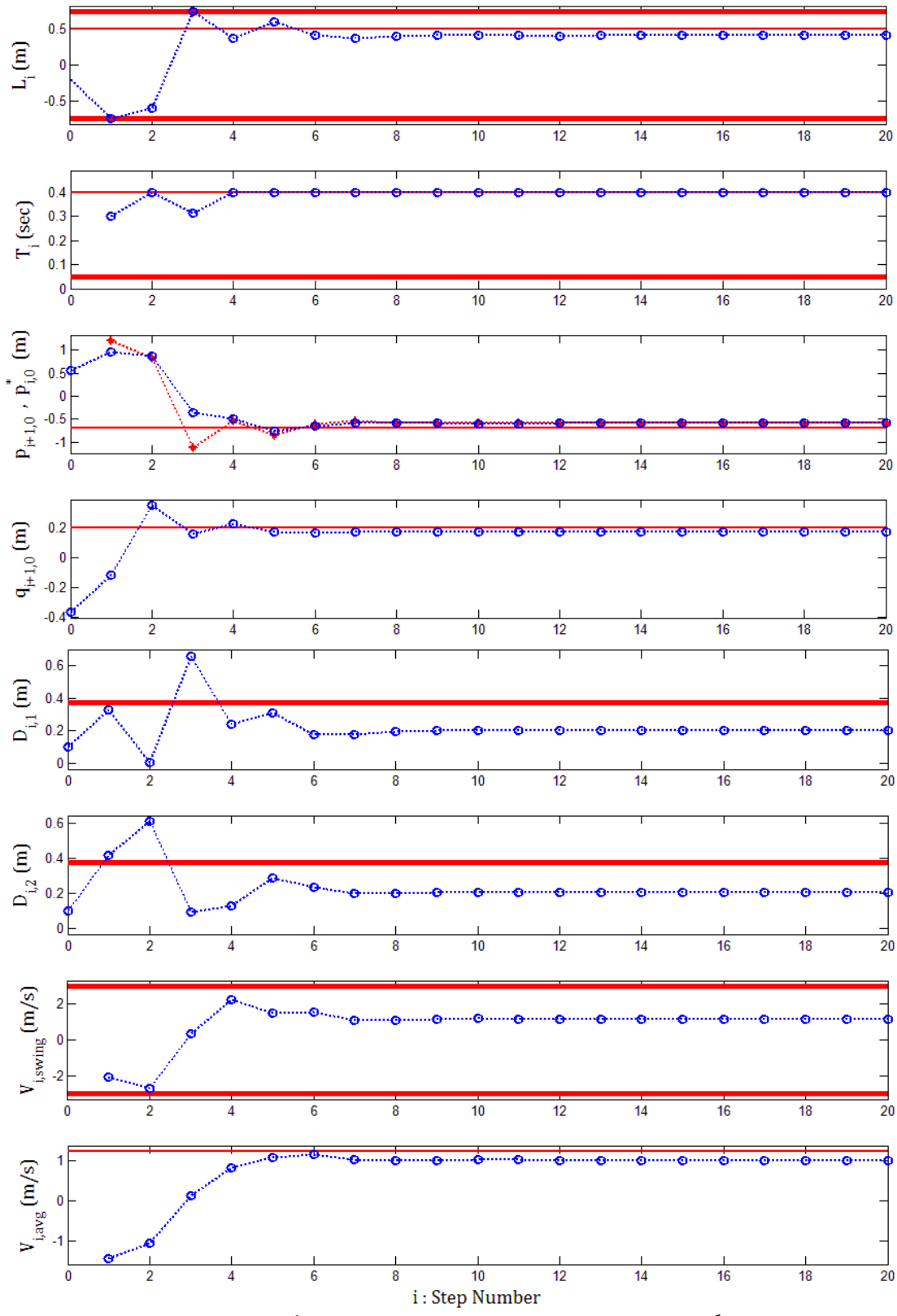
پایدارساز چهارم با شروع از شرایط اولیه پس رونده دور از سیکل، طی شش گام به پایداری کامل حول سیکل پیش‌رونده مطلوب می‌رسد ولی دو قید مسئله بر روی $D_{i,1}$ و $D_{i,2}$ ، تا حد زیادی رعایت نشده است. بنابراین پایدارساز چهارم نیز، با وجود توانایی کنترل شرایط اولیه پس رونده دور از سیکل، قیود مسئله را به درستی رعایت نمی‌کند و از لحاظ عملی این روش برای هدایت حرکت از یک شرایط اولیه پس رونده دور به سمت سیکل حرکتی پیش‌رونده، کارایی ندارد.



شکل ۳۱-۳. صفحه فاز مسیر حرکت مولقه واگرا نسبت به مولقه همگرا برای شبیه‌سازی پایدارساز چهارم سیکل حرکتی بر روی مدل کامل راهرونده با شرایط اولیه دور از سیکل (پس‌رونده) – منحنی ضخیم و کمرنگ مسیر گام آخر را نمایش می‌دهد.



شکل ۳-۳۲-۳. نمودارهای بخش پیوسته معادلات حرکت برای شبیه‌سازی پایدارساز چهارم سیکل حرکتی بر روی مدل کامل راهرونده با شرایط اولیه دور از سیکل (پس‌رونده) – خطوط خصیم، مسیر مطلوب متغیر را نمایش می‌دهند.



شکل ۳-۳. نمودارهای بخش گستته معادلات حرکت برای شبیه‌سازی پایدارساز چهارم سیکل حرکتی بر روی مدل کامل راهروند با شرایط اولیه دور از سیکل (پس‌رونده) – خطوط با ضخامت متوسط و زیاد، به ترتیب مقدار مطلوب متغیر در سیکل حرکتی و محدودیت بالا و یا پایین آن را نمایش می‌دهند.

فصل چهارم

کنترل کننده پایداری بهینه

در فصل قبل با معرفی پایدارسازهای سیکل حرکتی، روشی موثر برای هدایت حرکت به سمت یک سیکل حرکتی مطلوب یافتیم ولی با معرفی مدل فیزیکی دارای قیود واقعی و انجام شبیه‌سازی بر روی آن متوجه شدیم که پایدارسازها الزاماً به رعایت این قیود ندارند و با وجود اینکه برای پایدار کردن شرایط اولیه نزدیک به سیکل، به خوبی عمل می‌کنند، در عمل برای شرایط اولیه‌های مرزی دور از سیکل، نمی‌توانند بر روی راهروند واقعی پیاده‌سازی شوند. در این فصل سعی می‌کنیم به راه حلی دست یابیم که این مشکل را کاملاً برطرف کند.

اگر بخواهیم به محدودیت‌های راهروند واقعی پیردازیم، ناگزیر از جستجو در فضای جواب‌های همگرا در این محدوده خواهیم بود. در این فصل سعی خواهیم کرد با مبنای قراردادن دانش به دست آمده در بخش پایدارسازهای سیکل‌های حرکتی فصل گذشته،تابع شاخص پایداری را تعریف کنیم و سپس با کمینه کردن همزمان آن و رعایت قیود حرکتی، جوابی بهینه برای هدایت مسیر حرکت به سمت یک سیکل حرکتی دلخواه و کنترل پایداری حول آن سیکل بیاییم. روش برنامه‌ریزی خطی پایداری یا کنترل پایداری بهینه، مبتنی بر راهبرد دوم کنترل پایداری است که در آن استفاده از برداشتن گام‌هایی با طول و زمان فروود متغیر برای پایدارسازی حرکت مورد توجه است.

۱-۴ مقدمه‌ای بر روش کنترل پایداری با استفاده از برنامه‌ریزی غیرخطی

اگر برای سادگی بیشتر، نمادهای شرایط اولیه، طول و زمان فرود گام جدیدی (فعلی) را که در صدد برداشتن آن هستیم بدون اندیس گام فرض کنیم و به ترتیب به صورت (p_0, q_0) ، L و T نمایش دهیم و برای شرایط اولیه گام آتی از اندیس ۱+ به صورت $(p_{+1,0}, q_{+1,0})$ استفاده کنیم، معادله حرکت گام به گام به صورت رابطه (۴-۱) قابل بازنویسی است. حال اگر بخواهیم شرایط اولیه گام آتی به مقادیر مطلوبی برسد، سیستم معادلات درجه دومی بر حسب دو کمیت طول و زمان فرود گام جدید، L و T ، به صورت رابطه (۴-۲) نتیجه گیری می شود که در صورت وجود جوابی حقیقی، یک یا دو دسته جواب به صورت رابطه (۴-۳) برای آن قابل تصور است.

$$\begin{cases} p_{+1,0} = p_0 e^{-\omega T} - L \\ q_{+1,0} = q_0 e^{\omega T} - L \end{cases} \quad (1-4)$$

$$\begin{cases} p_{+1,0} = p_{+1,0}^{des} \\ q_{+1,0} = q_{+1,0}^{des} \end{cases} \Rightarrow \begin{cases} q_0 (e^{\omega T})^2 - (q_{+1,0}^{des} - p_{+1,0}^{des}) e^{\omega T} - p_{f,0} = 0 \\ L^2 + (q_{+1,0}^{des} + p_{+1,0}^{des}) L + p_{+1,0}^{des} q_{+1,0}^{des} - p_0 q_0 = 0 \end{cases} \quad (\text{4-4})$$

$$Answer(1) \begin{cases} e^{\omega T_{(1)}} = \frac{(q_{+1,0}^{des} - p_{+1,0}^{des}) - \sqrt{\Delta}}{2q_0} \\ L_{(1)} = \frac{-(q_{+1,0}^{des} + p_{+1,0}^{des}) - \sqrt{\Delta}}{2} \end{cases}, Answer(2) \begin{cases} e^{\omega T_{(2)}} = \frac{(q_{+1,0}^{des} - p_{+1,0}^{des}) + \sqrt{\Delta}}{2q_0} \\ L_{(2)} = \frac{-(q_{+1,0}^{des} + p_{+1,0}^{des}) + \sqrt{\Delta}}{2} \end{cases} \quad (\text{¶-¶})$$

for both answers (1), (2) : $\Delta = (q_{+1,0}^{des} - p_{+1,0}^{des})^2 + 4 p_0 q_0$

بهترین انتخاب برای شرایط اولیه مطلوب گام بعدی، شرایط اولیه سیکل حرکتی مطلوبی است که تصمیم داریم حرکت را به سمت آن سوق داده و پایداری را حول آن برقرار کنیم. با این حال در صورت نزدیک نبودن شرایط اولیه گام فعلی (جدید) حرکت نسبت به شرایط اولیه سیکل حرکتی، یافتن جواب برای این انتخاب مطلوب، به هیچ وجه قابل تضمین نیست (رابطه (۴-۴)، علاوه بر آن، در صورت وجود احتمالی جواب، جواب‌ها باید قیود مسئله از جمله کران بالای طول گام و سرعت را نیز ارضاء کنند که احتمال یافتن جوابی مطلوب را کمتر می‌کند.

$$\begin{cases} p_{+1,0}^{des} = p_c & ? \\ q_{+1,0}^{des} = q_c \end{cases} \Rightarrow (T, L) \quad (\text{F-F})$$

انتخاب دیگری برای شرایط اولیه مطلوب گام بعدی، شرایط اولیه‌ای است که به سمت شرایط اولیه سیکل حرکتی مطلوب همگراست. رابطه (۵-۴)، یک معادله مشخصه تفاضلی درجه اول برای حرکت بر روی مسیری همگرا به سمت شرایط اولیه سیکل حرکتی مطلوب معرفی می‌کند. شرط همگرایی این رابطه قرار گرفتن $K_{1,i}$ و

در بازه $[0, 2]$ است. می‌توان به صورت عددی نشان داد که همواره برای محدوده مشخصی از شرایط اولیه، می‌توان دنباله‌ای از $\{K_{1,i}, K_{2,i}, \dots, K_{1,0}, K_{2,0}, \dots, K_{1,2}, \dots, K_{2,2}\}$ و $\{q_{1,i}^{des}, q_{2,i}^{des}, \dots, q_{1,0}^{des}, q_{2,0}^{des}, \dots, q_{n,0}^{des} = q_c\}$ را یافت که منجر به دنباله‌ای از $\{p_{1,i}^{des}, p_{2,i}^{des}, \dots, p_{1,0}^{des}, p_{2,0}^{des}, \dots, p_{n,0}^{des} = p_c\}$ می‌شوند به نحوی که بازی هر جفت $(p_{i,0}^{des}, q_{i,0}^{des})$ در هر گام، سیستم معادلات (۴-۳) همواره دارای جواب است و قیود مسئله نیز رعایت می‌شوند.

$$\begin{cases} p_{i+1,0}^{des} = p_{i,0}^{des} + K_{1,i}(p_c - p_{i,0}^{des}) \\ q_{i+1,0}^{des} = q_{i,0}^{des} + K_{2,i}(q_c - q_{i,0}^{des}) \end{cases}, \quad p_{1,0}^{des} = p_{1,0}, \quad q_{1,0}^{des} = q_c \quad (5-4)$$

$$\begin{aligned} q_{i+1,0}^{des} - q_c &= (1 - K_{2,i})(q_{i,0}^{des} - q_c) \Rightarrow \frac{q_{i+1,0}^{des} - q_c}{q_{i,0}^{des} - q_c} = (1 - K_{2,i}) \\ q_{i+1,0}^{des} - q_c &= (q_{1,0}^{des} - q_c) \prod_{j=1}^i \frac{q_{i+1,0}^{des} - q_c}{q_{i,0}^{des} - q_c} = (q_{1,0}^{des} - q_c) \prod_{j=1}^i (1 - K_{2,j}) \end{aligned} \quad (6-4)$$

$$\begin{aligned} 0 < K_{2,j} < 2 &\Rightarrow -1 < 1 - K_{2,j} < 1 \Rightarrow |1 - K_{2,j}| < 1 \\ \lim_{i \rightarrow \infty} |q_{i,0}^{des} - q_c| &= |q_{1,0}^{des} - q_c| \lim_{i \rightarrow \infty} \prod_{j=1}^{i-1} |1 - K_{2,j}| = 0 \Rightarrow \lim_{i \rightarrow \infty} q_{i,0}^{des} = q_c \end{aligned} \quad (7-4)$$

این روش، راهکاری کلی برای برنامه‌ریزی غیرخطی سوق دادن حرکت از هر شرایط اولیه دلخواه به سمت شرایط اولیه سیکل حرکتی مطلوب را نشان می‌دهد. اگرچه این فرمول‌بندی برای یافتن جوابی مناسب برای مسئله، قابل کاربرد است ولی دارای کاستی‌هایی است که نمی‌توان از آن برای حل مسئله در حالت کلی استفاده نمود. از جمله اینکه، روشی غیرمستقیم محسوب می‌شود که به جای محاسبه مستقیم متغیرهای مسئله، T و L ، ما را در گیر بررسی وجود جواب و حل معادله درجه دوم (۴-۳) می‌کند که برای استفاده از روش‌های بهینه‌سازی عددی نامناسب است. همچنین الزام پیروی از معادله مشخصه پیشنهادی (۴-۵)، محدودیتی بر مسئله وارد می‌کند که می‌تواند ناحیه کنترل‌پذیر شرایط اولیه را محدود کند. به همین دلیل در بخش بعدی سعی می‌کنیم تابع شاخصی برای حل بهینه مسئله در یک گام بسازیم که در صورت کمینه شدن، هم پایداری را بهینه کند و همزمان همه قیود مسئله را ارضا کند، سپس، با استفاده از بهینه‌سازی غیرخطی به حل این مسئله کنترل کننده پایداری بهینه و شبیه‌سازی آن بر روی مدل فیزیکی کامل راه‌رونده می‌پردازیم.

۲-۴ طرح مسئله کنترل پایداری با استفاده از روش بهینه‌سازی بر روی طول و زمان فرود گام

همانطور که در بخش پایدارسازهای سیکل حرکتی در فصل گذشته دیدیم، شاخص اصلی برای حرکت به سمت یک سیکل حرکتی، همگرا کردن شرایط اولیه مولفه واگرا، $q_{i,0}$ ، به سمت شرایط اولیه مولفه واگرای سیکل حرکتی مطلوب، q_c ، است. با توجه به ویژگی اول در قضیه محدود ماندن شرایط اولیه مولفه همگرا، $p_{i,0}^*$ ، که در ابتدای فصل بررسی شد، این مولفه با برداشتن گام‌های دلخواه متواالی، همواره شرایط اولیه شاخص مولفه همگرا، p_i^* ، را تعقیب می‌کند و نیز با توجه به ویژگی دوم این مولفه، $p_{i,0}$ ، همواره محدود می‌ماند. بنابراین برای سوق‌دادن حرکت راهروند از هر شرایط اولیه دلخواه به سمت یک سیکل حرکتی مطلوب بدون توجه به شرایط اولیه مولفه همگرا، تنها کافی است در هر گام تابع شاخص فاصله بین شرایط اولیه مولفه واگرا در گام بعدی، $q_{+1,0}$ ، و شرایط اولیه مولفه واگرای سیکل حرکتی مطلوب، q_c ، را با توجه به قیود مسئله کمینه‌سازی کنیم. اگر بخواهیم مسئله سوق‌دادن حرکت راهروند از هر شرایط اولیه دلخواه به سمت یک سیکل حرکتی مطلوب را با توجه به قید-های موقعیتی و سرعتی به صورت یک مسئله بهینه‌سازی فرمولبندی کنیم، رابطه (۸-۴)، صورت اولیه آن خواهد بود که بهینه‌کردن شاخص پایداری و رعایت قیود را برای یک گام درنظر می‌گیرد.

$$\min_{L,T} |q_{+1,0} - q_c|, \quad \text{Subject to :}$$

$$\begin{aligned} |L| &< L_{max} \\ |D_1| &< \frac{L_{max}}{2} \\ |D_2| &< \frac{L_{max}}{2} \\ |\bar{V}_{swing}| &< V_{max} \end{aligned} \quad (۸-۴)$$

اگرچه این فرمول بندی به همگرایی مسئله به معنی همگرایی $q_{i,0}$ به سمت q_c و محدود ماندن $p_{i,0}$ منجر خواهد شد ولی هیچ تضمینی برای همگرایی $p_{i,0}$ به سمت p_c و جلوگیری از نوسان کردن نخواهد داد. اگر بار دیگر به ویژگی اول شرایط اولیه مولفه همگرا توجه کنیم که همواره مقدار شاخص خود، p_i^* ، را تعقیب می‌کند و با توجه به اینکه شرایط اولیه شاخص مولفه همگرا p_i^* تابعی از طول و زمان فرود گام است، کمینه‌کردن فاصله طول و زمان فرود هر گام، L و T ، با طول و زمان فرود گام سیکل حرکتی مطلوب، L_c و T_c ، هنگامی که مسیر حرکت به اندازه کافی نزدیک به مسیر حرکتی سیکل مطلوب شده است، می‌تواند به پایدار شدن شرایط اولیه شاخص مولفه همگرا، p_i^* ، و به دنبال آن شرایط اولیه مولفه همگرا، $p_{i,0}$ ، و درنهایت کل حرکت بیانجامد و از نوسان طول و زمان گام‌ها جلوگیری کند. با این حساب اگر بخواهیم فرمول بندی مسئله بهینه‌سازی برای سوق‌دادن حرکت راهروند از هر شرایط اولیه دلخواه به سمت یک سیکل حرکتی مطلوب را با توجه به این دو شاخص جدید اصلاح کنیم، رابطه آن به صورت (۹-۴) خواهد بود که ضرایب این دو شاخص جدید از رابطه (۱۰-۴) پیروی می‌کنند.

همچنین برداشتن قدم‌هایی کوتاه‌تر از نصف طول کف پا برای راهروند نامطلوب است، زیرا تغییر مرکز فشار برای فوایدی کوتاه‌تر از این مقدار، می‌تواند بدون برداشتن گام در مدت زمانی نزدیک به صفر در کف پای تکیه‌گاهی فعلی صورت پذیرد. قید دوم رابطه (۱۰-۴)، بیانگر این خواسته است که درنظر گرفتن یا نگرفتن آن اختیاری خواهد بود.

$$\min_{L, T} r_1 |q_{+1,0} - q_c| + r_2 |L - L_c| + r_3 |T - T_c|, \text{ Subject to:}$$

$$|L| < L_{max}$$

$$|L| > L_{min} \text{ (Optional)}$$

$$|D_1| < \frac{L_{max}}{2} \quad (9-4)$$

$$|D_2| < \frac{L_{max}}{2}$$

$$|\bar{V}_{swing}| < V_{max}$$

$$\begin{aligned} Step Stabilizer: & \begin{cases} r_2 = r_3 > 0 & if |q_0 - q_c| < \epsilon \text{ and } |p_0 - p_c| < E \\ Coefficients: & \begin{cases} r_2 = r_3 = 0 & if |q_0 - q_c| > \epsilon \text{ or } |p_0 - p_c| > E \end{cases} \end{cases} \end{aligned} \quad (10-4)$$

اگرچه روش‌های مختلفی برای حل عددی این مسئله بهینه‌سازی مقید^۱ وجود دارد ولی در این تحقیق به جای استفاده از روش‌های مستقیم مسئله، راهکاری جایگزین به نام روش توان^۲ را استفاده خواهیم کرد که با گنجاندن قیود مسئله در یکتابع شاخص ترکیبی، مسئله را با روش‌های بهینه‌سازی غیرمقید^۳ حل می‌کند. مزیت این راهکار در مقایسه با استفاده از روش‌های مقید، سادگی در پیاده‌سازی، پایین‌آمدن هزینه محاسباتی و از همه مهمتر تضمین سرعت همگرایی بالا در برخی از روش‌های بهینه‌سازی غیرمقید است که در این تحقیق از آن استفاده خواهد شد.

این راهکار به علت سرعت محاسباتی بالا، برای استفاده بر روی راهروند واقعی نیز قابل کاربرد می‌باشد.

¹ Constrained Optimization

² Penalty Method

³ Unconstrained Optimization

۳-۴ تعریفتابع شاخص پایداری ترکیبی برای استفاده از روش‌های بهینه‌سازی غیرمحدود

اگر بخواهیم یک مسئله بهینه‌سازی محدود با قیود نامساوی را به مسئله‌ای غیرمحدود تبدیل کنیم (رابطه (۱۱-۴))، یکی از روش‌های کاربردی، شیوه توانان^۱ است [۳۶]. در این روابط، g_i ها، توابع شاخصی هستند که هدف اصلی مسئله بهینه سازی، جستجو در فضای برداری \mathbf{X} برای نزدیک ساختن مقدار این توابع شاخص به مقدار بهینه خودشان، g_{opt} ها، است.

همچنین در این روابط، h_j ها، توابع قیدی هستند که مقدار این توابع با توجه به جهت‌شان، dir_j ها، باید از مقدار مجاز آنها، $h_{j,ext}$ ها، فراتر برود. h_j ها، درواقع، محدوده فضای برداری \mathbf{X} را برای انجام عملیات جستجو و یافتن جواب مسئله، \mathbf{X}^* ، تعیین می‌کنند.

$$\min_{\mathbf{X}} \sum_{i=1}^n |g_i(\mathbf{X}) - g_{opt}|, \quad i = 1, 2, \dots, n,$$

Subject to: $dir_j * h_j(\mathbf{X}) > h_{j,ext}, \quad j = 1, 2, \dots, m, \quad dir_j = 1 \text{ or } -1$

(۱۱-۴)



$$\min_{\mathbf{X}} U(\mathbf{X}), \quad U(\mathbf{X}) = U(g_1(\mathbf{X}), g_2(\mathbf{X}), \dots, g_n(\mathbf{X}), h_1(\mathbf{X}), h_2(\mathbf{X}), \dots, h_m(\mathbf{X}))$$

در مسئله حاضر، $\mathbf{X} = [T \ L]^T$ می‌باشد. برای رسیدن به تابع شاخصی که کمینه‌سازی آن علاوه بر اینکه منجر به بهینه‌سازی شاخص‌ها می‌شود به رعایت قیود نامساوی مسئله نیز بیانجامد، آن را به صورت ترکیبی از دو نوع تابع هدف^۲ و توانان^۳ به صورت رابطه (۱۲-۴) تعریف می‌کنیم که C در آن ضریب اثر توانان است.

وجود متغیر زمان در این تابع، برای درنظر داشتن جامیت مسئله ذکر شده است، زیرا پارامترهای تابع هدف و تابع قید می‌توانند تابعیتی از زمان نیز داشته باشند (به عنوان مثال استفاده از شرایط اولیه تخمینی به جای شرایط اولیه گام فعلی، تابعیتی از زمان را وارد مسئله می‌کند). با این وجود اما، به علت انجام شدن کل عملیات بهینه‌سازی در یک لحظه کوتاه از زمان، بهینه‌سازی بدون توجه به متغیر زمان انجام می‌شود و در روابط مربوط به بهینه‌سازی تاثیری ندارد.

$$U(T, L, t) = \sum_{i=1}^n R_i \text{GoalFunction}_i(T, L, t) + C \sum_{j=1}^m \text{PenaltyFunction}_j(T, L, t) \quad (۱۲-۴)$$

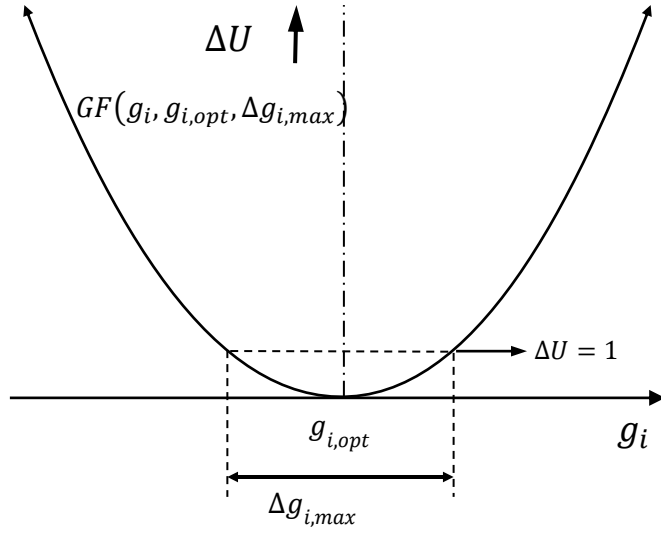
¹ Penalty Method or Penalty Approach

² Goal Functions

³ Penalty Functions

شاخص‌های بهینه سازی را به صورت توابع هدف مرکب رابطه (۱۳-۴) تعریف می‌کنیم که تابعی درجه دوم بر روی فاصله تابع شاخص تا مقدار بهینه خود است. مقدار این تابع درجه دوم هنگامی که تابع شاخص بر روی مقدار بهینه خود است، صفر می‌باشد و با دور شدن تابع شاخص از مقدار بهینه خود، به صورت درجه دوم زیاد می‌شود تا در فاصله‌ای از مقدار بهینه به نام حاشیه بیشینه، $\Delta g_{i,max}$ ، برابر واحد گردد و با فرا رفتن از این حاشیه مقدار آن از واحد تجاوز می‌کند. شکل ۱-۴، بیانگر تعریف این تابع هدف مرکب است.

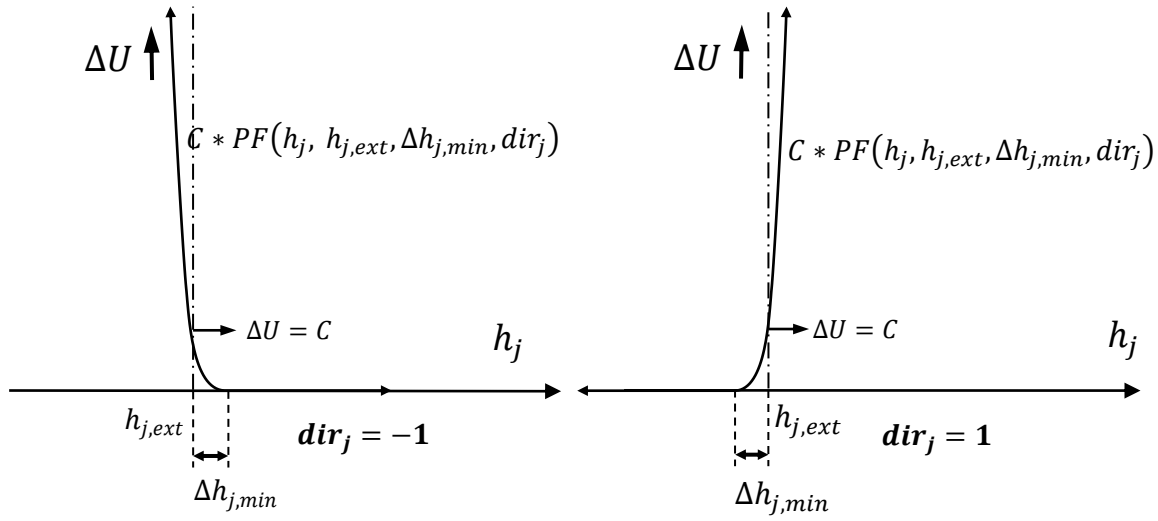
$$\begin{aligned} GoalFunction_i(T, L, t) &= GF(g_i(T, L, t), g_{i,opt}, \Delta g_{i,max}) = GF(T, L, t, i) \\ GF(g_i(T, L, t), g_{i,opt}, \Delta g_{i,max}) &= \frac{1}{2} \frac{(g_i(T, L, t) - g_{i,opt})^2}{\Delta g_{i,max}^2} \end{aligned} \quad (13-4)$$



شکل ۱-۴. تعریف تابع هدف به صورتی تابعی مربعی بر روی فاصله هر تابع شاخص از مقدار بهینه خود

قیود مسئله را نیز به صورت توابع توان مرکب رابطه (۱۴-۴) تعریف می‌کنیم که تابعی درجه دوم و یک طرفه بر روی میزان فرارفتن تابع قید از مقدار مجاز حداقل یا حداقل خود است. مقدار این تابع درجه دوم، در فاصله کوچکی قبل از رسیدن تابع قید به مقدار مجاز خود به نام حاشیه کمینه، $\Delta h_{j,min}$ ، صفر است و هنگامی که تابع قید به روی مقدار مجاز خود می‌رسد، برابر واحد می‌گردد و با فرارفتن تابع قید از این مقدار مجاز، با نرخی مربعی زیاد می‌شود. شکل ۲-۴ بیانگر تعریف این تابع توان مرکب است.

$$\begin{aligned} PenaltyFunction_j(T, L, t) &= PF(h_j(T, L, t), h_{j,ext}, \Delta h_{j,min}, dir_j) = PF(T, L, t, j) \\ PF(h_j(T, L, t), h_{j,ext}, \Delta h_{j,min}, dir_j) &= \frac{1}{2} \max \left(0, 1 + dir_j \frac{h_j(T, L, t) - h_{j,ext}}{\Delta h_{j,min}} \right)^2 \end{aligned} \quad (14-4)$$



شکل ۲-۴. تعریف توابع توان به صورتی تابعی مربعی و یکطرفه بر روی فرارفتن هر تابع قید از مقدار مجاز کمینه یا بیشینه خود

برای استفاده از روش های بهینه سازی عددی در مسئله حاضر، نیاز به مشتق های اول و دوم تابع شاخص ترکیبی خواهیم داشت که با استفاده از رابطه مشتق گیری زنجیره ای، از روابط (۱۵-۴)، (۱۶-۴)، (۱۷-۴) و (۱۸-۴) محاسبه می شوند که x و y در این روابط، هر یک می توانند با L و یا T جایگزین شود.

$$\frac{\partial U}{\partial x} = \frac{\partial}{\partial X} \left(\sum_{i=1}^n R_i \text{GoalFunction}_i(T, L, t) + C \sum_{j=1}^m \text{PenaltyFunction}_j(T, L, t) \right) \quad (15-4)$$

$$\frac{\partial U}{\partial x} = \sum_{i=1}^n R_i GF'_i(T, L, t, i) \frac{\partial g_i}{\partial x} + C \sum_{j=1}^m PF'_j(T, L, t, j) \frac{\partial h_j}{\partial x}$$

$$\frac{\partial^2 U}{\partial x \partial y} = \sum_{i=1}^n GF'_i(T, L, t, i) \frac{\partial^2 g_i}{\partial x \partial y} + GF''_i(T, L, t, i) \left(\frac{\partial g_i}{\partial x} \right) \left(\frac{\partial g_i}{\partial y} \right) \quad (16-4)$$

$$+ C \sum_{j=1}^m PF'_j(T, L, t, j) \frac{\partial^2 h_j}{\partial x \partial y} + PF''_j(T, L, t, j) \left(\frac{\partial h_j}{\partial x} \right) \left(\frac{\partial h_j}{\partial y} \right)$$

$$GF'(g_i(T, L, t), g_{i,opt}, \Delta g_{i,max}) = \frac{(g_i(T, L, t) - g_{i,opt})}{\Delta g_{i,max}^2} \quad (17-4)$$

$$GF''(g_i(T, L, t), g_{i,opt}, \Delta g_{i,max}) = \frac{1}{\Delta g_{i,max}^2}$$

$$\begin{aligned}
 PF'(h_j(T, L, t), h_{j,ext}, \Delta h_{j,min}, dir_j) \\
 = \frac{dir_j}{\Delta h_{j,min}} \max\left(0, 1 + dir_j \frac{h_i(T, L, t) - h_{j,ext}}{\Delta h_{j,min}}\right) \\
 PF''(h_j(T, L, t), h_{j,ext}, \Delta h_{j,min}, dir_j) \\
 = \frac{1}{2} \left(\frac{dir_j}{\Delta h_{j,min}} \right)^2 \left(1 + \text{sign}\left(1 + dir_j \frac{h_j(T, L, t) - h_{j,ext}}{\Delta h_{j,min}}\right) \right)
 \end{aligned} \tag{۱۸-۴}$$

با به دست آمدن مولفه‌های مشتق اول و دوم تابع، بردار گرادیان و ماتریس هسیان برای مسئله ما به صورت روابط محاسبه می‌شوند که در ادامه از آن استفاده خواهیم کرد.

$$\nabla U(T, L) = \begin{bmatrix} \frac{\partial U}{\partial T} & \frac{\partial U}{\partial L} \end{bmatrix}^T, \quad \nabla^2 U(T, L) = \begin{bmatrix} \frac{\partial^2 U}{\partial T^2} & \frac{\partial U}{\partial T \partial L} \\ \frac{\partial^2 U}{\partial T \partial L} & \frac{\partial^2 U}{\partial L^2} \end{bmatrix} \tag{۱۹-۴}$$

۴-۴ روش‌های عددی بهینه‌سازی غیرخطی غیر مقید

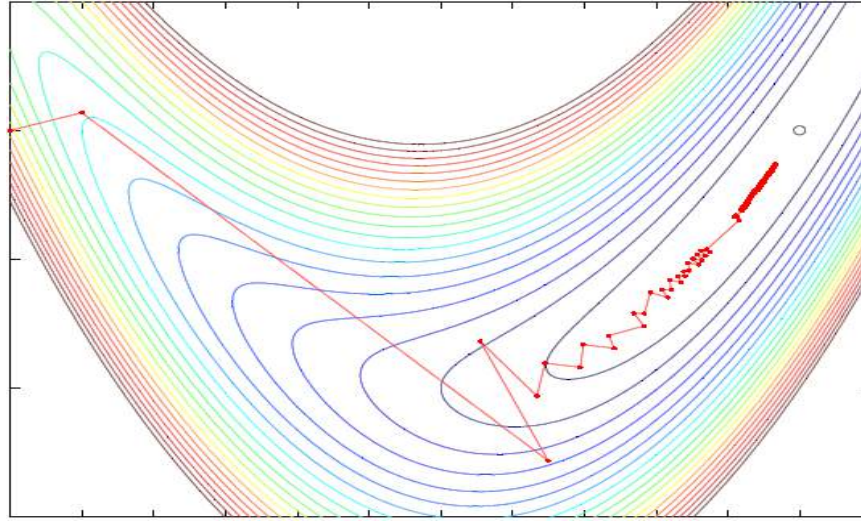
فرض کنیم تابع حقیقی اسکالر U بر فضای حقیقی برداری X عمل می‌کند. موضوع اصلی بهینه‌سازی غیر مقید، یافتن $X = X^*$ خواهد بود که بازی آن (X^*) دارای کمترین مقدار در برد خود باشد. رابطه (۲۰-۴) یک مسئله کلی غیر مقید را نمایش می‌دهد. روش‌های عددی سعی می‌کنند از طریق یک الگوریتم تکرارشونده و با انجام تعداد تکرار متناهی از هر نقطه دلخواه به این نقطه بهینه برسند. هزینه محاسباتی و سرعت همگرایی دو معیار مهم برای سنجش عملکرد این روش‌هاست. در ادامه دو روش اصلی در این مبحث را شرح می‌دهیم و از روش نیوتون برای حل مسئله با توجه به مزایای آن استفاده خواهیم کرد. در این قسمت به بررسی روش‌های عددی بهینه‌سازی غیرخطی غیر مقید بر اساس مرجع [۳۷] خواهیم پرداخت.

$$\underset{X}{\text{Min}} U(X), \quad U(X) \in \mathbf{R}, \quad X \in \mathbf{R}^n \tag{۲۰-۴}$$

۱-۴-۴ روش بیشترین شیب نزولی یا کاهش گرادیانی^۱

این روش، در واقع بهینه‌سازی مرتبه اول است که بر اساس تخمین درجه اول بسط تیلور تابع به دست می‌آید. اگر مقدار تابع را در همسایگی نقطه‌ای از دامنه تابع که اکنون در آن قرار گرفته‌ایم را با بسط تیلور درجه اول برابر بدانیم، به ازای حرکتی در فضای دامنه با گامی کوچک و در خلاف جهت بردار گرادیان تابع در این نقطه، می‌توان انتظار داشت که مقدار تابع بر اساس رابطه (۲۱-۴) کاهش پیدا کند. بدیهی است، صحت این روش، به کوتاه بودن گام‌های جستجو بستگی دارد زیرا بسط درجه اول تیلور تخمین مناسبی برای گام‌های کوتاه در توابع غیرخطی است. اگرچه استفاده از روش جستجو خطی که در ادامه شرح داده می‌شود، عملکرد روش بیشترین شیب نزولی را تا حدی بهبود می‌بخشد ولی مشخصات کلی این روش مزیت در هزینه محاسباتی پایین و عیوب در سرعت همگرایی پایین است که میزان سرعت همگرایی آن قابل محاسبه یا اثبات نیست و به همین جهت برای مقاصد کنترلی که نیاز به سرعت محاسباتی بالا دارد، مناسب نیست. شکل ۳-۴، اجرای این الگوریتم بر روی یک تابع مربعی نمونه در فضای دو بعدی را نشان می‌دهد.

$$\begin{aligned} U(\mathbf{X} + \Delta\mathbf{X}) &= U(\mathbf{X}) + \nabla U(\mathbf{X})^T \Delta\mathbf{X} \\ \Delta\mathbf{X} = -\alpha \nabla U(\mathbf{X}) \Rightarrow U(\mathbf{X} + \Delta\mathbf{X}) &= U(\mathbf{X}) - \alpha \|\nabla U(\mathbf{X})\|^2 < U(\mathbf{X}), \quad 0 < \alpha \ll 1 \quad (21-4) \\ \mathbf{X}_{k+1} &= \mathbf{X}_k - \alpha_k \nabla U_k \end{aligned}$$



شکل ۳-۴: نمایش گرافیکی الگوریتم بهینه‌سازی غیرمحدود بیشترین شیب نزولی بر روی یک تابع مربعی نمونه در فضای دو بعدی

^۱ Steepest Descent or Gradient Descent

۲-۴-۴ روش نیوتن^۱

این روش، در واقع بهینه‌سازی مرتبه دوم است که بر اساس تخمین درجه دوم بسط تیلور تابع به دست می‌آید. اگر مقدار تابع را در همسایگی نقطه‌ای از دامنه تابع که اکنون در آن قرار گرفته‌ایم را با بسط تیلور درجه دوم برابر بدانیم، تغییرات بردار گرادیان به صورت رابطه (۲۲-۴) خواهد بود. صفر شدن بردار گرادیان به معنی، قرارداشتن تابع در نقطه حداقل (و یا حداکثر) خود خواهد بود، بنابراین با صفر قرار دادن بردار گرادیان تخمینی در همسایگی نقطه‌ای که هم‌اکنون در آن قرار گرفته‌ایم، گامی دارای جهت و طول مشخص به دست می‌آید که با برداشتن آن گام در نقطه کنونی (رابطه (۲۳-۴))، می‌توان انتظار داشت که مقدار گرادیان تابع بر اساس الگوریتم تکرارشونده رابطه (۲۲-۴) تقریباً برابر با صفر شود و یا به صفر نزدیک شود. در عمل، به دلیل تخمینی بودن این روابط، همواره ضریبی مثبت از این گام که کوچکتر و یا برابر واحد باشد، به صورت رابطه (۲۴-۴) استفاده می‌شود.

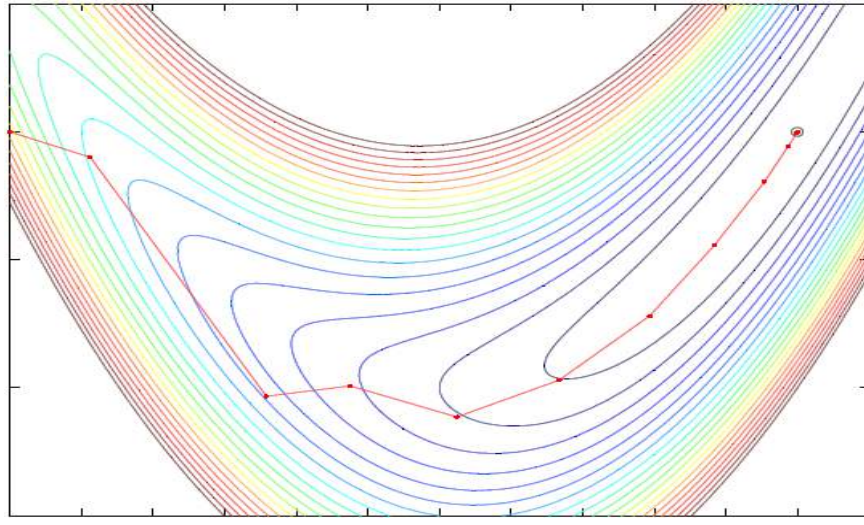
$$\begin{aligned} U(X + \Delta X) &= U(X) + \nabla U(X)^T \Delta X + \Delta X^T \nabla^2 U(X) \Delta X \\ \nabla U(X + \Delta X) &= \nabla U(X) + \nabla^2 U(X) \Delta X \\ \nabla U(X + \Delta X) = 0 &\Rightarrow \Delta X = -\nabla^2 U(X)^{-1} \nabla U(X) \end{aligned} \quad (22-4)$$

$$X_{k+1} = X_k - \nabla^2 U(X_k)^{-1} \nabla U(k) \quad (23-4)$$

$$X_{k+1} = X_k - \alpha_k \nabla^2 U(X_k)^{-1} \nabla U(X_k), \quad 0 < \alpha_k \leq 1 \quad (24-4)$$

این روش نسبت به روش قبلی دارای این مزیت است که گام‌هایی به نسبت بزرگتر را می‌تواند پیماید زیرا مبتنی بر بسط درجه دوم تیلور است که تخمینی غیرخطی از توابع غیرخطی است. همچنین استفاده از روش جستجوی خطی که در ادامه شرح داده می‌شود، عملکرد روش نیوتون را تقویت می‌کند. مشخصات کلی این روش عیب در هزینه محاسباتی نسبتاً بالا و مزیت در سرعت همگرایی بسیار بالا است که نرخ همگرایی مربعی آن قابل محاسبه و اثبات است و به همین جهت گزینه‌ای بسیار مناسب برای مقاصد کنترلی است. شکل ۴-۴، اجرای این الگوریتم بر روی یک تابع مربعی در فضای دو بعدی را نشان می‌دهد. همچنین استفاده از این روش با استفاده از این رابطه اولیه، در برخی مسائل منجر به بروز اشکالی در جهت حرکت می‌شود که به جای حرکت در جهت نزولی، منجر به حرکتی صعودی می‌شود. این عیب با استفاده از اصلاح‌کننده جهت که در ادامه شرح داده خواهد شد، قابل رفع است.

¹ Newton's Method in optimization



شکل ۴-۴. نمایش گرافیکی الگوریتم بهینه‌سازی غیرمحدود نیوتن بر روی یک تابع مربعی نمونه در فضای دوبعدی

۳-۴-۴ جستجوی خطی^۱ در جهت حرکت^۲

پس از یافتن جهت حرکت توسط هر یک از دو روشی که ذکر شد، محاسبه طول گامی که می‌تواند مقدار تابع را در این جهت کمینه کند نیز می‌تواند به بالابدن سرعت همگرایی کمک کند. اگرچه روش نیوتن، خود طول گامی با ضریب واحد را توصیه می‌کند ولی به علت تخمینی بودن روابطی که این روش‌ها بر آن پایه‌ریزی شده‌اند، ترجیح می‌دهیم برای هر دو روش، جستجویی خطی در جهت حرکت برای یافتن بهترین طول گام انجام دهیم. اگر جهت حرکت، P_k ، را بر هر یک از این روش‌ها به صورت روابط (۲۵-۴) درنظر بگیریم، مسئله جستجوی خطی با تعریف تابع $\varphi(\alpha)$ ، به صورت رابطه (۲۶-۴) قابل بیان است. این مسئله در شکل ۴-۵ نمایش داده شده است.

Steepest Descent search direction: $P_k = -\nabla U_k$

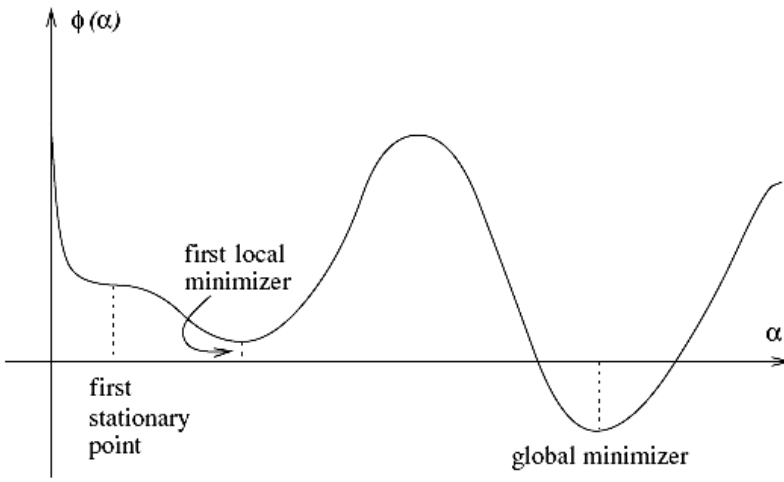
Newton's Method search direction: $P_k = -\nabla^2 U_k^{-1} \nabla U_k$ (۲۵-۴)

$$X_{k+1} = X_k + \alpha_k P_k$$

$$\varphi(\alpha) = U(X_k + \alpha P_k) \Rightarrow \text{Line Search: } \underset{\alpha}{\text{Min}} \varphi(\alpha) \quad (26-4)$$

¹ Line Search

² Search Direction



شکل ۴-۵. تابع جستجوی غیرخطی به عنوان تابعی از پارامتر ضریب طول گام

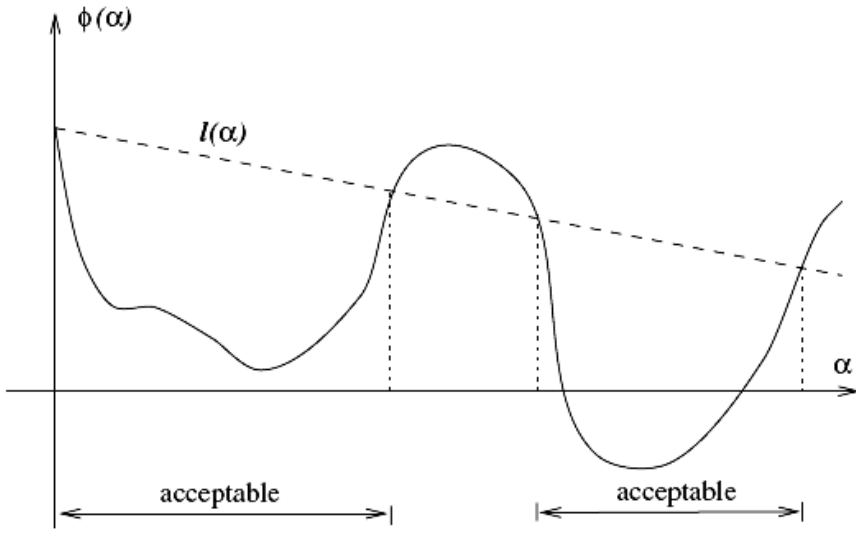
- شرایط ولف^۱

در مسئله جستجوی خطی، شرایط حداقلی را بیان می‌کند که در صورت رعایت آن، همگرایی مسئله در روش بیشترین شب نزولی و نرخ همگرایی مربعی در روش نیوتون تضمین خواهد شد. اگر تابعی خطی بر حسب α به صورت رابطه $l(\alpha) = U(X_k) + c_1 \alpha \nabla U_k^T P_k$ (که c_1 در آن، یک ضریب کوچک و در عمل نزدیک به 10^{-4} است)، را در نظر بگیریم، شرط اول از دو شرط ولف بیان می‌کند که باید طول گام را در بازه‌ای یافت که $\varphi(\alpha)$ در آن کوچکتر یا مساوی $|l(\alpha)|$ باشد تا کاهشی کافی در مقدار تابع اتفاق بیافتد. این شرط به صورت نامعادله (1) (رابطه ۲۷-۴) قابل بیان است و عملکرد آن به صورت نمادین در شکل ۶-۴ نمایش داده شده است. رعایت این شرط به تنها بی ممکن است منجر به برداشتن گام‌هایی کوتاه شود که سرعت همگرایی را کاهش می‌دهد و مطلوب نیست.

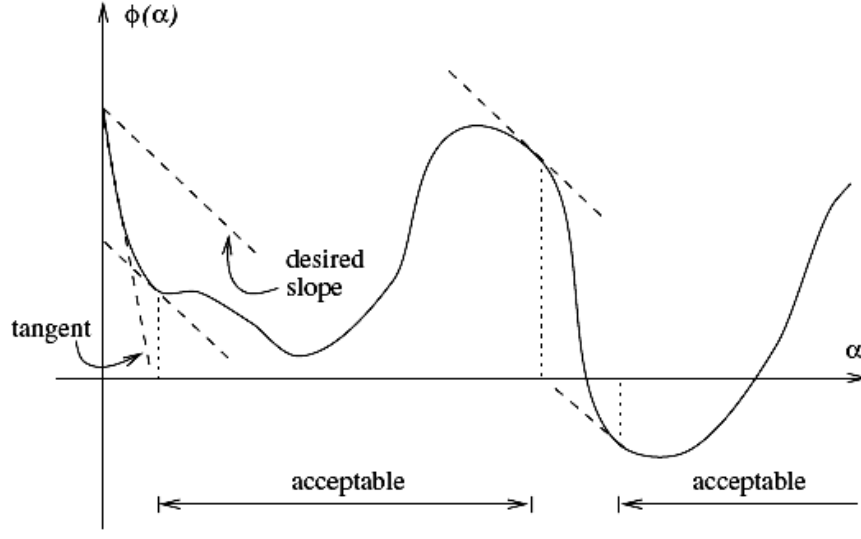
نامعادله (2) در این رابطه، شرط دوم ولف یا شرط خمیدگی است که برداشتن طول گامی در بازه‌هایی که این شرط را ارضاء نکند، حرکت گرادیان تابع در جهت مثبت را تضمین خواهد کرد که در نتیجه آن، از برداشتن گام‌هایی کوتاه جلوگیری خواهد شد. عملکرد نمادین شرط دوم در شکل ۷-۴ و عملکرد همزمان هردو شرط ولف در شکل ۸-۴ نمایش داده شده است.

$$\begin{aligned} \text{Wolf} \\ \text{Conditions} &: \begin{cases} (1) \text{sufficient decrease: } U(X_k + \alpha_k P_k) \leq U(X_k) + c_1 \alpha_k \nabla U_k^T P_k \\ (2) \text{curvature condition: } \nabla U(X_k + \alpha_k P_k)^T P_k \geq c_2 \nabla U_k^T P_k \end{cases} \quad (27-4) \\ 0 < c_1 < c_2 < 1 \end{aligned}$$

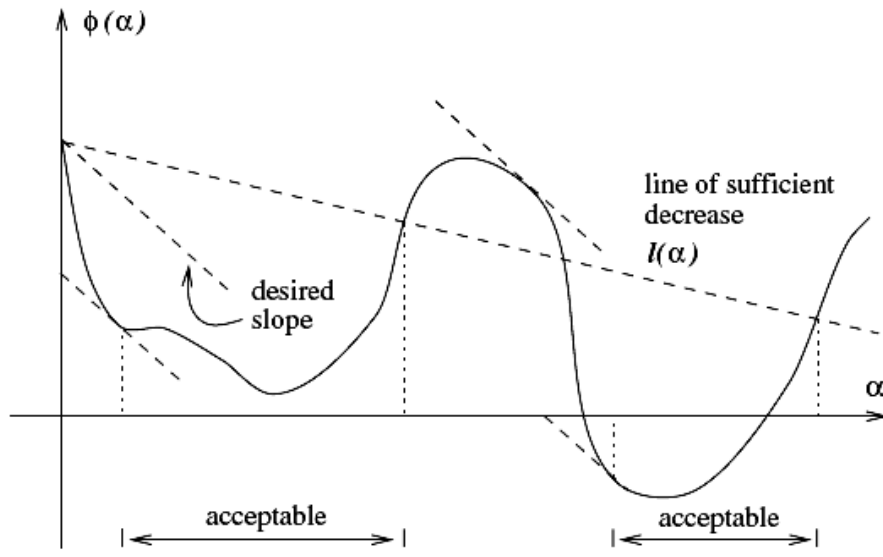
¹ Wolf Conditions



شکل ۶-۴. عملکرد نمادین شرط اول ول夫 (شرط کاهش کافی)



شکل ۷-۴. عملکرد نمادین شرط دوم ول夫 (شرط خمیدگی)



شکل ۸-۴ عملکرد نمادین همزمان شرط اول و دوم ول夫 (شرط کاهش کافی و شرط خمیدگی)

یک شرط جایگزین محدود کننده‌تر که می‌تواند سرعت همگرایی را افزایش بدهد، شرایط سخت‌گیرانه ول夫 در رابطه (۲۸-۴) است که تفاوت آن با شروط معمول ول夫 در بیانی سخت‌گیرانه‌تر از شرط دوم یا شرط خمیدگی است. برداشتن گام در بازه‌هایی که این شرط را ارضابکند، نزدیک شدن گرادیان تابع به سمت صفر را تضمین می‌کند که همان خواسته اصلی در بهینه‌سازی است. با این حال، به علت کافی بودن شرایط معمول ول夫 برای تضمین همگرایی و همچنین به دلیل ترس از کم شدن احتمال یافتن جواب و یا بالا بردن زمان محاسبات، این شرط جایگزین، کمتر مورد استفاده قرار می‌گیرند.

$$\begin{aligned} \text{Strong} \\ \text{Wolf} \\ \text{Conditions} & : \begin{cases} (1) \text{sufficient decrease: } U(X_k + \alpha_k P_k) \leq U(X_k) + c_1 \alpha_k \nabla U_k^T P_k \\ (2) \text{curvature condition: } |\nabla U(X_k + \alpha_k P_k)^T P_k| \leq c_2 |\nabla U_k^T P_k| \end{cases} \quad (28-4) \\ 0 < c_1 < c_2 < 1 \end{aligned}$$

- الگوریتم جستجو به عقب^۱ برای روش نیوتن

استفاده از این الگوریتم جستجوی خطی که با شرط اول ول夫 کار می‌کند، در روش نیوتن می‌تواند ما را از بررسی شرط دوم بی‌نیاز کند. از آنجا که روش نیوتن خود گامی با ضریب واحد را پیشنهاد می‌کند، جستجو بر روی تابع به صورت برگشت از ضریب واحد به سمت صفر، همزمان هم کاهش تابع و هم بزرگ بودن طول گام را

^۱ Backtracking Algorithm

تضمين می کند و در عمل شیوه‌ای بسیار مفید برای جستجوی خطی در روش نیوتن است. این الگوریتم ساده به صورت الگوریتم رابطه (۲۹-۴) بیان می شود.

Backtracking Algorithm (to oblige wolf conditions for Newton's Method)

Choose α in $0 < \alpha \leq 1$ e.g. $\alpha \leftarrow 1$
Choose ρ in $0 < \rho < 1$ e.g. $\rho \leftarrow 0.9$
Choose c_1 in $0 < c_1 \ll 1$ e.g. $c_1 \leftarrow 10^{-4}$
repeat until $U(X_k + \alpha P_k) \leq U(X_k) + c_1 \alpha \nabla U_k^T P_k$
 $\alpha \leftarrow \rho \alpha$
end(repeat)
terminate with $\alpha_k = \alpha$

(۲۹-۴)

• زاویه بین جهت حرکت با جهت حرکت دارای بیشترین شب نزولی^۱ برای روش نیوتون

همانطور که در روش نیوتون مطرح شد، اشکال این روش این است که می تواند منجر به حرکت در جهت صعودی شود، زیرا این روش تمايلی یکسان برای حرکت به سمت نقاطی دارای گرادیان صفر از جمله نقاط کمینه، بیشینه یا زین اسبی^۲ دارد که البته تنها می تواند به سمت نقاط بیشینه یا کمینه همگرا شود. همواره با مقایسه زاویه جهت حرکت الگوریتم با جهت معکوس بردار گرادیان که همان جهت بیشترین شب نزولی است، شرط حرکت نزولی را می توان به صورت رابطه (۳۰-۴) نوشت. اگر همواره زاویه مابین جهت حرکت با این جهت حاده بماند، آنگاه می توان اطمینان داشت که حرکت صعودی نخواهد بود.

Optimization Method search direction: P_k

Steepest Descent search direction: $-\nabla U_k$

(۳۰-۴)

$$\cos(\theta_k) = \frac{-\nabla U_k^T P_k}{\|\nabla U_k\| \|P_k\|}, \quad -90 < \theta_k < 90 \text{ or } \cos(\theta_k) > 0$$

به عنوان مثال برای روش نیوتون با توجه به رابطه (۳۱-۴)، اگر معکوس یا خود ماتریس هسیان^۳ مثبت معین باشد، همواره حرکت نزولی نتیجه می شود، در غیر این صورت، نیاز است تا جهت حرکت این روش اصلاح شود.

¹ Steepest Descent Direction

² Saddle Point

³ Hessian Matrix

$$\begin{aligned} \text{Newton's Method search direction: } \mathbf{P}_k &= -\nabla^2 \mathbf{U}_k^{-1} \nabla \mathbf{U}_k \\ \nabla^2 \mathbf{U}_k > 0 \Rightarrow \cos(\theta_k) &= \frac{-\nabla \mathbf{U}_k^T (-\nabla^2 \mathbf{U}_k^{-1} \nabla \mathbf{U}_k)}{\|\nabla \mathbf{U}_k\| \|\mathbf{P}_k\|} > 0 \end{aligned} \quad (31-4)$$

۴-۴-۴ روش اصلاح شده نیوتون^۱ برای تضمین حرکت در جهت نزولی

اگر بخواهیم از نزولی بودن حرکت در روش نیوتون مطمئن شویم باید در صورت منفی شدن ماتریس هسیان، $\nabla^2 U(X_k)$ ، ماتریسی مثبت معین، B_k ، که نزدیک به آن است را جایگزینش کنیم. یک از این روش‌ها، روش اصلاح مقادیر ویژه است که توسط رابطه (۳۲-۴) بیان می‌شود. روش‌های جایگزین دیگری نیز برای این اصلاح وجود دارد که در مسئله ما به علت کوچک بودن حجم ماتریس، نیازی به استفاده از آن نیست. همچنین به جای اصلاح ماتریس هسیان، روش‌های دیگری با نام کلی روش‌های شبه‌نیوتونی^۲ از جمله $SR1$ ، DFP و $BFGS$ ، نیز وجود دارند که این ماتریس را با استفاده از یک دنباله ریاضی و با ماتریسی مثبت معین، تخمین می‌زنند.

$$\begin{aligned} P_i &= -B_k^{-1} \nabla \mathbf{U}_k \\ X_{k+1} &= X_k + \alpha_k P_k \\ \nabla^2 U(X_k)_{n \times n} &= Q \Lambda Q^T = \sum_{i=1}^n \lambda_i q_i q_i^T \\ \Rightarrow B_k &= \sum_{i=1}^n \max(\lambda_i, \lambda_{min}) q_i q_i^T, \quad \lambda_{min} > 0 \text{ e.g. } \lambda_{min} = 10^{-8} \end{aligned} \quad (32-4)$$

۵-۴ شبیه‌سازی کننده پایداری بینه بر روی مدل فیزیکی ربات راه‌رونده

۱-۵-۴ بازنویسی توابع شاخص و توابع قید مسئله برای حل به شیوه تاوان

برای حل مسئله به شیوه تاوان، می‌توان توابع هدف و توابع قید مسئله را به همراه پارامترهای هریک به ترتیب به صورت روابط (۳۳-۴) و (۳۴-۴) بازنویسی کرد.

$$g_1 = q_{+1,0} = q_0 e^{\omega T} - L, \quad g_{1,opt} = q_c \quad (33-4)$$

¹ Modified-Newton Method

² Quasi-Newton Methods

$$g_2 = T , \quad g_{2,opt} = T_c$$

$$g_3 = L , \quad g_{3,opt} = L_c$$

$$h_1 = L^2 , \quad h_{1,ext} = L_{max}^2 , \quad dir_1 = -1$$

$$h_2 = L^2 , \quad h_{2,ext} = L_{min}^2 , \quad dir_2 = 1$$

$$h_3 = D_1(L, T)^2 = \left(\frac{p_0 e^{-\omega T} + q_0 e^{\omega T}}{2} \right)^2 , \quad h_{3,ext} = \left(\frac{L_{max}}{2} \right)^2 , \quad dir_3 = -1$$

$$h_4 = D_2(L, T)^2 = \left(L - \frac{p_0 e^{-\omega T} + q_0 e^{\omega T}}{2} \right)^2 , \quad h_{4,ext} = \left(\frac{L_{max}}{2} \right)^2 , \quad dir_4 = -1 \quad (34-4)$$

$$h_5 = \bar{V}_{swing}(L, T)^2 = \left(\frac{L_{-1} + L - \frac{(p_0 e^{-\omega T} + q_0 e^{\omega T}) - (p_0 + q_0)}{2}}{T - T_0} \right)^2$$

$$, \quad h_{5,ext} = V_{max}^2 , \quad dir_5 = -1$$

۲-۵-۴ نتایج شبیه‌سازی کنترل کننده پایداری بهینه بر روی مدل فیزیکی کامل را دروند

با توجه با نارسایی پایدارسازهای حرکتی در ناتوانی از همگرا نمودن شرایط اولیه دور از سیکل و عدم رعایت کامل قیدهای مسئله برای شرایط مسئله محک، همچنین عدم رعایت قیود برای مسئله هدایت حرکت از شرایط اولیه پس‌روندۀ دور از سیکل به سمت یک سیکل حرکتی پیش‌روندۀ انتظار داریم کنترل پایداری بهینه بتواند بر این نارسایی‌ها فائق آید. به همین جهت شبیه‌سازی این کنترل کننده را یک بار برای شرایط مسئله محک و یک بار برای سوق‌دادن حرکت پس‌روندۀ به سمت سیکل پیش‌روندۀ انجام می‌دهیم و نتایج به دست آمده را بررسی خواهیم کرد.

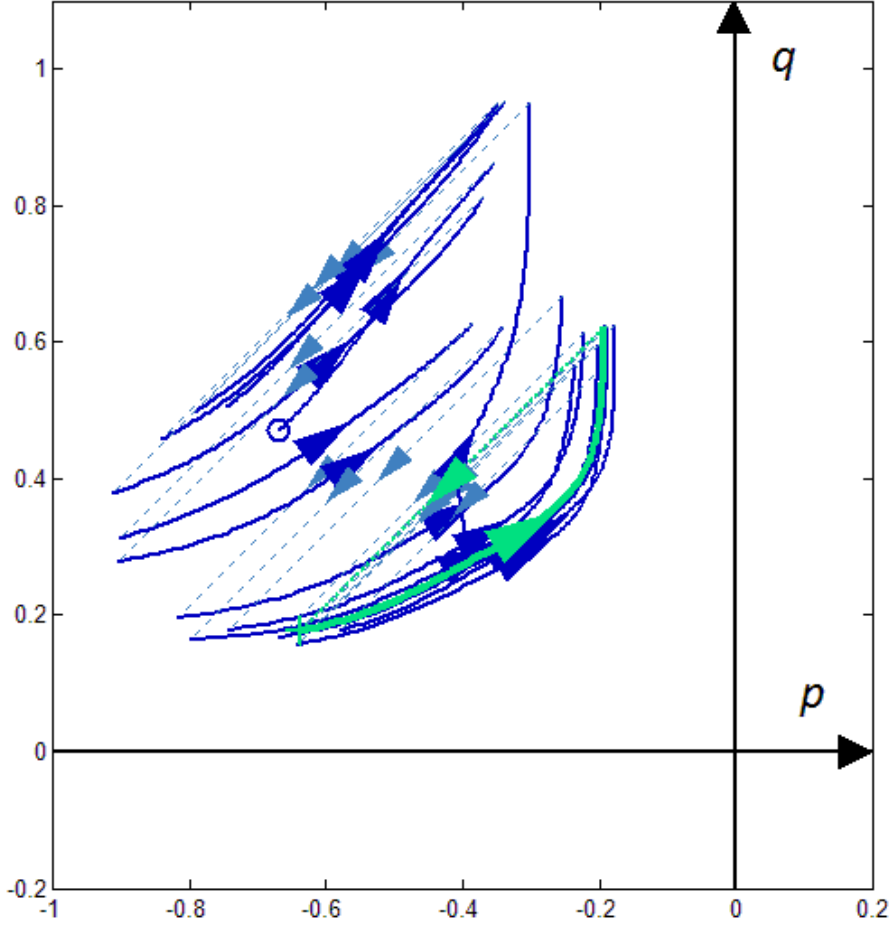
• شبیه‌سازی کنترل کننده پایداری بهینه بر روی مدل کامل با شرایط مسئله محک

نتایج به صورت مسیر حرکت مولفه واگرا به همگرا در صفحه فاز شکل ۹-۴ نمایش داده شده است. برای بخش پیوسته معادلات حرکت، نمودارهای شکل ۱۰-۴، متغیرهای سیستم از جمله سرعت و شتاب حرکت در راستای افقی (d^2x/dt^2 و dx/dt)، موقعیت عمودی (y) و زاویه بالاتنه (θ) را به همراه متغیرهای کنترلی نیروهای افقی و عمودی و گشتاور بالاتنه ($T_z^{control}$ ، $F_x^{control}$ و $F_y^{control}$)، نمایش می‌دهند. همچنین ضریب اصطکاک مورد نیاز ($\mu_{required}$) برای تامین نیروهای کنترلی این حرکت، به صورت نموداری بر حسب زمان مشخص شده است. برای بخش گسسته معادلات حرکت، نمودارهای شکل ۱۱-۴، متغیرهای کنترلی از جمله طول و زمان فرود هرگام (L_i و T_i) با کرانهای بالا و پایین هریک (T_{min} و L_{max}) را به همراه متغیرهای

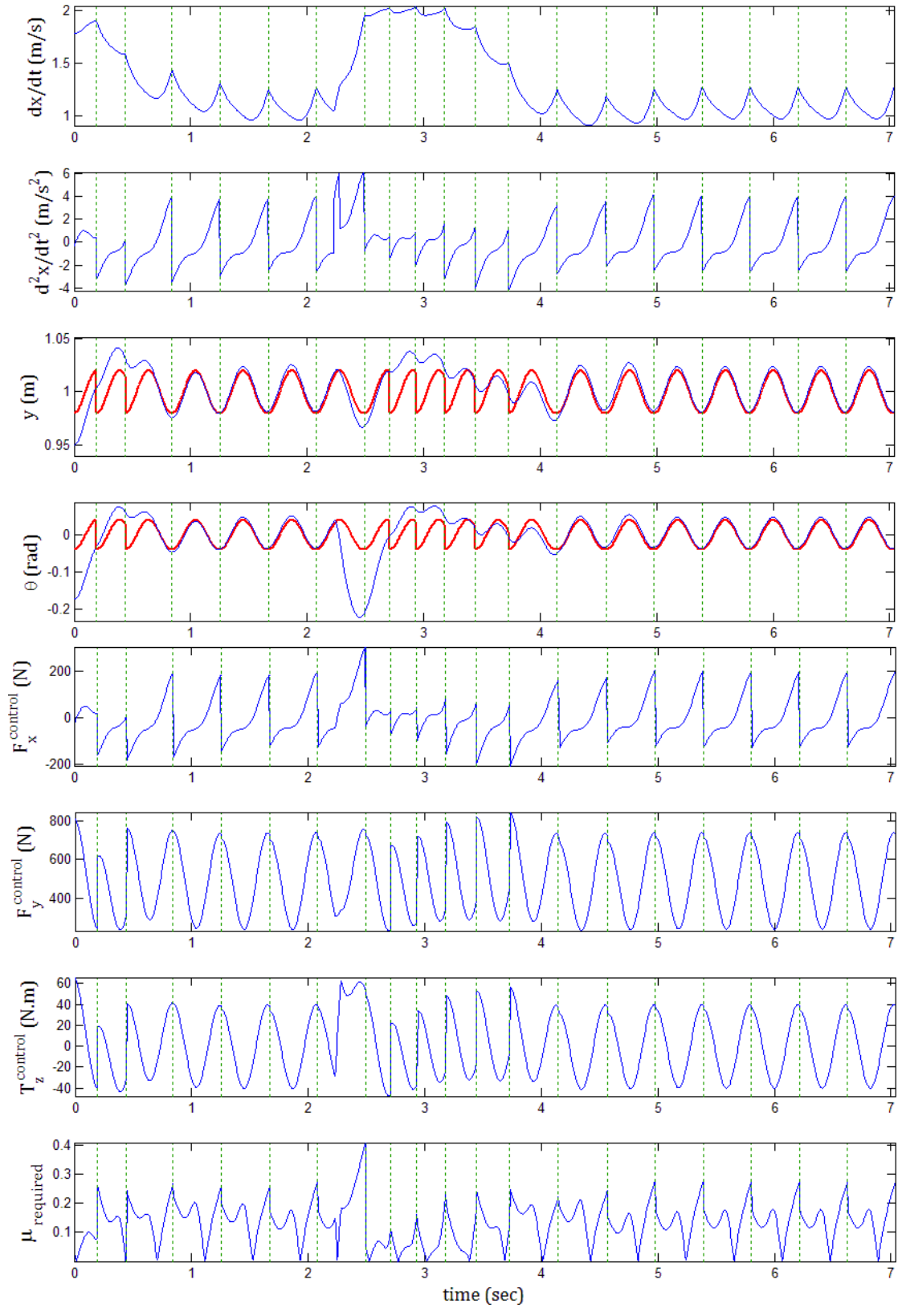
سیستم از جمله شرایط اولیه مولفه‌های واگرا ($q_{i+1,0}$) و همگرا ($p_{i+1,0}$) با مقدار شاخص آن (p_i^*) و نیز سرعت متوسط حرکت نسبی پای متحرک نسبت به بالاتنه ($V_{i,swing}$) با کران بالای آن (V_{max}) و سرعت متوسط مرکز جرم در طول هر گام ($V_{i,avg}$)، نمایش داده شده است. همچنین متغیرهای قید $D_{i,1}$ و $D_{i,2}$ به همراه حداکثر مقدار مجاز شان ($L_{max}/2$) در این نمودارها مشخص شده است.

کنترل کننده پایداری بهینه، با شروع از شرایط اولیه مرزی نسبتا دور از سیکل پس از پنج گام به پایداری کامل می‌رسد و با وارد شدن ضربه در گام هفتم نیز، پس از هشت گام دوباره به پایداری کامل می‌رسد و در عین حال همه قبود مسئله را از جمله دو قید موقعیت بر روی $D_{i,2}$ و قید سرعت بر روی $V_{i,swing}$ در هر دو مرحله ابتدای حرکت و پس از دریافت ضربه کاملاً رعایت کرده است. روش کنترل کننده پایداری بهینه، هم توانایی بالایی در کنترل شرایط اولیه نسبتا دور از سیکل دارد و همزمان می‌تواند ضربه‌ای باشد 120% . ضربه معیار را تحمل کند و در عین حال تمامی قیود مسئله را برای شرایط اولیه مرزی و حداکثر ضربه قابل تحمل خود به طور کامل رعایت می‌کند. به نظر می‌رسد که عملکرد این روش برای حرکت حول سیکل‌های پیش‌روندۀ با شرایط اولیه دور از سیکل و همچنین مقاوت آن در برابر ضربات شدید، بسیار مناسب باشد و گزینه ایده‌آلی برای کنترل پایداری راه‌روندۀ‌های واقعی به حساب می‌آید.

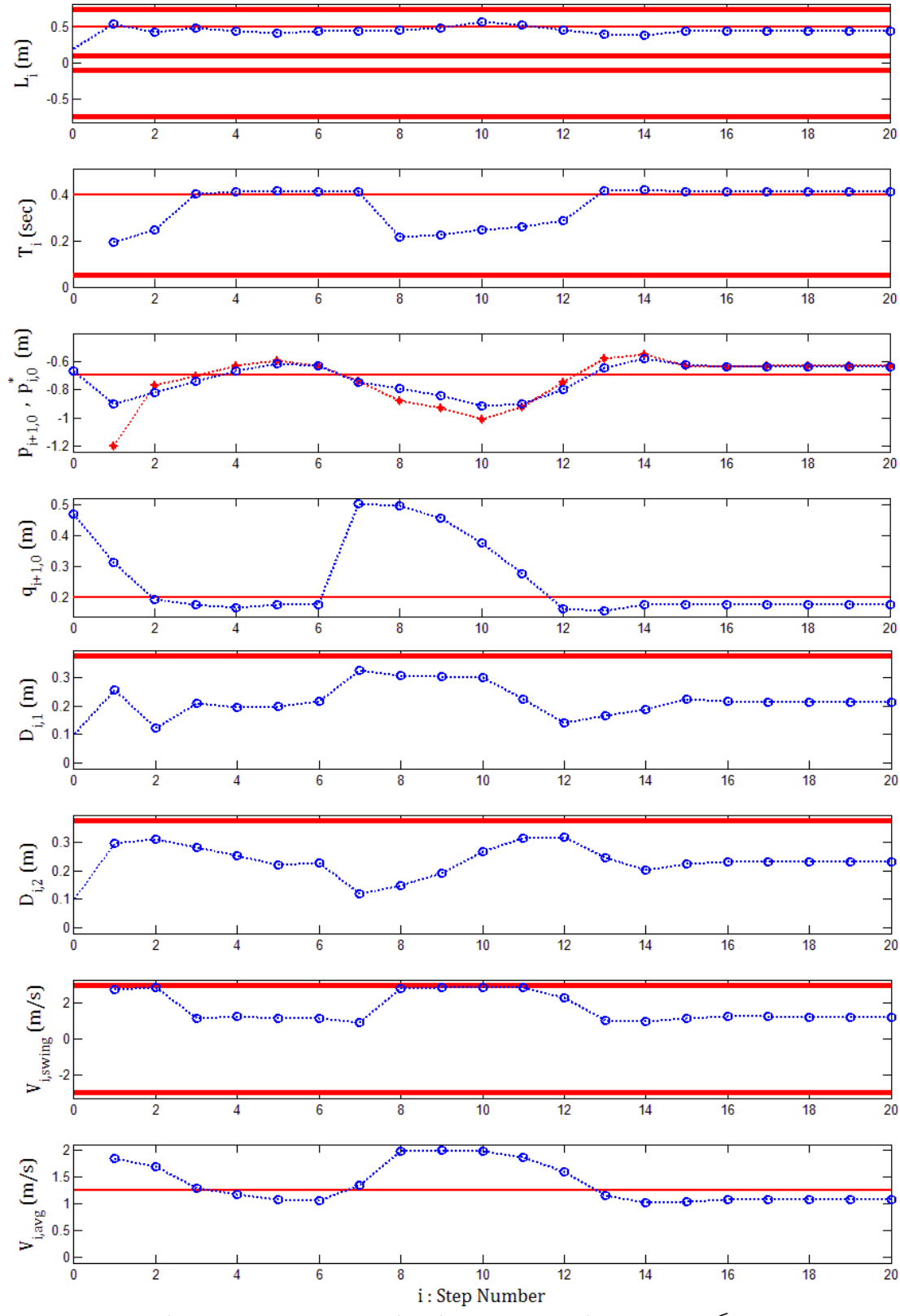
$$\begin{aligned}
 p_c &= -0.7, \quad q_c = 0.2, \quad T_c = 0.4, \quad L_c = 0.5, \quad V_c = 1.25 \\
 p_{1,0} &= -0.67, \quad q_{1,0} = 0.47, \quad x_0 = -0.1, \quad dx/dt_0 = 1.786 \\
 z_0 &= -0.2, \quad z_1 = 0
 \end{aligned}$$



شکل ۹-۴. صفحه فاز مسیر حرکت مولفه واگرا نسبت به مولفه همگرا برای شبیه‌سازی کنترل کننده پایداری بهینه بر روی مدل کامل راه رونده با شرایط مسئله محک (۱۲۰٪ ضربه) – منحنی ضخیم و کمرنگ مسیر گام آخر را نمایش می‌دهد.



شکل ۱۰-۴. نمودارهای بخش پیوسته معادلات حرکت برای شبیه‌سازی کنترل کننده پایداری بهینه بر روی مدل کامل راهروند با شرایط مسئله محکم (۱۲۰٪ ضربه) – خطوط ضخیم، مسیر مطلوب متغیر را نمایش می‌دهند.



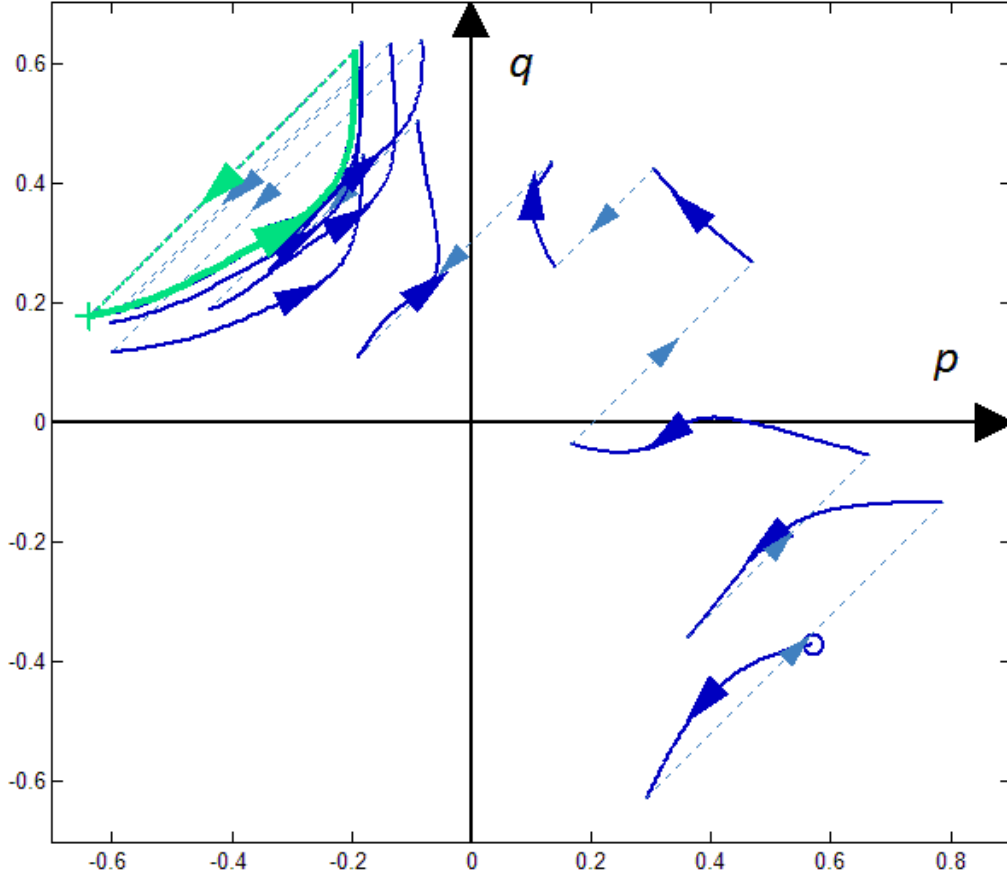
شکل ۱۱-۴. نمودارهای بخش گسسته معادلات حرکت برای شبیه‌سازی کنترل کننده پایداری بهینه بر روی مدل راهروند با شرایط مسئله محک (۱۲۰٪ ضربه) – خطوط با ضخامت متوسط و زیاد، به ترتیب مقدار مطلوب متغیر در سیکل حرکتی و محدودیت بالا و پایین آن را نمایش می‌دهند.

• شیوه سازی کنترل کننده پایداری بهینه بر روی مدل کامل با شرایط اولیه پسروند دور از سیکل

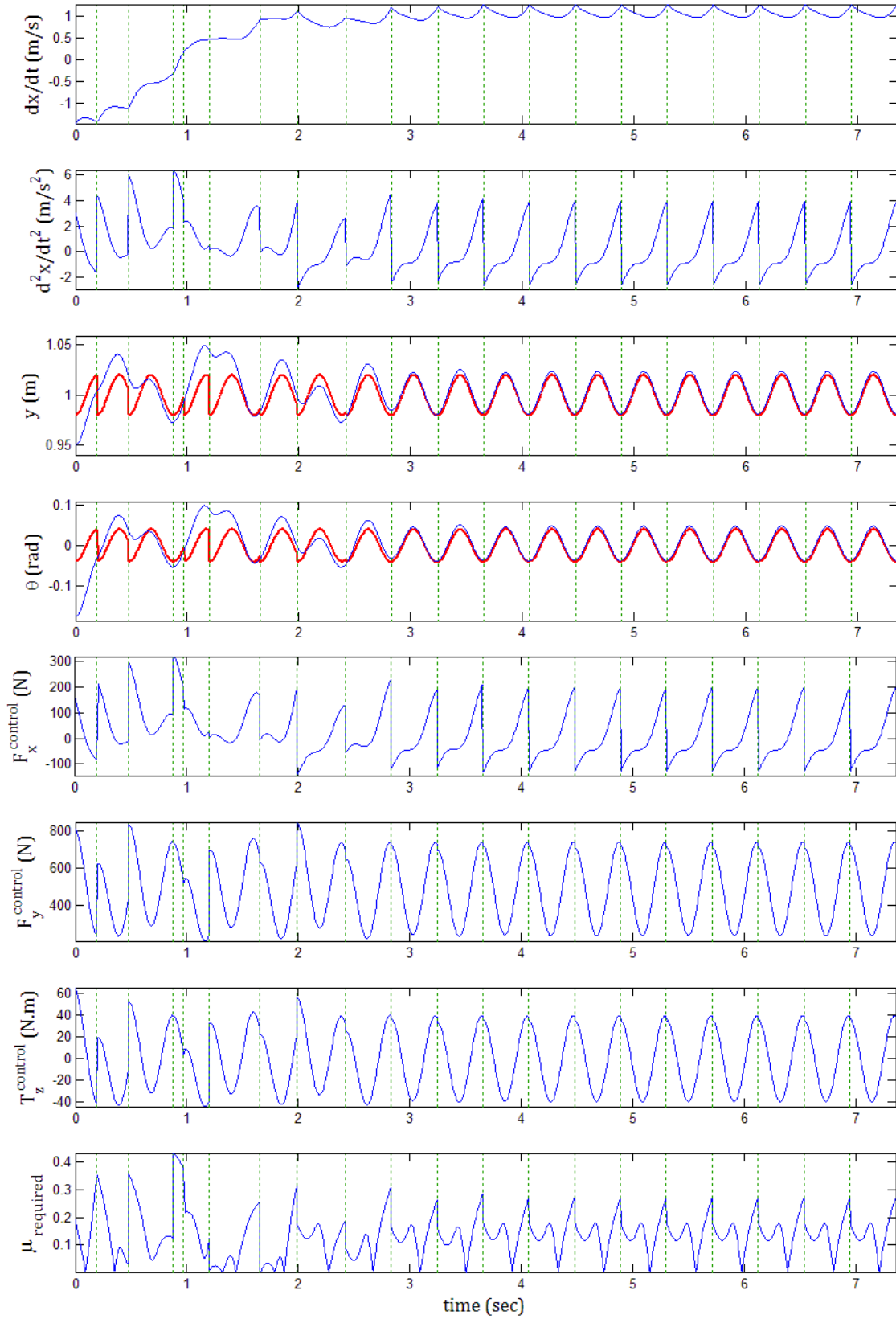
نتایج به صورت مسیر حرکت مولفه واگرا به همگرا در صفحه فاز شکل ۹-۴ نمایش داده شده است. برای بخش پیوسته معادلات حرکت، نمودارهای شکل ۱۰-۴، متغیرهای سیستم از جمله سرعت و شتاب حرکت در راستای افقی (d^2x/dt^2 و dx/dt)، موقعیت عمودی (y) و زاویه بالاتنه (θ) را به همراه متغیرهای کنترلی نیروهای افقی و عمودی و گشتاور بالاتنه ($T_z^{control}$ ، $F_x^{control}$ و $F_z^{control}$)، نمایش می‌دهند. همچنین ضریب اصطکاک مورد نیاز ($\mu_{required}$) برای تامین نیروهای کنترلی این حرکت، به صورت نموداری بر حسب زمان مشخص شده است. برای بخش گسته معادلات حرکت، نمودارهای شکل ۱۱-۴، متغیرهای کنترلی از جمله طول و زمان فرود هر گام (L_i و T_i) با کران‌های بالا و پایین هریک (T_{min} و L_{max}) را به همراه متغیرهای سیستم از جمله شرایط اولیه مولفه‌های واگرا ($q_{i+1,0}$) و همگرا ($p_{i+1,0}$) با مقدار شاخص آن (p_i^*) و نیز سرعت متوسط حرکت نسبی پای متحرک نسبت به بالاتنه ($V_{i,swing}$) با کران بالای آن (V_{max}) و سرعت متوسط مرکز جرم در طول هر گام ($V_{i,avg}$)، نمایش داده شده است. همچنین متغیرهای قید $D_{i,1}$ و $D_{i,2}$ به همراه حداکثر مقدار مجاز شان ($L_{max}/2$) در این نمودارها مشخص شده است.

کنترل کننده پایداری بهینه، با شروع از شرایط اولیه پسروند دور از سیکل، پس از نه گام به پایداری کامل حول سیکل مطلوب پیش‌رونده می‌رسد و در عین حال همه قیود مسئله را از جمله دو قید موقعیت بر روی $D_{i,1}$ و $D_{i,2}$ و قید سرعت بر روی $V_{i,swing}$ به طور کامل رعایت کرده است. به نظر می‌رسد که عملکرد این روش برای هدایت حرکت از شرایط اولیه پسروند به سمت یک سیکل پیش‌رونده و کنترل پایداری حول آن بسیار مناسب باشد و گزینه ایده‌آلی برای هدایت حرکت و کنترل پایداری راه‌رونده‌های واقعی حتی برای شرایط اولیه ناگواری که دور از سیکل حرکتی مطلوب قرارداده، به حساب می‌آید.

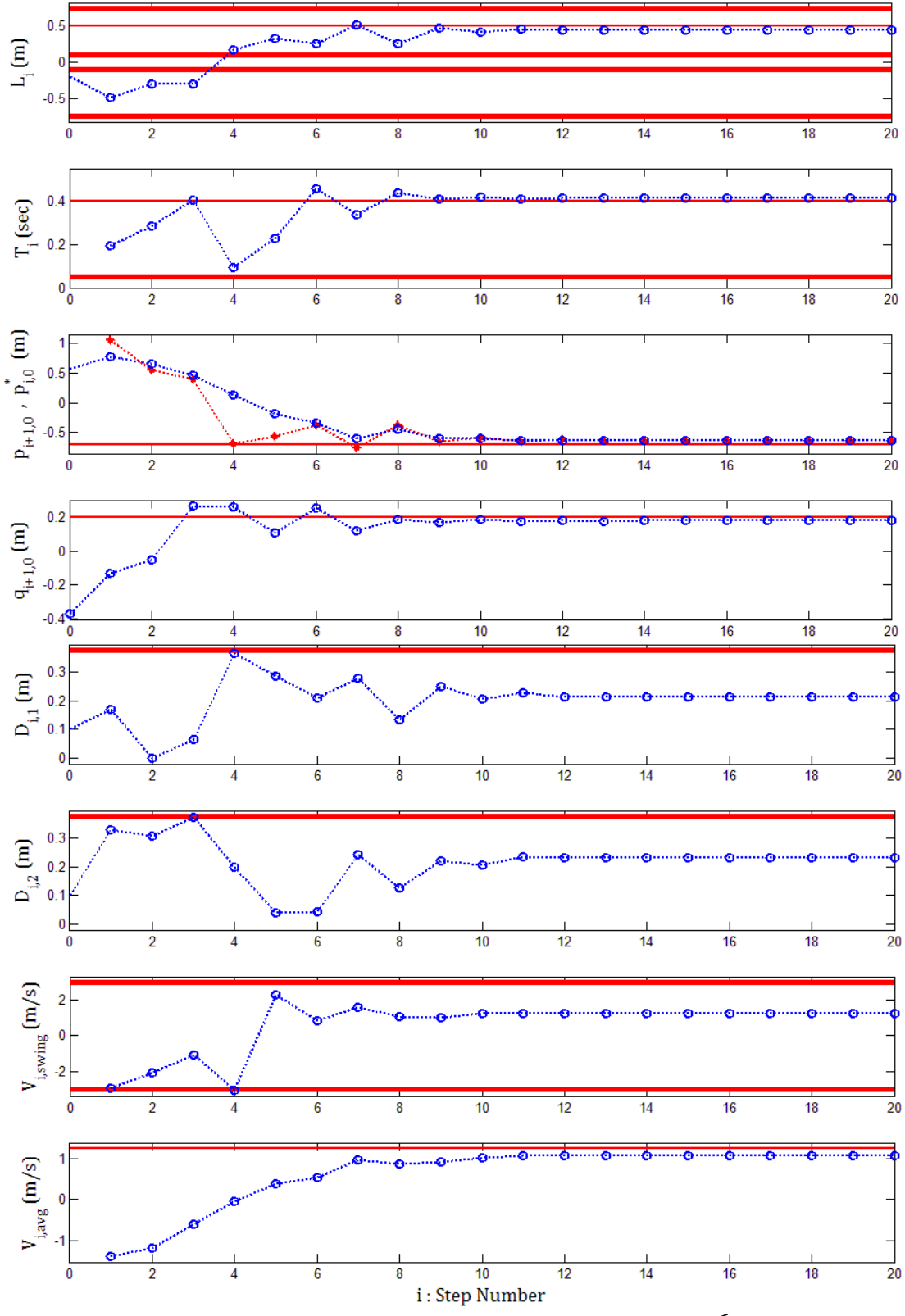
$$\begin{aligned}
 p_c &= -0.7, \quad q_c = 0.2, \quad T_c = 0.4, \quad L_c = 0.5, \quad V_c = 1.25 \\
 p_{1,0} &= 0.57, \quad q_{1,0} = -0.37, \quad x_0 = 0.1, \quad dx/dt_0 = -1.473 \\
 z_0 &= 0.2, \quad z_1 = 0
 \end{aligned}$$



شکل ۱۲-۴. صفحه فاز مسیر حرکت مولفه واگرای شیبیه سازی کنترل کننده پایداری بهینه بر روی مدل کامل راهروند با شرایط اولیه دور از سیکل (پسروند) – منحنی ضخیم و کمرنگ مسیر گام آخر را نمایش می دهد.



شکل ۱۳-۴. نمودارهای بخش پیوسته معادلات حرکت برای شبیه‌سازی کنترل کننده پایداری بهینه بر روی مدل کامل راهروند با شرایط اولیه دور از سیکل(پس‌رونده) – خطوط ضخیم، مسیر مطلوب متغیر را نمایش می‌دهند.



شکل ۱۴-۴. نمودارهای بخش گسسته معادلات حرکت برای شبیه‌سازی کنترل کننده پایداری بهینه بر روی مدل راهرونده با شرایط اولیه دور از سیکل (پس‌رونده) – خطوط با ضخامت متوسط و زیاد، به ترتیب مقدار مطلوب متغیر در سیکل حرکتی و محدودیت بالا و یا پایین آن را نمایش می‌دهند.

فصل پنجم

جمع‌بندی و پیشنهادات

در این فصل، ابتدا به جمع‌بندی از مفاهیم پایداری، کنترل پایداری، مباحث تئوری دینامیک حرکت راه‌رفتن و نتایج شبیه‌سازی خواهیم پرداخت، و سپس نوآوری‌های پژوهش حاضر را برخواهیم شمرد. همچنین، در پایان پیشنهاداتی برای ادامه کار ارائه خواهیم داد.

۱-۵ جمع‌بندی و بررسی نتایج

این پژوهش با بررسی مفهوم پایداری حرکت راه‌روندها در فصل اول آغاز شد و در پایان توانستیم به یک راه حل جامع برای کنترل پایداری راه‌روندها دست بیابیم.

راه حل جدید، تفاوتی بین‌النهرن با شیوه‌های متداول کنترل پایداری دارد که پایداری را معادل با پایداری وضعی حرکت می‌دانند. به جای کنترل کمیت‌های جزئی حرکت همچون زوایای مفاصل راه‌رونده بر روی یک مسیر از پیش طراحی شده دارای پایداری وضعی، راه حل جدید، پایداری کلی حرکت را با پایدارسازی برخی و کنترل برخی دیگر از کمیت‌هایی کلی از جمله اندازه حرکت‌های خطی و زاویه‌ای کل بدن به صورت به‌هنگام تضمین می‌کند.

برای شروع کار، ابتدا در فصل دوم با نوشتمن معادلات حرکت نیوتونی در فضای اندازه حرکت کل بدن و اعمال شرط برقراری تماس، معادله پایه حرکت راه رفتن استخراج شد. سپس، با انجام فرضیاتی نزدیک به واقعیت معادلات حرکت ساده‌سازی شد و برای دو بخش پیوسته حرکت در بازه زمانی یک گام و بخش گسسته حرکت در لحظه قبل و بعد از فرود گام نوشته شد تا معادله حرکت گام به گام به دست آید. در ادامه این فصل، با اعمال شرط تکرار شرایط اولیه بر روی معادله گام به گام، سیکل‌های حرکتی ساده و مرکب استخراج شد که این سیکل‌ها حرکت دائمی یک راهروند را تعریف می‌کنند. با بررسی پایداری این سیکل‌ها مشخص شد که پایداری آنها مرزی است و به دلیل وجود کوچکترین اختلالی در عمل، به صورت نمایی و با نرخ رشد بالایی ناپایدار هستند و به همین جهت نیاز، ناگزیر از پایدارسازی آن‌ها برای ادامه حرکت راه‌رفتن خواهیم بود. سپس، معادلات کامل حرکت راه‌رونده بدون در نظر گرفتن فرضیات ساده کننده، استخراج شد و اختلاف مسیر حرکت آن نسبت به مدل ساده‌شده با شبیه‌سازی برای بدترین شرایط ممکن بررسی گردید. در پایان فصل دوم، با جمع‌بندی معادلات حرکت راه‌رونده، دو مدل ریاضی به نام‌های مدل ساده‌شده راه‌رفتن (SWM) و مدل کامل راه‌رفتن (CWM) به صورتی دقیق و جامع معرفی گردید.

با توجه به تعریف سیکل حرکتی ساده در فصل دوم، این سیکل الگویی ساده‌شده برای حرکت راه‌رفتن (معمولی) دائمی است. بنابراین توانایی همگرایی حرکت به سمت یک سیکل حرکتی و یافتن الگوریتمی برای این کار به ترتیب معیاری برای پایداری و روشی برای کنترل پایداری حرکت خواهند بود. با بررسی مدل کامل راه‌رفتن (CWM)، دانستیم که کنترل پایداری راه‌رونده (پایدارسازی مولفه‌های همگرا و واگرای حرکت حول سیکل حرکتی مطلوب)، ترجیحاً باید از طریق دو راهبرد کلی تغییر پیوسته موقعیت مرکز فشار در طول حرکت و یا تغییر گام (تعییر طول و زمان فرود گام) انجام پذیرد و به همین جهت و همچنین با فرض قابل صرف نظر دانستن اختلاف دو مدل ساده‌شده و کامل، مدل ساده شده راه‌رفتن (SWM)، مبنایی برای طراحی کنترل پایداری قرار گرفت.

در همان ابتدای فصل سوم با مطرح کردن قضیه محدود ماندن شرایط اولیه مولفه همگرا در صورت برداشتن گام‌هایی بی‌دریبی با طول و زمان فرود دلخواه، از پایداری دینامیک داخلی راه‌رونده اطمینان خاطر پیدا کردیم و توجه خود را تنها به پایدارسازی مولفه واگرا برای سوق دادن آن به سمت یک سیکل حرکتی مطلوب، معطوف ساختیم که نتیجه آن طراحی و اثبات پایداری چهار پایدارساز سیکل حرکتی در فصل سوم و ارائه روش کنترل پایداری بهینه در فصل چهارم شد.

در مجموع، پنج کنترل کننده پایداری در فصل‌های سوم و چهارم پیشنهاد شد و عملکرد آن‌ها، هم از لحاظ تئوری و هم از لحاظ عملی با استفاده از شبیه‌سازی بر روی یک مدل فیزیکی کامل راه‌رونده، بررسی شد. به نظر می‌آید کامل‌ترین کنترل کننده پایداری از میان چهار پایدارساز سیکل حرکتی و روش کنترل پایداری بهینه، گزینه آخر، کنترل پایداری بهینه، باشد که توانایی رعایت همه قیود مسئله و ایجاد حداکثر پایداری ممکن در برابر شرایط اولیه و ضربه خارجی را دارا می‌باشد. با وجود اینکه برای تضمین پایداری حداکثری، بهترین گزینه، روش کنترل-کننده پایداری بهینه خواهد بود، اما، چهار پایدارساز سیکل حرکتی نیز هر کدام با توجه به خصوصیات ویژه‌شان در جای خود می‌توانند برای راه‌روندهایی که می‌خواهند و یا مجبور هستند که به یک پایداری حداقلی بستنده

کنند، مورد استفاده قرار بگیرند. به عنوان مثال برای راهروندهای که می‌خواهد همواره گام‌هایی با طول ثابت داشته باشد پایدارساز اول و سوم سیکل حرکتی، گزینه‌های خوبی خواهند بود.

به نظر می‌رسد، نگاه جدید به مقوله کنترل پایداری راهروندهای نگاهی درست و کامل‌تر نسبت به کنترل کننده‌های متداول پایداری باشد چراکه می‌تواند فضای بزرگتری از متغیرهای سیستم را نسبت به کنترل کننده‌های متداول پایداری به عنوان ناحیه کنترل پذیر خود پوشش دهد. این شیوه جدید کنترل کننده پایداری براساس پایداری کلی حرکت برای رسیدن به یک سیکل حرکتی کار می‌کند و دیگر توجهی به معیارهای محدود کننده پایداری وضعی ندارد. اگرچه توانایی این روش کنترل پایداری تنها با شبیه‌سازی آن بر روی یک مدل فیزیکی ساده بررسی شد، ولی کلیت مسئله برای مدل‌های فیزیکی دیگر یکسان است و برای هر یک از آن‌ها نیز می‌توان راه حلی مشابه با فرمول‌بندی یکسانی در بخش کنترل پایداری و فرمول‌بندی جدیدی در بخش کنترل اندازه حرکت یافت.

۲-۵ نوآوری‌ها و دستاوردها

در این پژوهش، دو مدل دینامیکی برای حرکت راهرونده دوپا برای اولین بار معرفی شد که یکی توصیفی کامل از حرکت راهرفتن و دیگری توصیفی ساده‌شده از حرکت راهرفتن ارائه می‌دهد. بر مبنای مدل ساده‌شده، مفهومی به نام سیکل‌های حرکتی که حرکت‌های طبیعی و تکرارشونده راهرونده دوپا را نمایندگی می‌کند، بسط ریاضی داده شد و انواع سیکل‌های حرکتی ساده و مرکب را برای اولین بار برای حرکت راهرفتن دوپا معرفی گردید. همچنین با ارائه تعبیری جدید از پایداری که پایداری را معادل توانایی هدایت حرکت راهرونده به سمت یک سیکل حرکتی مطلوب و کنترل حول آن می‌داند، کنترل کننده‌هایی برای پایداری به نام پایدارسازهای سیکل حرکتی طراحی شد که توانستند از لحظه ثوری مدل ساده‌شده را پایدار می‌سازند. همچنین در شبیه‌سازی‌ها، نشان داده شد که این پایدارسازهای سیکل حرکتی می‌توانند مدل کامل را نیز به خوبی پایدار سازند. در پایان، علاوه بر این پایدارسازها و با درنظر گرفتن عملکرد آنها در پایدارسازی، نوعی کنترل کننده پایداری بهینه با استفاده از برنامه‌ریزی غیرخطی ارائه شد که می‌تواند مدل کامل را با رعایت تمامی قیود واقعی مسئله به خوبی پایدار سازد. نوآوری‌های این تحقیق را می‌توان به صورت خلاصه در قالب موارد زیر بیان نمود:

- ارائه دو مدل دینامیکی ساده و کامل برای حرکت راهرفتن

- ارائه الگویی از حرکت طبیعی و تکرارشونده از راهرفتن به نام سیکل حرکتی(ساده و مرکب)

- معرفی پایدارسازهای سیکل حرکتی

- معرفی کنترل کننده پایداری بهینه برپایه برنامه‌ریزی غیرخطی

۳-۵ پیشنهادات

برای ادامه و گسترش این تحقیق پیشنهادات زیر ارائه می‌شود:

- استفاده از روش پایداری بهینه برای بیش از یک گام: بهتر است به جای بهینه‌سازی شاخص پایداری پس از یک گام، شاخص پایداری برای یک افق چند گامی پس از دو، سه یا چهار گام و با استفاده از متغیرهای طول و زمان فرود این گامها برنامه‌ریزی شود به نحوی که قیود در همه این گامها رعایت گردد. برای این کار، با توجه به افزایش حجم متغیرهای مسئله، روش‌های برنامه‌ریزی خطی دنباله‌وار مانند برنامه‌ریزی مربعی دنباله‌وار^۱ پیشنهاد می‌شود که هزینه محاسباتی را کاهش، سرعت همگرایی را افزایش و زمان محاسبات را کاهش می‌دهد.
- استخراج روابط نگاشت برای تبدیل فرخ اندازه حرکت کلی به شتاب مفاصل یک راه رونده چندعضوی دارای جرم گستره (هفت عضوی): مشتق روابط اندازه حرکت و سرعت مفاصل در کار انجام شده توسط کاجیتا می‌تواند مبنای این کار قرار گیرد [۷].
- طراحی کنترل کننده پایداری در صفحه جانبی و کنترل همزمان پایداری در دو صفحه طولی و جانبی به ترتیب حول سیکل حرکتی ساده پیش‌روند و سیکل درجای متقاضی برای یک ربات سه‌بعدی: بررسی محدودیت برهمنهی زمان فرود گام برای پایدارسازی دو سیکل مختلف در حرکت صفحه طولی و صفحه عرضی، می‌تواند راه حلی اولیه برای مسئله باشد.
- افروden شرط حفظ نیروهای تکیه گاهی در مخروط اصطکاک برای جلوگیری از سُخوردن راه رونده: با توجه به این واقعیت که نیروی تکیه گاهی افقی با تقریبی نسبتاً خوب تابعی خطی از فاصله مرکز جرم تا مرکز فشار است، اعمال محدودیت بیشتر بر روی طول گام با کوتاه کردن طول گامها در محیط‌های لغزنده می‌تواند راهکاری عملی برای تضمین سُرخوردن راه رونده باشد، همچنین بالا بردن حد پایین برای شتاب عمودی مرکز جرم در بازه‌های زمانی ابتداء و انتهای هر گام که اندازه نیروی افقی بیشینه است، می‌تواند از کاهش نیروی تکیه گاهی عمودی (که متناسب با مجموع شتاب عمودی و شتاب جاذبه زمین است) جلوگیری کند و نیروی تکیه گاهی را حتی در صورت افزایش نیروی تکیه گاهی افقی در مخروط اصطکاک نگه دارد.

- حرکت در سطوح شیبدار: الگوریتم حاضر می‌تواند برای حرکت در سطوح شیبدار با افروden شرط مخروط اصطکاک به قیود مسئله و افزایش متوسط ارتفاع در هر گام با نرخی ثابت به کار گرفته شود. برای حرکت در سطوح شیبدار مثبت و منفی نیازی به ایجاد شتاب عمودی دائمی مثبت و یا منفی وجود ندارد و تنها سرعت ثابت مثبت یا منفی مورد نیاز است و بنابراین تاثیر حرکت در شیب در معادلات حرکت و

^۱ Sequential Quadratic Programming(SQP)

کنترل پایداری ظاهر نمی‌شود، با این وجود در صورت کاهش یا افزایش ناخواسته سرعت عمودی که در حرکت بر روی سطوح شبیدار محتمل است، ممکن است نیاز به اعمال کوتاه مدت یک شتاب عمودی ضروری ($\ddot{y}_{necessary}$) پیدا کنیم که در ادامه برای این کار راهکاری پیشنهاد خواهد شد.

- **حرکت بر روی پله‌ها:** الگوریتم حاضر می‌تواند برای حرکت بر روی پله نیز همچون حرکت در سطوح شبیدار استفاده شود با این تفاوت که حرکت تنها می‌تواند حول آن دسته از سیکل‌های حرکتی کنترل شود که طول گام آنها تقریباً برابر با طول افقی بین دو پله است. همچنین باید توجه داشت با توجه به محدودیت فضای پلکان، استفاده از راهبرد تغییر پارامتر زمان فرود گام به جای تغییر پارامتر طول گام برای این حالت موثرتر خواهد بود.

- **طراحی کنترل کننده بر اساس مدل کامل راهرونده (CWM):** احتمالاً می‌توان با استفاده از تئوری‌های کنترل کننده‌های چند ورودی-چند خروجی غیرخطی کنترل کننده‌ای طراحی کرد که بتواند مدل کامل راهرونده را در برابر ضربه مقاوم کند و یا حرکت آن را به سمت یک سیکل حرکتی هدایت کند. همچنین به دلیل دوبخشی بودن معادلات حرکت (بخش پیوسته و گسسته) می‌توان از کنترل کننده‌های تحریک آنی^۱ برای کنترل سیستم دینامیکی تکه‌تکه پیوسته^۲ راهرونده استفاده نمود.

- **مطالعه پایدارسازی حرکت دویدن با افزودن بخش سوم به معادلات حرکت:** اگر بین دو بخش پیوسته و گسسته حرکت، بخش پیوسته سومی به معادله حرکت پایه راهرونده اضافه کنیم که در آن، نرخ تمامی اندازه‌حرکت‌های کلی خطی افقی و زاویه‌ای صفر است و نرخ اندازه حرکت عمودی برابر با گرانش زمین است (شرط عدم تماس با زمین)، احتمالاً می‌توان معادله حرکتی گام به گام برای حرکت دویدن استخراج نمود و با تعریف سیکل‌های دویدن به پایدارسازی آن پرداخت.

- **ارائه مدلی برای مسیر بوداشتن گام به صورت بهنگام و ارائه کنترل پایداری بینه بهنگام که می‌تواند طول و زمان فرود گام را در هر لحظه تغییر داده و آن را تعقیب کند:** این روش می‌تواند پایداری را افزایش دهد، زیرا انحراف حرکت از مدل ساده‌شده را در هر لحظه در نظر می‌گیرد.

- **افزودن نرخ متوسط اندازه حرکت خطی عمودی ضروری ($\ddot{y}_{necessary}$) و نرخ متوسط اندازه حرکت زاویه‌ای ضروری ($\dot{H}_{necessary}$) به معادلات حرکت برای جلوگیری از افتادن یا واژگون شدن:** اگر دریافت ضربه در راستای عمودی و دورانی چنان زیاد باشد که کنترل کننده عادی نتواند حرکت را

¹ Impulsive Control

² Piecewise-Continuous/Discontinuous/Impulsive Dynamical Systems

پایدارسازی مجدد کند، بهتر است یک نرخ متوسط مورد نیاز برای بازگشت اندازه حرکت ربات به مقدار مطلوب خود محاسبه و اعمال گردد و اثر آن در کنترل کننده پایداری لحاظ شود.

- اصلاح و تقویت پایدارساز اول سیکل حرکتی بر اساس راهبرد تغییر پیوسته مرکز فشار: می‌توان برای هدایت حرکت به سمت یک سیکل حرکتی مطلوب در دوردست، به جای تلاش برای هدایت بلاfacسله حرکت به سمت آن که در عمل به وسیله این راهبرد غیرممکن است، حرکت را به سمت یک سیکل حرکتی میانی همگرا کرد و این سیکل حرکتی میانی را به آرامی به سمت سیکل حرکتی مطلوب حرکت داد.
- تلفیق همزمان دو راهبرد تغییر پیوسته متغیر جابجایی مرکز فشار، Δz_i ، و راهبرد تغییر بی دربی طول و زمان گام، L_i و T_i ، برای افزایش قدرت پایدارسازی: این راهبرد تلفیقی به احتمال زیاد، به هم افزایی قدرت پایدارسازی دو راهبرد مجزا می‌انجامد.

مراجع

- [1] McGeer, T., "Passive Dynamic Walking," *The International Journal of Robotics Research*, vol. 9, pp. 62-82, 1990.
- [2] Goswami, A., Thuilot, B., and Espiau, B., "A study of a compass-like biped robot: symmetry and chaos," *The International Journal of Robotics Research*, vol. 17, pp. 1282-1301, 1998.
- [3] Wieber, P. B., "On the stability of walking systems," *Proceedings of the international workshop on humanoid and human friendly robotics*, pp. 53-59, 2002.
- [4] Abdallah, M., and Goswami, A., "A Biomechanically Motivated Two-Phase Strategy for Biped Upright Balance Control," *Proceedings of the 2005 IEEE International Conference on Robotics and Automation*, vol. 2, pp. 1996-2001, 2005.
- [5] Goswami, A., "Foot rotation indicator (FRI) point: a new gait planning tool to evaluate postural stability of biped robots," *Proceedings 1999 IEEE International Conference on Robotics and Automation Cat No99CH36288C*, vol. 1, pp. 47-52, 1999.
- [6] Goswami, A., and Kallem, V., "Rate of change of angular momentum and balance maintenance of biped robots," *IEEE International Conference on Robotics and Automation 2004 Proceedings ICRA 04 2004*, vol. 4, pp. 3785-3790 Vol.4, 2004.
- [7] Kajita, S., Kanehiro, F., Kaneko, K., et al., "Resolved momentum control: humanoid motion planning based on the linear and angular momentum," *Proceedings of the IEEERSJ International Conference on Intelligent Robots and Systems*, vol. 2, pp. 1644-1650, 2003.
- [8] Pratt, J. E., and Tedrake, R., "Velocity-Based Stability Margins for Fast Bipedal Walking," *Fast Motions in Biomechanics and Robotics*, vol. 340/2006, pp. 299-324, 2006.
- [9] Pratt, J., Carff, J., Drakunov, S., et al., "Capture Point: A Step toward Humanoid Push Recovery," *2006 6th IEEERAS International Conference on Humanoid Robots*, pp. 200-207, 2006.
- [10] Vukobratovic, M., and Borovac, B., "Zero-moment point — thirty five years of its life," *International Journal of Humanoid Robotics*, vol. 1, pp. 157-173, 2004.
- [11] Sardain, P., and Bessonnet, G., "Forces acting on a biped robot. Center of pressure-zero moment point," *IEEE Transactions on Systems Man and Cybernetics Part A Systems and Humans*, vol. 34, pp. 630-637, 2004.
- [12] Herr, H., and Popovic, M., "Angular momentum in human walking," *Journal of Experimental Biology*, vol. 211, pp. 467-481, 2008.
- [13] Zhao-Hui, L., Qiang, H., and Ke-Jie, L., "Stability Criterion for Humanoid Running," *Acta Automatica Sinica*, pp. 606-61, 2004.

- [14] Robert, T., Bennett, B. C., Russell, S. D., et al., "Angular momentum synergies during walking," *Experimental Brain Research*, vol. 197, pp. 185-197, 2009.
- [15] Orin, D. E., and Goswami, A., "Centroidal Momentum Matrix of a humanoid robot: Structure and properties," *2008 IEEE/RSJ International Conference on Intelligent Robots and Systems*, vol. 18, pp. 653-659, 2008.
- [16] Khatib, O., Sentis, L., Park, J., et al., "Whole-body dynamic behavior and control of human-like robots," *International Journal of Humanoid Robotics*, vol. 1, pp. 29-43, 2004.
- [17] Kajita, S., Yamaura, T., and Kobayashi, A., "Dynamic walking control of a biped robot along a potential energy conserving orbit," *IEEE Transactions on Robotics and Automation*, vol. 8, pp. 431-438, 1992.
- [18] Kajita, S., Kanehiro, F., Kaneko, K., et al., "The 3D linear inverted pendulum mode: a simple modeling for a biped walking pattern generation," *Proceedings 2001 IEEE/RSJ International Conference on Intelligent Robots and Systems Expanding the Societal Role of Robotics in the Next Millennium Cat No01CH37180*, vol. 1, pp. 239-246, 2001.
- [19] Lee, S.-H., and Goswami, A., "Reaction Mass Pendulum (RMP): An explicit model for centroidal angular momentum of humanoid robots," *Proceedings 2007 IEEE International Conference on Robotics and Automation*, pp. 4667-4672, 2007.
- [20] Takenaka, T., Matsumoto, T., and Yoshiike, T., "Real time motion generation and control for biped robot -1st report: Walking gait pattern generation-," *2009 IEEE/RSJ International Conference on Intelligent Robots and Systems*, pp. 1084-1091, 2009.
- [21] Macchietto, A., Zordan, V., and Shelton, C. R., "Momentum control for balance," *ACM Transactions on Graphics*, vol. 28, p. 1, 2009.
- [22] Kajita, S., Koyachi, N., Kaneko, K., et al., "A high stability, smooth walking pattern for a biped robot," *Proceedings 1999 IEEE International Conference on Robotics and Automation Cat No99CH36288C*, vol. 1, pp. 65-71, 1999.
- [23] Azimi, E., Ghobadi, M., Esfahani, E., et al., "Three-Dimensional Smooth Trajectory Planning Using Realistic Simulation, RoboCup 2004: Robot Soccer World Cup VIII," vol. 3276, pp. 381-393, 2005.
- [24] Phuong, N. T., Kim, D. W., Kim, H. K., et al., "An optimal control method for biped robot with stable walking gait," *Humanoids 2008 - 8th IEEE-RAS International Conference on Humanoid Robots*, pp. 211-218, 2008.
- [25] Kajita, S., Kanehiro, F., Kaneko, K., et al., "Biped walking pattern generation by using preview control of zero-moment point," *2003 IEEE International Conference on Robotics and Automation Cat No03CH37422*, vol. 2, pp. 1620-1626, 2003.
- [26] Shimmyo, S., Sato, T., and Ohnishi, K., "Biped walking pattern generation by using preview control with virtual plane method," *2010 11th IEEE International Workshop on Advanced Motion Control (AMC)*, pp. 414-419, 2010.

- [27] Dimitrov, D., Wieber, P.-B., Ferreau, H. J., et al., “On the implementation of model predictive control for on-line walking pattern generation,” *2008 IEEE International Conference on Robotics and Automation*, pp. 2685-2690, 2008.
- [28] Herdt, A., Diedam, H., Wieber, P.-B., et al., “Online Walking Motion Generation with Automatic Foot Step Placement (under review),” *Advanced Robotics*, 2009.
- [29] Sardain, P., and Bessonnet, G., “Zero Moment Point—Measurements From a Human Walker Wearing Robot Feet as Shoes,” *IEEE Transactions on Systems Man and Cybernetics Part A Systems and Humans*, vol. 34, pp. 638-648, 2004.
- [30] Bennett, B. C., Russell, S. D., Sheth, P., et al., “Angular momentum of walking at different speeds.,” *Human Movement Science*, vol. 29, pp. 114-124, 2010.
- [31] Silverman, A. K., Wilken, J. M., Sinitski, E. H., et al., “Whole-Body Angular Momentum in Incline and Decline Walking,” *Journal of Biomechanics*, p. (in press), 2012.
- [32] Silverman, A. K., and Neptune, R. R., “Differences in whole-body angular momentum between below-knee amputees and non-amputees across walking speeds.,” *Journal of Biomechanics*, vol. 44, pp. 379-385, 2011.
- [33] Elaydi, S., *An Introduction to Difference Equations*. New York: Springer-Verlag, 2005.
- [34] Kelley, W. G., and Peterson, A. C., *Difference equations: an introduction with applications*. Academic Press, p. 403, 2001.
- [35] Pratt, J. E., *Exploiting Inherent Robustness and Natural Dynamics in the Control of Bipedal Walking Robots*, Citeseer, 2000.
- [36] Luenberger, D., *Linear and nonlinear programming*, 2nd ed. Reading Mass.: Addison-Wesley, 1984.
- [37] Jorge Nocedal, and Stephen J. Wright, *Numerical Optimization*. Springer New York, 2006.